

## فصل اول

### مبانی انتقال حرارت

اصول و مبانی هر کدام از علوم مهندسی در صورتی به بهترین نحو درک خواهد شد که جای‌گاه آن علم را در ارتباط با دیگر علوم مهندسی در نظر بگیریم. بنابراین، اولین موردی که بررسی خواهیم کرد، تعیین جای‌گاه انتقال حرارت در علوم مهندسی است. بعد از آن، دو روش انتقال حرارت نفوذ (هدایت یا رسانایی) و تلبش را به‌طور مختصر مرور خواهیم نمود. سپس از دیدگاه پیوستگی و مولکولی مسائل مهندسی را بررسی نموده و در نهایت، به بررسی مبانی انتقال حرارت پیوستگی خواهیم پرداخت.

#### ۱-۱. جای‌گاه انتقال حرارت در مهندسی

ابتدا می‌خواهیم چهار مساله مشهور را که از مکانیک اجسام صلب و اجسام تغییرشکل‌پذیر<sup>۲</sup> و ترمودینامیک گرفته شده است بررسی نماییم. می‌خواهیم برای هر مساله دو فرمولاسیون براساس فرضیات مختلف در نظر بگیریم. با ماهیت قوانین فیزیکی استفاده شده در این فرمولاسیون‌ها، سروکار خواهیم داشت. (در این مرحله، لازم است که بچشم‌انداز چارچوب متداول و موجود در کتاب‌های مرجع باشد؛ در ابتدای فصل بعدی متن حاضر تکمیل خواهد شد).

مثال ۱-۱. سقوط آزاد جسم. یک جسم با جرم  $m$  را در نظر بگیرید که در اثر میدان گرانش در حال سقوط آزاد است (شکل ۱-۱). ما می‌خواهیم به‌طور هم‌زمان مکان این جسم را تعیین کنیم.

فرمولاسیون (فیزیک) مساله. قانون دوم حرکت نیوتن:

- 1- Continuum heat transfer
- 2- Deformable bodies

$$F = ma, \quad (1-1)$$

که در آن  $F$  جمع نیروهای خارجی و  $a$  بردار شتاب است. در فرمولاسیون اول مساله از مقاومت هوا در اطراف جسم صرف نظر می کنیم و می توانیم مساله را به مساله یک بعدی تبدیل نماییم و معادله (۱-۱) را به شکل زیر بنویسیم:

$$mg = m \frac{d^2x}{dt^2}, \quad (1-2)$$

می توانیم شرایط اولیه مناسبی را در نظر بگیریم.

حل ریاضی مساله: با دو بار انتگرال گیری از معادله (۱-۲) بر حسب زمان داریم:

$$x = \frac{1}{2}gt^2 + C_1t + C_2, \quad (1-3)$$

که دو ثابت حاصل از انتگرال گیری یعنی  $C_1$  و  $C_2$  را می توان با استفاده از مکان اولیه و سرعت جسم به دست آورد.

در فرمولاسیون دوم مساله، مقاومتی از جانب محیط اطراف در برابر حرکت جسم در نظر گرفته خواهد شد. با این ملاحظات خواهیم داشت:

$$mg - R = m \frac{d^2x}{dt^2}, \quad (1-4)$$

بدون داشتن اطلاعات بیشتری در مورد نیروی  $R$  نمی توان از معادله (۱-۴) انتگرال گیری نمود. اگر به عنوان مثال، فرض کنیم که این نیرو برابر مضمربی از توان دوم سرعت جسم است، یعنی:

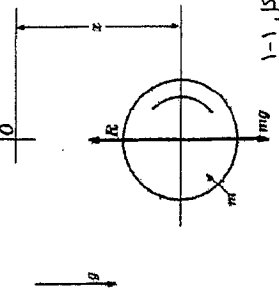
$$\frac{R}{m} = k \left( \frac{dx}{dt} \right)^2, \quad (1-5)$$

سپس با استفاده از معادله (۱-۴) خواهیم داشت:

$$g - k \left( \frac{dx}{dt} \right)^2 = \frac{d^2x}{dt^2}, \quad (1-6)$$

که در آن  $k$  یک ثابت است. معادله (۱-۶) یک معادله دیفرانسیل غیرخطی است که راه حل آن کاملاً ساده می باشد، و از آنجایی که این راه حل در بحث اخیر دارای اهمیت نمی باشد از ارائه آن خودداری می کنیم.

قبل از آن که وارد فرمولاسیون ها شویم ابتدا دو مساله را که از مکانیک گرفته شده اند بررسی خواهیم نمود.



**مثال ۱-۲. نیروهای واکنشی تیرک.** یک تیرک که روی آن فشار  $P$  وارد می شود را در نظر بگیرید. می خواهیم نیروهای واکنشی تیرک را به دست آوریم.

برای انجام اولین فرمولاسیون مساله، می خواهیم فرض کنیم که تیرک روی دو تکیه گاه ساده قرار دارد (شکل ۱-۲). نیروهای واکنشی  $A$  و  $B$  را می توان با شرایط به دست آورد.

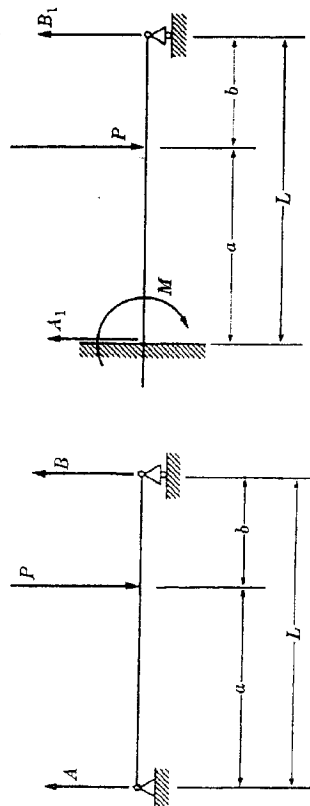
$$\sum \text{نیروها} = \text{صفر} \quad (1-7)$$

$$\sum \text{گشتاورها} = \text{صفر} \quad (1-8)$$

که این دو رابطه با استفاده از قانون دوم حرکت نیوتن به دست آمده اند.

برای انجام دومین فرمولاسیون مساله، می خواهیم یکی از تکیه گاه های ساده را با یک تکیه گاه توکار<sup>۱</sup> (غیرقابل حرکت) تعویض نماییم (شکل ۱-۳). که این مورد اخیر را نمی توان تنها با استفاده از قانون نیوتن حل نمود، زیرا سه مورد غیرمعمول وجود دارد که نیروهای واکنشی  $A_1$  و  $B_1$  و مومنت خمشی<sup>۲</sup>  $m$  می باشد، بنابراین علاوه بر معادلات (۱-۷) و (۱-۸) به یک معادله اضافی نیز نیاز داریم. این شرط ممکن است با در نظر گرفتن ماهیت تیرک حاصل شود. اگر، به عنوان مثال، فرض شود که تیرک کشسان<sup>۳</sup> می باشد، شرط اضافی را می توان با استفاده از قانون هوک<sup>۴</sup> بدست آورد.

همانند مثال ۱-۱، جزئیات فرمولاسیون مذکور و راه حل هایش در بحث اخیر مورد نیاز نمی باشد.



شکل ۱-۲

شکل ۱-۳

- 1- Built in support
- 2- Bending moment
- 3- Elastic
- 4- Hooke's law

پوشش اسمتلاک بینشان در نظر بگیریم. در غیاب هر نیروی خالصی، قانون اول نیوتن بیان می‌کند که هر لایه باید ثابت باشد و یا با سرعت یکنواخت حرکت نماید. بنابراین، اگر سرعت ورودی ثابت و یکنواخت باشد، این شرط به صورت محوری و مستطیع برای همه مقادیر زمانی وجود خواهد داشت. به عبارت دیگر، سرعت در هر مقطع عرضی یکنواخت است.

اگر سیال اسمتلاک داشته باشد (یعنی گرلزو باشد)، قانون دوم نیوتن مورد استفاده در حجم کنترل شکل ۱-۴ نتیجه زیر را حاصل می‌کند:

$$-\frac{dt}{dy} - \frac{dp}{dx} = 0, \quad (1-10)$$

معادله (۱-۹) را نمی‌توانیم برای به دست آوردن توزیع سرعت مناسب مورد استفاده قرار دهیم مگر آن که یک شرط اضافی داشته باشیم. یکی از چنین شرایطی ممکن است رابطه بین تنش برشی و گرادیان سرعت باشد. اگر فرض کنیم، به عنوان مثال سیال مان نیوتنی است، این شرایط ممکن است به صورت زیر بیان شود:

$$\tau = -\mu \frac{du}{dy}, \quad (1-11)$$

که ثابت تناسب، گرلزوی سیال است. با قرار دادن معادله (۱-۱۰) در معادله (۱-۹) و بازنویسی آن داریم:

$$\frac{d^2u}{dy^2} = \frac{1}{\mu} \left( \frac{dp}{dx} \right) \quad (1-12)$$

می‌توان شرایط مرزی زیر را در نظر گرفت:

$$\frac{du(0)}{dy} = 0, \quad u(l) = 0, \quad (1-13)$$

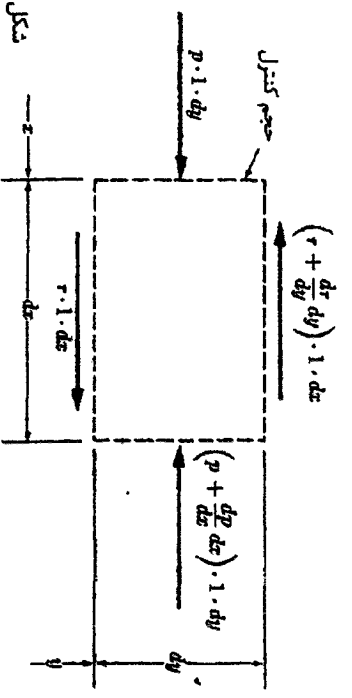
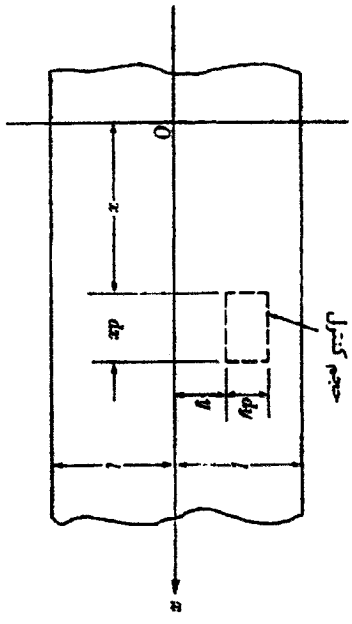
برای گرادیان فشار محوری ثابت  $(dp/dx)$ ، حل معادله (۱-۱۲)، رابطه‌ای را حاصل می‌کند که توزیع سهموی سرعت معروف است:

$$u(y) = \frac{(-dp/dx)l^2}{2\mu} \left[ 1 - \left( \frac{y}{l} \right)^2 \right] \quad (1-14)$$

حال می‌خواهیم این سه مساله مذکور را به وسیله قوانین فیزیکی مورد استفاده در فرمولاسیون، استخراج نماییم. همان‌طور که دیده شد بعضی از مسائل مکانیک را می‌توان تنها با استفاده از قانون دوم حرکت نیوتن، یا در بعضی مواقع در ترکیب با قانون اول نیوتن و یا معادله بقای جرم، حل نمود. این موارد به مسائل تعیین‌شده مکانیکی موسومند. دینامیک اجسام صلب در غیاب اسمتلاک در مسائل استاتیکی اجسام صلب و مکانیک سیالات ایده‌آل مثال‌های مشهوری از این دسته‌اند. همچنین می‌توان به‌طور ویژه‌ای اولین فرمولاسیون انجام شده برای مسائل ذکر شده در بالا را در

مثال ۱-۳. جریان کاملاً گسترش‌یافته، پایا و تراکم‌ناپذیر یک سیال بین صفحات موازی را در نظر بگیرید. می‌خواهیم توزیع سرعت در این جریان را به دست آوریم.

حجم کنترل نشان داده شده در شکل ۱-۴ را در نظر می‌گیریم. از آنجایی که عبارت‌های شتاب شتاب به‌طور یکسان برابر صفر هستند، قانون دوم حرکت نیوتن در این حجم کنترل به موازات نیرو تبدیل می‌شود. پارامترهای نرمال و مماسی نیروهای سطحی به ازای واحد سطح با فشار  $P$  و تنش  $\tau$  نشان داده می‌شوند. نیروهای تماسی<sup>۱</sup> نظیر گرانش در این مثال قابل صرف‌نظرند. اولین فرمولاسیون مساله برپاس فرس، سیال ایده‌آل (بدون اسمتلاک) و دومین فرمولاسیون برپاس فرس سیال گرلزو (نیوتنی) انجام خواهد شد.



اگر سیال ایده‌آل باشد، تنش برشی صفر خواهد بود و تغییر فشار در جهت  $x$  نیز با توجه به قانون دوم نیوتن صفر خواهد بود. ممکن است بتوانیم سیال را با لایه‌های بینهایت نازک موازی و

۱- تعریف حجم کنترل در فصل بعدی ارائه خواهد شد.  
2- Body forces

فصل ۱- مبانی انتقال حرارت

شکل ۱-۵

می‌خواهیم از قوانین مناسب کلی برای حجم کنترل نشان داده شده در شکل (۱-۵) استفاده کنیم. قانون بقای جرم به صورت زیر داده شده است:

$$d(\rho AV) = 0; \quad (1-14)$$

قانون دوم حرکت نیوتن با استفاده از معادله (۱-۱۴) بازاریابی شده است. نتیجه به صورت زیر می‌باشد:

$$dp + \rho V dV = 0, \quad (1-15)$$

و قانون اول ترمودینامیک، با معادله (۱-۱۴)، (۱-۱۵)، ترکیب شده و نتیجه به این صورت می‌باشد:

$$du + pd(1/\rho) = 0. \quad (1-16)$$

در اولین فرمولاسیون مساله فرض می‌کنیم که سیال تراکم‌ناپذیر است. پس با توجه به تعریف،  $\rho_1 = \rho_2$  خواهد شد و بقیه مشخصات خروجی نظیر  $u_1, u_2, V_1, V_2$  از طریق انتگرال‌گیری از معادلات (۱-۱۴)، (۱-۱۵)، (۱-۱۶) بین ورودی و خروجی دیفیوزر به دست می‌آید.

در دومین فرمولاسیون مساله فرض می‌کنیم که سیال تراکم‌پذیر باشد. اکنون علاوه بر  $V_2$  و  $P_2$  و  $u_2$ ، چگالی خروجی  $\rho_2$  نیز باید محاسبه شود؛ بنابراین، شرایط داده شده در معادلات (۱-۱۴)، (۱-۱۵)، (۱-۱۶) دیگر کافی نیست. برای کامل کردن فرمولاسیون می‌خواهیم روشی را که در فرمولاسیون دوم مثال‌های ۱-۱، ۱-۲، ۱-۳، مورد استفاده قرار دادیم، فراخوانی کنیم. در این مثال شرایط اضافی مورد نیاز وابسته به طبیعت سیال است. ضمناً ما می‌توانیم این شرایط را به صورت زیر بنویسیم:

$$p = p(\rho, u). \quad (1-17)$$

این تقسیم‌بندی قرار داد یعنی: سقوط آزاد جسم بدون اصطکاک، تیرگی که استاتیک آن معلوم است، و جریان پایای یک سیال ایده‌آل بین دو صفحه موازی.

بعضی مسائل مکانیکی علاوه بر قانون حرکت نیوتن و معادله بقای جرم به یک شرایط اضافی نیز نیازمندند که به این مسائل، مسائل تعیین‌نشده مکانیکی گفته می‌شود. دینامیک اجسام صلب با اصطکاک و مکانیک اجسام تغییرشکل‌پذیر (اجسام گرانرو، کشسان، ناکشسان (شکل‌پذیر)، کشسان گرانرو) مثال‌هایی از این گروه می‌باشند و دومین فرمولاسیون مسائل ذکر شده در بالا در این تقسیم‌بندی قرار می‌گیرند. یعنی: سقوط آزاد جسم با در نظر گرفتن اصطکاک، تیرگی که استاتیک آن نامعلوم است، جریان آرام بین دو صفحه موازی، باید متذکر شد که این مسائل تعیین‌نشده مکانیکی تنها از قوانین کلی مکانیک استفاده نمی‌نمایند، بلکه همچنین یک قانون اضافی و بسته به ماهیت مساله مورد نظر، مورد استفاده قرار می‌گیرد. سقوط آزاد جسم به رابطه بین نیروی مقاومتی و سرعت نیاز دارد، تیرگی با استاتیک نامعلوم به رابطه‌ای بین تنش و کشش نیاز دارد، و جریان آرام بین دو صفحه موازی به رابطه‌ای بین تنش برشی و سرعت نیازمند است. در این‌جا چنین قوانینی، قانون ویژه نامیده می‌شوند، اگرچه از واژه رابطه ترکیب‌کننده<sup>۵</sup> در اغلب مقالات به جای قانون ویژه، استفاده می‌شود.

مسائل ترمودینامیک را نیز می‌توان به‌طور مشابه به دو دسته تقسیم نمود. بعضی از مسائل ترمودینامیک را می‌توان با استفاده از قوانین کلی (اول و دوم) ترمودینامیک و اگر لازم باشد با قوانین کلی مکانیک حل نمود، که به این مسائل، مسائل تعیین‌شده ترمودینامیکی گفته می‌شود. دسته دیگر نیازمند استفاده از شرایطی علاوه بر قوانین کلی هستند که به این مسائل، مسائل تعیین‌نشده ترمودینامیکی گفته می‌شود.

شاید مسائل زیر برای بیان نکات ذکر شده، مفید واقع شوند.

**مثال ۱-۴.** جریان پایای یک بعدی اینترتروپیک و فروصوت از میان یک سیال غیرگرانرو در یک دیفیوزر عایق وجود دارد. حالت سیال در ورودی معلوم است، می‌خواهیم حالت سیال در خروجی را پیدا کنیم. علامت نشان داده شده در شکل (۱-۵) به این صورت است: فشار  $p$ ، چگالی  $\rho$ ، انرژی داخلی  $u$ ، سرعت  $V$ ، و سطح مقطع عرضی  $A$ . مشخصات ورودی با زیرنویس ۱ و مشخصات خروجی با زیرنویس ۲ مشخص شده‌اند.

- 1- Elastic
- 2- Plastic
- 3- Viscoelastic
- 4- Particular law
- 5- Constitutive relation

معادله (۱-۱۷) با تعددای از روش‌های مناسب برای برخی مسائل بیان یا جدول‌بندی شده است. معمول‌ترین شکل<sup>۱</sup> صریح معادله (۱-۱۷) به صورت زیر است.

$$p = pRT. \quad (1-18)$$

معادله فوق قانون گاز ایده‌آل نظمیته می‌شود. معادلات (۱-۱۷) و (۱-۱۸) حالت‌هایی از قوانین ویژه هستند که معمولاً معادلات حالت نامیده می‌شوند. حال حالت خروجی می‌تواند به کمک معادلات (۱-۱۴)، (۱-۱۵) و (۱-۱۶) و (۱-۱۷) محاسبه شود. ولی، مطابق گذشت، جزئیات اهمیت زیادی ندارد و در این‌جا به آن نمی‌پردازیم.

حال واضح است که اولین فرمولاسیون مثال ۴-۱ از نوع مسائل تعیین‌شده ترمودینامیکی است و با استفاده از قوانین کلی ترمودینامیک در ترکیب با معادلات مکانیک محاسبه شده است. ولی دومین فرمولاسیون نیازمند استفاده از قوانین ویژه اضافی بوده و در نتیجه از نوع مسائل تعیین‌شده ترمودینامیکی است.

دینامیک گازها و انتقال حرارت قواعد کلی هستند که با مسائل تعیین‌شده ترمودینامیکی سروکار دارند. علاوه بر قوانین کلی ترمودینامیکی، دینامیک گازها به معادلات حالت، به عنوان قوانین عمومی وابسته هستند. در انتقال حرارت دو قانون ویژه به کار می‌رود که حالت‌های انتقال حرارت نامیده شده و ما اکنون به تشریح آن‌ها می‌پردازیم.

نقوذ (رسانایی): در نقوذ اگر یک توزیع غیریکدوامت دمایی در یک محیط با بین دو محیط در تماس با هم وجود داشته باشد حرکت حرارت انتقال می‌یابد. در مقیاس مولکولی، مکانیسم نقوذ به صورت تغییر انرژی جنبشی بین مولکول‌ها در نواحی هم‌پایا و هم‌پایین، خود را نشان می‌دهد. خصوصاً این اتفاق به برخوردهای کشسان مولکول‌ها در گازها، حرکت الکترون‌های آزاد در فلزات و نوسان‌های طولی آنها<sup>۲</sup> در چگال‌های عایق الکتریسیته نسبت داده شده است.

تابش: طبیعت واقعی تابش و مکانیسم انتقال آن به‌طور کامل تاکنون مشخص نشده است. بعضی از اثرات تابش برحسب امواج الکترومغناطیسی و بعضی دیگر برحسب مکانیک کوانتومی توصیف می‌شوند. همچنین هیچکدام از این دو تئوری تمام مشاهدات آزمایشگاهی را تشریح نمی‌کنند. به عنوان مثال، طبق تئوری موج در هنگام گسیل تابش، مقداری از انرژی داخلی جسم به امواج الکترومغناطیسی که نوع دیگری از انرژی است تبدیل می‌شود. این امواج در میان فضا با سرعت نور حرکت می‌کنند تا هنگامی که به یک جسم دیگر برخورد کنند که قسمتی از انرژی آن‌ها جذب شده و دوباره تبدیل به انرژی داخلی شود.

در طبقه‌بندی مذکور ما انتقال حرارت جابه‌جایی را به عنوان حالتی از انتقال حرارت در نظر نگرفتیم. جابه‌جایی، در واقع، حرکت محیط است که انتقال حرارت به وسیله نقوذ یا تابش را، تسهیل می‌نماید. تنها به دلایل مرسوم، بین نقوذ حرارت در اجسام صلب ساکن یا در حال حرکت، که آن‌را هدایت می‌نامیم، و نقوذ حرارت در اجسام تغییرشکل‌پذیر، که آن را جابه‌جایی می‌نامیم، تمایز قائل می‌شویم. هدایت موضوع بحث این کتاب می‌باشد؛ جابه‌جایی و تابش در جای دیگر مورد بررسی قرار خواهند گرفت. هر چند مثال‌هایی از جابه‌جایی و تابش در این کتاب به اقتضا آورده شده است.

### ۱-۲- تئوری پیوستگی در برابر تئوری مولکولی<sup>۱</sup>

در بعضی قبل فرایند انتقال حرارت به‌وسیله نقوذ با دو روش مختلف تشریح شد. از دیدگاه ماکروسکوپی یا پدیده‌شناختی، حرارت، به عنوان مدرک مشاهدات آزمایشگاهی، از یک ناحیه با دمای بیشتر به ناحیه‌ای با دمای کمتر در یک محیط منتقل می‌شود. از دیدگاه میکروسکوپی یا مولکولی، انتقال حرارت در اثر تبادل انرژی جنبشی بین مولکول‌ها پدیده می‌آید. اما این تئوری بیشتر بر پایه فرضیه است تا آزمایش. تضاد بین این دو صورت از انتقال حرارت در دو دیدگاه دیگر برای مسائل مهندسی در انتقال حرارت منعکس شده است.

در دیدگاه اول یعنی متناظر با دیدگاه ماکروسکوپی، محیط پیوسته فرض می‌شود که در آن مسیر متوسط آزاد مولکول‌ها در مقایسه با تمام ابعاد دیگر موجود در محیط کوچک است. پس یک متوسط‌گیری آماری بر پایه تعریف کلی امکان‌پذیر است. به عبارت دیگر محیط با تعریف مفهوم زمینه یا میدان<sup>۲</sup> مطابقت می‌کند.

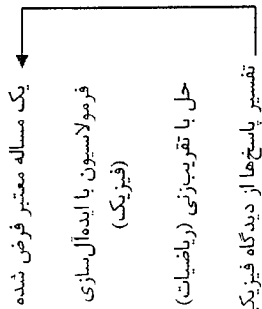
ممکن است ویژگی‌های یک میدان، زنده‌ای باشد، مثل دما  $T$  یا برابری باشد مثل سرعت  $V$ . در دیدگاه دوم، یعنی متناظر با دیدگاه میکروسکوپی یا مولکولی، با متوسط‌گیری آماری رفتار مولکولی امکان‌پذیر نیست یا امکان‌پذیر است ولی مورد نیاز نیست. در واقع یک تشریح کلی و منطقی از محیطی که دارای ساختار مولکولی توزیع شده فضایی می‌باشد، می‌تواند به گونه‌ای باشد که در آن قوانین کلی برای هر مولکول به‌طور جداگانه نوشته شود. حل سیستم با تعداد زیاد ذره (مولکول)، برحسب زمان و مکان و سپس ربط دادن یک مفهوم ماکروسکوپی به رفتار مولکولی، می‌تواند همان نتیجه‌مانی را دربر داشته باشد که از تئوری پیوستگی حاصل می‌شود.

دلیل این‌که همیشه کار را با روش مولکولی شروع نمی‌کنیم، چنان‌که مشکلات ریاضی و این حقیقت که دانش ما در مورد نیروهای بین مولکولی محدود می‌باشد، این است که رفتار مولکول‌ها

۱- تئوری پیوستگی، تئوری ماکروسکوپی یا میدانی یا دیدگاه پدیده‌شناختی نیز نظمیته می‌شود؛ به تئوری مولکولی،

تئوری میکروسکوپی هم گفته می‌شود.

۱- در این کتاب از واژه "شکل" در ترجمه واژه "form" استفاده شده است.



در فرمولاسیون یک مساله، ایده‌آل‌سازی‌ها حتی برای تعریف مفاهیم و عبارت قوانین طبیعی (عمومی و خصوصی) لازم‌اند. یک مثال معروف از تعریف ایده‌آل‌سازی در میان مفاهیم، چگالی  $(b)$  یک ویژگی فیزیکی  $(B)$  یک سیستم در یک نقطه  $(P)$  است. این مفهوم مطابق فرآیند حدگیری، ایده‌آل‌سازی شده زیر تعریف می‌شود. کره کوچکی با شعاع  $R$  در نقطه  $P$  در نظر گرفته شده است، سپس همه مقادیر خاصیت  $\Delta B$  موجود در کره بر حجم آن  $\Delta V$  تقسیم شده است و  $R$  (یا  $\Delta V$ ) به صفر میل داده شده است. فرآیند حدگیری مذکور یک ایده‌آل‌سازی غیر واقعی است. به‌عنوان یک واقعیت می‌توان گفت وقتی حجم کره از یک مقدار  $\Delta V_0(R_0)$  کمتر شود، چگالی به‌خاطر ساختار مولکولی محیط به‌صورت ناپیوسته تغییر می‌کند. البته در انجام برون‌یابی منحنی چگالی از  $\Delta V_0(R_0)$  تا  $\Delta V(0) = 0$  که در شکل ۱-۶ نشان داده شده است، به‌جای در نظر گرفتن رفتار ناپیوسته، رفتار پیوسته را جایگزین می‌کنیم و از حالت تناقض به حالت دیفرانسیل می‌رسیم که خواهیم داشت:

$$b = \lim_{\Delta V \rightarrow 0} \frac{\Delta B}{\Delta V} = \frac{dB}{dV} \quad (1-19)$$

که تعریف ریاضی مناسب چگالی در یک نقطه است. مثال‌های معروف کاربردهای این تعریف عبارتند از: چگالی جرمی، غلظت جرمی و چگالی شارژ الکتریکی. ممکن است روند مشابهی برای دیگر ویژگی‌های وابسته به جرم یا وابسته به حجم<sup>۱</sup> یک محیط به‌کار برده شود.

ایده‌آل‌سازی دوم در فرمولاسیون یک مساله شامل جملات منحصربه‌فردی است که در عبارت قوانین عمومی ظاهر می‌شوند. برای مثال می‌توان با در نظر گرفتن قانون دوم حرکت نیوتن آن را بیان نمود. نیروهایی که در این قانون صدق می‌کنند را می‌توان به دو دسته نیروهای (تماسی)

۱- در این‌جا به‌طور کلی چگالی یک کمیت به ازای واحد حجم است که ممکن است چگالی جرمی باشد یا نباشد. یعنی مولف از واژه چگالی برای بیان یکی از ویژگی‌های سیستم تقسیم بر حجم آن سیستم استفاده نموده است و فقط آن چگالی مورد استفاده در مهندسی یعنی  $p = m/V$  مدنظر نبوده است.<sup>۲</sup>  
۲- یعنی اوقات به آن‌ها ویژگی‌های شدنی (extensive) گفته می‌شود.

یا ذرات ریز در یک محیط ممکن است هدفی که به دنبالش هستیم، نباشد. در اکثر مسائل مهندسی، مساله، محاسبه چگونگی رفتار سیستم در حالت کلی است (نه رفتار یک مولکول بلکه مجموعه‌ای از مولکول‌ها). مانند سرعت و یا اختلاف دماها در یک محیط. به این علت استفاده از مفهوم میدان روشن می‌شود. واضح است که در مواردی بهتر است یکی از روش‌های فوق بر سایر روش‌ها ترجیح داده شود. برای مثال، یک فرد به سختی می‌تواند در مورد راه حل یک مساله هدایتی برای یک جسم جامد از دیدگاه ذره‌ای (مولکولی) بیاندیشد و یا رفتار گازهای منبسط را به کمک دیدگاه پیوستگی (میدان) توصیف نماید. مسائل متعددی وجود دارد که می‌توان از هر دو روش برای آن‌ها بهره گرفت، انتخاب هر یک از آن‌ها بستگی به عواملی همچون مهارت، سلیقه و تجربه پیشین فرد دارد. اگر به صورت فیزیکی به این دو روش نگاه کنیم (یعنی روش‌های ماکروسکوپی و میکروسکوپی<sup>۳</sup>)، تنها تفاوت در این است که فرآیند متوسط‌گیری ساختار مولکولی بسته به روش مورد استفاده، قبل یا بعد از انجام تحلیل صورت می‌گیرد. این به این معنی است که علم آمار، یا قبل از مکانیک (یا ترمودینامیک) مورد استفاده قرار می‌گیرد یا بعد از آن‌ها.

در این کتاب، توجه ما به رفتار هر کدام از مولکول‌ها (دیدگاه میکروسکوپی) معطوف نمی‌باشد، بلکه می‌خواهیم میانگین تاثیراتشان را در زمان و مکان بیابیم. به عبارت دیگر، مساله این است که یک محیط چگونه به شکل یک کل (یکپارچه) رفتار می‌کند، و یا بخش‌هایی از آن دربردارنده تعداد زیادی مولکول می‌باشد، چگونه رفتار می‌کند. بنابراین، ما مسائل انتقال حرارت را از دیدگاه پیوستگی مورد ارزیابی قرار خواهیم داد.

### ۱-۳. مبانی انتقال حرارت پیوستگی

هر علم مهندسی بر دو اصل تئوری و آزمایش (تجربه) بنا شده است. پاسخ این سوال که «چرا فقط تئوری و یا فقط آزمایش به‌جای ترکیب تئوری و آزمایش با یکدیگر، استفاده نمی‌شود؟» این است که هر یک اساساً به‌عنوان ابزار متفاوتی از دیگری است<sup>۴</sup> و هر یک تقریب‌ها و ایده‌آل‌سازی‌های خود را دارند که به دیگری مربوط نمی‌شوند. در بررسی اعتبار مسائل، هر دو مورد نیازند و ممکن است در بررسی صحت کار، نتایج تحقیقات تئوری و تجربی نظیر به نظیر مورد بهم مقایسه شوند. بنابراین، اگرچه کتاب حاضر تنها به انتقال حرارت تئوریک پرداخته است ولی باید اشاره نمود که بحث در مورد تئوری تنها به موضوعی برای رقابت مولفان تبدیل شده است، به‌جای آن‌که در مورد اهمیت تئوری و مقایسه آن با تجربه بحث شود.

حل مساله در انتقال حرارت تئوریک همانند دیگر کارهای مهندسی رامی‌توان با طرح زبر نشان داد:  
از این طرح دیده می‌شود که دو اصل در تمام مسائل مهندسی وجود دارد، یکی اصل ایده‌آل‌سازی و دیگری اصل تقریب‌زنی است.

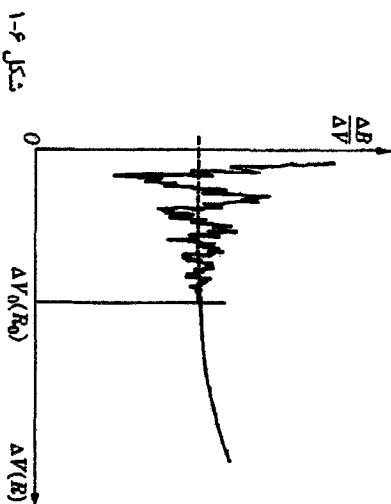
تواند برای حل مسائل فرموله شده نیز می‌توان از چندین روش تقریبی استفاده نمود و باز هم می‌توان گفت که انتخاب بهترین روش به درک، بصیرت و تجربه فردی این‌بار در حوضه ریاضیات نیازمند است نه فیزیک (چون انتخاب بهترین روش برای انجام فرمولاسیون به درک، بصیرت، و تجربه در حوضه فیزیک نیازمند است). پاسخ مسائلی که خوب فرموله شده است باید موجود، یکتا و پایا باشد هر دو مورد موجود بودن و یکتا بودن مهمند و به علوم پایه مربوط می‌شوند و از طرفی پایایی به‌طور واضح اهمیت زیادی در علم کاربردی دارد.

این کتاب به سه قسمت تقسیم شده است. قسمت اول با فرمولاسیون و قسمت دوم با روش‌های دقیق و تقریبی حل مسائل هدایت سر و کل دارد. قسمت سوم به روش‌های پیشتر فرمولاسیون و حل ساختارهای پیشرفته یا خاص پرداخته است.<sup>۱</sup>

#### مراجع

1. L. PRANDTL and O. G. TETJENS, *Fundamentals of Hydro- and Aerodynamics*, New York: McGraw-Hill, 1934.
2. M. H. SHAMOS and G. M. MURPHY, *Recent Advances in Science*, New York: Interscience Publishers, 1956.
3. A. H. SHAPIRO, *The Dynamic and Thermodynamic of Compressible Flow*, New York: The Roland Press, 1953.

حجمی<sup>۱</sup> و نیروهای سطحی<sup>۲</sup> طبقه‌بندی کرد. نیروهای حجمی بر المان دینامیکی حجم و نیروهای سطحی بر المان دینامیکی سطح در نظر گرفته می‌شوند و هر دو طی ایده‌آلسازی با حذف جفت نیروها<sup>۳</sup> می‌توانند به برداری تبدیل شوند.<sup>۴</sup> بدون این ایده‌آلسازی‌ها و بسطی از ایده‌آلسازی‌های دیگر، فرمولاسیون تئوری پیوستگی مهندسی که در مکانیک اجسام صلب و مواد تغییرشکل‌پذیر، ترمودینامیک، دینامیک گازها، انتقال حرارت با الکترومغناطیس مورد استفاده قرار می‌گیرد، غیرممکن می‌شود. این زمینه‌ها با پیوستگی‌های ایده‌آل سروکار دارند، اگر چه محیط پیوسته شامل تعداد محدود ولی بسیار زیاد از ذرات مجزا از یکدیگر می‌باشد.



از آنجایی که قوانین طبیعی تئوری پیوستگی بر پایه تعدادی ایده‌آلسازی بنا شده‌اند، ما باید برای انجام فرمولاسیون مسائل راهمایی را پیدا کنیم که فرمولاسیون انجام شده دارای اعتبار باشد. فرمولاسیون انتخاب شده به توانایی ما در تطبیق دادن مسائل یا قوانین طبیعی بستگی دارد، که این فرایند انطباق، فرایندی است که اغلب به تقریب‌های بیشتری نیازمند است تا این قوانین طبیعی را برای استفاده در شرایط مورد نظر، آماده سازد.

همیشه باید در نظر داشت که ممکن است برای انجام فرمولاسیون یک مسئله، روش‌های تقریب مختلفی وجود داشته باشد و انتخاب مناسب‌ترین روش، نیازمند درک، بصیرت و تجربه است. متأسفانه درک و بصیرت قابل آموزش نبوده و بستگی به خود فرد دارد. البته دستیابی به تجربه نیاز به تلاش فراوان و صافکاری دارد. همان‌طور که برای انجام فرمولاسیون روش‌های متعددی وجود

- 1- Body forces
- 2- Surface forces
- 3- Couples

۴- فرض خلاف جفت نیرو و چند فرض اضافی دیگر برای انجام فرمولاسیون مشکلات ایلر و تانیر-اسکرس، سیالات نیز ضروری می‌باشند.

۱- این کتاب در برگزیده ۷ فصل اول کتاب انتقال حرارت هدایتی آمده است و علاءالدین برای مطالعه پیش سوم و فصل ۸، ۹، ۱۰ و ۱۱ می‌توانند به کتاب زبان اصلی مراجعه نمایند.

## بخش I : فرمولاسیون



## فصل دوم

### فرمولاسیون‌های متمرکز، انتگرالی و دیفرانسیلی

در فصل ۱ جایگاه انتقال حرارت در بین علوم مهندسی شرح داده شد و انواع مختلف انتقال حرارت یعنی هدایت، جابه‌جایی و تابش از هم متمایز شدند. حال می‌خواهیم به بررسی کلی فرمولاسیون مسائل هدایت بپردازیم.

فرمولاسیون یا روابط فیزیکی تحلیل فازی علوم مهندسی از قبیل انتقال حرارت، براساس تعریف مفاهیم و برقراری قوانین طبیعی انجام می‌شود. قوانین طبیعی هدایت، مانند دیگر رشته‌های علمی را نه می‌توان اثبات و نه نقض نمود، و براساس مدارک و شواهد جمع‌آوری شده از آزمایشات مختلف و وسیع، استنتاج شده‌اند. از هنگامی که بشر برای درک جهان، کوشش خود را بیشتر نموده است، عبارات قوانین طبیعی که در حال حاضر موجود می‌باشند بیان شده‌اند. ما در حال حاضر به این قوانین طبیعی به عنوان توصیفات تقریبی از طبیعت رجوع نموده و از آن‌ها برای حل مسائل متداول مهندسی استفاده می‌نماییم.

همان‌طور که در فصل ۱ دیدیم، قوانین طبیعی را می‌توان به دو دسته تقسیم نمود: (۱) قوانین کلی، (۲) قوانین ویژه مشخصه قانون کلی این حقیقت است که کاربرد آن از ماهیت محیط مورد مطالعه مستقل است. به عنوان مثال‌هایی از قوانین کلی می‌توان از موارد زیر نام برد: قانون بنای جرم، قانون دوم حرکت نیوتن (شامل تکانه یا اندازه حرکت) و گشتاور اندازه حرکت، قوانین اول و دوم ترمودینامیک، قانون بقای شارژ الکتریکی، قانون نیروی لورنتز، قانون مدار آمپر، قانون القای فارادی. مسائلی که می‌توان آن‌ها را تنها با استفاده از قوانین کلی به‌طور کامل فرمول نمود، مسائل

1- Momentum

2- Moment of momentum

فصل ۲ - فرمولاسیون های متمرکز، انگرالی و دیفرانسیلی

سیستم، از مرزهای سیستم عبور ننماید. در توصیف سیستم به صورت ریاضی از روش مکانیک سیالاتی لاگرانژی استفاده می‌نماییم.

حجم کنترل<sup>۱</sup>: همان سیستم است با این تفاوت که ممکن است بقیه محیط، از مرزهای ثابت و یا قابل تغییر (سطح کنترل) یک حجم کنترل در یک یا چند نقطه عبور نماید. این تنها تفاوت بین حجم کنترل و سیستم است. برای اغلب مسائل در این کتاب لازم نیست تغییر از موارد ساده (بخش ۲-۲ را ببینید) حجم کنترل را با مرزهای متغیر در نظر بگیریم. در توصیف حجم کنترل به صورت ریاضی از روش مکانیک سیالاتی اویلری استفاده می‌کنیم.

ویژگی: یک خصوصیت ماکروسکوپی سیستم یا حجم کنترل است که با استفاده از یک روند میانگین‌گیری آماری تعیین می‌شود. ویژگی‌هایی از قبیل چگالی، سرعت، فشار، دما، انرژی درونی، انرژی جنبشی، انرژی پتانسیل، آنتالپی یا انترپی به صورت مقداری مشاهده یا ارزیابی می‌شوند. توصیف ریاضی ویژگی  $B$  بدین صورت است که تغییر  $B$  بین هر شرط اولیه و نهایی، به مسیر حرکت بستگی ندارد و داریم:

$$\int_1^2 dB = B_2 - B_1.$$

حالت: یک شرط سیستم یا حجم کنترل که به وسیله ویژگی‌ها تعیین می‌شود. حالت سیستم در صورتی تعیین می‌شود که ویژگی‌های مستقل به تعداد کافی معلوم باشند.

فرآیند: هر تغییری در هر کدام از حالات یک سیستم یا حجم کنترل.

سیکل: فرآیندی که حالات اولیه و نهایی آن یکسان است.

کار: نوعی انرژی است که به صورت زیر تعریف می‌شود. در طول یک فرآیند توسط یک سیستم یا حجم کنترل کار به روی محیط انجام می‌شود اگر تنها اثر خارجی بر سیستم یا حجم کنترل بالا بردن وزنه باشد (یعنی توسط یک سیستم در صورتی کار انجام می‌شود که وزنه جابه‌جا شود). کار انجام شده توسط سیستم یا حجم کنترل مثبت در نظر گرفته می‌شود؛ کار انجام شده روی یک سیستم یا حجم کنترل، منفی در نظر گرفته می‌شود. اغلب گونه‌های متداول کار در جملات قانون اول ترمودینامیک بررسی شده است. [معادلات (۱۶-۲) و (۲۶-۲) را ببینید].

تساوی دهایی: وقتی که دو سیستم یا حجم کنترل در تماس با یکدیگر قرار گیرند، با تغییر ویژگی‌هایشان یکدیگر را تحت‌تأثیر قرار می‌دهند. یکی از حالاتی که بعد از تماس دو سیستم یا حجم کنترل پیش می‌آید، حالت برابری دهایی نامیده می‌شود. تعریف برابری دهایی بر این امر دلالت می‌کند که دو سیستم یا دو حجم کنترل قبل از آن که در تماس با یکدیگر قرار گیرند دمای‌شان با هم برابر نبوده است.

۱- یعنی ورود و خروج جرم به یا از سیستم ناشی باشیم یا به عبارت دیگر سیستم بسته یا جرم کنترل.

۲- یا همان سیستم باز.

انتقال حرارت هدایتی

تعیین شده مکانیکی، ترمودینامیکی یا الکترومغناطیسی نامیده می‌شوند. به عبارت دیگر، مسائلی که نمی‌توان آن‌ها را تنها با استفاده از قوانین کلی به‌طور کامل فرموله نمود مسائل تعیین‌نشده مکانیکی، ترمودینامیکی یا الکترومغناطیسی نامیده می‌شوند. هر کدام از مسائل قرار گرفته در دسته دوم (مسائل تعیین‌نشده)، علاوه بر قانون کلی به یک یا تعداد بیشتر شرایط، که در شکل قوانین ویژه بیان می‌شود، نیاز دارند. مشخصه قانون ویژه این است که کاربرد آن به ماهیت محیط مورد مطالعه وابسته است. به عنوان مثال‌هایی از قوانین ویژه می‌توان از موارد زیر نام برد: قانون کشسانی هوک، قانون گرانیوز نیوتن، قانون گاز ایده‌آل، قانون هدایتی فوریه، قانون تابش استفان-بولتزمن، قانون الکتریسیته اهم. در این کتاب ما از سه قانون کلی استفاده خواهیم نمود:

(الف) قانون بقای جرم

(ب) قانون اول ترمودینامیک

(پ) قانون دوم ترمودینامیک

و نیز از دو قانون ویژه بهره می‌بریم:

(ت) قانون هدایتی فوریه

(ج) قانون تابش استفان-بولتزمن

که هر کدام از این قوانین دارای درجه اهمیت متفاوتی هستند.

## ۲-۱. تعریف مفاهیم

موضوع را با این فرضیه آغاز می‌کنیم که جهان محیطی از ساختارهای مولکولی و شامل انرژی است، و ابتدا مفاهیم زیر را تعریف می‌نماییم:

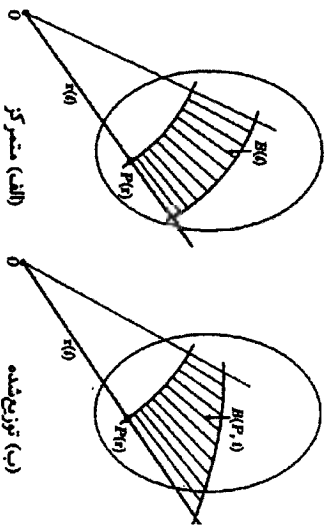
**پیوستگی (میدان):** محیطی است که دارای کمترین حجم ممکن بوده و شامل مولکول‌های کافی است و در آن می‌توان خصوصیات آماری متوسط محیط را به‌دست آورد تا به‌طور مناسبی محیط را توصیف نمود (به عنوان مثال تعریف چگالی  $\rho$  را ببینید (معادله ۱۹-۱)).

**سیستم:** بخشی از محیط (پیوستگی) است که آن را از بقیه محیط (پیوستگی) جدا می‌کنیم. تا بتوانیم به راحتی فرمولاسیون مساله را انجام دهیم. مرزهای یک سیستم می‌تواند منبسط یا منقبض شوند، اما همیشه به گونه‌ای فرض می‌کنیم که بقیه محیط در طی هرگونه تغییر در

1-Hook's law of elasticity

۲- در این کتاب مولف از واژه پیوستگی برای بیان محیط استفاده نموده است و منظور این است که محیطی را که در آن به تحلیل می‌پردازیم ماکروسکوپی است و به عبارت دیگر پیوسته است نه گسسته و مولکولی.

۳- در کتاب‌های دیگر از واژه سیستم به عنوان یک عبارت کلی برای بخشی از محیط که به منظور انجام مطالعات از بخش‌های دیگر محیط جدا می‌شود استفاده می‌شود که این سیستم می‌تواند باز یا بسته باشد و به چیزی که در این کتاب سیستم نامیده شده است سیستم بسته یا جرم کنترل گفته می‌شود.



شکل ۲-۱

در مورد فرمولاسیون‌های دگرگونی و اختلافی مربوط به قوانین کلی، تا فصول ۸، ۹ و ۱۰ توضیحی داده نمی‌شود.<sup>۱</sup> در اینجا تنها فرمولاسیون‌های متمرکز، انکگرالی و دیفرانسیلی این قوانین بررسی خواهند شد. این کار را هم برای سیستم و هم برای حجم کنترل انجام خواهیم داد. باید متذکر شد که البته، یک فرمول تبدیل<sup>۲</sup> (تئوری انتقال ریچولندز) وجود دارد که یک قانون کلی بیان شده برای یک سیستم را به قانون مربوط به حجم کنترل، تبدیل نموده و ما را از بررسی جداگانه قانون کلی برای حجم کنترل، بی‌نیاز می‌نماید. به کمک ویژگی‌های وابسته به جرم یا حجم است که انواع مختلفی از فرمول‌های تبدیل، مناسب برای انجام فرمولاسیون متمرکز، انکگرالی، و دیفرانسیلی به دست می‌آید.

### ۲-۳. فرمولاسیون متمرکز قوانین کلی

ابتدا شکل فرمول تبدیل، مورد استفاده در مورد فرمولاسیون متمرکز را معرفی می‌کنیم.  $B$  ویژگی نزدیکی وابسته به حجم یا جرم است که معیار ویژه آن  $b$  می‌باشد.

$$b = B/m \quad \text{یا} \quad B/V. \quad (2-1)$$

مثال‌های متفاوتی از  $B$  و  $b$  در جدول ۲-۱ فهرست شده‌اند. در اینجا فرمول تبدیل را برحسب مقادیر ویژه از ویژگی وابسته به جرم به دست می‌آوریم،  $B = B/m$  روند مشابهی را می‌توان برای مورد وابسته به حجم به کار برد.

یک حجم کنترل را در نظر بگیرید که در فرآیندی قرار گرفته و حالت‌های اولیه و نهایی آن در شکل ۲-۲ نشان داده شده است. جرم  $\Delta m$  در مکان  $z$  از مرزهای حجم کنترل عبور می‌کند و این جرم دارای معیار ویژه  $b_1$  از ویژگی  $B$  است (در اینجا  $\Delta$  نشان‌دهنده تغییر محدود در مورد هر

گرماء: نوعی انرژی است که در طول یک فرآیند، از مرزهای یک سیستم یا حجم کنترل، و به‌واسطه ناهمباری هدایتی عبور می‌کند. انتقال حرارت به یک سیستم یا حجم کنترل مثبت و انتقال حرارت از یک سیستم یا حجم کنترل منفی در نظر گرفته می‌شود.

می‌توان نشان داد که برهم‌کنش‌های کار و گرما بین سیستم یا حجم کنترل، و محیط به مسیر طی شده توسط فرآیند مربوطه وابسته است. بنابراین، کار و گرما، ویژگی نیستند.

اکنون می‌توان قوانین طبیعی را برحسب مفاهیم مذکور بیان نمود. ابتدا قوانین کلی را مورد بررسی قرار می‌دهیم.

### ۲-۲. قوانین کلی

اولین مرحله در شرح و بیان یک قانون کلی انتخاب یک سیستم یا حجم کنترل است. بدون این مرحله، بی‌معنی است که در مورد مفاهیمی مثل چگالی، سرعت، فشار، دما، گرما، کار، انرژی داخلی، یا انرژی که در قوانین کلی به کار می‌روند، صحبت نسائیم. با وجود آن‌که، همواره قوانین کلی معروف و ساده برای یک سیستم نوشته می‌شود، اما وقتی که با محیط‌های در حال حرکت<sup>۱</sup> سروکار داریم، تحلیل سیستم سخت خواهد بود زیرا اغلب مشخص کردن مرزهای یک سیستم متحرک برای هر بازوی زمانی محسوس، کار مشکلی است. بنابراین، به‌طور کلی در نظر گرفتن حجم کنترل برای تحلیل محیط‌های در حال حرکت، ترجیح داده می‌شود.

دومین مرحله در بیان یک قانون کلی انتخاب نوع این قانون است. ممکن است یک قانون کلی به یکی از انواع زیر فرموله شود:

- متمرکز شده<sup>۲</sup> (یا می‌توان گفت گیری شده)

- توزیع شده<sup>۳</sup>: (الف) انکگرالی، (ب) دیفرانسیلی، (ج) دگرگونی<sup>۴</sup> (ت) اختلافی<sup>۵</sup>. یک قانون کلی، متمرکز است، اگر جمله‌های آن مستقل از مکان باشد و توزیع شده است، اگر جمله‌های وابسته به مکان باشند. این امر در شکل ۲-۱ در یک نقطه  $P(z)$  به‌وسیله ویژگی  $B$  نشان داده شده است، که در آن  $\Delta$  نشان‌دهنده بردار مکان  $P$  و  $B = B(z)$  و  $B = B(z, t)$  به ترتیب نشان‌دهنده مقادیر متمرکز و توزیع شده از  $B$  است.

1- Continua in motion (است Continuum جمع Continua)

2- Lumped (به آن متمرکز نیز می‌گویند و در این کتاب از واژه متمرکز استفاده شده است)

3- Distributed

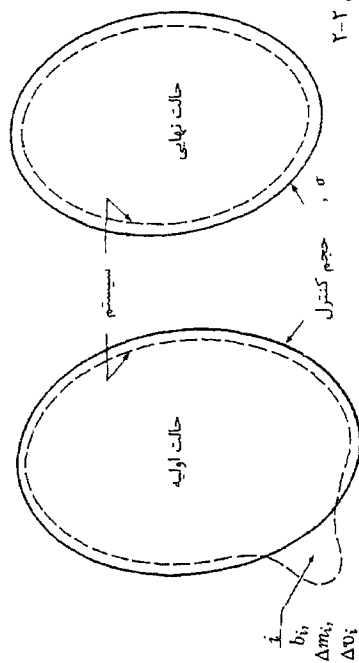
4- Variational

5- Difference

ویژگی است). انبساط یا انقباض مرزهای حجم کنترلی مشکلی ایجاد نکرده و بنابراین در بحثمان گنجانده شده است.<sup>۱</sup>

جدول ۲-۱

ویژگی (خاصیت)	$B$	$b = B/m$	$b = B/v$
جرم	$m$	1	$\rho$
حجم	$v = \begin{cases} mv \\ m/\rho \end{cases}$	$v$	1
مومنتم	$mv$	$1/\rho$	1
انرژی جنبشی	$\frac{1}{2} mV^2$	$V$	$\frac{1}{2} \rho V^2$
انرژی پتانسیل	$mgz$	$gz$	$\rho gz$
انرژی داخلی	$U = mu$	$u$	$\rho u$
انرژی کل	$E = me$	$e$	$\rho e$
آنتالپی	$H = mh$	$h$	$\rho h$
انترپنی	$S = ms$	$s$	$\rho s$
غلظت جرمی	$C = mc$	$c$	$\rho c$
بار الکتریکی	$q_e = v\rho_e$	$\rho_e/\rho$	$\rho_e$



شکل ۲-۲  
به طور همزمان یک سیستم را در نظر بگیرید که در حالت نهایی بر حجم کنترلی منطبق می‌شود اما در حالت اولیه، حجم آن  $\Delta v_i$  به علاوه حجم کنترلی است (یعنی حجم سیستم به اندازه

۱- برای روشن شدن مطلب حالت‌های اولیه و نهایی شکل ۲-۲ به طور جداگانه نشان داده شده است. درحالی که مرزها تغییر شکل می‌نمایند، کل حجم کنترلی ممکن است ثابت یا غیر ثابت باشد.

$\Delta v_i$  از حجم، حجم کنترلی بیشتر است بنابراین با این فرض جرم  $\Delta m_i$  را که به حجم کنترلی وارد می‌شود به عنوان جرمی که از ابتدا در سیستم وجود داشته در نظر می‌گیریم (م). می‌خواهیم رابطه بین تغییرات ویژگی  $B$  درون سیستم و حجم کنترلی را بیابیم.

فرض می‌کنیم که  $B_1$ ،  $B_2$ ،  $B_1'$  و  $B_2'$  به ترتیب نشان‌دهنده مقادیر اولیه و نهایی  $B$  برای سیستم و حجم کنترلی باشند. در طول فرایند نشان داده شده در شکل ۲-۲ تغییر  $B$  در سیستم به صورت زیر است:

$$\Delta B = B_2 - B_1 \quad (2-1)$$

دوباره با توجه به شکل ۲-۲ برای بیان  $B_2$  و  $B_1$  بر حسب مقادیر حجم کنترلی خواهیم داشت:

$$B_1 = B_1' + b_1 \Delta m_i, \quad B_2 = B_2' \quad (2-2)$$

بنابراین با قراردادن معادله (۲-۲) و نشان دادن تغییر در حجم کنترلی با  $\Delta B_\sigma$  داریم:

$$\Delta B = \Delta B_\sigma - b_i \Delta m_i \quad (2-4)$$

اگر مشخصه  $B$  در بیش از یک مکان، از حجم کنترلی عبور نماید معادله (۲-۴) به صورت زیر خواهد بود:

$$\Delta B = \Delta B_\sigma - \sum_{i=1}^N b_i \Delta m_i \quad (2-5)$$

که این رابطه، فرمول تبدیل مورد نظر است. در اینجا  $N$  نشان‌دهنده تعداد عبور و  $\Delta m_i$  مثبت نشان‌دهنده جریان به درون حجم کنترلی است. سرانجام با تقسیم طرفین معادله (۲-۵) بر  $\Delta t$  و انجام حد آن وقتی که  $\Delta t \rightarrow 0$  فرمول تبدیل، به صورت زیر خواهد بود:

$$\frac{dB}{dt} = \frac{dB_\sigma}{dt} - \underbrace{\sum_{i=1}^N b_i \omega_i}_{\text{حجم کنترلی}} \quad (2-6)$$

که در آن  $\omega_i = \lim_{\Delta t \rightarrow 0} (\Delta m_i / \Delta t)$  نرخ جریان جرمی عبوری از حجم کنترلی در موقعیت  $i$  است.

حال می‌خواهیم از فرمول تبدیل (۲-۶) برای به دست آوردن شکل‌های متمرکز قوانین کلی برای حجم کنترلی استفاده کنیم.

**بقای جرم (فرمولاسیون متمرکز).** طبق تعریف، در صورتی سیستم داریم که از مرزهای آن جرمی عبور نکند، بنابراین برای یک سیستم خواهیم داشت:

۱- از آنجایی که زمان نه ویژگی سیستم یا حجم کنترلی است و نه ویژگی سیستم یا حجم کنترلی نیست، در اینجا هر تغییری در زمان با همان نماد مورد استفاده در تغییر در خاصیت، نشان داده می‌شود.

فصل ۲- فرمولاسیون‌های متحرک، انرژی و دینامیکی

۲۵

$$\frac{dE}{dt} = q - P, \quad (2-13)$$

که در آن  $q = \lim_{\Delta t \rightarrow 0} (PQ/\Delta t)$  و  $P = \lim_{\Delta t \rightarrow 0} (VW/\Delta t)$  به ترتیب نرخ انتقال حرارت و نرخ کار (توان) می‌باشند. شایان ذکر است که برحسب طبقه‌بندی ما برای قانون‌های کلی، معادله (۲-۱۳) متحرک فضایی است اما از نظر زمانی شکل دینامیکی قانون اول ترمودینامیک سیستم‌ها است.

برطبق معمول با استفاده از فرمول تبدیل (۲-۶) و استفاده از جدول ۲-۱ خواهیم داشت:

$$B = E, \quad b = e, \quad (2-14)$$

سپس با قرار دادن معادله (۲-۱۴) در معادله (۲-۶) و قرار دادن نتیجه آن در معادله (۲-۱۳) شکل شدنی قانون اول ترمودینامیک برای حجم کنترل متحرک را خواهیم داشت:

$$\frac{dE}{dt} - \sum_{i=1}^N e_i \omega_i = q - P, \quad (2-15)$$

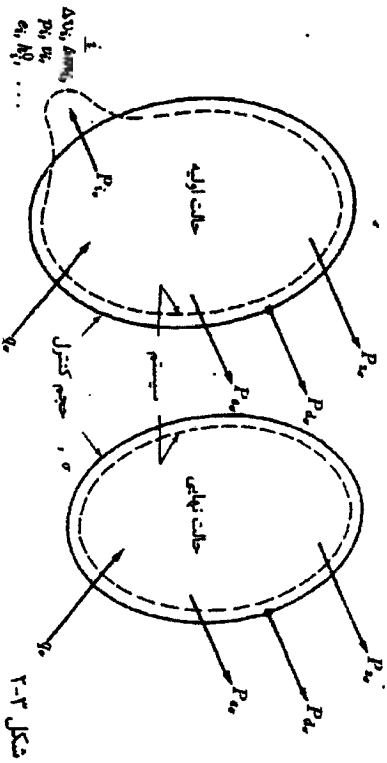
که در آن  $P$  توان خارج شده از سیستم و  $q$  نرخ حرارت وارد شده به سیستم است. توان  $P$  معمولاً شامل سه بخش است:

$$P = P_d + P_g + P_e,$$

که در آن  $P_d$ ،  $P_g$  و  $P_e$  به ترتیب توان‌های جابه‌جایی، محوری و الکتریکی می‌باشند. می‌توان این توان‌ها را با عبارات مناسبی به صورت توان‌های خروجی از حجم کنترل بیان نمود:

$$P_d = (P_d + P_i)_e, \quad P_g = P_{g_e}, \quad P_e = P_{e_e} + P_{e_{w,i}}$$

که در آن  $P_{e_e}$ ،  $P_{e_w}$ ،  $P_{e_i}$  و  $P_{e_{w,i}}$  به ترتیب نشان‌دهنده توان‌های جابه‌جایی، جریان جرمی، محوری و الکتریکی است (شکل ۲-۳).



شکل ۲-۳

انتقال حرارت هدایتی

۲۴

$$\frac{dm}{dt} = 0, \quad (2-7)$$

که این رابطه معادله بقای جرم برای سیستم‌های متحرک است. حال می‌توانیم معادله بقای جرم برای حجم کنترل نشان داده شده در شکل ۲-۲ را با استفاده از معادلات (۲-۶) و (۲-۷) به‌دست آوریم. با استفاده از جدول ۲-۱ داریم:

$$B = m, \quad b = 1, \quad (2-8)$$

با قرار دادن معادله (۲-۸) درون (۲-۶) خواهیم داشت:

$$\frac{dm}{dt} = \frac{dm_g}{dt} - \sum_{i=1}^N e_i \omega_i.$$

با استفاده از این نتیجه و معادله (۲-۷) خواهیم داشت:

$$0 = \frac{dm_g}{dt} - \sum_{i=1}^N e_i \omega_i. \quad (2-9)$$

این معادله بقای جرم برای حجم کنترل متحرک می‌باشد.

قانون اول ترمودینامیک (فرمولاسیون متحرک): از آبیایی که این قانون در انتقال حرارت با اهمیت بوده و دارای کاربردهای زیادی است، با جزئیات بیشتری بررسی خواهد شد.

در سرتاسر مرزهای یک سیستم که یک سیکل کامل را طی می‌کند، حرارت خالص برابر با کار خالص می‌باشد:

$$VQ = VW, \quad (2-10)$$

که در آن  $V$  نشان‌دهنده مقدار خالص غیر ویژگی‌هاست (کار و گرما جزو ویژگی‌های ترمودینامیکی نیستند).

اگر سیستم در یک فرایند قرار گیرد یعنی سیستم یک سیکل را طی نکند و فقط یک فرایند را انجام دهد (مثلاً تفاوت بین گرما و کار خالص برابر تغییر انرژی کل سیستم (که یک ویژگی است) می‌باشد.

$$\Delta E = VQ - VW, \quad (2-11)$$

در اینجا ممکن است  $E$  در شکل‌های مختلفی از قبیل انرژی درونی، جنبشی، پتانسیل، شیمیایی، و هسته‌ای وجود داشته باشد. بنابراین:

$$E = U + \frac{1}{2} mV^2 + mgz + U_{\text{پتانسیل}} + U_{\text{شیمیایی}} \quad (2-12)$$

شکل شدنی معادله (۲-۱۱) قانون اول ترمودینامیک برای سیستم‌های متحرک را حاصل می‌کند:

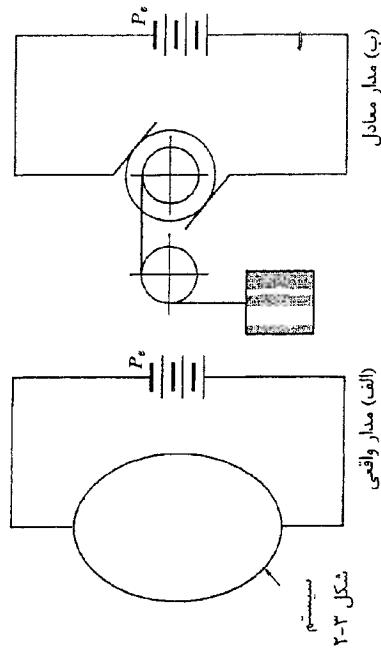
به عنوان مثال، فرض کنید که در سیستم شکل ۲-۳، انرژی داخلی کل با نرخ  $U'_e + U'_g = U'$  و به وسیله یک مدار الکتریکی خارجی (شکل ۲-۴ الف) تولید شود. بر طبق تعریف کار، این تولید انرژی برابر توان  $P_e$  است که به سیستم وارد می‌شود (شکل ۲-۴ ب). بنابراین داریم:

$$P_e = U',$$

که

$$P_e = P_{e\sigma} + P_{e\Delta v_i}$$

در مقالات علمی به اشتباه واژه "تولید حرارت" به واژه جای تولید انرژی داخلی استفاده شده است. توان الکتریکی  $P_{e\Delta v_i}$  برابر انرژی الکتریکی داخلی تولید شده در حجم  $\Delta v_i$  بوده و باید در جریان انرژی داخلی عبوری از مرزهای کنترل حجم  $e_i \omega_i$  (یعنی  $\sum_{i=1}^N e_i \omega_i$ ) به حساب آید.



شکل ۲-۴

اگر اصطکاک قابل صرف‌نظر باشد، توان جریان گرمی  $P_{e\sigma}$  به صورت زیر تبدیل خواهد شد:

$$P_{e\sigma} = - \lim_{\Delta t \rightarrow 0} \sum_{i=1}^N (p_i \Delta v_i / \Delta t) = - \sum_{i=1}^N p_i v_i \omega_i,$$

که در آن  $\Delta v_i$  حجم و  $v_i$  حجم ویژه جرم  $\Delta m_i$  و  $p_i$  فشار در مرزهای  $\Delta v_i$  است. به‌طور مشابه، نرخ گرمای  $q$  دریافت شده توسط سیستم را می‌توان برحسب  $q_\sigma$  دریافت شده توسط حجم کنترل بیان نمود. بنابراین داریم:

$$q = q_\sigma + q_{\Delta v_i}$$

البته از نقطه نظر تحلیل حجم کنترل، ممکن است  $q_{\Delta v_i}$  مثل  $P_{e\sigma}$  به عنوان افزایش انرژی داخلی در حجم  $\Delta v_i$  در نظر گرفته شود و در جریان انرژی داخلی  $\sum_{i=1}^N e_i \omega_i$  به حساب آید.

با بازآرایی معادله (۲-۱۵)، شکل صریح قانون اول ترمودینامیک برای حجم‌های کنترل متمرکز را به‌دست می‌آوریم:

$$\frac{dE_g}{dt} = \sum_{i=1}^N h_i^0 \omega_i + q_\sigma - (P_d + P_s + P_e) \sigma, \quad (2-16)$$

که در آن  $h_i^0$  نشان‌دهنده آنتالپی سکون به ازای واحد جرم است.

**قانون دوم ترمودینامیک (فرمولاسیون متمرکز):** ابتدا قانون دوم ترمودینامیک برای سیستم متمرکز را ارائه می‌دهیم:

$$\Delta S \geq \frac{\delta Q}{T}, \quad (2-17)$$

و در شکل شدتی داریم:

$$\frac{dS}{dt} \geq \frac{q}{T} \quad (2-18)$$

(یا می‌توان نوشت:  $\frac{dS}{dt} = \frac{q}{T} + S_g$ )  
بنابراین، با استفاده از جدول ۲-۱ خواهیم داشت:

$$B = S, \quad b = S \quad (2-19)$$

با قرار دادن معادله (۲-۱۹) در معادله (۲-۶) و بعد قرار دادن نتیجه آن درون معادله (۲-۱۸) قانون دوم ترمودینامیک برای حجم‌های کنترل متمرکز به‌دست می‌آید:

$$\frac{dS_g}{dt} \geq \sum_{i=1}^N s_i \omega_i + \frac{q}{T}, \quad (2-20)$$

با قرار دادن تولید انترپنی  $S_g$ ، ممکن است معادله (۲-۲۰) را به شکل زیر بنویسیم:

$$\frac{dS_g}{dt} = \sum_{i=1}^N s_i \omega_i + \frac{q}{T} + S_g, \quad (2-21)$$

که این رابطه معادله بقای انترپنی برای حجم‌های کنترل متمرکز می‌باشد.

از آنجایی که  $S_g$  در ارتباط با درجه بازگشت‌ناپذیری است، معادله (۲-۲۱) برای مطالعه فرایندهای بازگشت‌ناپذیر مفید است. این نکته در فرمولاسیون دیفرانسیلی به دقت گنجانده شده است. [معادلات (۲-۶۶) تا (۲-۶۹) را ببینید].

۱- مفهوم کار تلف شده در مرجع ۹ را ببینید، معادله (۷-۸).

۲- وقتی که  $0 \rightarrow S_g$  معادله (۲-۲۱) تنها برای فرایندهای بازگشت‌ناپذیر استفاده می‌شود (در فرایندهای بازگشت‌ناپذیر به دلیل وجود بازگشت‌ناپذیری‌هایی مثل اصطکاک، انبساط آزاد، واکنش شیمیایی و غیره درون سیستم یا حجم کنترل انترپنی تولید می‌شود اما در مورد فرایندهای بازگشت‌ناپذیر چون عوامل بازگشت‌ناپذیری وجود ندارند بنابراین تولید انترپنی نخواهیم داشت.م).

$$(۲-۲۲) \quad \left(\frac{dB}{dt}\right)_{\text{سیستم}} = \lim_{\Delta t \rightarrow 0} \left[ \frac{B_2(t+\Delta t) - B_1(t)}{\Delta t} + \frac{B_2(t+\Delta t)}{\Delta t} - \frac{B_1(t)}{\Delta t} \right]$$

عبارت دوم      عبارت سوم      عبارت اول

که در آن  $B_1$  و  $B_2$  و  $B_3$  مقادیر احتمالی  $B$  متناظر با سه ناحیه از فضا است که در شکل ۲-۵ با ۱، ۲ و ۳ نشان داده شده‌اند.

وقتی که  $\Delta t \rightarrow 0$  مکان ۱ با حجم کنترل منطبق می‌شود و اولین عبارت سمت راست معادله (۲-۲۲) نرخ زمانی تغییر  $B$  درون حجم کنترل را حاصل می‌کند از آنجایی که  $B$  اکنون علاوه بر بستگی به زمان به مکان نیز بستگی دارد. ممکن است این نرخ تغییر به خوبی برحسب  $b \rho \frac{dB}{dt}$  بیان شود.  $\gamma$  حجم ثابت حجم کنترل،  $dV$  همان حجمی،  $b = B/m$  است. برای این عبارت اول معادله (۲-۲۲) داریم:

$$(۲-۲۳) \quad \lim_{\Delta t \rightarrow 0} \frac{B_2(t+\Delta t) - B_1(t)}{\Delta t} = \left(\frac{dB}{dt}\right)_\sigma = \int_\sigma \frac{\partial(b\rho B)}{\partial t} dV$$

عبارت دوم و سوم در معادله (۲-۲۳) به ترتیب جریانات خروجی و ورودی  $B$  درون سطح کنترل  $\sigma$  را نشان می‌دهند. این عبارات را می‌توان با در نظر گرفتن استوانه هاشورخورده در شکل ۲-۴ ارزیابی نمود. ارتفاع این استوانه  $(\Delta t)n$ ، حجم آن  $(\Delta t)n d\sigma$ ، جرم آن  $\rho(\Delta t)n d\sigma$ ، تغییرات  $B$  در آن نشان‌دهنده سرعت جریانی،  $n$  بردار عمود بیرونی، و  $d\sigma$  همان سطح حجم کنترل است. بنابراین نرخ‌های جریانی جرم و ویژگی  $B$  درون  $d\sigma$  به ترتیب  $d\sigma \rho V \cdot n$  و  $d\sigma b \rho V \cdot n$  می‌باشند. با انتگرال‌گیری از دو عبارت اخیر روی تمام سطح کنترل داریم:

$$(۲-۲۴) \quad \lim_{\Delta t \rightarrow 0} \left[ \frac{B_2(t+\Delta t)}{\Delta t} - \frac{B_1(t)}{\Delta t} \right] = \int_\sigma b \rho V \cdot n d\sigma$$

سرانجام، با قرار دادن معادلات (۲-۲۴) و (۲-۲۵) در معادله (۲-۲۳)، فرمول تبدیل مورد نظر صورت زیر حاصل می‌شود<sup>۲</sup>:

$$(۲-۲۵) \quad \left(\frac{dB}{dt}\right)_{\text{سیستم}} = \int_\sigma \frac{\partial(b\rho B)}{\partial t} dV + \int_\sigma b \rho V \cdot n d\sigma$$

حجم کنترل

باید متذکر شد که این فرمول تبدیل براساس بیان فیزیکی تعریف سیستم و حجم کنترل درست آمده است. ممکن است با استفاده از توضیحات ریاضی و توابع لاجزایی و اویلری محیط پوسته بیرونی به نتایج مشابهی برسیم. این عبارات ریاضی در اینجا ذکر نمی‌شوند.<sup>۳</sup>

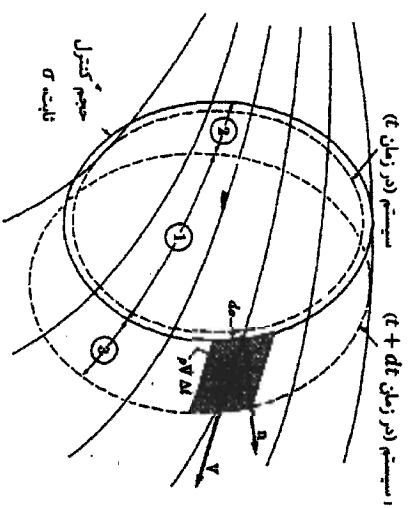
- از آنجایی که حجم کنترل ثابت است،  $dV/dt \equiv 0$ ، مرتبه دیفرانسیل‌گیری و انتگرال‌گیری توابع به‌دین

<sup>۲</sup> سطح فرورداد علامت‌های عبارت نرخ فرمول تبدیل انتگرالی و متسکر مخالف یکدیگرند.  
<sup>۳</sup> به عنوان مثال مرجع ۱۲ صفحه ۸۴ را ببینید.

بعد از ارائه قانون‌های کلی متسکر برای سیستم‌ها و حجم‌های کنترل، اکنون می‌خواهیم به شکل‌های انتگرالی متنظر آن‌ها بپردازیم. اگر جریان جرم از مرزهای حجم کنترل به صفر برسد جملات قانون‌های کلی آن مشابه جملات مربوط به یک سیستم خواهد بود. بنابراین، اگر چه نقطه آغاز کارمان همواره با سیستم است ولی شکل‌های انتگرالی و دیفرانسیلی را تنها برای حجم کنترل ارائه می‌دهیم.

۲-۴ فرمولاسیون انتگرالی قوانین کلی

مانند مورد متسکر، مرحله اول به‌دست آوردن یک فرمول انتقال مناسب است. به‌دلیل کاهش پیچیدگی فرمولاسیون انتگرالی، فرمول را برای حجم کنترل ساکن در نظر می‌گیریم. این فرض برای اغلب موارد فرمولاسیون انتگرالی قانون‌های کلی، صادق است. یک حجم کنترل ساکن را در نظر بگیرید که در آن مشخصه  $B$  جریان دارد (شکل ۲-۵). فرض کنید که در زمان  $t$ ، یک سیستم سطحی با این حجم کنترل باشد. می‌خواهیم نرخ زمانی تغییر ویژگی در سیستم را به‌دست آوریم.



شکل ۲-۵

از آنجایی که محیط نمی‌تواند مرزهای خود را قطع کند، این سیستم در طول یک بازه زمانی  $\Delta t$  با محیط حرکت نموده و در زمان  $t + \Delta t$  همان‌طور که در شکل ۲-۵ نشان داده شده است، حجم دیگری را در فضا اشغال می‌کند. بنابراین نرخ تغییر مورد نیاز را می‌توان به‌صورت زیر نوشت:

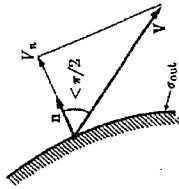
$$(۲-۲۶) \quad \left(\frac{dB}{dt}\right)_{\text{سیستم}} = \lim_{\Delta t \rightarrow 0} \frac{[B_2(t+\Delta t) + B_3(t+\Delta t)] - [B_1(t) + B_2(t)]}{\Delta t}$$

با بازآرایی عبارت این معادله خواهیم داشت:

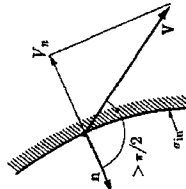
حال می‌خواهیم از معادله (۲-۲۶) برای به‌دست آوردن شکل انتگرالی قوانین کلی برای حجم‌های کنترل استفاده کنیم.

شکل صریح معادله (۲-۲۵) برای جریانات خروجی و ورودی در شکل ۲-۶ بیان شده است.

$$\lim_{\Delta t \rightarrow 0} \frac{B_3(t+\Delta t)}{\Delta t} = \int_{\sigma} b \rho \mathbf{V} \cdot \mathbf{n} d\sigma \\ = \int_{\sigma_{out}} b \rho V_n d\sigma_{out}$$



$$\lim_{\Delta t \rightarrow 0} \frac{B_2(t)}{\Delta t} = \int_{\sigma} b \rho \mathbf{V} \cdot \mathbf{n} d\sigma \\ = - \int_{\sigma_{in}} b \rho V_n d\sigma_{in}$$



شکل ۲-۶

قانون بقای جرم (فرمولاسیون انتگرالی). مقادیر مناسب قبلی برای  $b$  و  $B$  در نظر گرفته می‌شود:

$$B = m, \quad b = 1 \quad (۲-۸)$$

با قراردادن این مقادیر در معادله (۲-۲۶) داریم:

$$\left( \frac{dm}{dt} \right)_{سیستم} = \int_V \frac{\partial \rho}{\partial t} dV + \int_{\sigma} \rho \mathbf{V} \cdot \mathbf{n} d\sigma. \quad (۲-۲۷)$$

از آنجایی که سمت چپ معادله (۲-۲۷) برابر صفر است خواهیم داشت:

$$0 = \int_V \frac{\partial \rho}{\partial t} dV + \int_{\sigma} \rho \mathbf{V} \cdot \mathbf{n} d\sigma, \quad (۲-۲۸)$$

که این معادله بقای جرم برای حجم‌های کنترل انتگرالی است.

**قانون اول ترمودینامیک (فرمولاسیون انتگرالی).** می‌خواهیم شکل انتگرالی قانون اول ترمودینامیک را برای حجم کنترل شکل ۲-۵ بیان کنیم. با سیستم نشان داده شده در شکل آغاز می‌کنیم. شکل شدتی (نرخ) قانون اول برای این سیستم به‌صورت زیر است:

$$\left( \frac{dE}{dt} \right)_{سیستم} = \left( \frac{\delta Q}{dt} \right)_{سیستم} - \left( \frac{\delta W}{dt} \right)_{سیستم} \quad (۲-۲۹)$$

که در آن  $d$  و  $\delta$  به ترتیب نشان‌دهنده تغییر دیفرانسیلی ویزگی و مقدار یک غیر ویزگی است (مثل گرما و کار).<sup>۱</sup>

با توجه به فرمول (۲-۱۴):

$$B = E, \quad b = e \quad (۲-۱۴)$$

و فرمول انتقال (۲-۲۶) می‌توانیم معادله (۲-۲۹) را به‌صورت زیر بازنویسی نماییم:

$$\left( \frac{dE}{dt} \right)_{سیستم} = \int_V \frac{\partial(e\rho)}{\partial t} dV + \int_{\sigma} e\rho \mathbf{V} \cdot \mathbf{n} d\sigma. \quad (۲-۳۰)$$

از آنجایی که در زمان  $t$  سیستم حجم کنترل را اشغال می‌کند. نرخ انتقال حرارت  $(\delta Q/dt)$  و نرخ کار (توان)  $P = \left( \frac{\delta W}{dt} \right)_{سیستم}$  در طول مرزهای سیستم را می‌توان به‌طور مناسبی برحسب حجم کنترل بیان نمود.

بنابراین، با قراردادن برآورد شار حرارتی  $\mathbf{q}$  (شکل ۲-۷) و انتگرال‌گیری از نرخ انتقال حرارت  $\mathbf{q} \cdot \mathbf{n} d\sigma$  از امان سطح  $d\sigma$  در تمام سطح کنترل خواهیم داشت:

$$\left( \frac{\delta Q}{dt} \right)_{سیستم} = - \int_{\sigma} \mathbf{q} \cdot \mathbf{n} d\sigma, \quad (۲-۳۱)$$

که در آن علامت منفی این معادله با علامت قراردادی برای گرما مطابقت دارد.

از آنجایی که در این مبحث با یک مورد متمرکز سروکار داریم عبارت نرخ کار سیستم  $(\delta W/dt)$  را می‌توان به‌طور مناسبی با در نظر گرفتن عناصرش بیان نمود. این عناصر نرخ‌های کلی انجام شده توسط موارد زیر می‌باشند:

(الف) سیستم در فشار محیط،

$$\left( \frac{\delta W}{dt} \right)_d = P_d,$$

(ب) سیستم در محیطی با تنش‌های گرانبرو،

۱- درجه مقدار  $(\delta)$  همانند درجه تغییرات دیفرانسیلی  $(d)$  است.  
۲- در این کتاب تعریف شار و جریان کاملاً دارای تمایز است. جریان، برای نشان دادن چابختی (حرکت) ویزگی وابسته به جرم یا حجم درون یک سطح به کار می‌رود. که مثال‌های آن انتقال جرم، موئمت، انرژی، انتقالی، و اترومی با چابختی و انتقال جریان الکتریکی است. از سوی دیگر، شار، برای بیان نرخ نفوذ یک ویزگی (یا غیرویژگی) به ازای واحد سطح به‌دلیل حرکت مولکول‌ها، استفاده می‌شود. مثال‌های آن انتقال‌های آن جرم، موئمت، و حرارت به دلیل نفوذ و رسانش جریان الکتریکی است. علامت‌های مورد استفاده در بیان انتقال حرارت هدایتی به‌صورت زیر است: انتقال حرارت،  $Q$  (Btu)؛ نرخ انتقال حرارت،  $\dot{q}$  (Btu/hr)؛ نرخ انتقال حرارت به ازای واحد سطح (شار)،  $q$  به همراه یک زیرنویس یا بلا نویس، به‌طور مثال  $q''$  و  $q_x$  و ... یا  $\mathbf{q}$  (Btu/ft<sup>2</sup> · hr).



۲- فرمولاسیون های مترکز، انتگرالی و دینفرانسیلی

قانون دوم ترمودینامیک (فرمولاسیون انتگرالی). شکل شدنی این قانون برای سیستم شکل ۲-۵ نوشته شده است:

$$\frac{dS}{dt} \geq \frac{q}{T} \quad (2-18)$$

سمت راست معادله (۲-۱۸) ممکن است برحسب بردار شار حرارت  $q$  بیان شود:

$$q/T = - \int_{\sigma} (q/T) \cdot n \, d\sigma \quad (2-18a)$$

با قرار دادن،

$$B = S, \quad b = s \quad (2-19)$$

بر معادله (۲-۲۶)، سپس قرار دادن نتیجه به همراه معادله (۲-۲۸) درون معادله (۲-۱۸) قانون دوم ترمودینامیک برای جرمهای کنترلی انتگرالی به دست می آید:

$$\int_{\sigma} \frac{\partial(\rho \theta)}{\partial t} dV + \int_{\sigma} \rho v \cdot n \, d\sigma \geq - \int_{\sigma} \left(\frac{q}{T}\right) \cdot n \, d\sigma. \quad (2-19a)$$

با استفاده از معادله (۲-۲۱) برای حالت مترکز و با افزودن تولید کل انترودی  $S_{\sigma} = \int_{\sigma} s''' \, dV$

$$\int_{\sigma} \frac{\partial(\rho \theta)}{\partial t} dV + \int_{\sigma} \rho v \cdot n \, d\sigma = - \int_{\sigma} \left(\frac{q}{T}\right) \cdot n \, d\sigma + \int_{\sigma} s''' \, dV, \quad (2-19b)$$

که در آن  $s'''$  نرخ تولید انترودی محلی به ازای واحد حجم است. در پایان مطالعه پیرامون شکل های انتگرالی قوانین کلی، حال می خواهیم شکل های دینفرانسیلی این قوانین را بیان نماییم.

۲-۲-۱ فرمولاسیون دینفرانسیلی قوانین کلی

بر روش برای دستیابی به شکل های دینفرانسیلی قوانین کلی وجود دارد. یکی از آن ها با شکل ۲-۱۸ شروع می شود و در آن از قضیه دیورژانس (گرین) استفاده شده و انتگرال های سطحی این شکل انتگرالی را تبدیل به انتگرال های حجمی می نماید. سپس با حذف عملیات انتگرال حجمی حاصل، شکل دینفرانسیلی به دست می آید. در روش دوم به طور مستقیم شکل های دینفرانسیلی بر حسب یک حجم کنترل دینفرانسیلی مناسب انتخاب شده و به دست می آیند. روش اول در این جهت کوتاه تر بوده و در اینجا ترجیح داده می شود.



شکل ۲-۷

$$(\delta W / dt)_e = P_e \quad (2-22)$$

(ب) محوری که از سیستم به محیط نیرو وارد می کند.

$$(\delta W / dt)_s = P_s \quad (2-23)$$

(ت) توان الکتریکی که از طرف سیستم بر محیط وارد می شود.

$$(\delta W / dt)_e = P_e.$$

در طول بازوی زمانی  $dt$  کر انجم شده توسط سیستم برای غلبه بر فشار وارده بر همان سطح  $d\sigma$  برابر  $p \, d\sigma (V \, \Delta t) \cdot n$  است، که در آن  $p \, d\sigma (V \, \Delta t) \cdot n$  ارتجاع استوانه و فاصله بین بردار عمود تا  $d\sigma$  است. با انتگرال گیری از این عبارت در تمام سطح کنترل داریم:

$$P_p = \int_{\sigma} p v \cdot n \, d\sigma = \int_{\sigma} (p/\rho) \rho v \cdot n \, d\sigma. \quad (2-24)$$

انتگرال دوم معادله (۲-۲۴) به وسیله ضرب و تقسیم تابع تحت انتگرال اول در  $\rho$  حاصل می شود و وقتی که تعریف انتالپی استفاده شود این رابطه مناسب تر می باشد. اعماللات (۲-۲۶) و (۲-۲۷) را پیچید!

برای موردی که  $P_e$  نشان دهنده توان وارد بر سیستم از یک جریان الکتریکی خارجی است، داریم:

$$P_e = - \int_{\sigma} u''' \, dV, \quad (2-25)$$

که در آن  $u'''$  نرخ انرژی داخلی محلی به ازای واحد حجم است که به وسیله الکتریسیته در سیستم تولید می شود.

با قرار دادن معادلات (۲-۲۰)، (۲-۲۱)، (۲-۲۲)، (۲-۲۳) و (۲-۲۵) درون معادله (۲-۲۹) داریم:

$$\int_{\sigma} \frac{\partial(\rho \theta)}{\partial t} dV + \int_{\sigma} \rho v \cdot n \, d\sigma = - \int_{\sigma} q \cdot n \, d\sigma - \int_{\sigma} (p/\rho) \rho v \cdot n \, d\sigma - P_e - P_s + \int_{\sigma} u''' \, dV. \quad (2-26)$$

علاوه بر آن، با استفاده از تعریف انتالپی سکون به ازای واحد جرم  $h^0 = e + pv$  معادله (۲-۲۶) را می توان بازنویسی نمود و قانون اول ترمودینامیک برای جرمهای کنترلی انتگرالی به دست می آید:

$$\int_{\sigma} \frac{\partial(\rho h^0)}{\partial t} dV + \int_{\sigma} \rho h^0 v \cdot n \, d\sigma = - \int_{\sigma} q \cdot n \, d\sigma - P_e - P_s + \int_{\sigma} u''' \, dV. \quad (2-27)$$

ابتدا قضیه دیورژانس را می‌نویسیم، که بیان می‌کند برای یک حجم  $V$  که دارای سطح تنگه‌ای یکساخت  $S$  است، می‌توان نوشت:

$$\int_V \mathbf{a} \cdot \mathbf{n} \, d\sigma = \int_V \nabla \cdot \mathbf{a} \, dV, \quad (2-41)$$

که در آن  $\mathbf{a}$  هر بردار همواره دیفرانسیل‌پذیر می‌باشد. سپس با استفاده از معادله (2-41)، شکل‌های دیفرانسیلی قوانین کلی را می‌توان با استفاده از شکل‌های انتگرالی‌شان به‌دست آورد.

**قانون بقای جرم (فرمولاسیون دیفرانسیلی).** شکل انتگرالی این قانون، معادله (2-38) است که انتگرال سطحی آن با استفاده معادله (2-41) و  $\rho V = a$  به انتگرال حجمی تبدیل می‌شود و با بازآرایی آن داریم:

$$0 = \int_V \left[ \frac{\partial \rho}{\partial t} + \nabla \cdot (\rho \mathbf{V}) \right] dV, \quad (2-42)$$

از آنجایی که معادله (2-42) برای یک حجم کنترل اختیاری صحیح است، انتگرالده باید در همه جا صفر باشد، بنابراین قانون بقای جرم برای حجم‌های کنترلی دیفرانسیلی به‌دست می‌آید:

$$\frac{\partial \rho}{\partial t} + \nabla \cdot (\rho \mathbf{V}) = 0. \quad (2-43)$$

یا نوشتن بردار معروف همانی داریم:

$$\nabla \cdot (\alpha \beta) = \alpha \nabla \cdot \beta + \beta \cdot \nabla \alpha. \quad (2-44)$$

که در آن  $\alpha$  یک مقدار نرده‌ای و  $\beta$  یک بردار است) با در نظر گرفتن عبارت مشتقی زیر<sup>۱</sup>

$$\frac{d\alpha}{dt} = \frac{\partial \alpha}{\partial t} + \nabla \cdot \mathbf{V} \alpha, \quad (2-45)$$

شکل دیگر معادله (2-43) را می‌توان به‌صورت زیر نوشت:

$$\frac{d\rho}{dt} + \rho \nabla \cdot \mathbf{V} = 0. \quad (2-46)$$

برای جامدات و سیالات تراکم‌ناپذیر، ثابت  $\rho$  است و معادله (2-46) به‌صورت زیر نوشته می‌شود:

$$\nabla \cdot \mathbf{V} = 0. \quad (2-47)$$

۱- این مشتق اغلب با  $D/Dt$  نشان داده می‌شود، و معمولاً به عنوان مشتق مادی، مشتق اساسی، مشتق جابهجایی معروف است.

قبل از آن که قانون کلی دیگری را مدنظر قرار دهیم، شکل انتگرالی فرمول تبدیل، یعنی معادله (2-26) را بازآرایی می‌کنیم و به‌صورت شکل دیفرانسیلی قانون بقای جرم در می‌آوریم با تبدیل انتگرال سطحی معادله (2-26) به انتگرال حجمی و استفاده از معادلات (2-43) و (2-44) داریم:

$$\left( \frac{dB}{dt} \right)_{\text{سیتم}} = \int_V \rho \frac{db}{dt} dV. \quad (2-48)$$

در اینجا از این شکل فرمول تبدیل برای فرمولاسیون دیفرانسیلی قوانین کلی استفاده می‌شود.

**قانون اول ترمودینامیک (فرمولاسیون دیفرانسیلی).** سمت راست معادله (2-30) با سمت چپ معادله (2-36) (یعنی شکل انتگرالی قانون اول ترمودینامیک) برابر است، و می‌توان سمت چپ معادله (2-30) را با استفاده از معادله (2-48) تغییر داد. بنابراین خواهیم داشت:

$$\int_V \rho \frac{de}{dt} dV = - \int_V \mathbf{q} \cdot \mathbf{n} \, d\sigma - \int_V p \mathbf{V} \cdot \mathbf{n} \, d\sigma - P_t - P_s + \int_V u''' dV. \quad (2-49)$$

از آنجایی که فرض می‌کنیم با جامدات و سیالات تراکم‌ناپذیر بدون اصطکاک سروکار داریم در نتیجه  $P_t = 0$  است. علاوه بر آن با در نظر گرفتن موارد ویژه‌ای که در آن‌ها  $P_s = 0$  است، و تبدیل انتگرال‌های سطحی مربوط به شار حرارتی و نرخ کار فشاری به انتگرال‌های حجمی، و سپس حذف عملیات انتگرال حجمی خواهیم داشت:

$$\rho \frac{de}{dt} + \nabla \cdot (\rho \mathbf{V} + \mathbf{q}) = u'''. \quad (2-50)$$

با بسط عبارت  $\nabla \cdot (\rho \mathbf{V})$  به‌وسیله معادله (2-43) و برای، ثابت  $\rho$  و با استفاده از معادله (2-47) خواهیم داشت:

$$\nabla \cdot (\rho \mathbf{V}) = \mathbf{V} \cdot \nabla \rho. \quad (2-51)$$

با قرار دادن معادله (2-51) درون معادله (2-50) داریم:

$$\rho \frac{de}{dt} + \mathbf{V} \cdot \nabla \rho + \nabla \cdot \mathbf{q} = u''', \quad (2-52)$$

که این رابطه، قانون اول ترمودینامیک برای حجم کنترل دیفرانسیلی است. از آنجایی که معادله (2-52) بیانی از قانون بقای انرژی کل است، می‌توانیم نتایجی را از آن استنباط نماییم.

در غیاب اثرات حرارتی، شیمیایی و هسته‌ای معادله (2-52) به قانون بقای انرژی مکانیکی برای حجم کنترل دیفرانسیلی تبدیل می‌شود:

$$\rho \frac{d}{dt} \left( \frac{1}{2} V^2 + gz \right) + \mathbf{V} \cdot \nabla p = 0. \quad (2-53)$$

معادله (2-53) را می‌توان برای فرایندهایی که شامل اثرات حرارتی، شیمیایی، و یا هسته‌ای هستند با استفاده از قانون دوم حرکت نیوتن به‌طور مستقیم به‌دست آورد.

با استفاده از تعریف آنتالپی به ازای واحد جرم،  $h = v + pv$  خواهیم داشت،

$$(۲-۶۱۲) \quad dh = du, \quad p = \text{ثابت}, \quad v = \text{ثابت}$$

بنابراین با ترکیب معادلات (۲-۶۰) و (۲-۶۱) و (۲-۶۲) داریم:

$$(۲-۶۱۳) \quad c_p = c_v = c,$$

اگر  $p$  تغییر کند،  $c_p - c_v$  برای جملات و سیالات تراکمناپذیر، کوچک و قابل صرف نظر خواهد بود<sup>۱</sup> و معادله (۲-۶۱۳) بهطور تقریبی همچنان برقرار خواهد بود.

با قرار دادن معادله (۲-۶۲) درون معادله (۲-۶۰) و قرار دادن نتیجه آن در معادله (۲-۵۷) سرانجام خواهیم داشت:

$$(۲-۶۱۴) \quad \rho c \frac{dT}{dt} + \nabla \cdot \mathbf{q} = u^m,$$

که این عبارت بیان دیگری از قانون بقای انرژی حرارتی برای حجم کنترل دینامیکی است. در بعضی موارد (۲-۶۲) نقطه آغازی برای به دست آوردن شکل دینامیکی معادله هدایت خواهد بود.

قانون دوم ترمودینامیک (فرمولاسیون دینامیکی). با تبدیل سمت چپ معادله انتگرالی قانون دوم، معادله (۲-۳۹) با استفاده از فرمول تبدیل (۲-۴۸) و تبدیل سمت راست معادله (۲-۴۱) با استفاده از تئوری دیورانس، معادله (۲-۴۱) و حذف عملیات انتگرال حجمی خواهیم داشت:

$$(۲-۶۵۱) \quad \rho \frac{ds}{dt} + \nabla \cdot \left( \frac{\mathbf{q}}{T} \right) \geq 0,$$

که این معادله، قانون دوم ترمودینامیک برای حجم کنترل دینامیکی است. بهطور مشابه، با استفاده از شکل انتگرالی معادله بقای انرژی، معادله (۲-۴۰) می توان به راحتی معادله بقای انرژی برای حجم کنترل دینامیکی را به دست آورد:

$$(۲-۶۶۱) \quad \rho \frac{ds}{dt} + \nabla \cdot \left( \frac{\mathbf{q}}{T} \right) = s^m.$$

معادله (۲-۶۶) برای تعیین  $s^m$  بر حسب  $\mathbf{q}$  و  $T$  مفید است. ابتدا با استفاده از رابطه ترمودینامیکی:

$$du = T ds - p dv,$$

شکل شدنی آن را برای ثابت  $v$  خواهیم داشت:

۱- به عنوان مثال مرجع ۱ صفحه ۴۱۳، مثال ۲-۴ را ببینید.

برای یک فزاینده پاید، مشتق مادی  $p$  به صورت زیر است:

$$(۲-۵۴) \quad \frac{dp}{dt} = \mathbf{V} \cdot \nabla p.$$

با قرار دادن معادله (۲-۵۴) درون معادله (۲-۵۳) و بازنمایی عبارت آن داریم:

$$(۲-۵۵) \quad \frac{d}{dt} \left( \frac{p}{\rho} + \frac{1}{2} V^2 + gz \right) = 0,$$

و در نتیجه با انتگرال گیری از این معادله، معادله برنولی در یک خط جریان حاصل می شود:

$$(۲-۵۶) \quad \frac{p}{\rho} + \frac{1}{2} V^2 + gz = \text{ثابت}.$$

تفاوت بین معادلات (۲-۵۲) و (۲-۵۳) قانون بقای انرژی حرارتی برای حجم کنترل دینامیکی را حاصل می کند:

$$(۲-۵۷) \quad \rho \frac{du}{dt} + \nabla \cdot \mathbf{q} = u^m,$$

معادله (۲-۵۷) را می توانیم به صورت ترمودینامیکی بازنمایی کنیم. هر ویژگی محیط پیوسته که از نظر ترکیب غیرقابل تغییر و همکن باشد (ولی ممکن است مخلوطی از دو فاز باشد)، بهوسیله دو ویژگی مستقل دیگر بهطور کامل مشخص می شود<sup>۱</sup> بنابراین، با در نظر گرفتن  $u(u, T)$  و  $h(p, T)$  و تعریف گرمای مخصوص در حجم ثابت و گرمای مخصوص در فشار ثابت،

$$c_p = \left( \frac{\partial h}{\partial T} \right)_p, \quad c_v = \left( \frac{\partial u}{\partial T} \right)_v,$$

خواهیم داشت:

$$(۲-۵۸) \quad du = \left( \frac{\partial u}{\partial T} \right)_v dv + c_v dT,$$

$$(۲-۵۹) \quad dh = \left( \frac{\partial h}{\partial T} \right)_p dp + c_p dT,$$

برای جامدات و سیالات تراکمناپذیر، ثابت  $dv = 0$  معادله (۲-۵۸) به صورت زیر خواهد بود:

$$(۲-۶۰) \quad du = c_v dT.$$

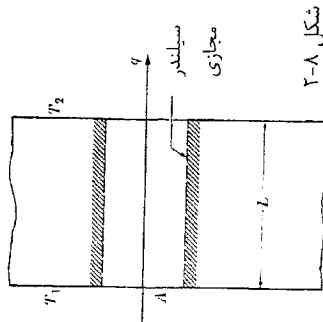
علاوه بر آن، اگر ثابت  $p$  باشد معادله (۲-۵۹) به صورت زیر خواهد بود:

$$(۲-۶۱) \quad dh = c_p dT,$$

۱- این یک عنصر حلقه ترمودینامیکی است. به عنوان مثال مرجع ۱ صفحه ۲۰ را ببینید.

**قانون هدایت فوریه.** تئوری های میکروسکوپی نظیر تئوری جنبشی گازها و تئوری الکترون آزاد در فلزات برای پیش بینی هدایت از درون محیط مفید می باشد. اگرچه، تئوری ماکروسکوپی (پیوستگی) هدایت، که موضوع اصلی و مهم این کتاب است به ساختار مولکولی محیط پیوسته توجهی ندارد، بنابراین به صورت پدیده ای انجام شده، و اثراتش را به وسیله آزمایش تجربی و به گونه زیر تعیین می کنند.

یک دیواره صاف جامد با ضخامت  $L$  را در نظر بگیرید (شکل ۲-۸). فرض می شود که قسمتی از این دیواره به وسیله یک استوانه فرضی و با سطح مقطع کوچک  $A$  مرز بندی شود. فرض می شود که این استوانه از دو انتهای بالا و پایین دیواره به اندازه ای دور است که هیچ حرارتی از سطح پیرامونش عبور نمی کند؛ انتقال حرارت در طول محور استوانه یک بعدی است. دمای سطوح صفحه را  $T_1$  و  $T_2$  در نظر می گیریم، و فرض می نماییم که  $T_1 > T_2$  باشد. بر طبق قانون اول ترمودینامیک، تحت شرایط پایا نرخ انتقال حرارت ثابت  $q$  از هر مقطع استوانه موازی سطوح صفحه، برقرار است. بر طبق قانون دوم ترمودینامیک می دانیم که جهت این انتقال حرارت از دمای بیشتر به دمای کمتر است.



شکل ۲-۸

مشاهدات تجربی جامدات مختلف ما را به این نتیجه می رساند که برای مقادیر به اندازه کافی

کوچک اختلاف دما بین سطوح صفحه، رابطه زیر را داریم:

$$q = kA \frac{T_1 - T_2}{L} \quad (۲-۷۰)$$

که در آن  $k$  یک مقدار ثابت است، که به آن ضریب هدایت حرارتی ماده صفحه می گویند. بنابراین

$$q_n = k \frac{T_1 - T_2}{L} \quad (۲-۷۱)$$

شار حرارت ناشی از هدایت را می توان به صورت زیر نوشت:

که در آن زیر نویس در  $q_n$  نشان دهنده جهت این شار است. معادله (۲-۷۱) قانون فوریه برای محیط پیوسته همگن ایزوتروپیک را می دهد.

$$\frac{du}{dt} = T \frac{ds}{dt} \quad (۲-۶۷)$$

حال با حذف  $du/dt$  و  $ds/dt$  در معادلات (۲-۵۷)، (۲-۶۶) و (۲-۶۷) خواهیم داشت:

$$s''' = \nabla \cdot \left( \frac{q}{T} \right) - \frac{1}{T} (\nabla \cdot q) + \frac{u'''}{T} \quad (۲-۶۸)$$

سپس عبارت  $\nabla \cdot (q/T)$  را با استفاده از معادله (۲-۴۴) بسط می دهیم و معادله (۲-۶۸)

$$s''' = -\frac{1}{T^2} (q \cdot \nabla T) + \frac{u'''}{T} \quad (۲-۶۹)$$

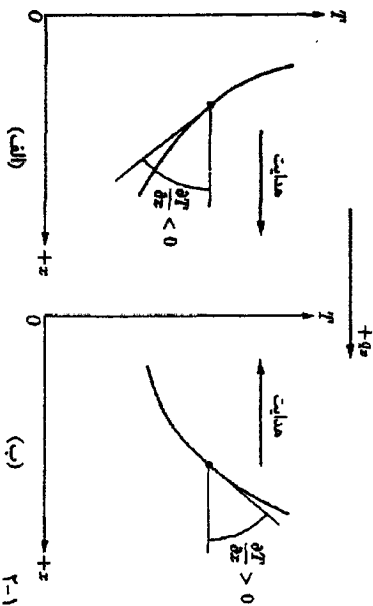
به صورت زیر در می آید:

معادله (۲-۶۹) برای یک حجم کنترل دینفرانسیلی، نرخ تولید آنترپی به ازای واحد حجم در مسائل هدایتی را می دهد. اوقتی که اثر اصطکاک برای سیال تراکم پذیر وجود داشته باشد، اتلافی که در اثر اصطکاک به وجود می آید باعث افزایش تولید آنترپی شده که اثر آن با یک عبارت اضافی در معادله (۲-۶۹) نشان داده می شود. این عبارت، به دلیل کم اهمیت بودن در مطالعه حاضر بررسی نشده.

بنابراین تا اینجا فرمولاسیون های متمرکز، انترگالی و دینفرانسیلی قوانین کلی را کامل نمودیم. به منظور کسب آمارگی برای مطالعه بخش بعدی، بر هدف از مطالعه هدایت توجه می کنیم، که در طراحی تجهیزات حرارتی، به عنوان مثال مبدل های حرارتی، استفاده می شود. به این هدف نگاه کنیم. مهم آن که دما و انتقال حرارت به، یا از این گونه تجهیزات را ارزیابی نماییم. دما برای طراحی انتقال حرارت برای طراحی حرارتی مهم است، زیرا به ما کمک می کند تا اندازه تجهیزات را تعیین نموده و سطح انتقال حرارت مبدل های حرارتی را مشخص کنیم. بنابراین یک مساله انتقال حرارت، به طور کلی و به طور همزمان به محاسبه  $q$  و  $T$  نیاز دارد. حال به عنوان مثال قانون بقای انرژی حرارتی، معادله (۲-۶۴) را در نظر بگیرید. این معادله رابطه ای را برای تعیین و ارزیابی  $q$  و  $T$  می دهد که به تنهایی کافی نیست. بنابراین، مجبوریم رابطه دیگری که بین  $q$  و  $T$  ارتباط برقرار می کند، در نظر بگیریم. مشاهدات تجربی نشان می دهند که سایر روابط مورد نیاز وابسته به محیط پیوسته مورد مطالعه می باشد، از این رو معادلاتی که چنین روابطی را بیان می نمایند، قوانین ویژه نامیده می شوند، که به بررسی آن ها خواهیم پرداخت.

**۲-۶. توصیف قوانین ویژه**

دو قانون ویژه، قانون هدایت فوریه و قانون تابش استفان - بولتزمان در این بخش مدنظر قرار می گیرند، که اولی مستقیماً به هدایت مربوط بوده و مورد تأکید قرار می گیرد. دومین معادله فقط وقتی که تابش بر انتقال حرارت از مرزهای محیط پیوسته حکم فرما باشد، مفید خواهد بود.



شکل ۲-۱۰

برای هر سطح هم‌زمان معادله (۲-۷۲) را به راحتی گسترش داد:

$$q_n = -k \frac{\partial T}{\partial n} \quad (2-73)$$

در آن  $\partial/\partial n$  نشان‌دهنده مشتق در طول بردار عمود و سطح است. و این شار حرارتی را با بردار  $n$  زیرنویس می‌نشانیم و داریم:

$$q_n = |q|, \quad (2-74)$$

اینجا  $q$  ممکن است برحسب سیستم مختصاتی بیان شود و داریم:

$$q = -k \nabla T, \quad (2-75)$$

این معادله، شکل برداری قانون فوریه برای محیط ایزوتروپیک ناممکن است.

شار حرارتی در هر نقطه  $P$  در هر سطح غیرهم‌جهتا به‌وسیله شار حرارتی در سطح هم‌جهتا همان نقطه، تعیین می‌شود (شکل ۲-۱۱). اگر در نقطه  $P$  بردار عمود  $nn$  روی سطح غیرهم‌جهتا نسبت به سیستم مختصاتی کینوس‌های  $(\alpha, \beta, \gamma)$  باشد، اندازه شار حرارتی از درون این سطح صورت زیر است:

$$q = q_1 + q_2 + q_3$$

در آن  $q_1$ ،  $q_2$  و  $q_3$  بردارهای واحد در جهت  $x$ ،  $y$  و  $z$  هستند. با توجه به معادله (۲-۷۲) که  $q_x = -k(\partial T/\partial x)$  است، و به طور مشابه  $q_y = -k(\partial T/\partial y)$  و  $q_z = -k(\partial T/\partial z)$  خواهیم داشت:

$$q = -k \left( i \frac{\partial}{\partial x} + j \frac{\partial}{\partial y} + k \frac{\partial}{\partial z} \right) T,$$

بر طبق ترفیقه، نشان‌دهنده معادله (۲-۷۵) است.

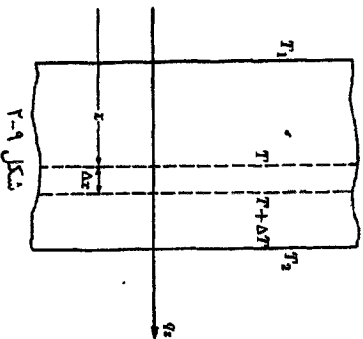
معادله (۲-۷۰) را همچنین می‌توان برای یک سیال (مایع یا گاز) بین دو صفحه با فاصله  $L$  از هم نیز مورد استفاده قرار داد، که این دو صفحه به‌منظور جلوگیری از جابه‌جایی و تابش قرار داده شده‌اند. بنابراین معادله (۲-۷۰) هدایت حرارتی درون سیالات را مثل جامدات بیان می‌کند.

محیط پیوسته را می‌توانیم براساس تغییرات ضریب هدایت حرارتی طبقه‌بندی کنیم. به یک محیط پیوسته همگن می‌گویند اگر هدایتش نقطه به نقطه تغییر ننماید. و ناممکن می‌گویند اگر هدایتش تغییر نماید. علاوه بر آن، محیط پیوسته در تمام جهات دارای رسانایی یکسان است که به آن خاصیت ایزوتروپیک<sup>۱</sup> می‌گویند درحالی‌که به مواد دارای رسانایی در جهت‌های مختلف غیرایزوتروپیک گفته می‌شود. بعضی مواد شامل ساختار فیبری دارای خصوصیات غیر ایزوتروپیک هستند. به طور مثال، چوب و پنبه نسوز، مولدی که دارای ساختار متخاضل هستند مثل پشم یا چوب پنبه، مثال‌هایی از محیط‌های پیوسته ناممکنند. در این کتاب، به‌جز در مواقعی که به‌طور صریح گفته شود، تنها مسائل محیط‌های ایزوتروپیک را مطالعه می‌نماییم. به‌دلیل تقارن در هدایت حرارتی در محیط ایزوتروپیک، شار حرارت در هر نقطه باید نسبت به سطح هم‌جهتا<sup>۲</sup> عمود شود.

حال فرض کنید که صفحه شکل ۲-۸ ایزوتروپیک اما ناممکن است. دماهای دو سطح هم‌جهت  $x$  و  $x + \Delta x$  را به ترتیب با  $T$  و  $T + \Delta T$  نشان می‌دهیم (شکل ۲-۹). از آنجایی‌که این صفحه ممکن است همگن در نظر گرفته شود، معادله (۲-۷۱) را می‌توان برای یک لایه از صفحه با ضخامت  $\Delta x$  که  $\Delta x \rightarrow 0$  استفاده نمود. بنابراین شکل دیفرانسیلی قانون هدایت فوریه، عبارت شار حرارتی در جهت افزایش  $x$  را به این شکل ارائه می‌کند:

$$q_x = -k \lim_{\Delta x \rightarrow 0} \left( \frac{\Delta T}{\Delta x} \right) = -k \frac{\partial T}{\partial x} \quad (2-76)$$

(قانون فوریه برای محیط ایزوتروپیک ناممکن). در معادله (۲-۷۶)، با قرار دادن علامت منفی،  $q_x$  را در جهت افزایش  $x$  مثبت می‌نماییم. شایان ذکر است که این معادله به توزیع دما وابسته نیست. بنابراین، برای مثال، در شکل ۲-۱۰ الف،  $\partial T/\partial x < 0$  و  $q_x > 0$  است در حالی‌که در شکل ۲-۱۰ ب،  $\partial T/\partial x > 0$  و  $q_x < 0$  است. هر دو نتیجه با قانون دوم ترمودینامیک سازگار است که در آن حرارت از دمای بالاتر به دمای پایین‌تر نفوذ می‌کند.



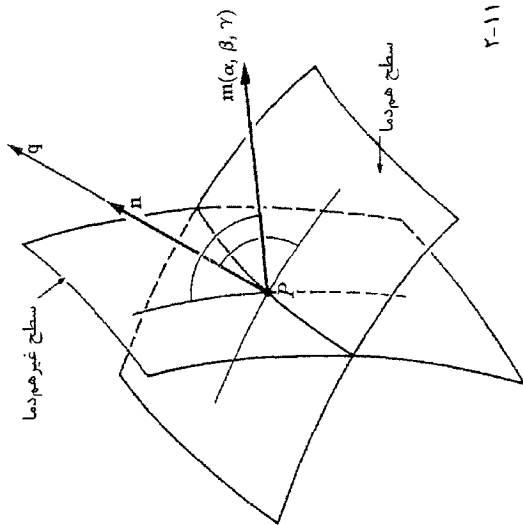
شکل ۲-۹

۱- از آنجایی‌که محیط‌ها را براساس رسانایی‌شان طبقه‌بندی می‌کنیم، بنابراین واضح است که جامدات مورد استفاده در قانون فوریه حتماً باید همگن و ایزوتروپیک باشند.  
۲- سطحی که دمای تمام نقاط آن یکسان باشد.

انتقال حرارت هدایتی

۶۲

$$q_m = \mathbf{q} \cdot \mathbf{m}, \quad (2-76)$$



شکل ۲-۱۱

با قرار دادن معادله (۲-۷۵) درون معادله (۲-۷۶) داریم:

$$q_m = -k(\nabla T \cdot \mathbf{m}). \quad (2-77)$$

بنابراین با توجه به خواص بردارها داریم:

$$\frac{\partial T}{\partial m} = \nabla T \cdot \mathbf{m},$$

معادله (۲-۷۷) را می‌توان به صورت زیر نیز نوشت:

$$q_m = -k \frac{\partial T}{\partial m}, \quad (2-78)$$

که این رابطه مقدار شار حرارتی از درون هر سطحی را می‌دهد؛ در اینجا  $\partial/\partial m$  نشان‌دهنده مشتق در جهت بردار عمود است.

بنابراین قانون فوریه را فقط برای محیط ایزوتروپیک به کار می‌بریم. در عمل محیط غیرایزوتروپیک نیز مهم است. که مثال‌های متنوع از آن کریستال‌ها، چوب، و مواد ورقه‌ای مثل منزه‌های انتقال‌دهنده<sup>۱</sup> می‌باشند. برای چنین محیطی جهت بردار شار حرارت در هر نقطه از بردار عمود درون سطح هم دما، بزرگتر نیست. برای نوشتن شکل کلی قانون فوریه برای محیط

1- Transformer cores

۶۳

فصل ۲- فرمولاسیون‌های متفرک، آنگراری و دیفرانسیلی

ایزوتروپیک، می‌توانیم برای هر سازنده فرض کنیم که بردار شار حرارتی به‌طور خطی به گرادیان دما در هر نقطه وابسته است. بنابراین، به عنوان مثال، شکل کارترین قانون فوریه<sup>۱</sup> برای محیط غیرایزوتروپیک ناهمگن به صورت زیر است:

$$\begin{aligned} q_x &= - \left( k_{11} \frac{\partial T}{\partial x} + k_{12} \frac{\partial T}{\partial y} + k_{13} \frac{\partial T}{\partial z} \right), \\ q_y &= - \left( k_{21} \frac{\partial T}{\partial x} + k_{22} \frac{\partial T}{\partial y} + k_{23} \frac{\partial T}{\partial z} \right), \\ q_z &= - \left( k_{31} \frac{\partial T}{\partial x} + k_{32} \frac{\partial T}{\partial y} + k_{33} \frac{\partial T}{\partial z} \right). \end{aligned} \quad (2-79)$$

ایماد فیزیکی ویژگی  $k$  در واحد حرارتی انگلیسی به صورت  $\text{Btu}/\text{ft} \cdot \text{hr} \cdot ^\circ\text{F}$  می‌باشد. مقدار عددی  $k$  برای محیط‌های مختلف به‌طور عملی از سفر برای گازها و تحت فشار بسیار کم تا حدود  $7000 \text{ Btu}/\text{ft} \cdot \text{hr} \cdot ^\circ\text{F}$  برای کریستال طبیعی مس در دماهای بسیار کم، متغیر است. به‌طور کلی مقدار  $k$  برای یک محیط به ترکیب شیمیایی، حالت فیزیکی، و ساختار، دما و فشار بستگی دارد.

در جامدات وابستگی به فشار، بسیار کم است، و معمولاً قابل صرف‌نظر می‌باشد. برای تفاضل دمایی کم، وابستگی به دما نیز قابل صرف‌نظر می‌باشد. در غیر این صورت یک رابطه خطی به صورت زیر در نظر گرفته می‌شود:

$$k = k_0(1 + \beta T), \quad (2-80)$$

که در آن  $\beta$  کوچک بوده و برای اغلب جامدات منفی است.

در شکل ۲-۱۲<sup>۲</sup> مقادیر عددی ضریب هدایت حرارتی برای بعضی گازها، مایعات و جامدات برحسب تابی از دما داده شده است. روش‌های تجربی تعیین ضریب هدایت حرارتی برای محیط‌های مختلف، زیاد و متنوع می‌باشد. و این روش‌ها به صورت وسیع در مقالات ارائه شده‌اند و در این کتاب ذکر نمی‌شوند.<sup>۳</sup>

**قانون تابش استفان-بولتزمان**- قبل از بیان این قانون، مرور کوتاهی از تعدادی مفاهیم مورد نیاز خواهیم داشت. از دیدگاه الکترومغناطیسی، انتقال حرارت تابشی، مثل امواج رادیویی، نور، پرتوهای کیهانی و غیره انرژی‌هایی هستند که به صورت امواج الکترومغناطیسی بوده و تنها از نظر

۱- شکل برداری این قانون به صورت زیر است:

$$\mathbf{q} = -k \cdot \nabla T,$$

که در آن  $k$  تانسور هدایتی است؛ اجزا این تانسور ضرایب هدایتی نامیده می‌شوند.

۲- برگرفته از امان‌های انتقال حرارت، M. Jakob و G. A. Hawkins، نیویورک، 1957، John Wiley & Sons.

۳- به عنوان مثال فصل ۹، مرجع ۹، ۱۲ را ببینید.

$$\alpha + \rho = 1,$$

(۲-۸۱)

از آنجایی که برای محیطهای شفاف  $p = 0$  است داریم:

$$\alpha + \tau = 1,$$

(۲-۸۱)

سطحی که همه تابش وارد شده را جذب می کند ( $\alpha = 1$ ) یا در دماهای خاصی بیشترین تابش ممکن را گسیل می کند سطح سیاه نامیده می شود.

گسیل یک سطح به صورت زیر تعریف می شود:

$$e = q/q_0,$$

(۲-۸۲)

در آن  $q$  و  $q_0$  به ترتیب نشان دهنده شارهای انتقال حرارت تابش این سطح و سطح سیاه در یک دماست. بنابراین برای یک سطح سیاه  $e = 1$  است.

برای هر سطحی تحت تعادل حرارتی رابطه  $e = \alpha$  برقرار است.

حال دو سطح هم دما  $A_1$  و  $A_2$  که دارای ضریب صدورهای  $\epsilon_1$  و  $\epsilon_2$  و دماهای مطلق  $T_1$  و  $T_2$  هستند را در نظر می گیریم این سطح با یک سطح عایق سوم، یک محفظه را تشکیل می دهند شکل (۲-۱۳). ابتدا به صورت تئوری توسط استعان و بعداً به صورت آزمایشگاهی توسط پولتزمن و تحت شرایط پایا و در حضور محیط دارای چگالیهای نانو یا محیط خلأ نشان داده شد که شار انتقال حرارت تابشی  $q_{12}$  بین سطوح  $A_1$  و  $A_2$  توسط قانون تابش استعان - پولتزمن و به صورت زیر بیان می شود:

$$q_{12} = \sigma F_{12}(T_1^4 - T_2^4),$$

(۲-۸۳)

که در آن  $\sigma$  ثابت استعان - پولتزمن است و مقدار آن  $R^4 \cdot \text{hr} \cdot \text{Bru}/\text{ft}^2 \cdot 0.17 \times 10^{-8}$  می باشد.

وقتی فاکتوری است که به ضریب صدور و مکان نسبی دو سطح بستگی دارد و داریم:

$$\frac{1}{F_{12}} = \left( \frac{1}{\epsilon_1} - 1 \right) + \frac{1}{F_{12}} + \frac{A_1}{A_2} \left( \frac{1}{\epsilon_2} - 1 \right),$$

(۲-۸۴)

$$F_{12} = \frac{A_2 - A_1 F_{12}}{A_1 + A_2 - 2A_1 F_{12}}.$$

(۲-۸۵)

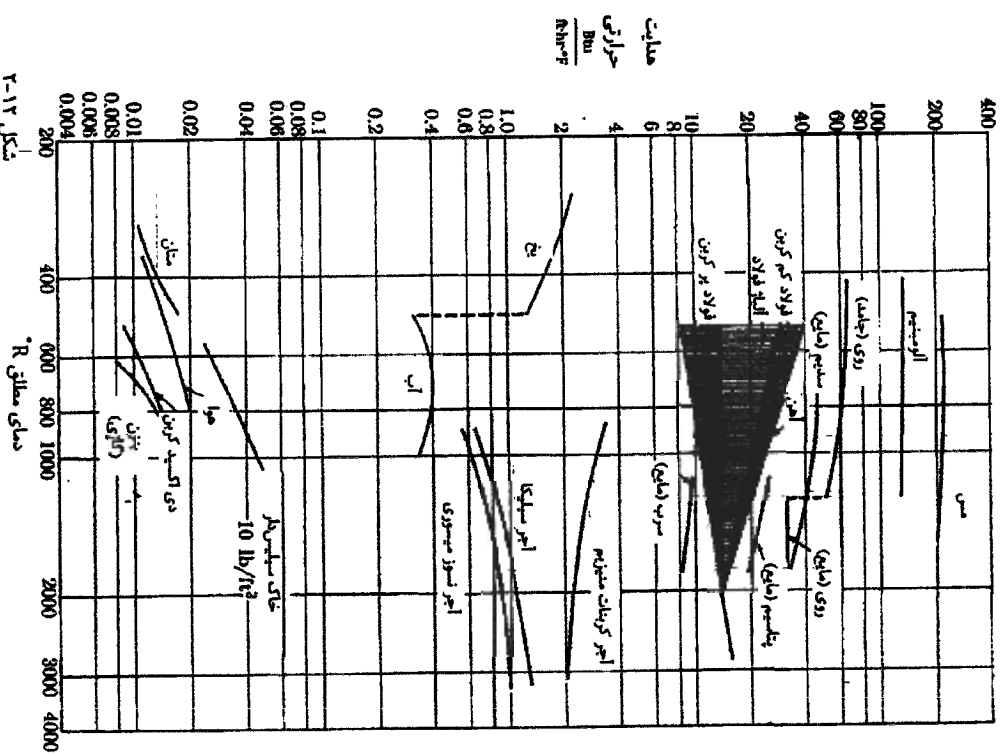
در اینجا  $F_{12}$  ضریب دید هندسی نامیده می شود. به طور فیزیکی  $F_{12}$  نشان دهنده جزئی از کل تابش از سطح  $A_1$  است که توسط سطح  $A_2$  دریافت می شود این فاکتور برای سطحی که توسط

طول موج با یکدیگر متفاوتند. وقتی که انرژی تابشی به سطحی وارد می شود، جزئی از آن ( $\alpha$ ) جذب می شود و جزو دیگر آن ( $\rho$ ) بازتاب شده و بقیه آن ( $\tau$ ) عبور می کند. بنابراین داریم:

$$\alpha + \rho + \tau = 1,$$

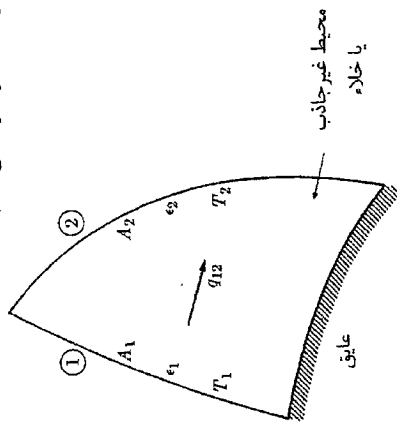
(۲-۸۱)

که در آن  $\alpha$ ،  $\rho$  و  $\tau$  به ترتیب ضریب جذب، ضریب بازتابش و ضریب عبور سطح نامیده می شوند.



از آنجایی که برای محیطهای مات  $\tau = 0$  است معادله (۲-۸۱) به صورت زیر نوشته می شود:

سطح دیگر محصور شده باشد و یا برای دو صفحه موازی که در دو انتهایشان اتلاف تابش قابل صرفنظری داشته باشند، دارای مقدار واحد است. برای سطح عایق ضریب دید نزدیک به صفر است،  $F_{12} \rightarrow 0$ .  
برای ترکیبی با بیش از سه سطح، ارزیابی شار حرارتی تابشی دشوار می‌شود. علاوه بر آن، تعیین ضرایب دید هندسی برای هر سطحی حتی اشکال هندسی ساده اغلب مشکل است؛ از این‌رو از ذکر آن‌ها در اینجا خودداری می‌کنیم.



شکل ۲-۱۳

### ۲-۷. معادله هدایت

تولید انرژی به دلیل مقاومت هدایتی.

هنگامی که قانون فوریه را، معادلات (۲-۷۵) یا (۲-۷۹)، درون قانون بقای انرژی حرارتی قرار دهیم، معادله (۲-۶۴)، شکل دیفرانسیلی معادله هدایت گرمایی تنها برحسب دما به دست می‌آید.  
ابتدا می‌خواهیم محیط همگن را بررسی کنیم. با قرار دادن معادله (۲-۷۵) درون معادله (۲-۶۴)، معادله هدایت را برای جامدات ناهمگن ایزوتروپیک و سیالات تراکم‌ناپذیر بدون اصطکاک خواهیم داشت:

$$\rho c \frac{dT}{dt} = \nabla \cdot (k \nabla T) + u''' \quad (2-88)$$

معادله (۲-۸۸) با استفاده از مفهوم معادله (۲-۴۴) به صورت زیر درخواهد آمد:

$$\rho c \frac{dT}{dt} = \nabla k \cdot \nabla T + k \nabla^2 T + u''' \quad (2-89)$$

که در آن  $\nabla^2$  معرف عمل گر معروف لاپلاسین می‌باشد. اگر  $k$  تنها تابعی از فاصله باشد معادله (۲-۸۹) خطی خواهد بود. از سوی دیگر، هنگامی که  $k$  تنها وابسته به زمان باشد، با استفاده از شاخص برداری  $\nabla k = (dk/dT)\nabla T$  معادله (۲-۸۹) به صورت زیر اصلاح می‌شود:

$$\rho c \frac{dT}{dt} = \frac{dk}{dt} (\nabla T)^2 + k \nabla^2 T + u''' \quad (2-90)$$

که این عبارت غیر خطی می‌باشد. آنچه عبارتی معادله (۲-۹۰) را غیر خطی کرده است؛<sup>۱</sup> برای محیط ایزوتروپیک پیوسته  $k$  ثابت است و معادله (۲-۸۹) تبدیل به معادله هدایت برای جامدات ایزوتروپیک همگن و سیالات تراکم‌ناپذیر بدون اصطکاک می‌شود.

$$\frac{dT}{dt} = a \nabla^2 T + \frac{u'''}{\rho c} \quad (2-91)$$

که:

$$a = k / \rho c \quad (2-92)$$

$a$  نفوذ حرارتی نامیده می‌شود.

حال فرض می‌کنیم که محیط غیرایزوتروپیک<sup>۱</sup> باشد. برحسب مختصات کارتزین، به عنوان مثال، با قرار دادن معادله (۲-۷۹) درون معادله (۲-۶۴) خواهیم داشت:

$$\rho c \frac{dT}{dt} = \frac{\partial}{\partial x} \left( k_{11} \frac{\partial T}{\partial x} + k_{12} \frac{\partial T}{\partial y} + k_{13} \frac{\partial T}{\partial z} \right) + \frac{\partial}{\partial y} \left( k_{21} \frac{\partial T}{\partial x} + k_{22} \frac{\partial T}{\partial y} + k_{23} \frac{\partial T}{\partial z} \right) + \frac{\partial}{\partial z} \left( k_{31} \frac{\partial T}{\partial x} + k_{32} \frac{\partial T}{\partial y} + k_{33} \frac{\partial T}{\partial z} \right) + u''' \quad (2-93)$$

که این معادله، معادله هدایت برای جامدات غیرایزوتروپیک ناهمگن<sup>۲</sup> می‌باشد. اگر ضرایب هدایت، هر چند متفاوت از یکدیگر، نسبت به مکان ثابت باقی بماند، معادله (۲-۹۳) به صورت زیر تبدیل می‌شود:

۱- این مورد هیچ معنی و اهمیت فیزیکی‌ای برای سیالات ندارد.  
۲- در حالتی که ضرایب هدایت حرارتی مسازی  $k$  و ثابت در نظر گرفته شود معادله (۲-۹۳) به صورت کلی زیر نمایش داده می‌شود.

$$\rho c \frac{dT}{dt} = \nabla \cdot (k \cdot \nabla T) + u'''$$

با محاسبه این مقدار، معادله به این صورت پارابولی می‌شود.

$$\rho c \frac{dT}{dt} = (\nabla \cdot k) \cdot (\nabla T) + k : \nabla (\nabla T) + u'''$$

به‌طور مشابه حالت کلی معادله (۲-۹۴) هم به این صورت درخواهد آمد.  
 $\rho c \frac{dT}{dt} = k : \nabla (\nabla T) + u'''$



راه با یک شرط اولیه و شن شرط مرزی، فرمولاسیون دینامیکی مسئله را کامل می‌کند. حال بررسی دقیق‌تر شرایط اولیه و مرزی مناسب برای مسائل انتقال حرارت هدایتی می‌پردازیم. شرط اولیه (محلی)، برای یک مساله ناپایا دمای محیطی که مورد بررسی قرار می‌گیرد در حالتی از زمان باید مشخص باشد. در بسیاری از حالات این زمان‌ها به‌طور معمول آغاز مساله در  $t=0$  گرفته می‌شود. به بیان ریاضی، اگر شرط اولیه به‌وسیله  $T_0(x)$  نشان داده شود پاسخ این مساله ریاضی  $T(x,t)$  باید به گونه‌ای باشد که در تمام نقاط محیط مسئله زیر برقرار باشد.

$$\lim_{t \rightarrow 0} T(x,t) = T_0(x), \quad (2-91)$$

شرایط مرزی (سطحی)، اکثر شرایط مرزی متداول در هدایت به‌صورت زیر می‌باشند.

(۱) دمای معین: دمای سطح در مرزها یا به‌صورت ثابت یا به‌عنوان تابعی از مکان یا زمان مشخص می‌باشد. این ساده‌ترین شرط مرزی از منظر ریاضیات است. ولی در قسمت (۲) یک شرط پیچیده فیزیکی به وجود می‌آید که تنها برای حالت خاص  $h \rightarrow \infty$  ساده شده و به شرط مرزی هدایت معین تبدیل می‌شود.

(۲) شار حرارتی معین: شار حرارتی در مرزها یا به‌صورت ثابت یا به‌عنوان تابعی از مکان یا زمان صرف می‌شود. تشریح ریاضی این شرط با استفاده از قانون جریان کرشیف به این صورت است که مجموع جبری شارهای حرارتی در مرز باید مساوی صفر باشد. در اینجا از این پس شار حرارتی برداشته به مرزها مثبت و شار حرارتی خارج شده از مرزها منفی در نظر گرفته می‌شود. به یاد داشته باشید که بیان قانون فوریه،  $q_n = -k(\partial T/\partial n)$  مستقل از توزیع واقعی هدایت، و انتخاب هدایت  $q_n$  به‌طور معمول به‌صورتی انجام می‌شود که مثبت باشد، از شکل ۲-۱۴ داریم:

$$\pm k \left( \frac{\partial T}{\partial n} \right)_0 = \pm q_n^0, \quad (2-92)$$

که در آن  $\partial/\partial n$  نمایان‌گر دینامیکال‌گیری در جهت بردار عمود<sup>۲</sup> بر مرز (بردار عمود بر مرز که در شکل ۲-۱۴ با  $n$  نشان داده شده است) می‌باشد. علامت مثبت و منفی در سمت چپ معادله (۲-۹۲) به ترتیب متناظر با دینامیکال‌گیری نسبت به بردارهای عمود درونی و بیرونی، و علامت مثبت و منفی سمت راست به ترتیب متناظر با شار حرارتی از مرز و شار حرارتی به مرز سیستم می‌باشد.

۱- به وضوح، صورت درون مسئله (۲-۹۲)، اگرچه بر جواب این مسئله تاثیر می‌گذارد، تمهید شرایط مرزی و اولیه مورد نیاز را تغییر نمی‌دهد.

$$\frac{dT}{dt} = k_{21} \frac{\partial^2 T}{\partial x^2} + k_{22} \frac{\partial^2 T}{\partial y^2} + k_{23} \frac{\partial^2 T}{\partial z^2} + (k_{12} + k_{21}) \frac{\partial^2 T}{\partial x \partial y} + (k_{23} + k_{32}) \frac{\partial^2 T}{\partial y \partial z} + (k_{31} + k_{13}) \frac{\partial^2 T}{\partial x \partial z} + u^m, \quad (2-93)$$

و این معادله حرارتی برای چاهات همگن غیرایزوتروپیک است. این کتاب از توضیحات بیشتر در مورد مواد غیرایزوتروپیک اجتناب می‌نماید.<sup>۱</sup>

مرگه تغییرات دما در هر محیط پیوسته که فرایند مشخصی در آن جریان دارد مشاهده شود، تولید اتروپی در این فرایند، توسط قانون فوریه - که رابطه بین دما و اتروپی را مشخص می‌کند - قابل دستیابی است. به همین دلیل در حالت محیط ایزوتروپیک، به‌عنوان مثال، با قرار دادن معادله (۲-۷۵) در معادله (۲-۶۹) خواهیم داشت:

$$s^m = k \frac{(\nabla T)^2}{T^2} + \frac{u^m}{T}. \quad (2-94)$$

تاکنون توانستیم معادلات (۲-۸۸)، (۲-۹۱)، (۲-۹۲) و (۲-۹۴) را که در یک معادله دینامیکال پارامی (۲) یک معادله جبری) برحسب دمای نامعلوم صدق می‌کنند، استخراج کنیم. نظر به‌این‌که پاسخ یک معادله دینامیکال در برگیرنده تعدادی از ثوابت انتگرال‌گیری است، تکمیل فرمولاسیون نیازمند این است که به همان تعداد شرایط مناسب را در مکان و زمان برای محاسبه این ثوابت داشته باشیم. این مطلب در بخش بعدی مورد توجه قرار گرفته است.

۲-۸ شرایط مرزی و شرایط اولیه

این شرایط توصیف ریاضی مشخصات تجربی است. تمهید آن‌ها در جهت هر متغیر مستقل در یک مسئله برابر بالاترین مرتبه مشتق معادله دینامیکال حاکم در همان جهت خواهد بود. با ذکر مثالی از هدایت می‌توان این مفهوم را بیان نمود. با توجه به معادله هدایت نوشته شده، به عنوان مثال، در مختصات کارتزین برای حرکت یک جامد ایزوتروپیک همگن با سرعت  $V$ :

$$\frac{\partial T}{\partial t} + v_x \frac{\partial T}{\partial x} + v_y \frac{\partial T}{\partial y} + v_z \frac{\partial T}{\partial z} = \alpha \left( \frac{\partial^2 T}{\partial x^2} + \frac{\partial^2 T}{\partial y^2} + \frac{\partial^2 T}{\partial z^2} \right) + \frac{u^m}{\rho c}. \quad (2-95)$$

که در آن  $v_x, v_y, v_z$  اجزا  $V$  هستند. حل معادله (۲-۹۵)، بدون توجه به روش ریاضی مورد استفاده، نیازمند یک شرط در جهت زمان و دو شرط در هر یک از جهت‌های ممکن می‌باشد. شرایط زمانی را شرایط اولیه و شرایط مکانی را شرایط مرزی می‌گویند معادله (۲-۹۵)

۱- خوانندگان علاقمند می‌توانند به بخش‌های ۱۷-۱۸، ۱۹-۲۰، ۲۱-۲۲ مراجعه دیگر در مراجع مشابه مراجعه کنند.

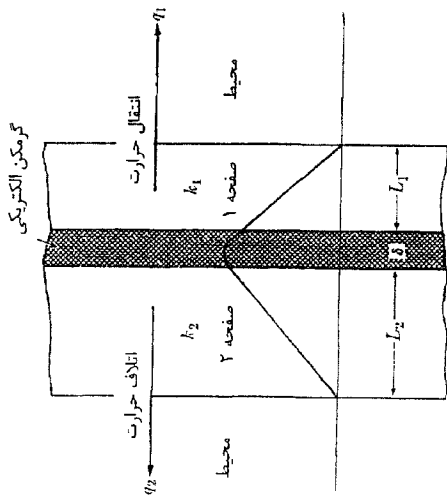
یک مثال عملی این مورد، محاسبه مقادیر آزمایشگاهی انتقال حرارت به روش چاه‌جایی اجباری در لوله‌ها می‌باشد. اثری داخلی ثابتی را که به‌صورت الکتریکی در دیواره لوله‌ای که سطح خارجی آن عایق شده است تولید می‌شود، در نظر بگیرید. از درون لوله، سیالی به شیوه معین جریان می‌یابد. تحت شرایط پایا و با فرض ثابت بودن مقاومت الکتریکی و ضریب هدایت حرارتی دیواره لوله، سیال در معرض شار حرارتی ثابتی که از محیط لوله وارد می‌شود، قرار می‌گیرد.

(۳) شار حرارتی صفر (عایق). این مورد حالت خاصی از مورد قبل است:

$$\left(\frac{\partial T}{\partial n}\right)_\sigma = 0, \quad (۲-۹۹)$$

و با قرار دادن  $q'' = 0$  در معادله (۲-۹۸) به‌دست می‌آید. مثال بررسی شده در ادامه اهمیت عملی این شرط مرزی را نشان می‌دهد.

می‌خواهیم گرما را از یک سطح گرمکن برقی مسطح به درون یک صفحه جامد، صفحه ۱، برای اهداف خاصی انتقال دهیم (شکل ۲-۱۵). هر انتقالی از سطوح دیگر گرمکن به عنوان اتلاف حرارتی در نظر گرفته شده و مطلوب نیست. در عمل اتلاف حرارتی با قرار دادن یک صفحه دیگر (عایق) در کنار سطح دوم گرمکن کاهش پیدا می‌کند. می‌خواهیم هندسه و مشخصات حرارتی عایق را مشخص کنیم.

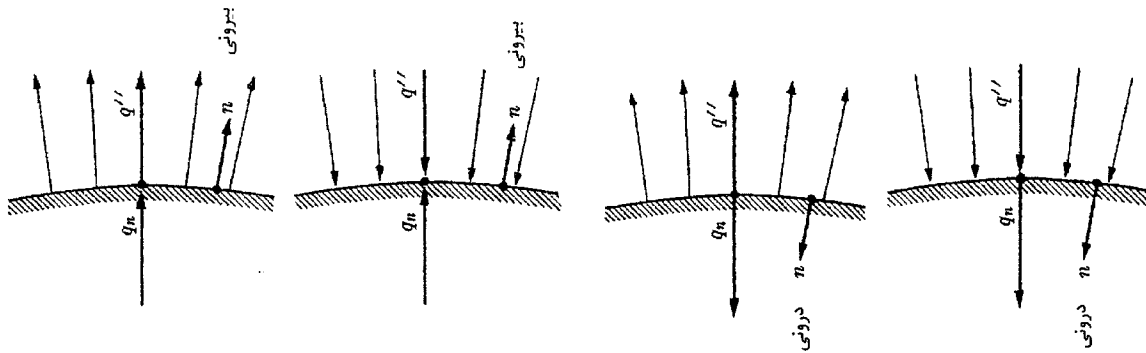


شکل ۲-۱۵

برای ساده‌سازی فرض می‌کنیم که محیط چپ و راست مقاومت حرارتی قابل صرف‌نظر دارند. ضخامت گرمکن را با  $\delta$  نشان می‌دهیم و ضریب هدایت حرارتی و ضخامت صفحات  $k_1$ ،  $L_1$  و  $k_2$  و  $L_2$

۱- موفقیت فیزیکی مشابهی در (۴) در نظر گرفته شده است. مساله ۲-۸ نیز بررسی شود.

انتقال حرارت هدایتی



$$q_n - q'' = 0, \\ -k \left(\frac{\partial T}{\partial n}\right)_\sigma - q'' = 0. \quad (الف)$$

$$q_n + q'' = 0, \\ -k \left(\frac{\partial T}{\partial n}\right)_\sigma + q'' = 0. \quad (ب)$$

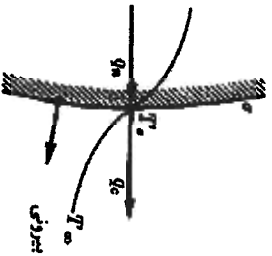
$$-q_n - q'' = 0, \\ - \left[ -k \left(\frac{\partial T}{\partial n}\right)_\sigma \right] - q'' = 0. \quad (پ)$$

$$-q_n + q'' = 0, \\ - \left[ -k \left(\frac{\partial T}{\partial n}\right)_\sigma \right] + q'' = 0. \quad (ت)$$

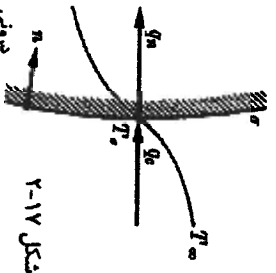
شکل ۲-۱۴

مختلف کلل اتلاف حرارتی از سطح ۲ نیازمند استفاده از یک گرمکن دیگر است (شکل ۲-۱۶). به وسیله تعدیل مناسب انرژی برای گرمکن دوم، تمام انرژی داخلی جمع‌یافته در گرمکن دوم از طریق صفحه ۱ انتقال خواهد یافت.

گرمکن دوم، که اغلب گرمکن پشتیبان نامیده می‌شود، وسیله آزمایشگاهی مهمی برای کنترل انتقال حرارت است زیرا از آن برای اندازه‌گیری دقیق ضریب هدایت گرمایی استفاده می‌شود.



$$q_m - q_c = 0, \\ -k \left( \frac{\partial T}{\partial x} \right)_0 - h(T_m - T_0) = 0. \quad (الف)$$



$$-q_m + q_c = 0, \\ - \left[ -k \left( \frac{\partial T}{\partial x} \right)_0 + h(T_m - T_0) \right] = 0. \quad (ب)$$

(الف) انتقال گرما به محیط توسط جابه‌جایی، هنگامی که انتقال حرارت در مرزهای یک محیط قابل نفوذ نیست، می‌توانیم آنرا برابر اختلاف دمای بین مرزها و محیط فرض کنیم پس خواهیم داشت:

$$q_c = h(T_m - T_0), \quad (۲-۱۰)$$

که در آن  $T_m$  دمای مرزهای جامد  $T_0$  دمای محیط در فاصله‌ای دور از مرزها و  $h$  ثابت تناسب است که ضریب انتقال حرارت نامیده می‌شود. معادله (۲-۱۰) مشابه سرمایش نیوتن می‌باشد. رابطه فوق، رابطه مهمی است. ولی، باید توجه داشت که این رابطه برخلاف قانون هدایت فوریه و قانون تابش استیفن - بولتزمن بر اساس پدیده‌های فیزیکی نیست از آنجایی که این رابطه تنها بر فرض پایه‌گذاری شده است. نمی‌توان آنرا به عنوان یک قانون ویژه (طبیعی) در نظر گرفت. از

$h$  طبق تعریف ضریب فرض می‌شود.

$L_2$  در نظر گرفته می‌شود و نرخ جمع انرژی داخلی به ازای واحد حجم  $u_2^m$  نشان داده می‌شود. در شرایط پایا خواهیم داشت:

$$\delta u_2^m = q_1 + q_2, \quad q_1 \frac{L_2}{k_1} = q_2 \frac{L_2}{k_2}$$

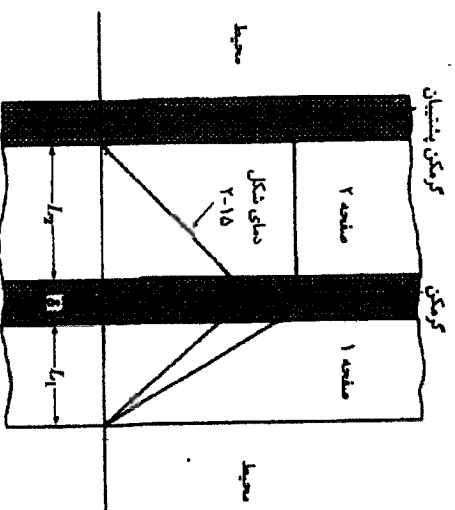
و از روی این معادلات:

$$q_1 = \frac{\delta u_2^m}{1 + (k_1/k_2)(L_2/k_1)}, \quad q_2 = \frac{\delta u_2^m}{1 + (k_2/k_1)(L_2/k_2)}$$

شرایط مطلوب که  $q_2 \rightarrow 0$  با قرار دادن  $q_1$  با شرایط زیر به دست می‌آید:

$$\frac{L_2}{k_2} \gg \frac{L_1}{k_1}. \quad (۲-۱۰۰)$$

از روی معادله (۲-۱۰۰) به این نتیجه می‌رسیم که تنها ضخامت و ضریب هدایت گرمایی صفحات برای محاسبه هدایت حرارتی از این صفحات مهم می‌باشند. از اینرو اتلاف گرمایی از سطح ۲ می‌تواند حذف شود اگر در مقایسه با  $k_1 L_1$  و  $k_2 L_2$  به ترتیب  $0 \rightarrow 0$  یا  $0 \rightarrow \infty$  باشد. از آنجایی که  $0 \rightarrow 0$  یا  $0 \rightarrow \infty$  از لحاظ فیزیکی غیرممکن است، عایق کاری به‌طور کامل هیچ‌گاه به وقوع نخواهد پیوست. هر چند ضخامت بیشتر و ضریب هدایت حرارتی کمتر، عایق کاری بهتری را نتیجه خواهد داد.



شکل ۲-۱۶

۱- اکت دما را با گرمایان دما درون یک صفحه بر خصوصیت هدایتی صفحه تائیری ندارد.

این‌رو می‌توان قانون سرمایش نیوتن را به‌عنوان تعریفی از ضریب انتقال حرارت دانست. معادله (۲-۱۰۱) علی‌رغم این‌که شالوده ضمیمی دارد تنها رابطه موجود برای بیان انتقال حرارت نامعین به یک محیط است و نقش اساسی را در مسائل هدایت حرارتی بازی می‌کند. بنابراین با توجه به این‌که مجموع شار حرارتی در مرزها باید مساوی صفر باشد و از روی معادلات (۲-۷۳) و (۲-۱۰۱)، شرط مرزی مورد نیاز به‌صورت زیر خواهد شد.

$$\pm k \left( \frac{\partial T}{\partial n} \right)_0 = h(T_0 - T_\infty), \quad (2-102)$$

که در آن  $\partial/\partial n$  دیرفرانسیل‌گیری در جهت بردار عمود را نشان می‌دهد. علامت مثبت و منفی در سمت چپ معادله (۲-۱۰۲) به‌ترتیب متناظر با مشتق‌گیری نسبت به بردارهای عمود درونی و بیرونی است (شکل ۲-۱۷). به این نکته باید توجه شود که  $q_n$  نشان داده شده در شکل ۲-۱۷ مقدار مثبتی است، که با انتخاب اختیاری جهت عمود به‌دست آمده است. در حقیقت معادله (۲-۱۰۲) مستقل از توزیع دمایی و جهت انتقال حرارت است.

جدول ۲-۲

شرایب	$h$ (Btu/ft <sup>2</sup> .hr.°F)
جابه‌جایی آزاد	۱-۵
آب	۲۰-۱۵۰
گازها	۲-۵۰
آب	۵۰-۲۰۰۰
روغن‌های غلیظ	۱۰۰-۳۰۰
فازات مایع	۱۰۰۰۰-۲۰۰۰۰
مایعات در حال جوش	۵۰۰-۱۰۰۰۰
بخارات میعان‌شده	۱۰۰۰۰-۲۰۰۰۰

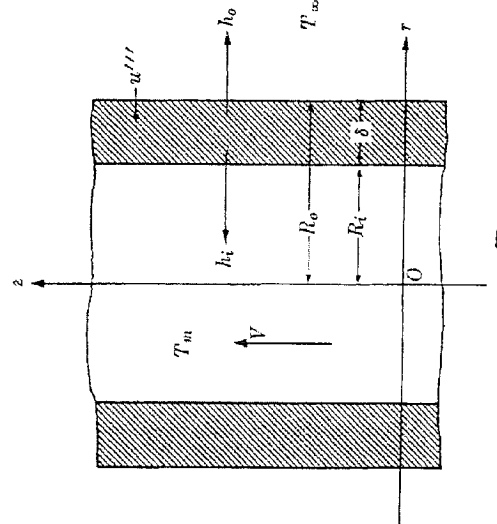
محدوده مقادیر ضرایب انتقال حرارت که تحت شرایط مختلف رخ می‌دهد، ارائه خواهد شد تا خواننده درکی از مقادیر داشته باشد. باید خاطر‌نشان کرد که  $h$  همانند  $k$  و بلکه قوی‌تر از آن، وابسته به متغیرهای مشخصی است. این متغیرها ممکن است شامل مکان، زمان، هندسه، شرایط جریان و مشخصات فیزیکی باشند. مقادیر معمول ضرایب انتقال حرارت پایا در جدول ۲-۲ داده شده است.

تغییرات وسیع مقادیر ضرایب انتقال حرارت، تحقیقات بیشتری را برای مطالعه شرایط مرزی در مقادیر محدود از  $h$  می‌طلبد. این کار برای حالت‌های عملی‌ای که اغلب با آن‌ها روبرو می‌شویم در ادامه انجام خواهد شد. لوله‌ای با شعاع داخلی و خارجی  $R_0$  و  $R_i$  را که سیالی درون آن تحت شرایط مشخص پایا جریان دارد (شکل ۲-۱۸) در نظر بگیرید. انرژی داخلی پایا و یکپارخت به ازای

واحد حجم با نرخ  $u'''$  در دیواره لوله تولید می‌شود. دمای محیط و دمای توده سیال به‌ترتیب  $T_m$  و  $T_\infty$  و ضرایب داخلی و خارجی انتقال حرارت  $h_i$  و  $h_o$  در نظر گرفته شده است. شرایط مرزی شعاعی برای لوله به‌صورت زیر نوشته می‌شوند.

$$q_i = +k \frac{\partial T(R_i, z)}{\partial r} = h_i [T(R_i, z) - T_m],$$

$$q_o = -k \frac{\partial T(R_o, z)}{\partial r} = h_o [T(R_o, z) - T_\infty],$$



شکل ۲-۱۸

می‌خواهیم ابتدا مورد لوله عایق  $q_0 = 0$  را مورد بررسی قرار دهیم. در این مورد تحت شرایط پایا تمام انرژی داخلی تولید شده در دیواره به سیال منتقل می‌شود. از این‌رو  $u''' = q_i$  خواهد شد. از آنجایی که  $q_i$  برای مقادیر معلوم  $u'''$  و  $\delta$  ثابت می‌باشد یا افزایش ضریب انتقال حرارت داخلی  $h_i$  اختلاف دمایی  $T_m - T(R_i, z)$  کوچکتر خواهد شد. در حالت خاص  $h_i \rightarrow \infty$  به سمت  $T_m$  میل خواهد کرد. بنابراین شرط مرزی موجود تبدیل به شرط مرزی نوع (۱) یعنی با مقدار دمای مشخص در سطح خواهد شد. جوشیدن مایعات در لوله‌های عایق مثالی از این حالت است. برای مقدار ثابت  $q_i$  کوچکترین مقدار  $h_i$  بزرگترین اختلاف دمایی بین  $T(R_i, z)$  و  $T_m$  را نتیجه خواهد داد.

۱- دمای توده یک سیال به‌صورت زیر است:

$$T_m = \frac{1}{\pi R_i^2 \rho_m c_p V} \int_0^{R_i} 2\pi r v(r) \rho c_p T(r) dr,$$

که در آن  $\rho_m$ ،  $c_p$  و  $V$  به‌ترتیب چگالی، گرمای ویژه در فشار ثابت، و سرعت متوسط سیال بوده و همه آن‌ها در دمای توده  $T_m$  اندازه‌گیری می‌شوند.

(۵) انتقال حرارت به محیط توسط تابش دوباره به بررسی شکل ۱۳-۲ می‌پردازیم و به‌صورت مثال متوجه می‌شویم که این حالت شرط مرزی، نشان‌دهنده انتقال حرارت به‌وسیله تابش از مرزهای محیط ۱ می‌باشد.

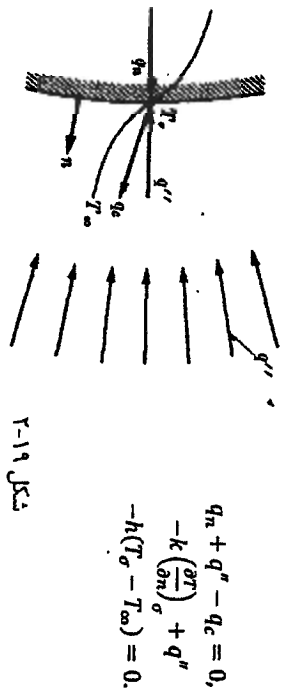
وقتی که  $T_1$  یک‌بافت بوده ولی غیرمشخص است، برای بیان شار حرارتی در سطح ۱ به‌وسیله هدایت و تابش شرایط مرزی مورد نیاز به‌صورت زیر نوشته خواهند شد.

$$\pm k \left( \frac{\partial T}{\partial n} \right)_0 = \sigma T_{12}^4 (T_1^4 - T_2^4), \quad (۲-۱۰۴)$$

که مثل قبل، علامت مثبت و منفی عبارت هدایت به‌ترتیب منتظر با مشتق‌گیری در جهت بردار عمود درونی و بیرونی جسم می‌باشد. معادله (۲-۱۰۴) مستقل از توزیع دمای واقعی است. از آنجایی که این معادله دارای توان چهارم یک متغیر وابسته است، یک شرط مرزی غیرخطی می‌باشد.

ترکیب معادلات (۲-۱۰۲) و (۲-۱۰۴) میزان انتقال حرارت همزمان تابشی و جابه‌جایی از مرزهای محیط را خواهد داد. در عمل این انتقال همزمان یک مورد واقعی است. اهمیت داشتن تابش نسبت به جابه‌جایی به وضعیت دمای مربوط می‌شود. بدین صورت که تابش به سرعت با افزایش دما افزایش می‌یابد. حتی در دمای اتاق، برای نواحی کم جابه‌جایی، که به آن جابه‌جایی آزاد به هوا گفته می‌شود، انتقال حرارت تابشی بیش از ۵۰ درصد کل انتقال حرارت را به خود اختصاص می‌دهد.

(۶) شار حرارتی مینماید که در یک فاصله عمل می‌کند. محیطی را در نظر بگیرید که حرارت را به اطراف به‌وسیله جابه‌جایی منتقل و یک شار حرارتی تابشی  $q''$  را از یک منبع نوردهی دریافت می‌کند (شکل ۱۹-۲). ضریب انتقال حرارت  $h$  و دمای محیط اطراف  $T_\infty$  می‌باشد.



$$q_n + q''_c - q_c = 0,$$

$$-k \left( \frac{\partial T}{\partial n} \right)_0 + q''_c - h(T_0 - T_\infty) = 0.$$

۱- از این به بعد در شکل‌های بیان‌کننده شرایط مرزی، بردار عمود بر یک جهت مرز رسم می‌شوند.

در حالت بعدی به بررسی یک لوله ساده می‌پردازیم. حال  $\delta \ll r_0$  به محیط اطراف و داخل لوله منتقل می‌شود. فرض می‌کنیم  $T_m$  و  $T_\infty$  به همان صورت قبلی می‌باشند و دیواره لوله به اندازه‌ی نازک است که بتوان از اختلاف بین  $T(R_0, z)$  و  $T(R_i, z)$  صرف‌نظر کرد. سپس انتقال حرارت به سیال درونی و به محیط، تقریباً به‌ترتیب متناسب با ضرایب انتقال حرارت داخلی و خارجی می‌باشد. اگر به عنوان مثال  $h_c \ll h_c$  باشد، انتقال حرارت به محیط در مقایسه با انتقال حرارت به درون سیال قابل صرف‌نظر می‌شود بنابراین سطح خارجی لوله را می‌توان عایق فرض کرد و شرایط مرزی مانند حالت توصیف شده (۳) خواهد شد. مثال این مورد جریان آب درون یک لوله (جابه‌جایی اجباری برای مایع) که در اطراف آن اتمسفر ساکن قرار دارد (جابه‌جایی آزاد به گازها) می‌باشد. به‌دست آوردن توزیع دما برای سه مورد  $h_c \ll h_c$  و یا  $h_c \gg h_c$  به عهده خواننده گذاشته می‌شود از بحث مذکور به یک اصل مهم می‌رسیم: در انتخاب نوع شرط مرزی که باید در فرمولاسیون یک مساله استفاده شود اندازه ضریب انتقال حرارت تعیین‌کننده می‌باشد.

مساله مقادیر  $h$  باعث می‌شود که تحقیق مشابهی برای مقادیر  $k$  انجام شود. بدین منظور می‌خواهیم باز به حالت لوله عایق برگردیم. برای یک  $q_r$  مفروض، بزرگتر بودن ضریب هدایت حرارت کوچکتر شدن گرادیان دمایی  $\partial T(R_i, z) / \partial r$  را به همراه خواهد داشت پس در حالتی که  $\delta \rightarrow \infty$ ،  $\partial T(R_i, z) / \partial r$  به سمت صفر میل می‌کند یا توزیع دمای شعاعی درون دیواره لوله قابل صرف‌نظر است. از آنجایی که این حالت منجر به تحلیل متسوز شعاعی می‌شود، فرمولاسیون مساله را ساده می‌کند. از سوی دیگر، مقادیر کم یا متوسط  $k$  نیازمند تحلیل توزیع‌شده شعاعی است. (تحلیل‌های متسوز و توزیع‌شده در فرمولاسیون پنج مثال توضیحی در بخش ۱۰-۲ داده شده است). بنابراین مقادیر ضریب هدایت حرارتی نقش مهمی را در فرمولاسیون معادلات هدایت حرارتی یک مساله ایفا می‌کند.

در نهایت شکل می‌دهد شرط مرزی به‌صورت زیر نوشته می‌شود:

$$\pm k \left( \frac{\partial T}{\partial r} \right)_0 = \frac{hR}{k} (T_0 - T_\infty), \quad (۲-۱۰۳)$$

این معادله نشان می‌دهد که اثرات  $h$  و  $k$  را می‌توان به‌صورت عبارتی از یک عدد بدون بعد بررسی کرد (عدد بایوت)

$$hR/k = Bi,$$

که در آن  $R$  در این معادله طول مشخصه است. این معادله به‌صورت  $(R/k)/(1/h)$  باارزی می‌شود. در این صورت می‌توان به‌طور فیزیکی عدد بایوت را به‌صورت نسبت مقاومت‌های ورودی و خروجی از یک مساله در چگنی که معادله (۲-۱۰۳) به‌کار می‌رود، تعریف نمود.

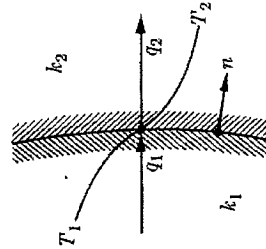
این شرط مرزی به سادگی به صورت زیر بدست می‌آید:

$$\pm k \left( \frac{\partial T}{\partial n} \right)_\sigma + q'' = h(T_\sigma - T_\infty) \quad (2-105)$$

که در آن علامت‌های عبارت هدایت وابسته به جهت‌های عمود می‌باشد. معادله (2-105) مانند معادله (2-104) مستقل از توزیع‌های واقعی دما می‌باشد. هر جسم در محیط به قابلیت دریافت حرارت تابشی از یک منبع تابشی نزدیک (چراغ برق و یا لامپ) و یا از طریق نور خورشید را دارد. نمونه‌ای از شرط مرزی فوق خواهد بود.

(۷) سطح مشترک دو محیط با ضرایب هدایت متفاوت  $k_1$  و  $k_2$  هنگامی که دو محیط دارای مرزی مشترک مانند شکل (2-20) باشند، شار حرارتی عبوری از این مرز، از روی هر دو محیط و بدون توجه به جهت عمود محاسبه می‌شود، به صورت زیر

$$k_1 \left( \frac{\partial T_1}{\partial n} \right)_\sigma = k_2 \left( \frac{\partial T_2}{\partial n} \right)_\sigma \quad (2-106)$$



$$q_1 - q_2 = 0, \quad -k_1 \left( \frac{\partial T_1}{\partial n} \right)_\sigma - \left[ -k_2 \left( \frac{\partial T_2}{\partial n} \right)_\sigma \right] = 0$$

شکل 2-20

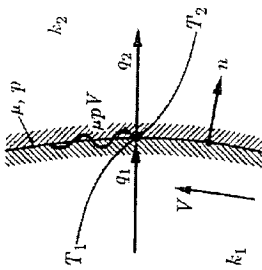
به علاوه، شرط دومی هم می‌تواند با توجه به دماهای دو محیط تعریف شود. اگر به عنوان مثال محیط‌ها جامد و در تماس نزدیک با هم باشند، طبق ایده‌آل‌سازی ریاضی می‌توان دمای دو محیط را یکسان فرض کرد.

$$(T_1)_\sigma = (T_2)_\sigma \quad (2-107)$$

البته، معادله (2-107) در عمل خیلی به ندرت پیش می‌آید. حتی برای سطوح کاملاً صاف به هم فشرده، انتقال حرارت بین دو محیط از طریق مقاومت تماسی  $R_c$  خواهد داد. این مقاومت که به سختی قابل محاسبه و تشخیص است، باعث یک اختلاف دما بین دو محیط در طول سطح مشترک می‌شود. با وجود این واقعیت، معادله (2-107) ضرورتاً کاربرد وسیعی را در فرمولاسیون

مسائل هدایت پیدا کرده است. دیوارهای ترکیبی و لوله‌های عایق مثال‌هایی معروف از این حالت می‌باشند.

(۸) مرز مشترک دو محیط در حرکت نسبت به یکدیگر، دو محیط جامد در تماس با هم، که یکی نسبت به دیگری حرکت می‌کند، را در نظر می‌گیریم (شکل 2-21). فشار موضعی در مرز مشترک  $mp$  ضریب اصطکاک خشک  $h$  و سرعت نسبی  $V$  در نظر گرفته می‌شود.



شکل 2-21

با فرض این که انتقال حرارت به هر دو محیط به وسیله هدایت، برابر کار انجام شده به وسیله اصطکاک است خواهیم داشت:

$$\pm k_1 \left( \frac{\partial T_1}{\partial n} \right)_\sigma + mpV = \pm k_2 \left( \frac{\partial T_2}{\partial n} \right)_\sigma \quad (2-108)$$

که در آن علامت منفی جمله‌های هدایت، متناظر با جهت بردار عمود، نشان داده شده در شکل 2-21 می‌باشد. دوباره با فرض ایده‌آل تماس نزدیک، می‌توانیم دمای دو محیط را طبق حالتی که قبلاً برای معادله (2-107) تشریح شد در مرزها یکسان فرض کنیم. نیروی اصطکاک ترمز حالت عملی مهمی برای این شرط مرزی می‌باشد. ساییده شدن و دمای بالای به وجود آمده در اثر آن این شرط مرزی را برای فرایندهای پیوسته غیرعملی می‌کند راه حل این مشکل روانکاری است که فراتر از این کتاب بوده و در اینجا مورد بررسی قرار نخواهد گرفت.

(۹) مرز متحرک بین دو محیط (تغییر فاز). اگر دماهای قسمتی از محیط، کمتر از دمایی باشد که در آن محیط با جذب یا از دست دادن گرما از یک فاز به فاز دیگر تغییر پیدا می‌کند، مرز متحرک بین دو فاز ایجاد خواهد شد. برای مسائل این بخش، تغییرات دمایی محیط به همراه روشی که طی آن مرز حرکت می‌کند، باید تعیین شود.

به عنوان مثال بررسی انجماد یک مایع را در نظر بگیرید. توجه ما در اینجا به شرط مرزی روی سطح مشترک متحرک  $N_2(t)$  می‌باشد (شکل 2-22). مشخصات حرارتی مایع و جامد به ترتیب با زیرنویس ۱ و ۲ مشخص می‌شوند. از آنجایی که چگالی دو فاز یکسان نیست در مدت زمان  $dt$ ، جامد به ضخامت  $dN_2$  از مایع به ضخامت  $dN_1$  تشکیل می‌شود. با استفاده از قانون اول

و گرمای نهان ذوب به‌صورت زیر است:

$$h_{sl} = h_1 - h_2 \quad (۲-۱۱۱)$$

می‌توانیم سرعت را در معادله (۲-۱۰۹) به‌صورت زیر بنویسیم:

$$-p_2 h_{sl} \frac{dN_2}{dt} = q_2 - q_1 \quad (۲-۱۱۲)$$

با جاگذاری  $q_1$  و  $q_2$  از قانون فوریه در نهایت به فرمول زیر خواهیم رسید:

$$-p_2 h_{sl} \frac{dN_2}{dt} = \pm k_2 \left( \frac{\partial T_2}{\partial n} \right)_\sigma - \left[ \pm k_1 \left( \frac{\partial T_1}{\partial n} \right)_\sigma \right] \quad (۲-۱۱۳)$$

که در آن علامت‌های مثبت و منفی مربوط به دینفرانسیل‌گیری  $\partial/\partial n$  در طول برزخ عمود ورودی و خروجی فاز جامد می‌باشد.

شرط مرزی مذکور توسط یک روش دیگر نیز به این صورت قابل حصول می‌باشد. از آنجایی که  $p_2 \neq p_1$  با فرض  $p_2 > p_1$  فرایند انجماد تا سرعت  $V_1$  در سبیل افزایش می‌یابد که این سرعت متناسب با نرخ اختلاف بین حجم‌های دو فاز می‌باشد (شکل ۲-۲۴ (الف)). بنابراین خواهیم داشت:

$$V_1 = \frac{dN_1 - dN_2}{dt}$$

که اگر با معادله (۲-۱۱۰) بازنمایی شود خواهد شد:

$$V_1 = \left( \frac{p_2}{p_1} - 1 \right) \frac{dN_2}{dt} \quad (۲-۱۱۴)$$

برای ساده‌سازی تحلیل فرض می‌کنیم که نازل با حرکت مرزها حرکت می‌کند شکل ۲-۲۴ (ب) نشان‌دهنده نمایان شدن انجماد برای نازل است. سپس با به‌کار بردن قانون اول ترمودینامیک برای حجم کنترلی که مرز ثابت را احاطه نموده است (شکل ۲-۲۴ (ب)) خواهیم داشت:

$$0 = p_2 (h_2 - h_1) \frac{dN_2}{dt} + q_2 - q_1 \quad (۲-۱۱۵)$$

با قرار دادن معادله (۲-۱۱۱) در معادله (۲-۱۱۵) به معادله (۲-۱۱۲) خواهیم رسید.

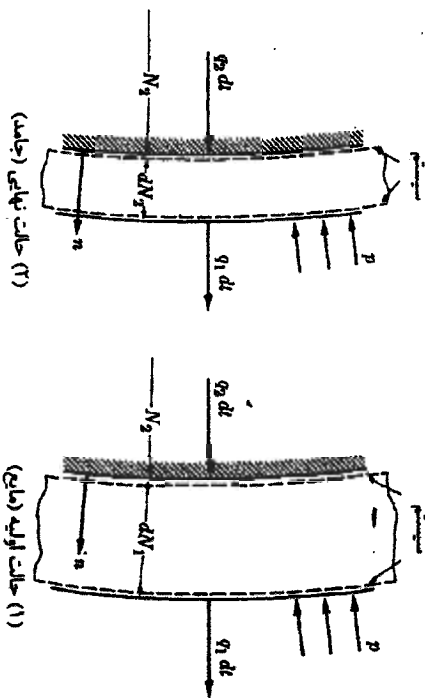
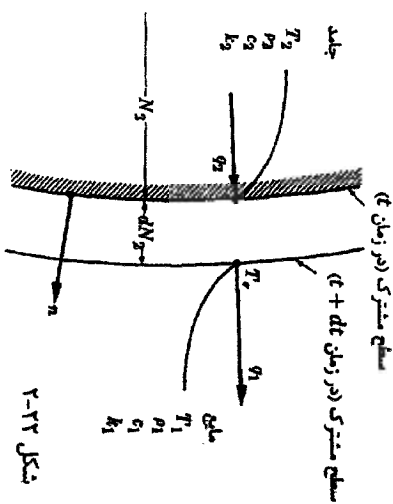
روشی که تغییرات دمایی در مایع مورد توجه نباشد مساله انجماد به‌صورت قابل ملاحظه‌ای ساده می‌شود. در این مورد اگر  $q_1$  را برحسب ضریب انتقال حرارت  $h$  بین کتیم معادله (۲-۱۱۲) به‌صورت زیر بازنمایی خواهد شد:

$$-p_2 h_{sl} \frac{dN_2}{dt} = \pm k_2 \left( \frac{\partial T_2}{\partial n} \right)_\sigma - h (T_\sigma - T_{co}) \quad (۲-۱۱۶)$$

ترمودینامیک برای سیستم نشان داده در شکل ۲-۲۳ که حالت اولیه آن مایعی با ضخامت  $dN_1$  و حالت نهایی‌اش جامدی با ضخامت  $dN_2$  بوده، خواهیم داشت:

$$p_2 h_{sl} dN_2 - p_1 u_1 dN_1 = q_2 dt - q_1 dt - p (dN_2 - dN_1) \quad (۲-۱۰۹)$$

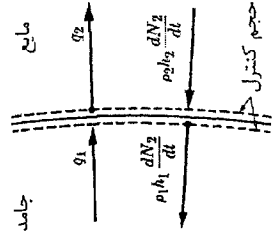
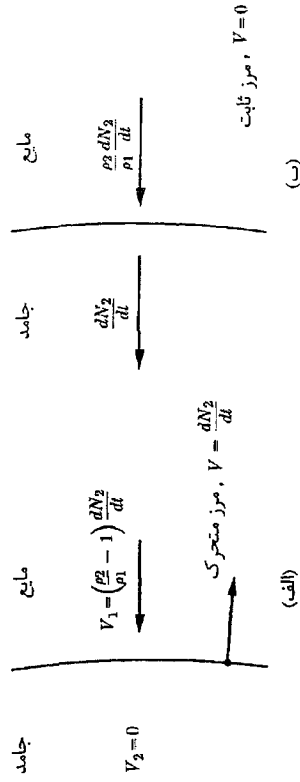
که در آن  $p$  فشار محیط است.



$$p_2 dN_2 = p_1 dN_1 \quad (۲-۱۱۰)$$

با توجه به پیوستگی داریم:

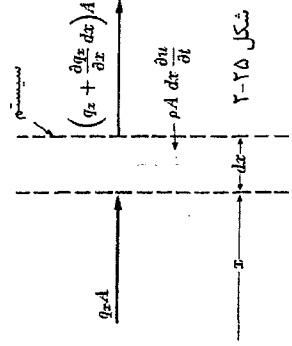
که در آن  $T_{\infty}$  دمای انجماد و  $T_{\infty}$  دمای مایع دور از مرزها می‌باشد. مسائلی که در آن‌ها تغییر فاز وجود دارد از اهمیت عملی زیادی برخوردار هستند. تشکیل یخ به‌طور طبیعی و مصنوعی، انجماد فلزات در ریخته‌گری و میعان و تبخیر سیالات مثال‌هایی از این مورد هستند.



شکل ۲-۲۴

۲-۹. روش‌های فرمولاسیون

در این بخش از این فصل به تبیین فرمولاسیون پدیده هدایت می‌پردازیم. می‌خواهیم فرمولاسیون هر مساله خاص را از فرمولاسیون کلی به‌دست آوریم. این کار امکان‌پذیر است اما همیشه مناسب نمی‌باشد به‌خصوص اگر مساله مورد بررسی در یک جهت یا بیشتر متمرکز باشد. (این نکته در مساله شکل ۲-۲۷ تشریح شده است). علاوه بر آن، کاربرد فرمولاسیون کلی برای یک مساله خاص یک فرایند ریاضی است که فیزیک فرمولاسیون را که در مسائل عملی اهمیت زیادی دارد، حذف می‌کند. در مقابل، دیدگاه فیزیکی که در این کتاب به آن تاکید شده هر

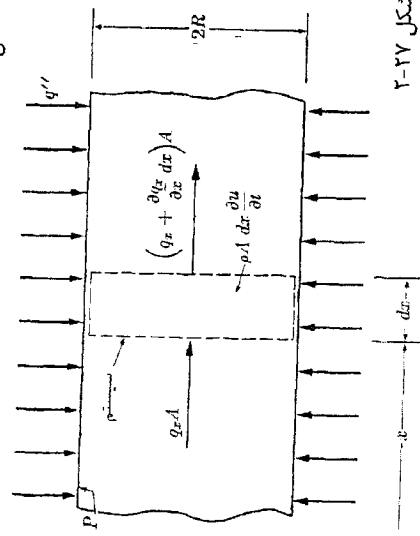
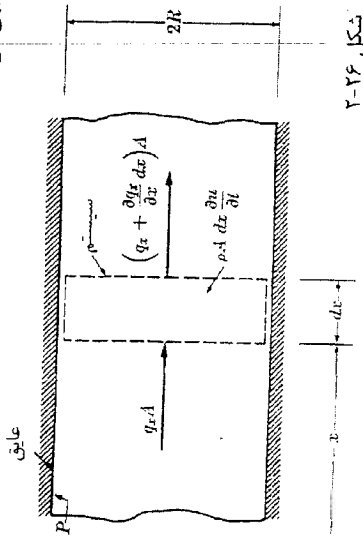


مساله را به‌طور مجزا از ابتدای فرمولاسیون با دخالت دادن فیزیک در هر بخش از فرمولاسیون بررسی می‌کند. برای مشخص شدن این نکته می‌خواهیم به مقایسه دو روش توسط سه مساله که نیازمند فرمولاسیون یک بعدی از روی قانون اول ترمودینامیک می‌باشند، بپردازیم.

مساله اول سیستم کارترین یک بعدی نشان داده شده در شکل ۲-۲۵ است. هنگامی که، نرخ زمانی تغییر انرژی داخلی را مساوی انتقال حرارت خالص عبوری از مرزهای سیستم قرار دهیم به

$$\rho \frac{\partial u}{\partial t} + \frac{\partial q_x}{\partial x} = 0 \quad (2-117)$$

مشخص است که فرمولاسیون کلی به‌دست آمده از مختصات کارترین یک بعدی معادله (۵۷) نیز نتایج مشابهی می‌دهد.





سایه‌ای که می‌خواهیم فرمولاسیون را در ایامه کمتری انجام دهیم و یک یا چند جهت را متمرکز فرض کنیم (مثل مثال سوم)، دیدگاه ریاضی طولانی و نامناسب خواهد بود.

با توجه به بحث مذکور و تأکید این کتاب روی کاربردهای عملی انتقال حرارت، روش فیزیکی برای انجام فرمولاسیون ترجیح داده می‌شود. برای سادگی و استفاده‌های بعدی، این روش فرمولاسیون در پنج مرحله زیر خلاصه شده است:

(i) تعریف یک سیستم مناسب یا حجم کنترل: این مرحله شامل انتخاب (الف) سیستم به‌صورت (ب) فرمولاسیون متحرک یا توزیع‌شده و (ب) یک سیستم یا حجم کنترل برحسب (الف) و (ب).

(ii) نوشتن قوانین کلی برای قسمت (i): قوانین عمومی یا کلی به جز در حالت متحرک، برحسب یک سیستم مختصات نوشته می‌شوند. شکل دینامیکی این قوانین وابسته به جهت بوده به میانه مختصات وابسته نیست. درحالی‌که شکل انتقالی علاوه بر جهت‌های مختصات به میانه نیز وابسته است. اگر چه شکل دینامیکی به‌صورت موضعی و محلی استفاده شده، شکل‌های انتقالی و متحرک برای کل سیستم یا حجم کنترل تشریح می‌شوند.

(iii) تشریح قوانین خاص برای قسمت (ii): قوانین خاص که تشریح کننده تیزد گرما (انرژی هرکت، جرم یا الکتریسیته) است، دینامیکی بوده، و به‌صورت محلی کاربرد دارند و به جهت به‌صورت وابسته بوده و وابسته به میانه مختصات نیست.

(iv) به‌دست آوردن معادله حاکم از قسمت (ii) و (iii): این معادلات مانند معادله هدایت، ممکن است جبری، دینامیکی یا به شکل‌های دیگر که شامل متغیرهای وابسته دینامیکی مانند  $\rho$  یا به عنوان تنها مجهول معادله می‌باشند، باشد. معادله حاکم (به‌جز برای چهارت‌های جریان) مستقل از جهت و میانه مختصات می‌باشد.

(v) مشخص کردن شرایط مرزی و اولیه مربوط به (iv): این شرایط وابسته به میانه و جهت‌های مختصات می‌باشد.

#### ۲-۱۱ مثال‌ها

در این بخش بر روی فرمولاسیون تأکید می‌شود. هر چند، برای آن مسائلی که فرمولاسیون‌شان بیشتر به یک معادله دینامیکی معمولی درجه اول یا درجه دوم با ضرایب ثابت می‌شود، حل مسئله را نیز ارائه خواهیم داد.

مثال ۱-۲: یک گرمکن الکتریکی ساخته شده از میله جامد با مقطع مستطیلی  $(2A \times 2A)$  که به یکی از صورت‌های ارائه شده در شکل ۲-۲۸ طراحی شده را در نظر بگیرید. تغییرات دمایی در طول میله قابل صرف‌نظر است. به‌علاوه اثرات خمیدگی در گرمکن کولبی، شکل ۲۸-۲۸ (ب) کوچک قابل صرف‌نظر است. تولید انرژی داخلی  $\dot{e}'''$  در گرمکن یکدماست. ضریب انتقال حرارت با

سپس، یک میله جامد عایق‌شده با شعاع  $R$  مسطح  $A$  و محیط  $P$  (شکل ۲-۲۶) را در نظر می‌گیریم. به روش مشابه، قانون اول ترمودینامیک برای سیستم یک پهنی نماند داده شده در شکل (۲-۲۶) نتایج مشابهی با مساله قبل، یعنی معادله (۲-۱۱۷) را حاصل می‌کند.

در نهایت، میله جامد مساله قبل را هنگامی که در معرض شار حرارتی محیطی یکدما  $q''$  (شکل ۲-۲۷) قرار دارد، در نظر می‌گیریم. طبق دیدگاه فیزیکی، از قانون اول برای سیستم یک پهنی نماند داده شده در شکل ۲-۲۷ استفاده می‌کنیم. نتیجه به این صورت است:

$$\rho \frac{\partial u}{\partial t} + \frac{\partial q_x}{\partial x} = \frac{q'' P}{A} \quad (2-118)$$

در مقابل، شکل یک پهنی فرمولاسیون کلی، دوباره به معادله (۲-۱۱۷) می‌انجامد و شامل اثرات شار حرارتی محیطی نمی‌شود. این مشکل با بررسی شکل دومین از معادله (۲-۵۷) حل می‌شود.

$$\rho \frac{\partial u}{\partial t} + \frac{\partial q_x}{\partial x} + \frac{1}{r} \frac{\partial}{\partial r} (r r q_r) = 0, \quad (2-119)$$

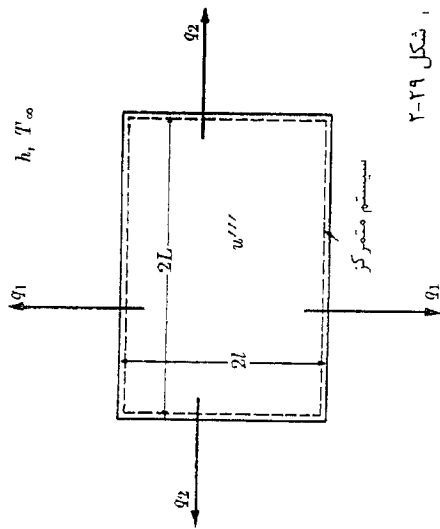
که در آن  $u'$  و  $q_r'$  و  $q_x'$  علاوه بر  $x$  و  $t$  به  $r$  نیز وابسته هستند. سپس با متوسط‌گیری شعاعی معادله (۲-۱۱۹) که منجر به ضرب هر جمله در  $2\pi r dr$  شده و با انتگرال‌گیری در بازه  $(0, R)$  خواهیم داشت:

$$\rho A \frac{\partial u}{\partial t} + A \frac{\partial q_x}{\partial x} + 2\pi r q_r \Big|_0^R = 0, \quad (2-120)$$

که برابر با معادله (۲-۱۱۸) می‌باشد. اینجا مقدار متوسط شعاعی با متغیر مستقل  $r$ ، به‌صورت زیر تعریف می‌شود:

$$u(x, t) = \frac{2\pi}{A} \int_0^R r u'(r, x, t) dr.$$

بحث در مورد سه مثال مذکور را می‌توان به‌صورت زیر جمع‌بندی نمود. یک مساله داده شده به دو صورت فرمول‌بندی می‌شود: یا با در نظر گرفتن یک حالت خاص مناسب از فرمولاسیون کلی (روش فرمولاسیون ریاضی) و یا از ابتدا دنبال کردن یک فرمولاسیون مناسب برای هر مساله (روش فرمولاسیون فیزیکی). تا زمانی که فرمولاسیون کلی موجود باشد، روش اول استفاده می‌شود. اما این حالت نیازمند تفسیر ریاضی از فرمولاسیون کلی برای مساله مورد بررسی می‌باشد. از طرفی، روش دوم، شامل مراحل مشخص پشت‌سرم در یک روند پایانی برای هر فرمولاسیون است، که این موضوع در ادامه آورده شده است. برای مسائل یک یا چندپهنی که فرمولاسیون مساله شامل تلمی ایامه می‌باشد (مثل مسائل اول و دوم بررسی شده)، ثابت می‌شود که دیدگاه ریاضی یا کلی بسیار کوتاه‌تر از دیدگاه فیزیکی یا منحصراً مفید است. هر چند برای مسائل چند



شکل ۲-۲۹

معادلات (۲-۱۲۱) و (۲-۱۲۲) فرمولاسیون متمرکز را برای این مساله به اتمام می‌رسانند. اگر معادله (۲-۱۲۲) را درون معادله (۲-۱۲۱) قرار دهیم، این فرمولاسیون به صورت دمای مجهول  $T$  نیز نوشته می‌شود، به صورت زیر:

$$0 = -2h(2L \cdot 1)(T - T_{\infty}) - 2h(2L \cdot 1)(T - T_0) + u'''(2L \cdot 2L \cdot 1) \quad (2-123)$$

ساده بودن معادله (۲-۱۲۳) دمای میله گرمکن را به سادگی به صورت زیر می‌دهد:

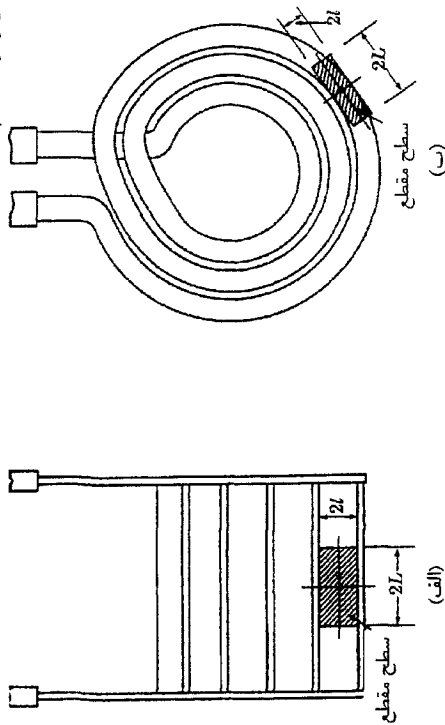
$$T = T_{\infty} + \frac{u'''(2L \cdot 2L)}{2h(2L + 2L)} \quad (2-124)$$

هنگامی که مقدار  $h$  به سمت بی‌نهایت میل کند دمای گرمکن به دمای محیط  $T_{\infty}$  نزدیک خواهد شد. ایچ بخش ۸-۲ در مورد شرایط مرزی نوع چهارم بررسی شود.

### II فرمولاسیون دینفرانسیلی

(i) سیستم یا حجم کنترل، سیستم دینفرانسیلی دو بعدی نشان داده شده در شکل ۲-۳۰ را در نظر بگیرید. به طور اختیاری جهت افقی با  $x$  و جهت عمودی با  $y$  نشان داده شده‌اند. جهت و مقدار مختصات هنوز مورد نیاز نیست. به عنوان یک قرارداد معمول سمت راست محور  $x$ ها و جهت بالا در محور  $y$ ها را جهت مثبت انتخاب می‌کنیم.

$h$  نشان داده شده و دمای محیط  $T_{\infty}$  است. می‌خواهیم فرمولاسیون هدایتی پایای مناسب برای این شکل را ارائه کنیم.



شکل ۲-۳۱

طبق پنج مرحله اصلی اشاره شده در بخش قبل، عمل می‌کنیم. باید فرمولاسیون متمرکز، انتگرالی و دینفرانسیلی این مساله را ارائه کنیم.

### I فرمولاسیون متمرکز

(i) سیستم یا حجم کنترل، سیستم متمرکز شامل تمام سطح مقطع گرمکن می‌شود (شکل ۲-۳۱). از آنجایی که مساله دو بعدی در نظر گرفته می‌شود، طول میله‌ها تأثیری در فرمولاسیون ندارد؛ به جهت ساده‌سازی برای میله‌ها طول واحدی را در نظر می‌گیریم.

(ii) قوانین کلی، با استفاده از قانون اول ترمودینامیک (معادله ۲-۱۶) برای شکل ۲-۳۱ نتیجه زیر حاصل می‌شود.

$$0 = -2q_1(2L \cdot 1) - 2q_2(2L \cdot 1) + u'''(2L \cdot 2L \cdot 1) \quad (2-121)$$

(iii) قوانین خاص، فرمولاسیون متمرکز بوده و نیازمند هیچ قانون خاصی نیست.

(iv) معادله حاکم، در غیاب قوانین خاص معادله حاکم برابر قوانین کلی می‌شود.

(v) شرایط مرزی و اولیه، به علت فرمولاسیون پایا نیازی به شرط اولیه نمی‌باشد. با استفاده از تعریف  $h$  نیز تنها شرط مرزی را خواهیم داشت:

$$q_1 (q_2) = h(T - T_{\infty}) \quad (2-122)$$

$$(۲-۱۲۵) \quad -\frac{\partial q_x}{\partial x} - \frac{\partial q_y}{\partial y} + u''' = 0.$$

(iii) قوانین خاص، دو عبارت از شکل برداری قانون فوریه در مختصات کارتزین که برای محیط نوزتروویک استفاده می‌شوند، به صورت زیر می‌باشند:

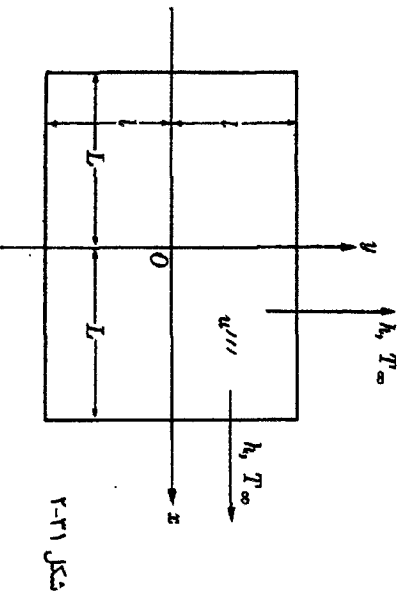
$$(۲-۱۲۶) \quad q_x = -k \frac{\partial T}{\partial x}, \quad q_y = -k \frac{\partial T}{\partial y}.$$

(iv) معادلات حاکم، قرار دادن معادله (۲-۱۲۶) در معادله (۲-۱۲۵) نتیجه زیر را حاصل می‌کند:

$$(۲-۱۲۷) \quad \frac{\partial}{\partial x} \left( k \frac{\partial T}{\partial x} \right) + \frac{\partial}{\partial y} \left( k \frac{\partial T}{\partial y} \right) + u''' = 0,$$

$$(۲-۱۲۸) \quad \frac{\partial^2 T}{\partial x^2} + \frac{\partial^2 T}{\partial y^2} + \frac{u'''}{k} = 0,$$

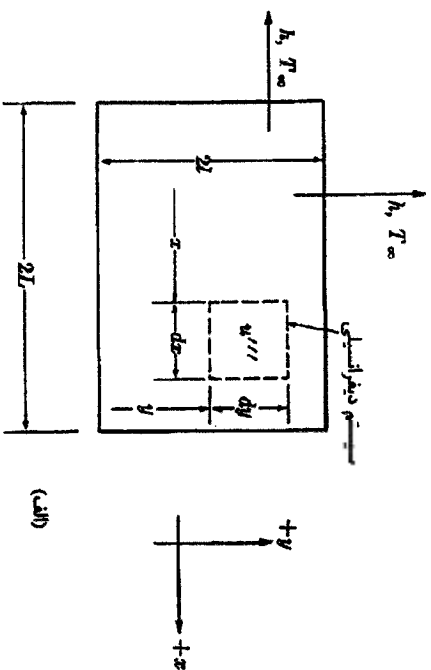
که این رابطه برای  $k$  ثابت به صورت زیر می‌باشد:



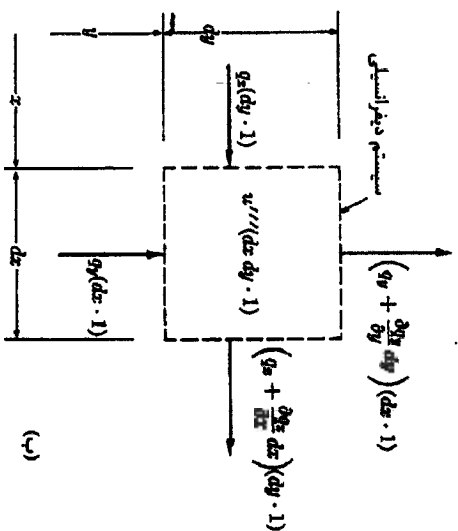
شکل ۲-۳۱

معادله (۲-۱۲۷) یا معادله (۲-۱۲۸) معادله حاکم (هندیاتی) برای مساله مورد نظر خواهند بود. واضح است که این معادلات از شکل کلی برداری داده شده در معادلات (۲-۸۸) و (۲-۹۱) و با در نظر گرفتن حالات کارتزین دو بعدی پایا به دست آمده‌اند.

(۷) شرایط مرزی و اولیه. همانند فرمولاسیون مسترکز شرط اولیه نیز نیست، درجه مشتقات  $T$  در معادله (۲-۱۲۸) نشان می‌دهد که دو شرط مرزی در هر جهت مورد نیاز است. قبل از آن که این شرایط مشخص شوند باید میانه، مختصات و جهت محورهای مشخص شوند. با توجه به این هندسی و گرمایی مساله، سیستم مختصات را مطابق شکل ۲-۳۱ در نظر می‌گیریم. بنابراین شرایط مرزی به این صورت نوشته خواهند شد:



(الف)



شکل ۲-۳۰

(ii) قوانین کلی، قانون اول ترمودینامیک برای سیستم دینفراسیسی شکل (۲-۳۰) (الف) به کار می‌رود و به طور واضح تر بر حسب عبارات و علامت شکل ۲-۳۰ (ب) بیان شده و نتیجه زیر را حاصل می‌کند:

$$0 = +q_x(dy \cdot 1) - \left( q_x + \frac{\partial q_x}{\partial x} dx \right) (dy \cdot 1) + q_y(dx \cdot 1) - \left( q_y + \frac{\partial q_y}{\partial y} dy \right) (dx \cdot 1) + u'''(dx \cdot dy \cdot 1),$$

که به صورت زیر مساله می‌شود:

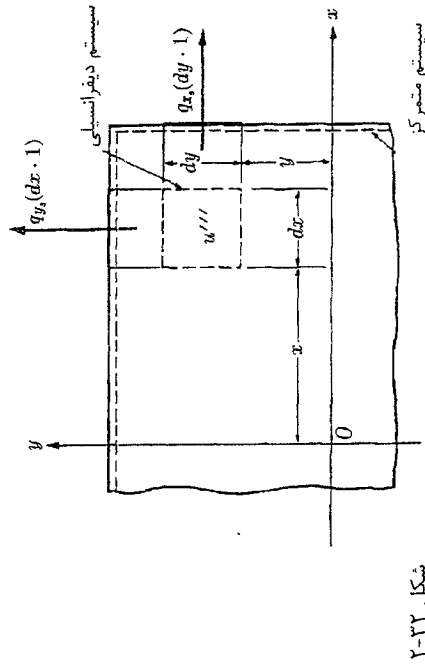
انتقال حرارت هدایتی

$$\frac{\partial T(0,y)}{\partial x} = 0, \quad -k \frac{\partial T(L,y)}{\partial x} = h[T(L,y) - T_{\infty}], \quad (2-129)$$

$$\frac{\partial T(x,0)}{\partial y} = 0, \quad -k \frac{\partial T(x,l)}{\partial y} = h[T(x,l) - T_{\infty}].$$

معادلات فوق را در سیستم مختصاتی که میدانه آن یکی از گوشه‌های گرمکن در نظر گرفته شده، بازنویسی کنید. معادله (2-129) را، با معادلات جدیدی که به‌دست آمده است مقایسه کنید.

معادله (2-127) یا (2-128)، به‌همراه معادله (2-129) فرمولاسیون دیرانسیتی این مساله را کامل می‌کند. حل این مساله نیازمند پیشینه ریاضی بیشتری بوده و به فصل 4 موقوف می‌شود. (مثال 2-10 را که در آن حالت خاص  $h \rightarrow \infty$  بررسی شده است، مشاهده کنید).



شکل 2-22

### III. فرمولاسیون انتگرالی.

(i) سیستم یا حجم کنترل. همان‌طور که در ادامه آمده است در این فرمولاسیون باید به‌طورهم‌زمان از سیستم‌های فرمولاسیون متمرکز و دیرانسیتی استفاده نمود (شکل 2-22).  
(ii) قوانین کلی. قانون اول ترمودینامیک برای سیستم متمرکز شکل 2-22 به‌کار می‌رود، اما برحسب عبارات و علائم سیستم دیرانسیتی همین شکل بیان می‌شود (همان‌طور که در بالا ذکر شد، شکل 2-22 ترکیبی از سیستم متمرکز و دیرانسیتی است. م. و خواهیم داشت:

$$-\int_0^l (q_x)_s dy - \int_0^L (q_y)_s dx + u''' Ll = 0. \quad (2-130)$$

نتایج مشابهی نیز ممکن است از دیدگاه ریاضی با استفاده از شکل دیرانسیتی قانون اول ترمودینامیک معادله (2-125) روی سطح عرض گرمکن به‌دست آید. نتایج به این صورت است:

فصل 2- فرمولاسیون‌های متمرکز، انتگرالی و دیرانسیتی

$$\int_0^L \int_0^l \left( -\frac{\partial q_x}{\partial x} - \frac{\partial q_y}{\partial y} + u''' \right) dx dy = 0. \quad (2-131)$$

بسیادگی با انجام انتگرال‌گیری مناسب از معادله (2-131) می‌توان تساوی معادلات (2-130) و (2-131) را نشان داد.

(iii) قوانین خاص. از آنجایی‌که  $q_x$  و  $q_y$  به‌صورت محلی و موضعی استفاده می‌شود، قانون فوریه داده شده در معادله (2-126) برای این مورد نیز صادق است.

(iv) معادله حاکم. با قرار دادن معادله (2-126) در معادله (2-130) و (2-131) شکل انتگرالی معادله هدایت به‌صورت زیر حاصل می‌شود:

$$\int_0^L \left( \frac{\partial T}{\partial x} \right)_s dy + \int_0^L \left( \frac{\partial T}{\partial y} \right)_s dx + \frac{u'''}{k} Ll = 0. \quad (2-132)$$

یا

$$\int_0^L \int_0^l \left( \frac{\partial^2 T}{\partial x^2} + \frac{\partial^2 T}{\partial y^2} + \frac{u'''}{k} \right) dx dy = 0. \quad (2-133)$$

از این‌رو، دو شکل انتگرالی متناظر با فرمولاسیون دیرانسیتی معادله هدایت داریم، که یکی از روی ملاحظات فیزیکی و دیگری از روی دیدگاه ریاضی به‌دست می‌آید و معادله حاصل از دیدگاه ریاضی حاصل انتگرال‌گیری از شکل مناسب دیرانسیتی نوشته شده روی مقطع عرضی گرمکن می‌باشد. واضح است هنگامی‌که شکل دیرانسیتی موجود باشد، معادله (2-133) راحت‌تر از معادله (2-132) به‌دست می‌آید. البته، هر دو معادله یکسان و برابر می‌باشند.

(v) شرایط مرزی و اولیه. از آنجایی‌که معادلات (2-132) و (2-133) به‌صورت محلی و موضعی استفاده می‌شوند، شرایط مرزی و اولیه فرمولاسیون دیرانسیتی برای فرمولاسیون انتگرالی حاضر نیز قابل استفاده است. از این‌رو معادله (2-132) یا معادله (2-133) به‌همراه معادله (2-129)، فرمولاسیون انتگرالی مساله را تکمیل می‌کنند.

فرمولاسیون انتگرالی برای به‌دست آوردن جواب تقریبی مناسب می‌باشد، و برای مسائلی که حل دقیق آن‌ها شامل معادلات جبری نسبتاً پیچیده بوده مناسب است و مخصوصاً برای مسائل پیچیده‌ای که حل دقیق ندارند، ضروری است. حل فرمولاسیون انتگرالی، به پیشینه ریاضی بیش از آن چیزی که برای خواننده دانسته فرض شده، نیاز ندارد؛ از این‌رو روش را در اینجا ارائه می‌دهیم. این روش براساس انتخاب پروفایل تقریبی برای متغیرهای نامعلوم (وابسته)، مثل دما می‌باشد. این پروفایل شامل پارامتری نامعلوم است که باید محاسبه شود و فرض می‌شود که پروفایل مذکور

$$(۲-۱۳۶) \quad T(x, y) - T_{\infty} = \frac{3}{4} \frac{[1 - (\alpha/L)^2] [1 - (\gamma/L)^2]}{1 + (\alpha/L)^2}$$

حال می خواهیم راجع به فکت این حل تقریبی بحث کنیم از آنجایی که شرایط مرزی به صورت کامل ارضا می شوند، بیشترین خطا در دوزترین مناطق نسبت به مرزها حاصل می شود به خصوص در میانه مقطعات. در حقیقت، با قرار دادن  $\alpha/L = 0$  و  $\gamma/L = 1$  مقدار ویژه  $1/L$  درون معادله (۲-۱۳۶) خطای حدود  $1/3773$  حاصل می شود که مقدار قابل توجهی است. اگر چه خطا با  $\alpha$  یا در نظر گرفتن تقریب درجه دوم به میزان قابل توجهی کاهش می یابد، که بعداً مورد بررسی قرار خواهد گرفت. (به مثال ۱۱-۴ توجه شود).

همچنین می توانیم از یک روش دیگر که روش کانتروویچ<sup>۱</sup> نام دارد برای انتخاب پروفایل تقریبی استفاده کنیم. این روش بر پایه تصمیم روش ریتز می باشد. دوباره فرض می کنیم که پاسخ از حاصل ضرب چند تابع تشکیل شده باشد، که هر کدام از این توابع تنها وابسته به یک متغیر مستقل است. یکی از این توابع، تابع پارامتری<sup>۲</sup> است<sup>۳</sup> که به صورت غیر مشخص باقی می ماند (به صورت مثال اگر مساله دارای دو بند (یا دو متغیر وابسته) باشد تنها برای یک جهت یا یک متغیر وابسته، تابعی را حدس می زنیم و جهت دیگر را به صورت پارامتری  $X(x)$  یا  $Y(y)$  باقی می گذاریم تا به کمک معادله حاکم انتگرالی به دست آید.  $\alpha_0$ ، پروفایل جدید، شرایط مرزی مساله را تنها در جهت هایی که دارای توابع مشخص هستند، ارضا می کند و هنگامی که این پروفایل کانتروویچ<sup>۴</sup> که در آن ثابت توابع مشخص به کمک شرایط مرزی تعیین شده است  $\alpha_0$ ، را در فرمولاسیون انتگرالی قرار می دهیم یک معادله دینفراسیال بر حسب تابع پارامتری به دست می آید. ثابت انتگرال گیری حل این معادله دینفراسیال طبق شرایط مرزی در جهت تابع پارامتری به دست می آید. همان طوری که در مثال های ۲-۲ و ۲-۳ خواهیم دید روش کانتروویچ برای مسائل نابایا متداول است (البته برای مسائل پایا نیز مورد استفاده قرار می گیرد و دقیق تر از روش ریتز است  $\alpha_0$ ).

حال اگر به مساله مورد مطالعه باز گردیم و بعنوان مثال، اگر جهت  $x$  معادله (۲-۱۳۶) نامشخص باشد<sup>۵</sup>، چند جمله ای درجه اول به روش کانتروویچ به این صورت خواهد شد:

۱- این خطا از مقایسه معادله (۲-۱۳۶) با جواب دقیق، معادله (۲-۱۳۷) و با حل فرمولاسیون دینفراسیالی مساله به دست می آید.

2- Kantorovich method parameter function

۳- در روش ریتز عبارت پارامتر، به پارامتر ثابت اشاره دارد اما در روش کانتروویچ واژه پارامتر برای بیان یک تابع کمی مثل  $X(x)$  یا  $Y(y)$  به کار می رود.

۴- همان طور که در فصل ۸ توصیف خواهد شد این انتخاب نمی تواند اعتیاری باشد، زیرا چیزی که نامشخص باشد صحت روش را تحت تاثیر قرار می دهد رجوع شود به کتاب زبان اصلی  $\alpha_0$ .

مشکل از ضرب توابع ساده (چند جمله ای، دایره ای و غیره) می باشد. هر تابع در این حاصل ضرب تنها وابسته به یکی از متغیرهای مستقل ورودی مساله می باشد و به گویای انتخاب می شود که شرایط مرزی ارضا شود. هنگامی که این حاصل ضرب در فرمولاسیون انتگرالی قرار می گیرد نتیجه انتگرال گیری پارامترهای نامعلوم را مشخص می کند<sup>۶</sup> و در عوض هنگامی که مقادیر پارامترها درون حاصل ضرب قرار گرفته یک حل تقریبی برای مساله مورد نظر به دست خواهد آمد.

حال می خواهیم این روزه کلی را برای مساله مطرح شده استفاده کنیم، برای دستی گرمکن فرض می کنیم که حاصل ضرب به صورت زیر موجود باشد:

$$T(x, y) - T_{\infty} = X(x)Y(y),$$

که در آن  $X$  و  $Y$  به ترتیب توابعی از  $x$  و  $y$  هستند. مساله را به حالتی که  $h$  بزرگ است، محدود کرده و به عنوان مثال فرض می کنیم که پروفایل در هر دو جهت سهموی بوده به طوری که شرایط مرزی را ارضا کند، می توانیم تقریب اولیه دستی گرمکن را به صورت زیر بنویسیم:

$$(۲-۱۳۷) \quad T(x, y) - T_{\infty} = (L^2 - x^2)(L^2 - y^2)\alpha_0,$$

که در آن  $\alpha_0$  پارامتر نامعلومی است که باید محاسبه شود. معادله (۲-۱۳۷) پروفیل چند جمله ای درجه اول ریتز<sup>۷</sup> می باشد، که با استفاده از روش مشهور محاسبات تغییر کننده<sup>۸</sup> ریتز به دست می آید که این روش در فصل ۸ تشریح خواهد شد.

با قرار دادن معادله (۲-۱۳۷) در معادله (۲-۱۳۶) خواهیم داشت:

$$(۲-۱۳۸) \quad \alpha_0 = \frac{3\pi^3/k}{4L^2 + 2}.$$

با ترکیب معادلات (۲-۱۳۶) و (۲-۱۳۷) و پارازایی نتیجه ترکیب این دو معادله، چندجمله ای درجه اول ریتز برای توزیع دما می مورتنظر به شکل زیر به دست می آید:

۱- این می تواند تنها یک فرض باشد، و ممکن است متغیر به یک جواب نبود وجود یک جواب بر درست بودن فرض دلالت دارد.

۲- اگرچه در انتقال حرارت هدایتی متداول نیست، روش انتگرالی به طور وسیعی تحت نام کارمن - پهلوسن (Karman-Pohlhausen) برای به دست آوردن جواب های تقریبی سرعت و دمای مساله لایه مرزی در مگایک سیالات و انتقال حرارت جهت هایی مورد استفاده قرار می گیرد.

۳- شکل های حاصل ضرب مراتب بالاتر به بیش از یک پارامتر نیاز دارد.

۴- Ritz Profile

5- Variational calculus

۶- این کتاب ترجمه ۷ فصل اول کتاب انتقال حرارت هدایتی آرپایی بوده و علاقه مندان می توانند برای مطالعه اصول ۸، ۹ و ۱۰ به کتاب زبان اصلی مراجعه نمایند.

انتقال حرارت هدایتی

۹۴

$$T(x, y) - T_{\infty} = (l^2 - y^2)X(x), \quad (2-137)$$

که این معادله شرایط مرزی را تنها در جهت  $l$  ارضا می‌کند.

با قرار دادن معادله (2-137) در (2-133) و انتگرال‌گیری در جهت  $l$  به نتیجه زیر می‌رسیم:

$$\int_0^L \left( \frac{2}{3} l^2 X'' - 2X + u'''/k \right) dx = 0, \quad (2-138)$$

از آنجایی که معادله (2-138) برای طول دلخواه  $L$  صادق است، باید جمله زیر انتگرال در بازه  $(0, L)$  صفر شود. بنابراین تابع پارامتری  $X(x)$  با توجه به شرایط مرزی در جهت  $x$  قبلاً استفاده نشده است، در معادله دیفرانسیل صدق می‌کند.

$$X'' - (3/l^2)X = 3u'''/2kl^2, \quad (2-139)$$

این شرایط ممکن است به شکل زیر محاسبه شوند. به عنوان مثال فرض کنید که شرط مرزی  $T_{\infty}, x = L = T_{\infty}$  است. ممکن است این شرط برحسب قاعده حاصل‌ضرب، به شکل زیر نوشته شود:

$$T(L, y) - T_{\infty} = 0 = X(L)Y(y), \quad (2-140)$$

البته، معادله (2-140) برای تمام مقادیر  $Y(y)$  معتبر نیست مگر این که  $X(L) = 0$  شود. به طور مشابه شرایط دیگر، از تقارن همایی و به صورت  $dX(0)/dx = 0$  به دست می‌آید. بنابراین شرایط مرزی در جهت  $x$  به صورت زیر می‌شود:

$$dX(0)/dx = 0, \quad X(L) = 0, \quad (2-141)$$

جواب معادله (2-139) با توجه به معادله (2-141) به صورت زیر می‌باشد:

$$X(x) = \frac{u'''}{2k} \left( 1 - \frac{\cosh(\sqrt{3}l/x)}{\cosh(\sqrt{3}l/L)} \right), \quad (2-142)$$

در نهایت، با قرار دادن معادله (2-142) در معادله (2-137) و بازاری آن، چندجمله‌ای درجه اول کانتروویچ برای توزیع دمایی مناسب گرمکن به صورت زیر به دست می‌آید:

$$\frac{T(x, y) - T_{\infty}}{u''l^2/k} = \frac{1}{2} \left[ 1 - \left( \frac{y}{l} \right)^2 \right] \left( 1 - \frac{\cosh(\sqrt{3}l/x)}{\cosh(\sqrt{3}l/L)} \right), \quad (2-143)$$

دمای صفحه مرعی در مبداء مختصات، بیشترین خطا را خواهد داشت. که اختلاف آن با جواب دقیق در حدود ۱۱/۵ درصد است. طبق انتظار، این نتیجه دقت بیشتری نسبت به روش ریتز دارد.

۱- معادله (2-133) نسبت به معادله (2-132) برای روش کانتروویچ مناسب‌تر است.

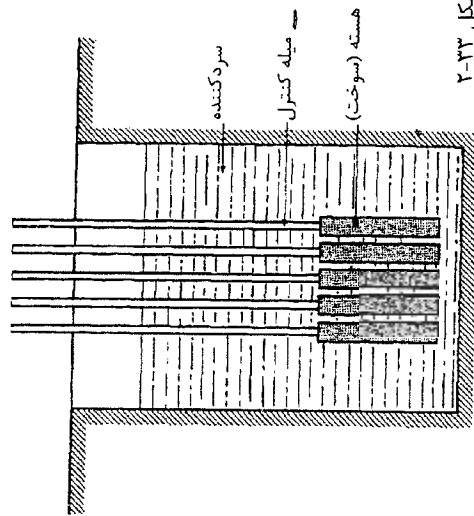
فصل ۲- فرمولاسیون‌های متهمرکز، انتگرالی و دیفرانسیلی

۹۵

زیرا محدودیت‌های دلخواه کمتری به پروفایل کانتروویچ تحمیل شده است. دقت پروفایل درجه اول کانتروویچ مثل پروفایل درجه اول ریتز، به میزان قابل توجهی در پروفایل درجه دوم بهبود می‌یابد.

(مثال ۱۱-۴ را مشاهده کنید).

شایان توجه است که اگر برای یک مساله، پروفایل‌های درجه اول ریتز و کانتروویچ با استفاده از شکل تغییر یافته همان مساله حاصل شوند (به جای شکل انتگرالی م)، نتایج دقیق‌تری حاصل می‌شود. از این راه خطای ۲۷/۳ درصدی روش ریتز انتگرالی می‌تواند با استفاده از ریتز تغییر یافته به ۶/۵ درصد، کاهش یابد. به طور مشابه خطای ۱۱/۵ درصدی روش کانتروویچ انتگرالی با استفاده از کانتروویچ تغییر یافته به ۲/۶۸ درصد، کاهش یابد. مطالعه محاسبات تغییر یافته در فصل ۸ بررسی شده است. دلیل بررسی محاسبات تغییر یافته، به دست آوردن نتایج دقیق‌تری نسبت به روش انتگرالی است که در همان فصل توضیح داده شده است. (بحث ارائه شده در زیر مثال ۶-۸ را مشاهده کنید).



مثال ۲-۲. راکتور حوضچه‌ای شکل (2-23) را که درون کوره آن تعدادی صفحات سوختی عمودی با ضخامت  $2L$  تعبیه شده است، در نظر بگیرید. در ابتدا سیستم در دمای یکسوخت  $T_{\infty}$  قرار دارد. سپس فرض کنید که انرژی درونی ثابت هسته‌ای  $u'''$  به طور یکسوخت در این صفحات تولید می‌شود. ضرایب انتقال حرارت میان صفحات و ماده خنک‌کننده  $h$  است. دمای ماده خنک‌کننده ثابت می‌ماند و ضخامت صفحات در مقایسه با ابعاد دیگر آن کوچک است. بنابراین

1- Variational form

۲- این کتاب حاوی ۷ فصل اول کتاب انتقال حرارت هدایتی آریاجی است و علاقه‌مندان برای مطالعه فصول ۸، ۹ و ۱۰ به کتاب زبان اصلی مراجعه نمایند.

۱- قرار دادن معادله (۲-۱۴۵) در معادله (۲-۱۴۴) به شکل متمرکز قانون اول ترمودینامیک می‌رسیم:

$$\rho c L \frac{dT}{dt} = -q_n + u''' L. \quad (2-146)$$

رابطه‌ای که نیازی به قوانین ویژه نیست، معادله (۲-۱۴۶) معادله حاکم بر مسئله است. شرایط اولیه و مرزی به ترتیب به صورت زیر هستند:

$$T(0) = T_{\infty}, \quad (2-147)$$

$$q_n = h(T - T_{\infty}). \quad (2-148)$$

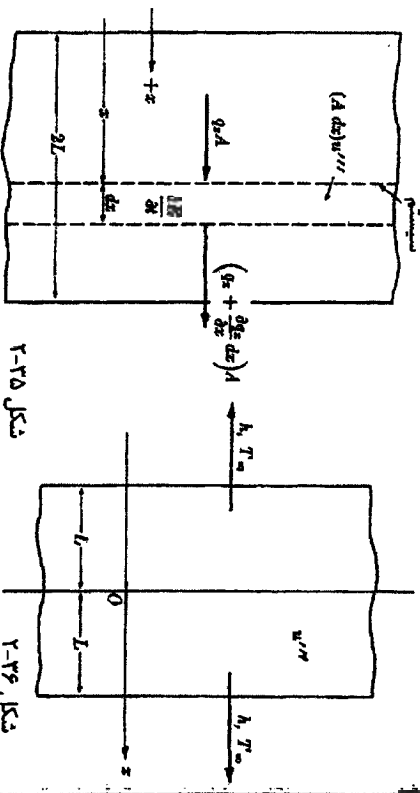
پنجر این معادلات (۲-۱۴۶)، (۲-۱۴۸)، (۲-۱۴۷) به‌طور کامل فرمولاسیون متمرکز مسئله را شرح می‌دهد. جواب بدیهی<sup>۱</sup> این فرمولاسیون به سبب از حل ترکیب معادلات (۲-۱۴۸) و (۲-۱۴۷) بدست می‌آید:

$$\rho c L \frac{dT}{dt} = -h(T - T_{\infty}) + u''' L, \quad (2-149)$$

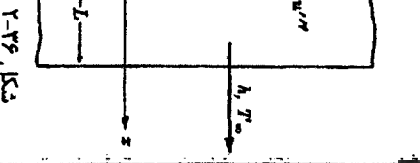
برای حل معادله (۲-۱۴۷) نتیجه به‌صورت زیر است:

$$\frac{T(t) - T_{\infty}}{u''' L / h} = 1 - e^{-mt}, \quad (2-150)$$

که در آن  $m = h / \rho c L$  می‌باشد.



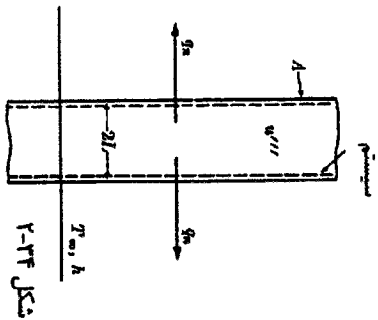
شکل ۲-۳۵



شکل ۲-۳۶

اگر از اثرات انتهایی صرف‌نظر کنیم انتقال حرارت در یک بند صورت می‌گیرد. می‌توانیم که مسئله‌های پایایی راکتور را فوروله کنیم. مجدداً شکل‌های متمرکز، دینامیکی و انتگرالی مسئله برای یکی از صفحات درونی، با در نظر گرفتن پنج مرحله اساسی فرمولاسیون، فرمول‌بندی می‌شوند. هر چند که این مراحل دیگر به تفصیل شرح داده نمی‌شوند.

I فرمولاسیون متمرکز، همه صفحه به‌عنوان سیستم در نظر گرفته می‌شود (شکل ۲-۳۴).



شکل ۲-۳۴

صورت متمرکز قانون اول ترمودینامیک معادله (۲-۱۶) برای این سیستم به‌کار گرفته می‌شود:

$$\frac{dE}{dt} = -2Aq_n, \quad (2-144)$$

که در آن A سطح مقطع یک طرف صفحه را نشان می‌دهد. توجه کنید که تولید انرژی درونی  $u'''$  را نمی‌توان به عنوان یک تون ورودی به سیستم که توسط منبع الکتریکی خارجی تامین می‌شود تعریف نمود بلکه شامل تغییرات پیوسته ترکیب سوخت هسته‌ای و تجزیه صفحات به عنوان مواد قابل شکافت است که به‌صورت انرژی درونی عمل می‌کند. عموماً این تغییر ترکیب به اندازه‌های کوچک است که مشخصه‌های حرارتی را می‌توان ثابت فرض کرد.

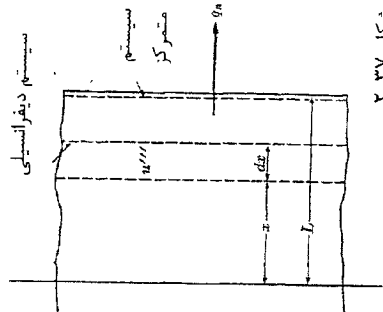
پنجر این وقتی از تعریف گرمای ویژه استفاده می‌کنیم، طرف چپ معادله (۲-۱۴۴) تغییر می‌کند:

$$\frac{dE}{dt} = \rho(A \cdot 2L)c \frac{dT}{dt} - (A \cdot 2L)u''', \quad (2-145)$$

۱- اگر فرضی مشابه با این حالت به حالت‌های منابع و چاه‌های انرژی داخلی توزیع‌یافته که به ترتیب در اثر واکنش‌های شیمیایی گرماده و گرم‌آ‌ا بوجود می‌آیند، مربوط می‌شود معادله (۲-۱۶) را ببینید.

فصل ۲- فرمولاسیون های متمرکز، انتگرالی و دیفرانسیلی

$$\frac{\partial T(x,t)}{\partial x} = 0, \quad -k \frac{\partial T(L,t)}{\partial x} = h[T(L,t) - T_{\infty}], \quad \text{مرزی}$$



بنابراین با در نظر گرفتن یکی از معادلات (۲-۱۵۵) یا (۲-۱۵۶) به همراه معادله (۲-۱۵۷)، فرمولاسیون دیفرانسیلی مساله کامل می‌شود. حل این فرمولاسیون نیازمند اطلاعات ریاضی بیشتر است که در فصل ۵ ارائه می‌شود (به مثال ۵-۴ و مساله ۵-۸ مراجعه کنید).  
 III. فرمولاسیون انتگرالی، سیستم‌های به کار گرفته شده برای فرمولاسیون‌های متمرکز و دیفرانسیلی را دوباره در نظر گرفته و در این مرحله از فرمولاسیون، میدانه مشخصات را مشخص می‌کنیم. زمانی که قانون اول ترمودینامیک برای سیستم متمرکز شکل ۲-۳۷ به کار رود، شکل ۲-۳۷

$$\frac{dE}{dt} = -2Aq_n \quad (2-144)$$

از  $dE/dt$  موجود در جملات سیستم دیفرانسیلی، بر روی ضخامت صفحه، انتگرال گرفته می‌شود و با توجه به تقارن، شکل انتگرال قانون اول ترمودینامیک به صورت زیر خواهد بود:

$$\frac{d}{dt} \int_0^L \rho c T dx - u''' L = -q_n \quad (2-158)$$

قانون ویژه فرمولاسیون دیفرانسیلی، معادله (۲-۱۵۴)، برای فرمولاسیون انتگرالی هم معتبر است و نتیجه زیر را حاصل می‌کند:

$$q_n = q_{x=L} = -k \left( \frac{\partial T}{\partial x} \right)_{x=L} \quad (2-159)$$

بنابراین با قرار دادن معادله (۲-۱۵۹) در معادله (۲-۱۵۸) معادله حاکم خواهد شد:

$$\frac{d}{dt} \int_0^L \rho c T dx - u''' L = k \left( \frac{\partial T}{\partial x} \right)_{x=L} \quad (2-160)$$

شرایط مرزی و اولیه، با فرمولاسیون دیفرانسیلی یکسان هستند. از این رو معادله (۲-۱۶۰) به همراه معادله (۲-۱۵۷) فرمولاسیون انتگرالی مساله را کامل می‌کند. حال به حل تقریبی فرمولاسیون مذکور می‌توان دست یافت. ابتدا حالت ساده  $\infty \rightarrow t$  را در نظر بگیریم. اگر چه ممکن است توزیع فضایی دمایی یک مساله ناپایا، به سرعت تقریب زده شود،

1- Spacewise temperature distribution

انتقال حرارت هدایتی

II. فرمولاسیون دیفرانسیلی، سیستم دیفرانسیلی یک بعدی نشان داده شده در شکل ۲-۳۵ را در نظر بگیرید. سمت راست  $x$  مثبت در نظر گرفته شده است. قانون اول ترمودینامیک برای شکل ۲-۳۵ رابطه زیر را نتیجه می‌دهد:

$$\frac{\partial E}{\partial t} = -A \frac{\partial q_x}{\partial x} dx \quad (2-151)$$

نرخ زمانی تغییرات انرژی داخلی کل به روش مشابه آنچه در فرمولاسیون متمرکز گفته شد، قابل ارزیابی است. از این رو:

$$\frac{\partial E}{\partial t} = \rho c (A dx) \frac{\partial T}{\partial t} - (A dx) u''' \quad (2-152)$$

با وارد کردن معادله (۲-۱۵۲) درون معادله (۲-۱۵۱) و باارزایی نتایج، شکل مناسب قانون عمومی قانون اول ترمودینامیک به صورت زیر خواهد بود:

$$\rho c \frac{\partial T}{\partial t} = -\frac{\partial q_x}{\partial x} + u''' \quad (2-153)$$

سرانجام، با در نظر گرفتن قانون ویژه، قانون فوریه برای جهت  $x$  در محیط ایزوتروپیک خواهیم داشت:

$$q_x = -k \frac{\partial T}{\partial x} \quad (2-154)$$

و با قرار دادن معادله (۲-۱۵۴) در معادله (۲-۱۵۳)، معادله حاکم بر مساله را به صورت زیر بدست خواهیم آمد:

$$\rho c \frac{\partial T}{\partial t} = \frac{\partial}{\partial x} \left( k \frac{\partial T}{\partial x} \right) + u''' \quad (2-155)$$

که این رابطه برای  $k$  ثابت، به صورت زیر خواهد بود:

$$\frac{\partial T}{\partial t} = a \frac{\partial^2 T}{\partial x^2} + \frac{u'''}{\rho c} \quad (2-156)$$

معادلات (۲-۱۵۵) و (۲-۱۵۶) شکل‌های معادله دیفرانسیل هدایت یک بعدی در مختصات کارتزین به ترتیب برای معادلات (۲-۸۸) و (۲-۹۱) هستند. باید قبل از نوشتن شرایط مرزی و اولیه، میدانه محورهای مختصات را مشخص کرد. با توجه به تقارن حرارتی و هندسی مساله، سطح میانی صفحه به عنوان مرکز محور  $x$  انتخاب می‌شود (شکل ۲-۳۶). شرایط اولیه و مرزی مناسب این مختصات به صورت زیر هستند:

$$T(x, 0) = T_{\infty}, \quad \text{اولیه} \quad (2-157)$$



حالت  $h$  محدود هم به‌صورتی مشابه می‌باشد. با ضرب پاسخ پایلی مسئله در تابع پارامتری نامعین  $\tau_0(t)$  خواهیم داشت:

$$\frac{T(x,t) - T_{\infty}}{u^* L^2 / k} = \frac{1}{2} \left[ 1 - \left( \frac{x}{L} \right)^2 \right] + \frac{2}{Bi} \tau_0(t), \quad (2-167)$$

که در آن  $Bi = hL/k$  یا  $Bi$  [۱] معادله  $\tau_0(t)$  معادله (۲-۱۶۷) هیچ مفهوم فیزیکی‌ای ندارد! با وارد کردن معادله (۲-۱۶۷) در معادله (۲-۱۶۰) و انحراف گیری، به معادله دینامیکی زیر دست می‌یابیم:

$$\frac{d\tau_0}{dt} + \frac{3a}{L^2} \left( \frac{Bi}{Bi+3} \right) (\tau_0 - 1) = 0, \quad (2-168)$$

با توجه به شرط

$$\tau_0(0) = 0, \quad (2-169)$$

حل معادله (۲-۱۶۸) که ابتدا در معادله (۲-۱۶۴) صدق کرده و بعد در معادله (۲-۱۶۷) قرار داده می‌شود، پروفایل درجه اول کانتروویج مساله را می‌دهد. پس خواهیم داشت:

$$\frac{T(x,t) - T_{\infty}}{u^* L^2 / k} = \frac{1}{2} \left[ 1 - \left( \frac{x}{L} \right)^2 \right] + \frac{2}{Bi} \left[ 1 - \exp \left( - \frac{3a}{L^2} \frac{Bi}{Bi+3} t \right) \right], \quad (2-169)$$

اوقتی  $Bi \rightarrow \infty$  شکل معادله (۲-۱۶۹) چیست؟

در ادامه برای تمرین بیشتر خواننده، روش دیگری برای انتخاب پروفایل تقریبی پیشنهاد شده است. یک پروفایل کانتروویج را با فرض نامعین بودن توابع پارامتری دمای سطح میانی و دمای سطحی که باید تعیین شوند، به‌دست آورید. سپس دمای صفحه را بر طبق حالت  $h$  محدود به‌صورت پروفایل دو پارامتری بنویسید. سپس، با به‌کارگیری شرط مرزی سطحی، یکی از توابع پارامتری این پروفایل را حذف کنید. نتایج را با معادله (۲-۱۶۷) مقایسه کنید.

در مثال بعدی، فرمولاسیون متحرک و دینامیکی مساله را مختصر کرده و توجه بیشتری به فرمولاسیون انحرافی که نیازمند تعریف مفهوم جدید عمق نفوذ است، معطوف می‌کنیم.

مثال ۲-۳. یک صفحه داغ با ضخامت  $L$  (شکل ۲-۷۸) در ابتدا در دمای محیط  $T_{\infty}$  قرار دارد. در این شرایط، یک شار حرارتی یکنواخت  $q''$  به زیر صفحه وارد می‌شود. ضریب انتقال حرارت بالایی صفحه  $h$  است. ضخامت  $L$  صفحه در مقایسه با دیگر ابعاد کوچک است به‌طوری‌که اتلاف حرارت از اطراف ناچیز در نظر گرفته می‌شود. مطلوبست فرمولاسیون مساله دمای ناپایلی صفحه مورد نظر.

ولی اغلب حدس زدن تغییرات زمانی مشکل است. برای چنین مسائلی، باید پروفایل کانتروویج دارای تابع پارامتری نامعین برحسب زمان باشد. به ویژه در صورتی که پاسخ یک مساله ناپایلی به سمت پاسخ پایلی میل کند یا اگر پروفایل ناپایلی در یک مقیاس مشخص به پروفایل پایلی شبیه باشد، پروفایل کانتروویج مساله به‌طور تقریبی از پاسخ پایلی حاصل می‌شود (یعنی با توجه به پروفایل پایلی مساله، پروفایل ناپایلی کانتروویج را حدس می‌زنیم). حال به بیان نکات در جملات مساله مورد نظر می‌پردازیم. جزئیات به‌دست آوردن پاسخ بدنه‌ی پایلی مساله را به عهده خواننده می‌گذاریم و این‌را برحسب عبارات شکل ۲-۲۶ به‌صورت زیر در نظر می‌گیریم:

$$\frac{T(x,t) - T_{\infty}}{u^* L^2 / k} = \frac{1}{2} \left[ 1 - \left( \frac{x}{L} \right)^2 \right]. \quad (2-171)$$

یک پروفایل ناپایلی درجه اول کانتروویج را می‌توان به‌صورت زیر فرض نمود:

$$\frac{T(x,t) - T_{\infty}}{u^* L^2 / k} = \frac{1}{2} \left[ 1 - \left( \frac{x}{L} \right)^2 \right] \tau_0(t). \quad (2-172)$$

علاوه بر آن، ضریب مقیاس ناپایلی  $\tau_0(t)$  می‌تواند به‌عنوان تابع پارامتری نامعینی که باید مشخص شود، در نظر گرفته شود. با قرار دادن معادله (۲-۱۶۰) در معادله (۲-۱۶۰) و انحراف گیری از آن با فرض مشخصات ثابت و همچنین بازاریابی معادله دینامیک ساده شده خواهیم داشت:

$$\frac{d\tau_0}{dt} + \frac{3a}{L^2} (\tau_0 - 1) = 0, \quad (2-173)$$

بطورچه به شرط

$$\tau_0(0) = 0. \quad (2-174)$$

پاسخ معادله (۲-۱۷۳) که در معادله (۲-۱۶۴) صدق می‌کند:

$$\tau_0(t) = 1 - \exp(-3at/L^2). \quad (2-175)$$

با قرار دادن معادله (۲-۱۷۵) در معادله (۲-۱۶۲) برای تغییرات دمای صفحه، به پروفایل درجه اول کانتروویج به‌صورت زیر می‌رسیم:

$$\frac{T(x,t) - T_{\infty}}{u^* L^2 / k} = \frac{1}{2} \left[ 1 - \left( \frac{x}{L} \right)^2 \right] \left[ 1 - \exp \left( -3 \frac{at}{L^2} \right) \right] \quad (2-176)$$

وقتی که  $at \rightarrow \infty$  معادله (۲-۱۷۶) به پاسخ پایلی مساله یعنی معادله (۲-۱۶۱) نزدیک می‌شود.

۱- پروفایل کانتروویج مسائلی که تغییرات دمای ناپایلی آن‌ها مشابه توزیعات پایلی‌مان نیست، در مثال ۲-۳ توضیح داده خواهند شد.

$$\frac{\partial T}{\partial t} = \alpha \frac{\partial^2 T}{\partial x^2}$$

(۲-۱۷۴)

که شرایط مرزی و اولیه در جهت  $x$  که از پایین به بالا محاسبه می‌شود به صورت

$$T(x, 0) = T_{\infty}; \quad -k \frac{\partial T(0, t)}{\partial x} = q''; \quad -k \frac{\partial T(L, t)}{\partial x} = h[T(L, t) - T_{\infty}]. \quad (2-175)$$

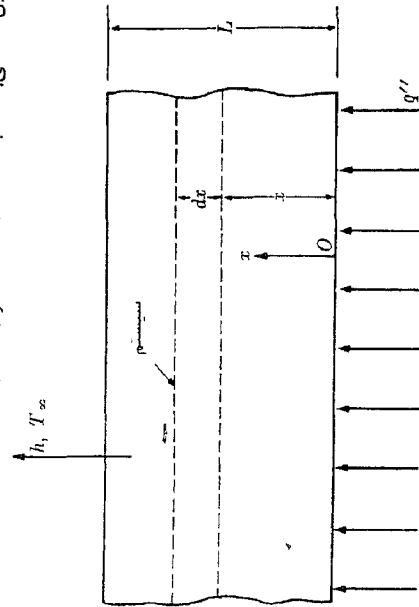
است که همراه با معادلات (۲-۱۷۳) و (۲-۱۷۴) فرمولاسیون دینفراسیسی مساله را تکمیل می‌کند.

حل این فرمولاسیون به فصل ۵ واگذار می‌شود (به معادله (۵-۳۴) مراجعه کنید)

III فرمولاسیون انتگرالی. ابتدا مساله را با توجه به زمان به دو محدوده تقسیم می‌کنیم، که در

پازه زمانی اول،  $0 \leq t \leq t_0$  اثر شار حرارتی به کار گرفته شده به سطح بالایی می‌رسد و بازه زمانی دوم  $t \geq t_0$  محدوده مربوط به باقیمانده حالت گذراست و تا زمانی که دمای سطح بالایی به مقدار پایایی آن برسد، برقرار است.

پازه اول مساله را می‌توان با توجه به عمق نفوذ دما،  $T_0(t)$  نشان داده شده در شکل ۲-۴۱ تشریح کرد. در همان شکل حجم کنترل متمرکز و سیستم دینفراسیسی مناسب هم نشان داده شده است. محور ترسیم شده برای نشان دادن انتهای عمق نفوذ متحرک، محور مختصات مناسبی برای ایجاد پروفایل دما می‌باشد [به معادله (۲-۱۸۱) مراجعه کنید].

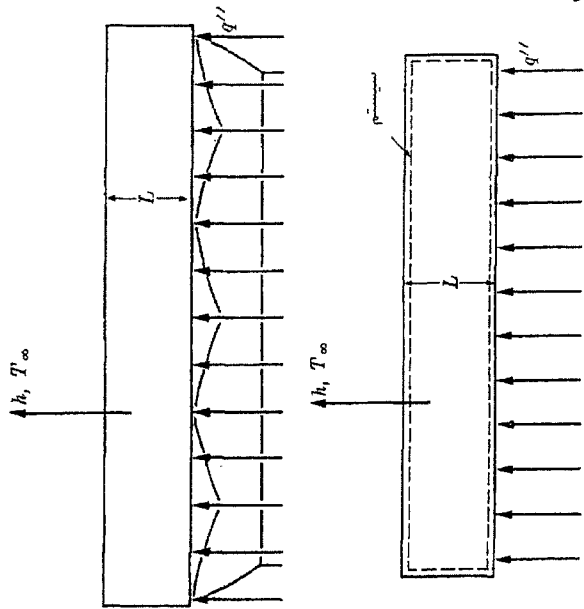


شکل ۲-۴۰

۱- این اولین مساله‌ای است که محور مختصات مناسب آن واضح نیست. انتخاب بهترین چار چوب مرجع و مناسب از دیدگاه پیچیدگی پاسخ مهم است. پاسخ این سوال در فصول ۲ و ۳ روشن می‌شود.

۲- این بحث مشابه مفهوم ضخامت لایه مرزی سرعت و دما در تئوری لایه مرزی است.

شکل ۲-۳۸



شکل ۲-۳۹

I فرمولاسیون متمرکز. با به کارگیری قانون اول ترمودینامیک که با تعریف ضریب انتقال حرارت ادغام شده است، سیستم متمرکز شکل ۲-۳۹ را به صورت زیر می‌توان فرموله نمود:

$$\rho c L \frac{\partial T}{\partial t} = q'' - h(T - T_{\infty}), \quad (2-170)$$

و

$$T(0) = T_{\infty}. \quad (2-171)$$

پاسخ معادله (۲-۱۷۰) که در معادله (۲-۱۷۱) هم صدق کند به صورت زیر است:

$$\frac{T(t) - T_{\infty}}{q''/h} = 1 - e^{-mt}, \quad (2-172)$$

که در آن  $m = h/\rho c L$  است.

II فرمولاسیون دینفراسیسی. با ترکیب قانون اول ترمودینامیک و قانون هدایت فوری برای سیستم دینفراسیسی شکل ۲-۴۰، رابطه زیر حاصل می‌شود:

$$\rho c \frac{\partial T}{\partial t} = \frac{\partial}{\partial x} \left( k \frac{\partial T}{\partial x} \right), \quad (2-173)$$

که اگر  $k$  ثابت باشد به این صورت در می‌آید:

$$-k \left( \frac{\partial T}{\partial x} \right)_{x=0} = -q''$$

$$(۲-۱۷۹)$$

بر انجایی که در این بازه زمانی عمق نفوذ کمتر از ضخامت صفحه است، شرط مرزی بیان‌کننده انتقال حرارت از سطح بالایی، معتبر نیست. به‌جای آن، شار حرارتی صفر در سطح صفحه و در کناری عمق نفوذ باید مورد استفاده قرار گیرد:

$$\left( \frac{\partial T}{\partial x} \right)_{x=0} = 0.$$

$$(۲-۱۸۰)$$

بنابراین معادلات (۲-۱۷۷)، (۲-۱۷۸)، (۲-۱۷۹) و (۲-۱۸۰) فرمولاسیون انتگرالی مسئله را در بازه زمانی اول تکمیل می‌کنند. قبل از انجام فرمولاسیون بازه زمانی دوم، یک حل تقریبی برای بازه زمانی اول پیدا می‌کنیم.

از آنجایی که در این بازه (بازه زمانی اول) تغییرات دمایی ناپایا وجود دارد، یعنی دمایی پایا شناخته‌شده‌ای در این بازه وجود ندارد (و عدم وجود یک دمایی پایا مبنی باعث می‌شود که شرط اولیه معینی برای بازه زمانی دوم وجود نداشته باشد)، نمی‌توان پروفایل کانتروویج ناپایا را با استفاده از پاسخ پایا حاصل نمود (به پروفایل کانتروویج مثال ۲-۲ توجه کنید). این مطلب روش دوم را برای ایجاد پروفایل کانتروویج ناپایا پیشنهاد می‌کند که در این روش به یک تابع سهمی (چندجمله‌ای، تانویی، و غیره) که شرایط مرزی در آن صدق کند نیاز است. اگر چه درجه چندجمله‌ای (یا نوع تابع تانویی) تا حد زیادی اختیاری است ولی می‌توان از یک رابطه‌ی ساده‌کننده برای به‌دست آوردن این پروفایل استفاده نمود. بنابراین و برای مثال کمترین درجه چندجمله‌ای که شرایط مرزی را ارضا می‌کنند معمولاً بهترین تقریب از پروفایل واقعی است. در مورد این مسئله از یک سهمی استفاده می‌کنیم:

$$T(x, t) - T_{\infty} = \left( \frac{q''}{2k} \right) \frac{x^2}{\tau_0(t)},$$

$$(۲-۱۸۱)$$

که شرایط مرزی داده شده با معادلات (۲-۱۷۹) و (۲-۱۸۰) در آن صدق می‌کند. با قرار دادن معادله (۲-۱۸۱) در معادله (۲-۱۷۷) و انتگرال‌گیری با فرض ویژگی‌های ثابت، معادله دینفراسی ساده ولی غیرخطی زیر حاصل می‌شود:

$$dt \tau_0 = 6a dt,$$

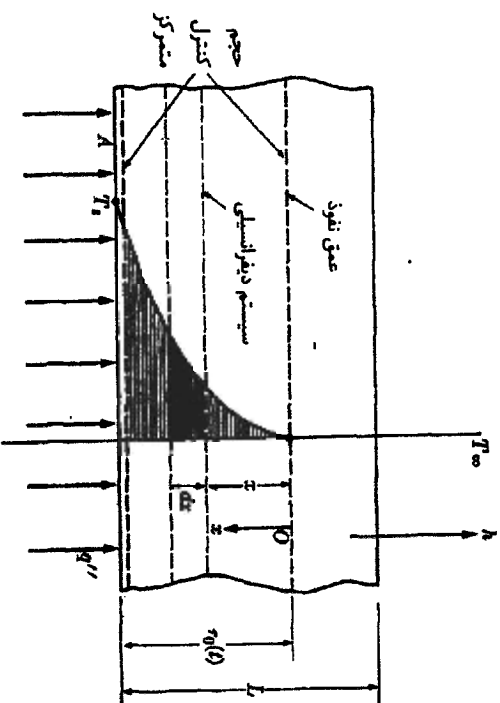
$$(۲-۱۸۲)$$

و با توجه به شرط اولیه

$$\tau_0(0) = 0.$$

$$(۲-۱۸۳)$$

حل معادله (۲-۱۸۲) که در شرط (۲-۱۸۳) صدق کند به‌صورت زیر است:



شکل ۲-۴۱

قانون اول ترمودینامیک به‌کار رفته برای حجم کنترل متمرکز شکل ۲-۴۱ نتیجه می‌دهد:

$$\frac{dE}{dt} = \rho c A T_{\infty} \frac{d\tau_0}{dt} + q'' A,$$

$$(۲-۱۷۶)$$

که در آن  $A$  مساحت سطح یک طرف صفحه است. بیان نمودن انرژی داخلی کل  $E$  حجم کنترل متمرکز برحسب عبارات انرژی داخلی سیستم دینفراسی داده شده، شکل مناسبی از فرمولاسیون انتگرالی قانون عمومی را ایجاد می‌نماید:

$$\frac{d}{dt} \int_0^{\tau_0(t)} \rho c T_{\infty} dx = \rho c T_{\infty} \frac{d\tau_0}{dt} + q'' A.$$

$$(۲-۱۷۷)$$

با وجود این‌که، سه‌توزیع شده است، هیچ‌کدام از عبارات معادله (۲-۱۷۷) نیاز به استفاده از قانون خاصی ندارند. اگر قانون ویژه فوریه در جهت  $x$  به‌کار گرفته شود، شرایط مرزی مورد استفاده قرار خواهد گرفت. (به معادله (۲-۱۷۹) مراجعه کنید) بنابراین معادله حاکم بازه اول را در معادله (۲-۱۷۷) قرار می‌دهیم.

با استفاده از دمایی اولیه یکنواخت صفحه، شرط اولیه ایجاد می‌شود:

$$T(x, 0) = T_{\infty}.$$

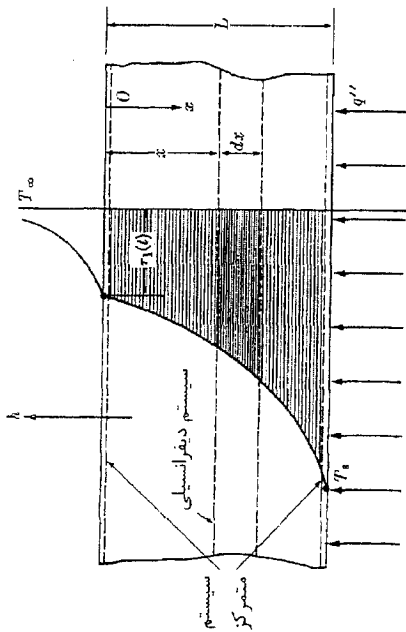
$$(۲-۱۷۸)$$

شرط مرزی سطح زیرین صفحه، شار حرارتی ثابت  $q''$  را با استفاده از قانون ویژه به‌دست می‌دهد. که می‌تواند به‌صورت زیر نوشته شود:

$$\frac{d}{dt} \int_0^L \rho c T dx = q'' - k \left( \frac{\partial T}{\partial x} \right)_{x=0}$$

فصل ۲- فرمولاسیون‌های متمرکز، انتگرالی و دینامیکی

(۲-۱۹۰)



شکل ۲-۴۲

بنابراین مساله برای بازه زمانی دوم را شرح می‌دهند. اگر انتهای بازه زمانی دوم به پاسخ حالت پایا می‌رسد نمی‌توان از پروفایل کانترویچ ناپایا برای رسیدن به پاسخ پایای مساله در جملات تابع پارامتری نامین استفاده کرد. در این حالت یک روش مشابه آنچه در بازه زمانی اول استفاده شده، دنبال می‌شود. ساده‌ترین پروفایل ممکن از ترکیب یک تابع پارامتری نامین در زمان و توابع مکانی مناسبی که در شرایط مرزی صدق می‌کنند، حاصل می‌شود. توجه به این نکته اهمیت دارد که این پروفایل باید به پروفایل حاکم بر بازه زمانی اول در  $t = t_0$  و پاسخ پایا در  $t \rightarrow \infty$  برسد.

$$-k \left( \frac{\partial T}{\partial x} \right)_{x=L} = -q''$$

(۲-۱۹۱)

بعلاوه مرز در سطح بالایی، که اکنون با محیط انتقال حرارت دارد شرط زیر را راضا می‌کند:

$$+k \left( \frac{\partial T}{\partial x} \right)_{x=0} = h(T_{x=0} - T_{\infty})$$

(۲-۱۹۲)

بنابراین معادلات (۲-۱۸۵) و (۲-۱۹۱) برای  $t = t_0$  و (۲-۱۹۲) فرمولاسیون انتگرالی مساله برای بازه زمانی دوم را شرح می‌دهند.

سرانجام یک تغییر دمای تقریبی برای بازه زمانی دوم پیدا می‌کنیم. به دلیل این که مساله مانند مثال ۲-۲ در انتهای بازه زمانی دوم به پاسخ حالت پایا می‌رسد نمی‌توان از پروفایل کانترویچ ناپایا برای رسیدن به پاسخ پایای مساله در جملات تابع پارامتری نامین استفاده کرد. در این حالت یک روش مشابه آنچه در بازه زمانی اول استفاده شده، دنبال می‌شود. ساده‌ترین پروفایل ممکن از ترکیب یک تابع پارامتری نامین در زمان و توابع مکانی مناسبی که در شرایط مرزی صدق می‌کنند، حاصل می‌شود. توجه به این نکته اهمیت دارد که این پروفایل باید به پروفایل حاکم بر بازه زمانی اول در  $t = t_0$  و پاسخ پایا در  $t \rightarrow \infty$  برسد.

پروفایل سهموی زیر را در نظر می‌گیریم:

$$T(x,t) - T_{\infty} = Ax^2 + Bx + C$$

انتقال حرارت هدایتی

۱۰۶

$$\tau_0(t) = (6at)^{1/2}$$

(۲-۱۸۴)

بنابراین با استفاده از پروفایل درجه اول کانترویچ، تغییرات دما در بازه زمانی اول مساله به صورت زیر خواهد بود:

$$T(x,t) - T_{\infty} = \left( \frac{q''}{2k} \right) \frac{x^2}{(6at)^{1/2}}, \quad \text{وقتی که } 0 \leq t \leq t_0$$

(۲-۱۸۵)

بنابراین وارد کردن  $\tau_0(t_0) = L$  در معادله (۲-۱۸۴) ما را به زمان نفوذ شار حرارتی اعمال شده  $q''$  به سطح بالایی صفحه می‌رساند:

$$t_0 = L^2 / 6a$$

(۲-۱۸۶)

برای مقایسه سه پاسخ متفاوت مساله، برای مثال یک تغییر دما در پایین صفحه را در نظر می‌گیریم. از راه حل فوق، عبارت  $(6at)^{1/2} = x = \tau_0(t)$  را در معادله (۲-۱۸۵) قرار می‌دهیم که خواهیم داشت:

$$T_s(t) - T_{\infty} = \left( \frac{3}{2} \right)^{1/2} \left( \frac{q''}{k} \right) (at)^{1/2}$$

(۲-۱۸۷)

پاسخ دقیق مساله که در فصل ۷ ارائه خواهد شد، به صورت زیر است:

$$T_s(t) - T_{\infty} = \left( \frac{4}{\pi} \right)^{1/2} \left( \frac{q''}{k} \right) (at)^{1/2}$$

(۲-۱۸۸)

از این رو خطای معادله (۲-۱۸۷)، ۸۴٪ است. اگر پروفایل تقریبی حاصل از معادله (۲-۱۸۱) در شکل تغییر یافته از فرمولاسیون قرار داده شود (به مثال ۸-۸ مراجعه کنید)، نتیجه به این شکل خواهد بود:

$$T_s(t) - T_{\infty} = \left( \frac{5}{4} \right)^{1/2} \left( \frac{q''}{k} \right) (at)^{1/2}$$

(۲-۱۸۹)

معادله (۲-۱۸۹) به یک خطای تقریبی ۰/۸۹٪ می‌انجامد. مقایسه مذکور اهمیت محاسبات تغییر یافته را به عنوان یک روش تقریبی نمایان می‌کند.

حال با پایان یافتن بررسی بازه زمانی اول، به فرمولاسیون مساله برای بازه زمانی دوم باز می‌گردیم. سیستم‌های دینامیکی و متمرکز نشان داده شده در شکل ۲-۴۲ را در نظر بگیرید. محور مختصات از سطح بالایی و رو به پایین در نظر گرفته می‌شود. با استفاده از قانون اول ترمودینامیک و قانون هدایت فوری، شکل انتگرالی مناسبی از معادله حاکم حاصل می‌شود:

۱- مورد به خصوص مساله ۷-۱ متناظر با  $h = 0$  است

انتقال حرارت هادی

برای مثال اگر دمای سطح بالایی را  $t_1(x)$  به عنوان تابع پارامتری نامعین قرار دهیم، این پروفایل ممکن است به شکل زیر نوشته شود:

$$T(x, t) - T_{\infty} = \left(\frac{q''}{k} - t_1\right) \frac{hx^2}{2kL} + \left(1 + \frac{hx}{k}\right) t_1 \quad (۲-۱۹۳)$$

وقتی  $t \rightarrow \infty$  معادله (۲-۱۹۳) به پسخ پایایی مساله تبدیل می شود.

$$T(x) - T_{\infty} = \left(1 + \frac{hx}{k}\right) \frac{q''}{k}$$

وقتی که  $t_0 \rightarrow t$  پسخ پازه زمانی اول حاصل می شود.

با وارد کردن معادله (۲-۱۹۳) در معادله (۲-۱۹۰) و انتگرال گیری با فرض مشخصات ثابت به معادله دینفرانسیل خطی زیر می رسیم:

$$\frac{dt_1}{dt} + \left(\frac{m}{1+Bi/3}\right) \left(t_1 - \frac{t_1}{m}\right) = 0, \quad (۲-۱۹۴)$$

با شرط اولیه

$$t_1(t_0) = 0, \quad (۲-۱۹۵)$$

که در آن  $Bi = hL/k$  و  $m = q''/pctL$  می باشد.

پسخ معادله (۲-۱۹۴) که در معادله (۲-۱۹۵) صدق می کند به این صورت است:

$$t_1(t) = \frac{t_1}{m} \left\{ 1 - \exp\left[-\frac{m(t-t_0)}{1+Bi/3}\right] \right\} \quad (۲-۱۹۶)$$

در پایان با ترکیب معادلات (۲-۱۹۶) و (۲-۱۹۳) و بازارایی آن، پروفایل کلتروویج درجه اول برای پازه زمانی دوم مساله زمانی که  $t \geq t_0$  به شکل زیر حاصل می شود:

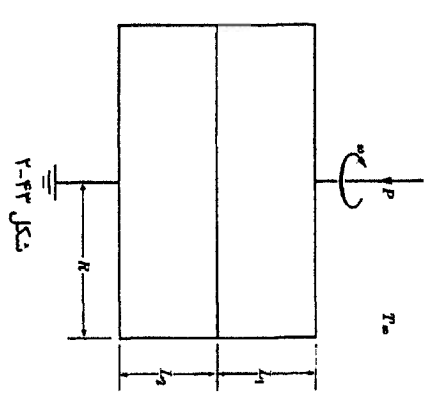
$$T(x,t) - T_{\infty} = \frac{1}{2} \left(\frac{q''}{k}\right)^2 + \left[\frac{1}{Bi} + \left(1 - \frac{x}{2L}\right) \frac{q''}{k}\right] \left\{ 1 - \exp\left[-\frac{m(t-t_0)}{1+Bi/3}\right] \right\} \quad (۲-۱۹۷)$$

پس ما سه مساله ساده را که حاوی اطلاعات کامل برای فرمولاسیون بود، در نظر گرفتیم هدف اصلی مان توسعه دالان توانایی فرموله کردن مسائل در شکل های متمرکز، دینفرانسیلی و انتگرالی بوده است. فرمولاسیون مساله برای یک حالت فیزیکی معلوم نیازمند برقرار نمودن تعدادی فرضیات به عنوان بخشی از فرمولاسیون است. به همین دلیل در دو مثال بعدی فقط فیزیک مساله شرح داده شده است. سپسی اطلاعات مورد نیاز برای فرمولاسیون در فرمولاسیون داده شده است.

مثال ۲-۴. دو دیسک استوانه ای جامد در جهت محور خود به علت بار خارجی  $P$  که در شکل ۲-۴۳ نشان داده شده است به هم فتل می آورند. در ابتدا سیستم ثابت است و در دمایی محیط  $T_{\infty}$

فرمولاسیون های متمرکز، انتگرالی و دینفرانسیلی

از دارد. سپس به طور ناگهانی صفحه بالایی با سرعت زاویه ای ثابت  $\omega$  شروع به چرخش می کند. ریب اصطکاک میان دیسک ها است. چگونه می توان مساله را فرموله کرد؟



شکل ۲-۴۳

ما توجه کنید که شرایط انتقال حرارت رو به بالا رو به پایین و افقی به خاطر جابه جایی آزاد در جاذبه متفاوت هستند. لذا انتقال حرارت از دیسک بالایی به علت جابه جایی آزاد چرخشی چند بر افزایش می یابد. بنابراین ما چهار ضریب انتقال حرارت متفاوت رو به بالا  $h_1$  و افقی  $h_2$  برای اسک چرخان رو به پایین  $h_3$  و افقی  $h_4$  برای دیسک ثابت داریم. برای ساده سازی فرمولاسیون، کما همکن و ایورتروویک فرض شده اند.

۱ فرمولاسیون دینفرانسیلی، مشخصه های دیسک های بالایی و پایینی به وسیله زیر نویس های ۱ مشخص شده اند. قانون اول ترمودینامیک و قانون هدایت فوریه برای سیستم استوانه ای دو بعدی شکل ۲-۴۴ نوشته شده است و فرمولاسیون دینفرانسیلی مساله به صورت زیر به دست آمده است:

$$\frac{\partial T_1}{\partial t} = a_1 \left[ \frac{1}{r} \frac{\partial}{\partial r} \left( r \frac{\partial T_1}{\partial r} \right) + \frac{\partial^2 T_1}{\partial z^2} \right] \quad (۲-۱۹۸)$$

$$\frac{\partial T_2}{\partial t} = a_2 \left[ \frac{1}{r} \frac{\partial}{\partial r} \left( r \frac{\partial T_2}{\partial r} \right) + \frac{\partial^2 T_2}{\partial z^2} \right] \quad (۲-۱۹۹)$$

دو شرط اولیه و هفت شرط مرزی:

$$T_1(r, z, 0) = T_{\infty} \quad (۲-۲۰۰)$$

همانند پازه زمانی دوم در مثال ۲-۳، انتخاب میانه مشخصات برای فرمولاسیون حاضر است و در اینجا بحث نخواهد

۱۱۰

انتقال حرارت هدایتی

(۲-۲۰۱)  $T_2(r, z, 0) = T_\infty,$

(۲-۲۰۲)  $+k_1 \frac{\partial T_1(r, -L_1, t)}{\partial z} = h_1 [T_1(r, -L_1, t) - T_\infty],$

(۲-۲۰۳)  $T_1(r, 0, t) = T_2(r, 0, t)$

(۲-۲۰۴)  $-k_1 \frac{\partial T_1(r, 0, t)}{\partial z} + \mu p(r) \omega r = -k_2 \frac{\partial T_2(r, 0, t)}{\partial z},$

(۲-۲۰۵)  $-k_2 \frac{\partial T_2(r, L_2, t)}{\partial z} = h_2 [T_2(r, L_2, t) - T_\infty],$

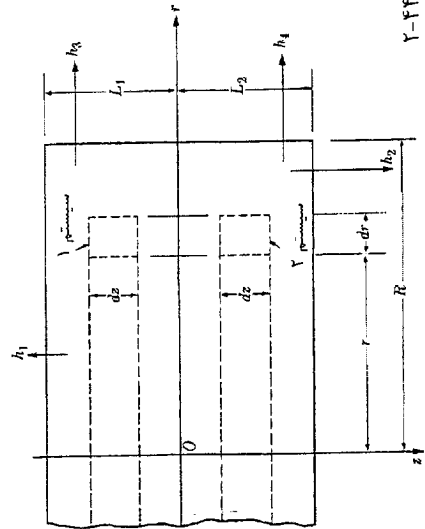
(۲-۲۰۶)  $\frac{\partial T_1(0, z, t)}{\partial r} = 0,$

(۲-۲۰۷)  $-k_1 \frac{\partial T_1(R, z, t)}{\partial r} = h_3 [T_1(R, z, t) - T_\infty],$

(۲-۲۰۸)  $\frac{\partial T_2(0, z, t)}{\partial r} = 0,$

(۲-۲۰۹)  $-k_2 \frac{\partial T_2(R, z, t)}{\partial r} = h_4 [T_2(R, z, t) - T_\infty],$

که در آن فشار موضعی بین دیسک‌هاست.  
 فرمولاسیون دینامیکی مذکور به راحتی حاصل می‌شود ولی حل آن مشکل و یا حتی غیرممکن است. از طرفی دیگر هر زمان فیزیک اجازه دهد ممکن است که فرمولاسیون‌های ساده‌تر برای مساله مشابه به یک پاسخ منجر شوند. حال شرح می‌دهیم که چگونه طی ساده‌سازی‌های مشخصی می‌توان به فرمولاسیون دینامیکی رسید.

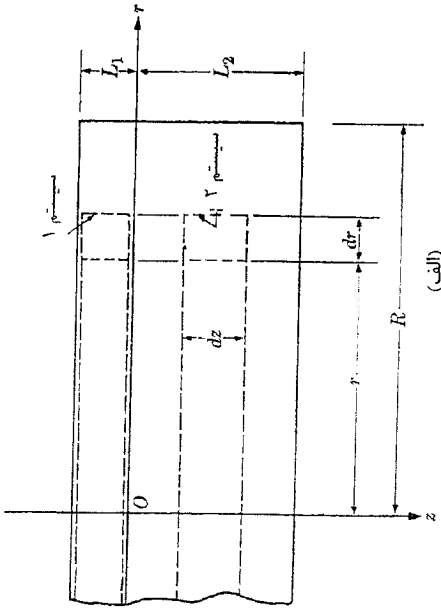


شکل ۲-۲۴

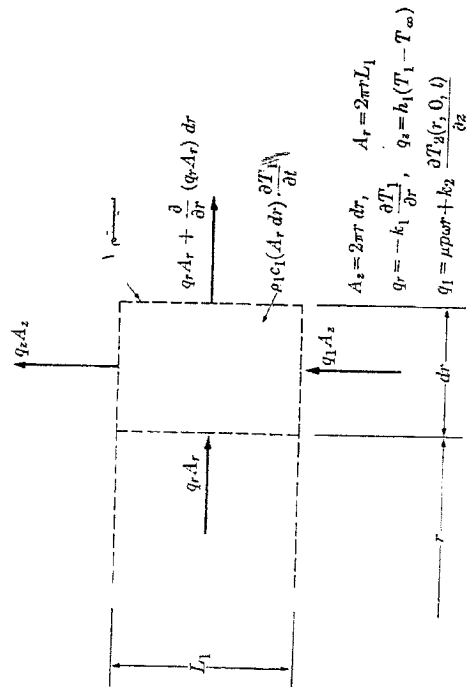
فصل ۲- فرمولاسیون‌های متمرکز، انتگرالی و دینامیکی

(الف) دیسک بالایی به‌طور محوری متمرکز باشد. وقتی که  $k_2 \gg k_1$  یا  $L_2 \ll L_1$  باشد تغییر دمای محوری دیسک بالایی می‌تواند متمرکز باشد. بنابراین قانون اول ترمودینامیک، قانون هدایت فوریه و تعریف ضریب انتقال حرارت به‌کار گرفته شده برای سیستم ۱، شکل ۲-۴۵، معادله هدایت برای دیسک بالایی را بدین صورت نتیجه می‌دهد:

(۲-۲۱۰)  $\frac{\partial T_1}{\partial t} = \frac{c_1}{r} \frac{\partial}{\partial r} \left( r \frac{\partial T_1}{\partial r} \right) - \frac{h_1}{\rho_1 c_1 L_1} (T_1 - T_\infty) + \frac{\mu p(r) \omega r}{\rho_1 c_1 L_1} - \left[ -k_2 \frac{\partial T_2(r, 0, t)}{\partial z} \right]$



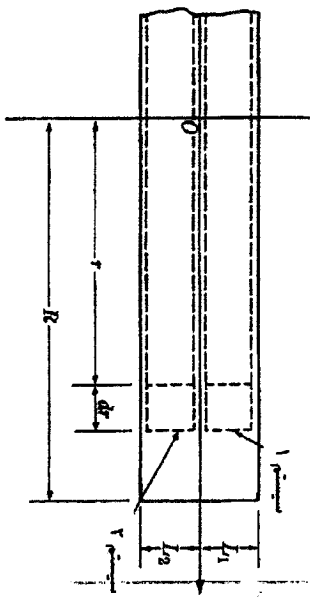
(الف)



(ب)

شکل ۲-۴۵

$A_z = 2\pi r \, dz, \quad A_r = 2\pi r L_1$   
 $q_r = -k_1 \frac{\partial T_1}{\partial r}, \quad q_z = h_1 (T_1 - T_\infty)$   
 $q_1 = \mu p \omega r + k_2 \frac{\partial T_2(r, 0, t)}{\partial z}$



شکل ۲-۴۶

(ب) هر دو دیسک بهطور محوری متمرکز باشند. وقتی که هر دو دیسک نازک باشند بطوری که  $R_1 \ll L_1$  و  $R_2 \ll L_2$  یا وقتی که  $k_1$  و  $k_2$  بزرگ باشند، تغییر محوری دما در هر دو دیسک قابل صرفنظر می‌شود.

بنابراین با در نظر گرفتن سیستم نشان داده شده در شکل زیر بهدست خواهیم آورد.

$$\frac{\partial T}{\partial t} = \frac{\alpha}{r} \frac{\partial}{\partial r} \left( r \frac{\partial T}{\partial r} \right) - \frac{h}{\rho c L} (T - T_{\infty}) + \frac{h p_{\text{air}}}{2 \rho c L} \quad (2-214)$$

که در آن  $T$  دمای معمول دیسکها،  $\bar{a} = hL/\rho c L$  و  $\bar{h} = (h_1 + h_2)/2$  است.

شرایط اولیه و مرزی حاکم بر معادله (۲-۲۱۴) بدین صورت است:

$$T(r, 0) = T_{\infty} \quad (2-215)$$

$$\frac{\partial T(0, t)}{\partial r} = 0, \quad (2-216)$$

$$-k \frac{\partial T(R, t)}{\partial r} = \bar{h} [T(R, t) - T_{\infty}] \quad (2-217)$$

که در آن  $\bar{h} = (k_1 + k_2)/2$  است. البته امکان جایگزینی معادله (۲-۲۱۷) با شرط تقریبی زیر اهم وجود دارد:

$$\frac{\partial T(R, t)}{\partial r} \cong 0. \quad (2-218)$$

II فرمولاسیون انتقالی، یک مساله فرمولاسیون انتقالی دو بعدی شامل یک سطح نودمی است که صفحه نمی‌باشد و این مطلب خارج از حوزه این بحث است. فرمولاسیون انتقالی یک بعدی مطابق با حالت (ب) بهدلیل سادگی به عنوان تمرین به عهده خواننده گذاشته می‌شود.

به هر حال دقت کنید که برابری دمای سطح تماس بدین گونه است:

$$T_1(r, t) = T_2(r, 0, t), \quad (2-211)$$

برای دیسک پائینی می‌توانیم معادله (۲-۲۱۰) را به یک شرط مرزی تبدیل کنیم. ایه معادله (۲-۲۱۲) مراجعه کنید! معادله هدایت برای دیسک پائینی بدون تغییر می‌ماند. بنابراین فرمولاسیون مساله برای این حالت به صورت زیر است:

$$\frac{\partial T_2}{\partial t} = \alpha_2 \left[ \frac{1}{r} \frac{\partial}{\partial r} \left( r \frac{\partial T_2}{\partial r} \right) + \frac{\partial^2 T_2}{\partial z^2} \right], \quad (2-199)$$

با توجه به

$$T_2(r, z, 0) = T_{\infty} \quad (2-200)$$

$$\frac{\partial T_2(r, 0, t)}{\partial t} = \frac{\alpha_2}{r} \frac{\partial}{\partial r} \left[ r \frac{\partial T_2(r, 0, t)}{\partial r} \right] - \frac{h_1}{\rho_1 c_1 L_1} [T_2(r, 0, t) - T_{\infty}] + \frac{h p_{\text{air}}}{\rho_1 c_1 L_1} - \quad (2-212)$$

$$\frac{1}{\rho_1 c_1 L_1} \left[ -k_2 \frac{\partial T_2(r, 0, t)}{\partial z} \right], \quad (2-205)$$

$$-k_2 \frac{\partial T_2(r, L_2, t)}{\partial z} = h_2 [T_2(r, L_2, t) - T_{\infty}],$$

$$\frac{\partial T_2(0, z, t)}{\partial r} = 0, \quad (2-208)$$

$$-k_2 \frac{\partial T_2(R, z, t)}{\partial r} = h_1 [T_2(R, z, t) - T_{\infty}]. \quad (2-209)$$

توجه کنید که ضریب انتقال حرارت  $h_1$  از فرمولاسیون مساله ناپدید شده است. (چه شرط مرزی در سطح چپین دیسک بالایی صدق می‌کند؟) اما ممکن است فرض عایق بودن در این صفحه برقرار باشد! (۴)

برای حالت خاص  $0 \rightarrow L_1$  این فرمولاسیون بدون تغییر می‌ماند به‌جز برای شرط مرزی داده شده با معادله (۲-۲۱۲) که به‌صورت زیر ساده می‌شود:

$$0 = -h_2 [T_2(r, 0, t) - T_{\infty}] + h p_{\text{air}} - \left[ -k_2 \frac{\partial T_2(r, 0, t)}{\partial z} \right]. \quad (2-213)$$

پس یاد گرفتیم که با صرفنظر کردن از تغییر محوری دما در دیسک بالایی فرمولاسیون مساله از دو معادله دینامیکی پاره‌ای با دو شرط اولیه و هفت شرط مرزی به یک معادله دینامیکی پاره‌ای با یک شرط اولیه و چهار شرط مرزی تبدیل می‌شود.

فصل ۲- فرمولاسیون‌های مسترکز، انگرالی و دیفرانسیلی

(ج) اختلاف پتانسیل ثابت میان بخار و مایع موجب یک جریان رو به پایین بخار با سرعت ثابت می‌شود.

$$V = \left( \frac{\rho_2}{\rho_1} - 1 \right) \frac{dX}{dt}$$

از این‌رو فرمولاسیون دیفرانسیلی یک‌بعدی دو منطقه‌ای در جهت  $x$  از کف ظرف و رو به بالا مورد محاسبه قرار می‌گیرد و به‌صورت زیر است:

$$\frac{\partial T_1}{\partial t} - \left( \frac{\rho_2}{\rho_1} - 1 \right) \frac{dX}{dt} \frac{\partial T_1}{\partial x} = a_1 \frac{\partial^2 T_1}{\partial x^2},$$

$$T_1(x, 0) = T_v,$$

$$T_1(\infty, t) = T_s,$$

مایع:

$$\frac{\partial T_2}{\partial t} = a_2 \frac{\partial^2 T_2}{\partial x^2},$$

$$T_2(x, 0) = T_s,$$

$$+ k_2 \frac{\partial T_2(0, t)}{\partial x} = h_1 [T_2(0, t) - T_\infty],$$

که در سطح تماس مایع - بخار به‌وسیله شرایط مرزی زیر به هم مرتبط شده‌اند:

$$T_1(X, t) = T_2(X, t) = T_s,$$

$$-k_1 \frac{\partial T_1(X, t)}{\partial x} = -k_2 \frac{\partial T_2(X, t)}{\partial x} + \rho_2 h_{fg} \frac{dX}{dt},$$

(چند شرط مرزی برای فرمولاسیون مذکور موردنیاز است و چند شرط بیان شده است؟) فرمولاسیون‌های دیفرانسیلی مسائل دو منطقه‌ای اغلب به سختی حل می‌شوند مخصوصاً وقتی که بازه‌ها محدود باشند. اگر چه با دلایل فیزیکی مناسب، ممکن است به‌طور تناوبی به مسائل ساده‌تری تبدیل شوند. در ابتدا بخار را در دمای اشباع در نظر می‌گیریم یا فرض می‌کنیم که میزان داغ بودن آن به اندازه کافی کم است که قابل صرف‌نظر باشد. بنابراین  $T_s = T_1(x, t)$  و فرمولاسیون برای مایع (بدون زیرنوس) به‌دست خواهد آمد:

$$\frac{\partial T}{\partial t} = a \frac{\partial^2 T}{\partial x^2},$$

$$T(x, 0) = T_s,$$

۱- معادله (۱۱۴-۲) را بیابید.

انتقال حرارت هدایتی

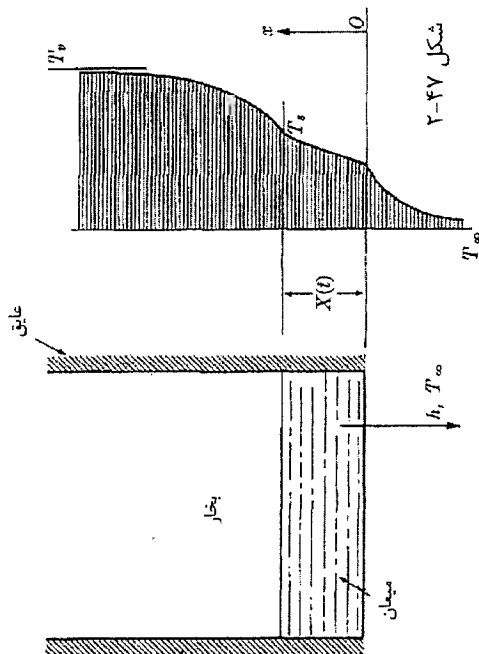
در اینجا به حل چهار فرمولاسیون مذکور، نمی‌پردازیم زیرا این کار نیازمند معلوم بودن توزیع فشار  $p(z)$  میان دیسک‌ها است که به این ترتیب کار انجام شده توسط اصطکاک تعیین می‌شود. دو حالت معمول قابل فرض است:

(i) فشار ثابت، ثابت  $p =$

(ii) سایش ثابت، ثابت  $p\tau =$

که دومین حالت از نظر فیزیکی واقع‌گرایانه‌تر است و به نظر می‌رسد که برای به دست آوردن پاسخ مناسب‌تر باشد.

مثال ۲-۵. یک ظرف با دیواره‌های نازک عایق‌شده شامل بخار آب داغ در دمای  $T_v$  است (شکل ۲-۴۷). سطح خارجی کف ظرف در تماس با هوای اطراف در دمای  $T_\infty$  ( $T_\infty < T_v$ ) قرار می‌گیرد. می‌خواهیم مساله را توسط عباراتی از ضخامت مایع  $X(t)$  و دیگر متغیرهای مربوطه فرموله کنیم.



شکل ۲-۴۷

فرضیات و علل زیر می‌توانند در فرمولاسیون مساله مورد استفاده گیرند:  
(الف) سطح تماس بخار - مایع در دمای اشباع  $T_v$  است.

(ب) مساله یک‌بعدی است زیرا سطح جانبی ظرف عایق‌بندی شده است.

(پ) افت دما در ضخامت کف ظرف ناچیز است.

(ت) خواص بخار و مایع ثابت است و به ترتیب توسط زیرنوس‌های ۱ و ۲ مشخص شده‌اند.

۱- دو پاسخ مساله ۲-۳۰ مطابق حالات فشار و سایش را مقایسه کنید.



نمایه های نهایی، حذف افت دما در مایع است. این امر وقتی که  $k$  بزرگ یا  $t$  کوچک باشد، فرض دیگری خواهد بود. از این رو مقاومت حرارتی  $X/k$  مایع در معادله (۲-۲۲۴) را رها می کنیم و به این دست:

$$\rho h_{vc} \frac{dT}{dt} = \frac{T_s - T_{\infty}}{1/h}, \quad (2-228)$$

که در معادله (۲-۲۲۶) صدق می کند و انتقال آن به پاسخ زیر منجر می شود:

$$X(t) = \frac{h(T_s - T_{\infty})}{\rho h_{vc}} t, \quad (2-229)$$

شکل خاص معادله (۲-۲۲۷) وقتی  $k \rightarrow \infty$  یا  $t \rightarrow 0$  چگونه است؟

راجع

- 1 L. PRANDTL and O. G. TETJENS, *Fundamentals of Hydro- and Aerodynamics*. New York: McGraw-Hill, 1934
- 2 H. S. CARSLAW and J. C. JAEGER, *Conduction of Heat in Solids*. Oxford: Clarendon Press, 1959.
- 3 R. B. BIRD, W. E. STEWART, and E. N. LIGHTFOOT, *Transport Phenomena*. New York: Wiley, 1960.
- 4 A. H. SHAPIRO, Class Notes on "Advanced Fluid Mechanics." MIT 1956.
- 5 A. H. SHAPIRO, *The Dynamic and Thermodynamic of Compressible Flow*, New York: The Roland Press, 1953.
- 6 J. H. KEENAN, Class Notes on "Advanced Engineering Thermodynamics." MIT 1955.
- 7 J. H. KEENAN, *Thermodynamics*. New York: Wiley, 1941.
- 8 M. W. ZEMANSKY, *Heat and Thermodynamics*. New York: McGraw-Hill, 1957
- 9 G. J. VAN WYLEN, *Thermodynamics*. New York: Wiley, 1959.
- 10 J. C. HUNSAKER and B. G. RUGHTMIRE, *Engineering Application of Fluid Mechanics*. New York: McGraw-Hill, 1947.
- 11 I. H. SHAMES, *Mechanics of Fluids*. New York: McGraw-Hill, 1962.
- 12 R. ARIS, *Vectors, Tensors, and the Basic Equations of Fluid Mechanics*. Englewood Cliffs: Prentice-Hall, 1962.
- 13 M. JAKOB and G. A. HAWKINS, *Element of Heat Transfer*. New York: Wiley 1957.
- 14 M. JAKOB, *Heat Transfer I*. New York: Wiley, 1949.
- 15 T. N. CETINKALEB and M. FISHERDEN, "Thermal Conductance of Meta Surface in Contact," *General Discussion on Heat Transfer*. IME, London and ASME, New York, 271(1951).
- 16 H. FENECH and W. M. ROHSENOW, "Prediction of Thermal Conductance of Metallic Surface in Contact." *Trans. ASME, C. Journal of Heat Transfer*, 85 15(1963).

ماهنامه مهر - شماره ۱۱۷ - بهار ۱۳۶۳ - دانشگاه آزاد اسلامی - جنب تقاطع خیابان آبراهام لینکلن و خیابان ولیعصر - تهران

$$+k \frac{\partial T(0,t)}{\partial x} = h[T(0,t) - T_{\infty}],$$

$$T(X,t) = T_s$$

$$-k \frac{\partial T(X,t)}{\partial x} + \rho h_{vc} \frac{dX}{dt} = 0. \quad (2-229)$$

حتی حل این فرمولاسیون ساده شده دارای پیچیدگی های ریاضیاتی است. حال، یک فرمولاسیون شبهه ای را با ساده سازی بیشتر مساله در نظر می گیریم. به علت میزان میعان پایین که اغلب هم حاکم است، تغییرات انرژی داخلی با زمان را می توان برای مایع قابل صرف نظر دانست. بنابراین فرمولاسیون قبلی به صورت زیر در می آید:

$$0 = \frac{\partial^2 T}{\partial x^2} \rightarrow T = \alpha X + b \Rightarrow T = T_s \quad (2-229)$$

$$+k \frac{\partial T(0,t)}{\partial x} = h[T(0,t) - T_{\infty}], \quad (2-229)$$

$$T(X,t) = T_s \quad (2-229)$$

$$-k \frac{\partial T(X,t)}{\partial x} + \rho h_{vc} \frac{dX}{dt} = 0. \quad (2-229)$$

توجه کنید که نمایه های فرمولاسیون فقط با شرط مرزی معادله (۲-۲۲۳) بیان شده است. حل حالت مذکور به راحتی انجام می شود. پاسخ  $T$  از معادلات (۲-۲۲۱)، (۲-۲۲۱) و (۲-۲۲۳) و قرار دادن نتایج در معادله (۲-۲۲۳) نتیجه می دهیم:

$$\rho h_{vc} \frac{dX}{dt} = \frac{T_s - T_{\infty}}{X/k + l/k}$$

$$\frac{1}{k} X dX + \frac{1}{h} dX = \left( \frac{T_s - T_{\infty}}{\rho h_{vc}} \right) dt, \quad (2-225)$$

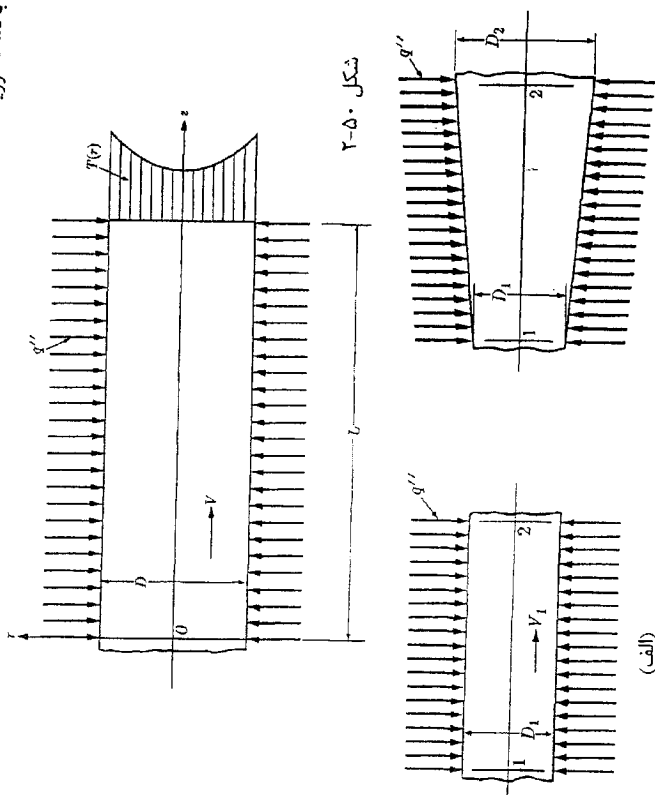
$$X(0) = 0. \quad (2-226)$$

$$\frac{1}{k} X(0) = -1 + \left[ 1 + \frac{2h^2(T_s - T_{\infty})^2 t}{k \rho h_{vc}} \right]^{1/2} \quad (2-227)$$

پاسخ معادله (۲-۲۲۵) که معادله (۲-۲۲۶) را ارضا کند:

فصل ۲- فرمولاسیون‌های متغیر، انگرالی و دیفرانسیلی

۲-۳. یک میله جامد متحرک در اثر شار حرارتی یکنواخت  $q$  اعمال شده به سطح جانبی لوله، ذوب می‌شود و فرض می‌شود که پروفایل سرعت، سهمی است (شکل ۲-۵۰). چگالی  $\rho$  جامد به‌طور تقریبی برابر با چگالی سیال است. سرعت جامد  $V$  دمای جامد در ورودی  $T_0$  گرمای نهان ذوب  $h_f$  و گرمای مخصوص جامد و سیال به ترتیب  $C_p$  و  $C_f$  است. اصطکاک میان میله جامد و لوله ناچیز است و هدایت محوری در مقایسه با جریان آنتالی در جامد و سیال ناچیز است. اگر توزیع شعاعی دما برای سیال سهموی فرض شود، توزیع دما در فاصله  $L$  از ورودی لوله را به دست آورید.



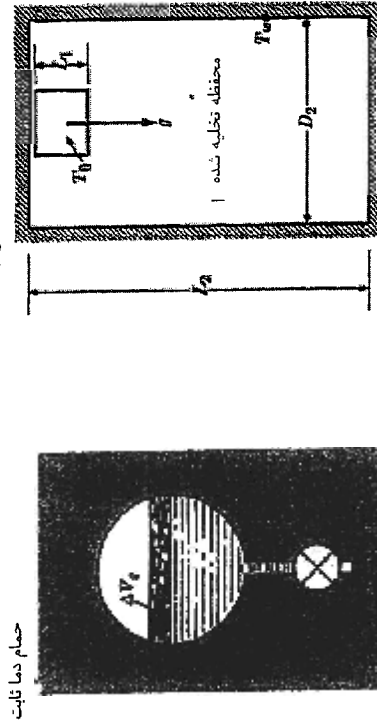
۲-۴. جریان‌های پایایی یکبعدی از سیال بی‌اصطکاک تراکم‌ناپذیر در یک لوله با سطح مقطع ثابت و یک دیفیوزر هم طول با آن در نظر بگیرید (شکل ۲-۵۱). بر سطح جانبی لوله و دیفیوزر شار حرارتی یکنواخت  $q$  اعمال می‌شود. قطر ورودی و سرعت ورودی دیفیوزر با لوله برابر است. (الف) دمای خروجی دیفیوزر بالاتر از دمای خروجی لوله است یا پایین‌تر؟ مبنای خود را بر توجیه فیزیکی قرار دهید نه ریاضیات. (ب) در برابر یک تحلیل ساده که هدایت محوری را ناچیز در نظر می‌گیرد از پاسخ خود دفاع کنید.

انتقال حرارت هدایتی

17 A. L. LONDON and R. A. SEBAN, "Rate of Ice Formation." Trans. ASME, 65, 771 (1943).  
 18 M. A. BIOT, "New Method in Heat Flow Analysis with Application to Flight Structure." *Journal of Aeronautical Science*, 24, 857 (1957).

مسائل

۲-۱. یک محفظه شامل مایع و بخار آب در تعادل، در دمایی کمی پایین‌تر از دمای بحرانی است. یک پوند از مایع توسط شیر که در زیر محفظه قرار دارد، به درون آن راه می‌یابد. محفظه توسط حمام دما ثابتی احاطه شده تا دمای محتوایش نسبت به دمای اولیه تغییر نکند (شکل ۲-۴۸). حجم مخصوص مایع در مقایسه با بخار آن قابل صرف‌نظر کردن نیست. (الف) رابطه‌ای برای افزایش حجم فاز بخار در محفظه با استفاده از خواص اشباع مایع و بخار پیدا کنید. (ب) رابطه‌ای برای حرارت منتقل شده از حمام به محتویات محفظه در نتیجه پایین آمدن سطح مایع و فقط با استفاده از خواص اشباع پیدا کنید.



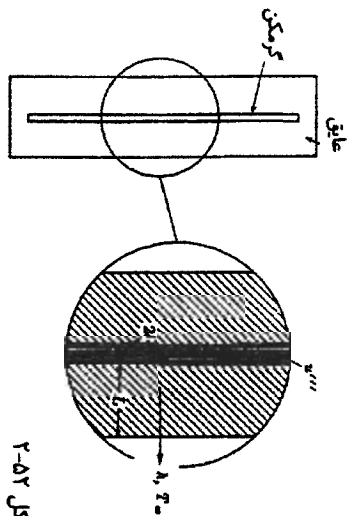
شکل ۲-۴۸

۲-۲. صفحه مسی مربعی با ضخامت  $\delta$  که در دمای اولیه  $T_0$  قرار دارد در یک محفظه عمودی خالی که دیواره‌هایش در دمای ثابت  $T_w$  ( $T_0 < T_w$ ) تنظیم شده است (شکل ۲-۴۹). با استفاده از داده‌های زیر دمای صفحه را وقتی به پایین محفظه می‌رسد، محاسبه کنید.

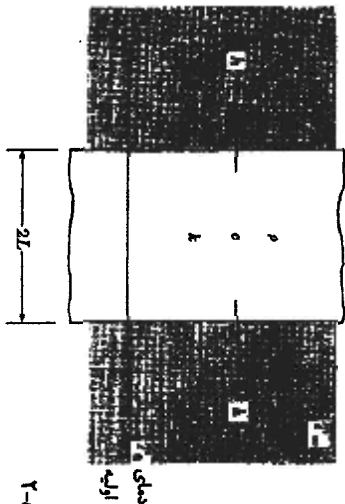
$$\begin{aligned} \delta &= \frac{1}{4} \text{ in.} \\ D_2 &= 10 \text{ ft} \\ T_w &= 2000^\circ \text{R} \\ T_0 &= 60^\circ \text{F} \\ g &= 32.2 \text{ ft}^2/\text{sec}^2 \end{aligned}$$

$$\begin{aligned} L_1 &= 6 \text{ in.} \\ L_2 &= 40 \text{ ft} \\ \rho_1 &= 500 \text{ lbm/ft}^3 \\ c_1 &= 0.1 \text{ Btu/lbm} \cdot ^\circ \text{F} \\ \epsilon_1 &= 0.8 \\ \epsilon_2 &= 0.4 \end{aligned}$$

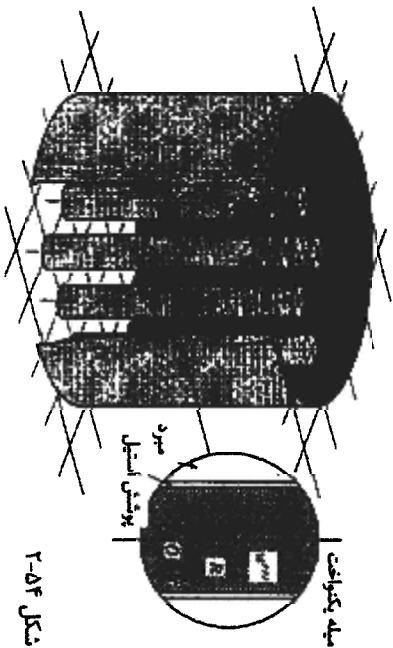
شکل ۲-۴۹



شکل ۲-۵۲



شکل ۲-۵۳



شکل ۲-۵۴

۲-۱۱. هسته راکتور حوضچه‌ای از بیل‌های سوختی استوانه‌ای ساخته شده است، هر کدام از یک میله اورانیوم با شعاع  $R$  و پوشش فولاد ضد زنگ با ضخامت ناچیز تشکیل شده است (شکل

۲-۵. مثال ۲-۵ را در نظر بگیرید. فرض کنید که پخش در دمای اشباع و دمای مایع نیز متحرک باشد. به‌طور مستقیم قانون اول ترمودینامیک را برای مایع به‌کار بگیرید. اتلاف حرارت از کف مایع را برحسب ضریب انتقال حرارت بیان کنید. نتایج را با معادله (۲-۲۸) مقایسه کنید.

۲-۶. یک حجم کنترل دینفرانسلی سه‌بعدی را در مختصات کارتزین، استوانه‌ای و کروی در نظر بگیرید.

(الف) شکل خاص  $\nabla^2 T$  و  $\nabla T$  در این مختصات را به‌دست آورید (در اینجا  $T$  هر مشخصه عددی را در بر می‌گیرد).

(ب) معادله هدایت را برای سیال همگن، ایزوتروپیک و بی‌اصطکاک تراکم‌ناپذیر، با پیروی از پنج مرحله اصلی فرمولاسیون به‌دست آورید.

(پ) به کمک قسمت (الف) معادله (۲-۹۱) را در شکل کارتزین، استوانه‌ای و کروی بنویسید.

(ت) نتایج قسمت (ب) و (پ) را مقایسه کنید.

۲-۷. مثال ۲-۱ را در نظر بگیرید. با استفاده از شکل انتقالی معادله هدایت و فرض:

(الف) توابع دایره‌ای در هر دو جهت

(ب) تابع دایره‌ای برای وجه کوچک‌تر و یک تابع پلانر نامعین برای وجه بلندتر، دمای پایی گرمکن را پیدا کنید.

۲-۸. فرمولاسیون متحرک و انتقالی مثال ۲-۳ را از فرمولاسیون دینفرانسلی شروع کنید.

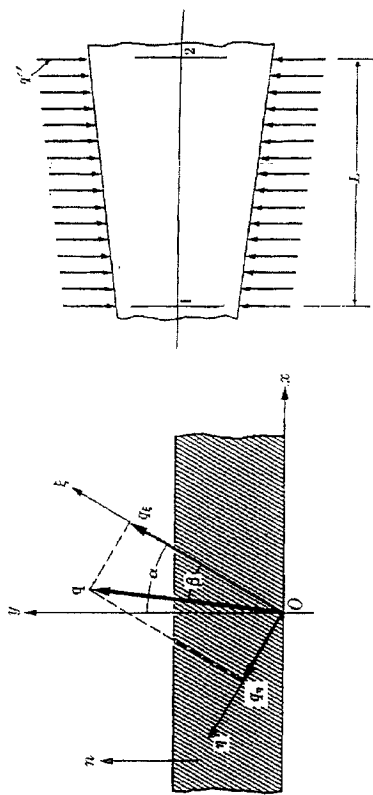
رهانشان: برای فرمولاسیون انتقالی مناسب در بازه زمانی اول، از فرمولاسیون دینفرانسلی در بازه زمانی  $(0, T_0)$  بگردید. نتایج را با فرمول انتقالی لاینیتیز بازنویسی کنید.

$$\frac{\partial \theta}{\partial x} - F(x, \theta) = \int_{\alpha(x)}^{\beta(x)} \frac{\partial F(x, \xi)}{\partial x} d\xi + F(x, \beta) - F(x, \alpha).$$

۲-۹. برای یک هدف گرمایشی، در صفحه فلزی مسطحی با ضخامت  $2\sigma$  انرژی داخلی به‌صورت الکتریکی تولید می‌شود. برای به‌دست آوردن دمای سطحی پایین و به‌منظور عایق‌بندی الکتریکی، این صفحه توسط یک عایق الکتریکی با ضخامت  $L$  که از نظر حرارتی هم‌مدی ضعیفی است پوشیده شده است (شکل ۲-۵۲). گرم‌کن در ابتدا در دمای  $T_0$  محیط قرار دارد و ناگهان انرژی داخلی  $2\sigma^3$  در آن تولید می‌شود. تحلیل یک‌بعدی را برای آن انجام دهید.

۲-۱۰. یک صفحه مسطح با ضخامت  $2L$  دارای دمای اولیه یک‌بعدی  $T_0$  است و ناگهان به یک حمام با دمای ثابت  $T_0$  وارد می‌شود (شکل ۲-۵۳). ضریب انتقال حرارت  $h$  است. چگالی، ظرفیت حرارتی و ضریب هدایت حرارتی صفحه به ترتیب  $\rho$ ،  $c$  و  $k$  هستند. مساله را فرموله کنید.

کل و محلی در این جریان را با فرض این که هدایت محوری (الف) ناچیز و (ب) غیر قابل صرف نظر باشد، پیدا کنید.



شکل ۲-۵۷

۲-۱۸. یک جسم غیر ایزوتروپیک همگن و دایره ای را که صفحه مسطحی از مواد قابل ورقه کردن مانند شکل ۲-۵۷ است، در نظر بگیرید. وره ای شدن صفحه یک زاویه  $\alpha$  با بردار عمود  $\eta$  وارد بر سطح می سازد. فرض کنید که مقادیر حداقل و حداکثر ضریب هدایت حرارتی به ترتیب  $k_x$  و  $k_y$  در جهت های  $x$  و  $y$  هستند. (این جهت ها و مقادیر ضریب هدایت مطابق با آن ها به ترتیب محورها اصلی و مقادیر اصلی نامیده می شود. نشان داده می شود که مقادیر ضریب هدایت در جهات دیگر به صورت یک بیضی که محورها آن مقادیر اصلی ضریب هدایت هستند، تغییر می کنند). اجزاء بردار شار حرارتی  $\xi$  و  $\eta$  به صورت زیر هستند:

$$q_x = -k_x \frac{\partial T}{\partial \xi}, \quad q_y = -k_y \frac{\partial T}{\partial \eta}.$$

(الف) نشان دهید که اجزاء بردار شار حرارتی در  $x$  و  $y$  به این صورتند:

$$q_x = -k_x \sin \alpha \frac{\partial T}{\partial \xi} + k_y \cos \alpha \frac{\partial T}{\partial \eta}$$

$$q_y = -k_x \cos \alpha \frac{\partial T}{\partial \xi} - k_y \sin \alpha \frac{\partial T}{\partial \eta}$$

(ب)  $q_x$  و  $q_y$  را به صورت عبارتی از  $\partial T / \partial x$  و  $\partial T / \partial y$  بیان کرده و نتایج را طبق صورت هندسی زیر با آرای می کنید:

$$q_x = - \left( k_x \sin^2 \alpha + k_y \cos^2 \alpha \right) \frac{\partial T}{\partial x} - \left( k_x - k_y \right) \sin \alpha \cos \alpha \frac{\partial T}{\partial y}$$

۲-۵۴. راکتور در ابتدا در یک دمای یکنواخت  $T_0$  قرار دارد که ناگهان انرژی داخلی به طور یکنواخت در میله ها به صورت زیر تولید می شود:

$$u'''/u_0''' = 1 - (r/R)^2,$$

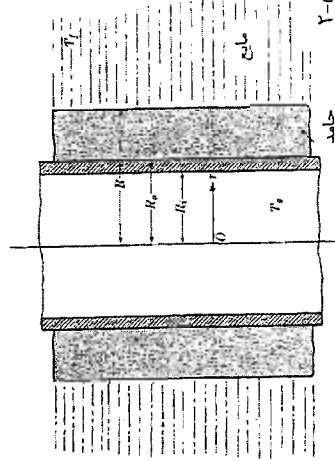
که در آن  $u_0'''$  انرژی داخلی تولید شده در خط مرکزی است. دمای سرد در  $T_0$  ثابت نگه داشته می شود. ضریب انتقال حرارت بزرگ است. مساله را فرموله کنید.

۲-۱۲. یک کره جامد با شعاع  $R$  که در دمای اولیه  $T_0$  قرار دارد را در آب در حال جوش با دمای  $T_0$  می اندازیم. مساله را فرموله کنید.

۲-۱۳. مساله ناپایای مثال ۲-۱ را برای ضریب انتقال حرارت بزرگ دوباره فرموله کنید. فرض کنید که گرم کن در ابتدا در دمای محیط  $T_0$  است و ناگهان انرژی داخلی یکنواخت  $u'''$  در آن تولید می شود.

۲-۱۴. فرمولاسیون متمرکز مثال ۲-۲ و ۲-۳ را در نظر بگیرید. انرژی کل تولید شده در این مثال ها را به دست آورید.

۲-۱۵. دور یک لوله که توسط جریان داخلی گازی به دمای  $T_f$  سرد می شود، یک مایع در دمای انجامد  $T_f$  در حال زدن است (شکل ۲-۵۵). مساله را براساس موقعیت استوانه ای سطح تماس مایع - جامد  $R$  و دیگر پارامترهای درگیر در مساله فرموله کنید.



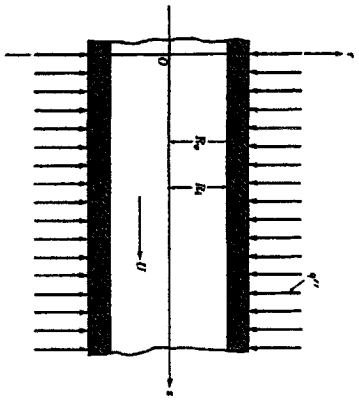
شکل ۲-۵۵

۲-۱۶. فرمولاسیون دینفرانسیلی مثال ۲-۵ که توسط معادله (۲-۲۱۹) ارائه شده است را در نظر بگیرید.

(الف) فرمولاسیون انتگرالی مطابق با آن را با پیروی از روش فیزیکی پیدا کنید.

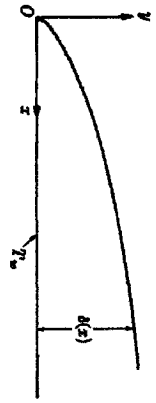
(ب) یک پاسخ تقریبی از مساله به صورت چند جمله ای به دست آورید.

۲-۱۷. جریان یک بعدی ناپایای سیال بدون اصطکاک تراکم ناپذیر در یک دیفیوزر را در نظر بگیرید. دیفیوزر تحت شار حرارتی محیطی و یکنواخت  $q''$  قرار دارد (شکل ۲-۵۶). تولید انرژی



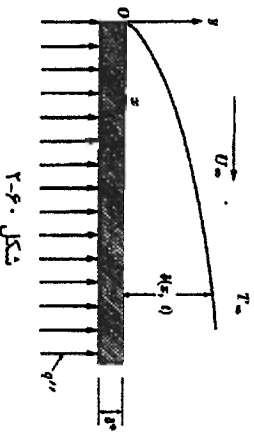
شکل ۲-۵۸

۲-۲۰. یک سیال بدون اصطکاک غیرقابل تراکم با سرعت  $U_0$  به‌طور پایا بر روی صفحه نیمه‌بینه‌بند با ضخامت ناچیز جریان دارد (شکل ۲-۵۹). دمای سیال و دیواره به‌ترتیب  $T_w$  و  $T_0$  است. ضخامت عمق نفوذ پایا (لایه مرزی) مربوط به دمای وابسته به  $x$  و سایر متغیرها را بیابید.



شکل ۲-۵۹

۲-۲۱. یک سیال بدون اصطکاک غیرقابل تراکم با سرعت  $U_0$  و به‌طور پایا بر روی یک صفحه نازک نیمه‌بینه‌بند با ضخامت  $\delta^*$  جریان دارد (شکل ۲-۶۰). دمای اولیه سیال و دیواره برابر  $T_0$  است. ناگهان شار حرارتی یکنواخت  $q''$  به کف صفحه اعمال می‌شود. نفوذ ناپایا شار حرارتی در سیال را بیابید.



شکل ۲-۶۰

(ب) نشان دهید که معادله همابند دو بعدی برای مواد غیر ایزوتروپیک همگن بدین صورت است:

$$q_y = - \left( k_{\xi} - k_{\eta} \right) \sin \alpha \cos \alpha \frac{\partial T}{\partial x} - \left( k_{\xi} \cos^2 \alpha + k_{\eta} \sin^2 \alpha \right) \frac{\partial T}{\partial y} + \left( k_{\xi} \sin^2 \alpha + k_{\eta} \cos^2 \alpha \right) \frac{\partial^2 T}{\partial x^2} + \left( k_{\xi} \cos^2 \alpha + k_{\eta} \sin^2 \alpha \right) \frac{\partial^2 T}{\partial y^2} + \left( k_{\xi} - k_{\eta} \right) \cos 2\alpha \frac{\partial^2 T}{\partial x \partial y}.$$

(ت) صورت خاص معادله فوق برای مواد ایزوتروپیک همگن چگونه خواهد بود؟

(ج) چه مقداری برای ضریب هدایت باید حاصل شود اگر صفحه در میان صفحات همدمای یک دستگاه آزمایش ضریب هدایتی قرار گیرد؟

$$\tan \beta = \frac{q_{\eta}}{q_{\xi}} = \frac{k_{\eta} (\partial T / \partial \eta)}{k_{\xi} (\partial T / \partial \xi)} = \frac{k_{\eta} [\sin \alpha (\partial T / \partial y) - \cos \alpha (\partial T / \partial x)]}{k_{\xi} [\cos \alpha (\partial T / \partial y) + \sin \alpha (\partial T / \partial x)]}$$

همچنین نشان دهید که با  $\partial T / \partial x = 0$

$$\tan \beta = \frac{k_{\eta}}{k_{\xi}} \tan \alpha,$$

که اشاره به  $\alpha < \beta$  دارد و بردار شار حرارتی دیگر بر صفحات همدمای عمود نیست، که اگر مواد ایزوتروپیک بودند، می‌توانست عمود باشد.

۲-۱۹. یک سیال بدون اصطکاک غیرقابل تراکم در یک لوله به‌طور پایا با سرعت  $U$  جریان دارد (شکل ۲-۵۸). دمای ورودی سیال  $T_0$  است. دماهای اولیه لوله و سیال یکسان و برابر دمای ورودی سیال هستند. ناگهان شار حرارتی یکنواخت  $q''$  به سطح خارجی لوله اعمال می‌گردد. هدایت محوری ناچیز است.

فرمولاسیون دیفرانسیلی مسأله را فقط با به‌کارگیری یکی از فرضیات در هر دفعه به‌دست آورید: (i) بدون هیچ فرضی، (ii) ضخامت لوله ناچیز باشد، (iii) ضخامت لوله کم باشد، (iv) سیال به‌طور ششامی مترکز و ضریب انتقال حرارت (الف) بزرگ یا (ب) متوسط است (v) سیال و لوله به‌طور ششامی مترکز هستند.

۱- توجه کنید که یک فرمولاسیون براساس فرض (i) به‌سختی حل می‌شود ولی دقیق‌تر است. فرمولاسیون‌های براساس فرضیات (ii) و (iii) بدون هیچ فرضی و با فقط با اثر جزئی دیواره لوله مدل‌هایی برای سیال جریان سیال هستند از طرف دیگر در فرمولاسیون‌هایی که از فرضیات (iv) و (v) استفاده می‌شود تغییرات ششامی در لوله امکان دارد ولی در سیال خیز و برای مسائل تنش حرارتی ششامی فرمولاسیون بر پایه فرض (v) که به‌طور کامل در جهت ششامی مترکز شده است، ساده‌ترین مدل است که می‌تواند در مسئله دمای توده سیال در مدل مورنتز مورد استفاده قرار گیرد.

## بخش II : راه حل

## فصل سوم

### مسائل یک بعدی پایه، توانج بسط

فرمولاسیون متمرکز و انتگرالی مسائل یک بعدی پایه تنها شامل حل معادلات جبری می‌باشد. ولی فرمولاسیون دیفرانسیلی همان مسائل شامل حل معادلات دیفرانسیل مرتبه اول یا دوم است. همان‌طور که در فصل ۲ اشاره کردیم، فرض می‌کنیم که خواننده روش‌های حل معادلات مرتبه اول یا دوم خطی با ضرایب ثابت را می‌داند. از این‌رو برای مسائل پایای یک بعدی حاصل از چنین معادلاتی، راه حل ارائه خواهیم داد. برای مسائلی که ضریب هدایت حرارتی آن‌ها به دما وابسته است، با استفاده از فرمولاسیون دیفرانسیلی به یک معادله دیفرانسیل غیرخطی مرتبه دوم حاصل می‌شود. و برای مسائلی که ضریب هدایت حرارتی آن‌ها به مکان وابسته است، و همچنین برای سازه‌های گسترش‌یافته با مقطع عرضی متغیر، فرمولاسیون دیفرانسیلی یک معادله دیفرانسیل خطی مرتبه دوم با ضرایب متغیر را حاصل می‌کند. در بخش‌های ۳-۵ و ۳-۶، روش‌های مناسب برای حل هر دو نوع این معادلات را معرفی می‌کنیم. ابتدا در نظر داریم که یک مساله کلی را که بیان‌کننده تعدادی از مفاهیم مهم است، ارائه دهیم.

۳-۱. یک مساله کلی  
یک استوانه تو خالی با دیواره نازک، که ضخامت دیواره آن در تمام مقطع عرضی ثابت است را در نظر بگیرید. این پوسته در شکل ۳-۱ نشان داده شده است. این استوانه با پوسته شامل سیالی با دمای  $T_1$  بوده که دمای اطراف آن نیز  $T_0$  یا دمای محیط می‌باشد و  $T_1 > T_0$  است. ضرایب انتقال حرارت داخلی و خارجی به ترتیب  $h_i$  و  $h_o$  می‌باشند. می‌خواهیم توزیع دما و میزان انتقال حرارت از این استوانه یا پوسته را بدست آوریم.

$$R = \frac{1}{k} \int_{s_1}^{s_2} \frac{ds}{A(s)} \quad (3-5)$$

که این عبارت مقاومت هدایتی نامیده می‌شود و زیر نویس او ۲ به ترتیب نشان دهنده سطوح داخلی و خارجی است. معادله (۳-۴) تشابه زیادی به قانون اهم برای جریان الکتریکی پایا دارد.

$$i = \frac{E_1 - E_2}{R_e}$$

انتقال حرارت هدایتی  $q$  متنظر با جریان الکتریکی  $i$ ، تقاضای دمای  $T_1 - T_2$  متنظر با تقاضای پتانسیل  $E_1 - E_2$ ، و مقاومت هدایتی  $R$  متنظر با مقاومت الکتریکی  $R_e$  می‌باشد. (شکل ۳-۲) دیرفرانسلی قانون اهم چگونه است؟

از آنجایی که دماهای محیط بسیار راحت‌تر از دماهای سطوح اندازه‌گیری می‌شود، متداول است که  $q$  برحسب دمای محیط بیان شود. با استفاده از آخرین مرحله فرمولاسیون داریم:

$$q = \frac{T_1 - T_1}{1/h_1 A(s_1)} = \frac{T_1 - T_1}{R_i} \quad (3-6)$$

که در آن

$$R_i = \frac{1}{h_1 A(s_1)} \quad (3-7)$$

مقاومت جابه‌جایی بین سیال داخل و سطح داخلی دیواره است؛ به‌طور مشابه داریم:

$$q = \frac{T_2 - T_0}{1/h_0 A(s_2)} = \frac{T_2 - T_0}{R_o} \quad (3-8)$$

که در آن

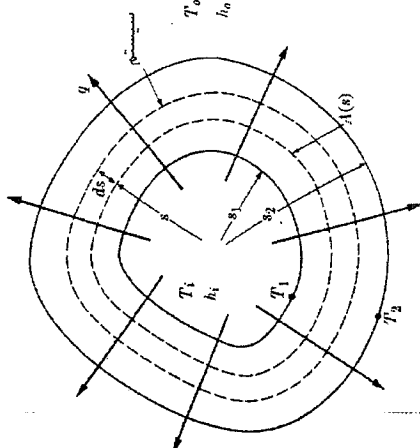
$$R_o = \frac{1}{h_0 A(s_2)} \quad (3-9)$$

مقاومت جابه‌جایی خارجی است. با حل معادلات (۳-۴)، (۳-۶) و (۳-۸) برای اختلاف دمای متنظرشان، سپس، به کار بردن نتیجه به‌صورت نظیر به نظیر باعث حذف  $T_1$  و  $T_2$  شده و خواهیم داشت:

$$q = \frac{T_1 - T_0}{R_i + R + R_o} \quad (3-10)$$

نتیجه مشابهی را می‌توان با در نظر گرفتن تشابه بین نمود حرارتی و جریان الکتریکی به راحتی بدست آورد. بنابراین مساله مشابه تعیین جریان الکتریکی از سه مقاومت بهم پیوسته سری خواهد بود. (شکل ۳-۲)

بعضی مواقع متداول است که برای سهولت، معادله (۳-۱۰) را برحسب ضریب کلی انتقال حرارت  $U$  نوشت، که به‌صورت زیر تعریف می‌شود:



شکل ۳-۱

روش حلی که در اینجا استفاده شده است یک روش متداول برای مسائل یک بعدی است که در آن  $q$  در هر مقطع عرضی ثابت است. دو مرحله اول فرمولاسیون (بخش ۹-۲ را ببینید) چنین نتیجه می‌دهد:

$$d[q_r A(s)] = 0, \quad (3-1)$$

و داریم:

$$q = q_r A(s) = \text{ثابت}, \quad (3-2)$$

که در آن  $s$  نشان‌دهنده متغیر مکان و  $A(s)$  متنظر با سطح انتقال حرارت است. مرحله سوم فرمولاسیون به صورت زیر است:

$$q_s = -k \frac{dT}{ds} \quad (3-3)$$

مرحله چهارم شامل جایگزینی معادله (۳-۳) درون معادله (۳-۲) می‌باشد. با بازاریابی و انتگرال‌گیری بین سطوح داخلی و خارجی با فرض این که  $k$  ثابت است، خواهیم داشت:

$$q = \frac{T_1 - T_2}{(1/k) \int_{s_1}^{s_2} ds / A(s)} = \frac{T_1 - T_2}{R} \quad (3-4)$$

که در آن:



۱۲۳

حل مسئله یک یعنی باید توزیع دما

آنچون، با قرار دادن معادله (۳-۱۱) در معادله (۳-۱۲) و بازاریابی آن نتیجه‌ای بر حسب  $U_0$  حاصل می‌شود و توزیع دما به صورت زیر بیان می‌شود:

$$\frac{T-T_0}{T_1-T_0} = U_0 \left[ \frac{A(s)}{k} \int_s \frac{ds}{A(s)} + \frac{1}{h_0} \right]. \quad (3-11)$$

با استفاده از روش دیگر، یعنی فرمولاسیون متداول مسئله ابتدا توزیع دما و سپس میزان انتقال حرارت به دست می‌آید. بنابراین با استفاده از چهار مرحله اول فرمولاسیون مسئله حاکم حاصل می‌شود:

$$\frac{d}{ds} \left[ A(s) \frac{dT}{ds} \right] = 0, \quad (3-12)$$

رابطه مرزی از آخرین مرحله فرمولاسیون حاصل می‌شوند:

$$+k \frac{dT(s_1)}{ds} = h_1 [T(s_1) - T_1], \quad (3-13)$$

$$-k \frac{dT(s_2)}{ds} = h_0 [T(s_2) - T_0],$$

با حل معادله (۳-۱۲) خواهیم داشت:

$$T = C \int^s \frac{ds}{A(s)} + D, \quad (3-14)$$

با جایگذاری معادله (۳-۱۳) در معادله (۳-۱۴) داریم:

$$+ \frac{h_1 C}{A(s_1)} = h_1 \left[ C \int^{s_1} \frac{ds}{A(s)} + D - T_1 \right], \quad (3-15)$$

$$- \frac{h_0 C}{A(s_2)} = h_0 \left[ C \int^{s_2} \frac{ds}{A(s)} + D - T_0 \right].$$

با قرار دادن مقادیر  $C$  و  $D$  حاصل از معادله (۳-۲۰) در معادله (۳-۱۹) همان توزیع دمای قبلی یعنی معادله (۳-۱۶) حاصل می‌شود. حال می‌توانیم انتقال حرارت را با وارد کردن معادله (۳-۱۶) در ترکیبی از معادلات (۳-۲) و (۳-۳) به دست آوریم، که با این کار همان نتیجه قبلی یعنی معادله (۳-۱۰) حاصل می‌شود.

برای راحتی کار، روند مساله پیش‌رو را در سه حالت مهم در نظر می‌گیریم: مختصات کارتزین، استوانه‌ای، و کروی. ضرایب انتقال حرارت کلی بر اساس مساحت سطح خارجی و توزیع دمای این مختصات‌ها به صورت زیر است:

$$\frac{1}{U_0} = \frac{1}{U} = \frac{1}{h_1} + \frac{L}{k} + \frac{1}{h_0} \quad (3-16)$$

$$\frac{1}{U_0} = \frac{(R_2/R_1)}{h_1} + \frac{R_2}{k} \ln \left( \frac{R_2}{R_1} \right) + \frac{1}{h_0} \quad (3-17)$$

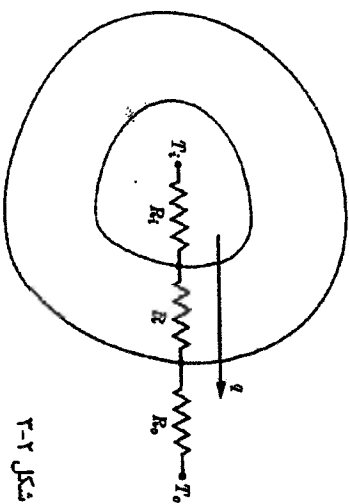
انتقال حرارت مدیانی

۱۲۳

$$q = UA(T_1 - T_0), \quad (3-18)$$

و

$$\frac{1}{UA} = R_1 + R + R_0. \quad (3-19)$$



شکل ۳-۲

از آنجایی که  $U$  به  $A$  وابسته است، باید برای تعیین  $U$  یک سطح را انتخاب کنیم:

$$UA = U_1 A(s_1) = U_0 A(s_2),$$

که در آن  $U_1$  و  $U_0$  به ترتیب نشان‌دهنده ضرایب کلی انتقال حرارت بر حسب سطح داخلی و خارجی می‌باشند. به عنوان مثال ضریب  $U_0$  را به صورت زیر می‌نویسیم:

$$\frac{1}{U_0} = \frac{A(s_2)/A(s_1)}{h_1} + \frac{A(s_2)}{k} \int_{s_1}^{s_2} \frac{ds}{A(s)} + \frac{1}{h_0}. \quad (3-20)$$

برای تعیین توزیع دمای مساله، معادله (۳-۲) را دوباره در نظر گرفته و از مکان اختیاری  $s$  تا سطح خارجی  $s_1$  انتگرال می‌گیریم:

$$q = \frac{T-T_0}{(1/k) \int_{s_1}^{s_2} \frac{ds}{A(s)}} \quad (3-21)$$

که در آن  $T$  دمای مکان  $s$  است. حذف  $T_0$  بین معادلات (۳-۸) و (۳-۲۱) نتیجه زیر را حاصل می‌کند:

$$q = \frac{T-T_0}{(1/h) \int_{s_1}^{s_2} \frac{ds}{A(s)} + 1/h_0 A(s)} \quad (3-22)$$

۱- تریف دیگری برای توزیع دمای از طریق انتگرال‌گیری از سطح داخلی تا مکان دلخواه  $s$  حاصل می‌شود.

فصل ۳- مسائل یک بعدی پایا، توابع بسل

شکل‌های کارترین، استوانه‌ای و کروی معادلات (۳-۲۸) و (۳-۲۰) به صورت زیر فهرست شده

است:

$$\frac{1}{U_0} = \frac{1}{U} = \frac{1}{h_i} + \sum_{n=1}^N \frac{L_n}{k_n} + \frac{1}{h_o} \quad (۳-۳۱)$$

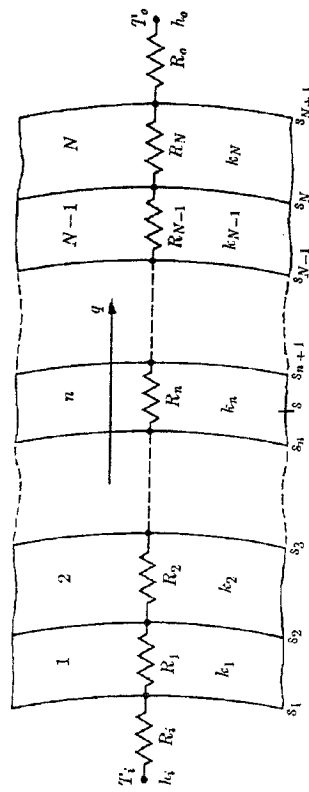
$$\frac{1}{U_0} = \frac{(R_{N+1}/R_1)}{h_i} + R_{N+1} \sum_{n=1}^N \frac{1}{k_n} \ln \left( \frac{R_{n+1}}{R_n} \right) + \frac{1}{h_o} \quad (۳-۳۲)$$

$$\frac{1}{U_0} = \frac{(R_{N+1}/R_1)^2}{h_i} + R_{N+1}^2 \sum_{n=1}^N \frac{1}{k_n} \left( \frac{1}{R_n} - \frac{1}{R_{n+1}} \right) + \frac{1}{h_o} \quad (۳-۳۳)$$

$$\frac{T-T_0}{T_i-T_0} = U_0 \left[ \frac{x_{n+1-x}}{k_n} + \sum_{m=n+1}^N \frac{x_{m+1-x_m}}{k_m} + \frac{1}{h_o} \right] \quad (۳-۳۴)$$

$$\frac{T-T_0}{T_i-T_0} = U_0 \left[ \frac{R_{N+1}}{k_n} \ln \left( \frac{R_{n+1}}{r} \right) + R_{N+1} \sum_{m=n+1}^N \frac{1}{k_m} \ln \left( \frac{R_{m+1}}{R_m} \right) + \frac{1}{h_o} \right] \quad (۳-۳۵)$$

$$\frac{T-T_0}{T_i-T_0} = U_0 \left[ \frac{R_{N+1}}{k_n} \left( \frac{R_{N+1}}{r} - \frac{R_{N+1}}{R_{n+1}} \right) + R_{N+1}^2 \sum_{m=n+1}^N \frac{1}{k_m} \left( \frac{1}{R_m} - \frac{1}{R_{m+1}} \right) + \frac{1}{h_o} \right] \quad (۳-۳۶)$$



شکل ۳-۳

در عمل، ترکیب ساختارهای سری- موازی نیز مهم است، به خصوص در مختصات کارترین، بعنوان مثال، یک دیواره متشکل از اجزای سراسیمی، مثل آنهایی که در ساخت خانه به کار می‌روند، را در نظر بگیرید (شکل ۳-۴). در واقع، انتقال حرارت از درون این گونه دیوارها یکبعدی نیست، اگرچه، تحلیل‌های یکبعدی نتایج رضایت بخشی را برای مسائل عملی حاصل می‌کنند.

انتقال حرارت هدایتی

$$\frac{1}{U_0} = \frac{(R_2/R_1)^2}{h_i} + \frac{R_2}{k} \left( \frac{R_2}{R_1} - 1 \right) + \frac{1}{h_o} \quad (۳-۲۲)$$

کروی،

$$\frac{T-T_0}{T_i-T_0} = U_0 \left( \frac{x_2-x}{L} + \frac{1}{h_o} \right) \quad (۳-۲۴)$$

کارترین

$$\frac{T-T_0}{T_i-T_0} = U_0 \left[ \frac{R_2}{k} \ln \left( \frac{R_2}{r} \right) + \frac{1}{h_o} \right] \quad (۳-۲۵)$$

استوانه‌ای

$$\frac{T-T_0}{T_i-T_0} = U_0 \left[ \frac{R_2}{k} \left( \frac{R_2}{r} - 1 \right) + \frac{1}{h_o} \right] \quad (۳-۲۶)$$

کروی

### ۳-۲. ساختارهای ترکیبی

فرض کنید که استوانه توخالی یا استوانه دیواره نازک، یعنی پوسته شکل ۳-۱ متشکل از N لایه مواد مختلف با ضخامت‌ها و هدایت حرارتی مختلف باشند (شکل ۳-۲). مقاومت تماسی بین لایه‌ها قابل صرف نظر است. می‌خواهیم انتقال حرارت از سیال داخلی به محیط اطراف، و توزیع دمای این ساختار را به دست آوریم.

با برقراری تشابه بین نفوذ حرارت و جریان الکتریکی در مورد ذکر شده، خواهیم داشت:

$$\frac{1}{UA} = R_i + \sum_{n=1}^N R_n + R_o \quad (۳-۲۷)$$

شکل صریح U براساس سطح خارجی به صورت زیر است:

$$\frac{1}{U_0} = \frac{A(S_{N+1})/A(s)}{h_i} + A(S_{N+1}) \sum_{n=1}^N \frac{1}{k_n} \int_{s_n}^{s_{n+1}} \frac{ds}{A(s)} + \frac{1}{h_o} \quad (۳-۲۸)$$

با قرار دادن  $N = 1$  معادله (۳-۲۸) به معادله (۳-۱۲) تبدیل می‌شود.

برای به دست آوردن توزیع دما در ساختار، ما ابتدا q را بر حسب اختلاف دمای  $T - T_0$  و مقاومت‌های متناظر  $(R_N, R_{N+1}, R_{N+2}, \dots, R_N)$  بیان می‌کنیم. در نتیجه داریم:

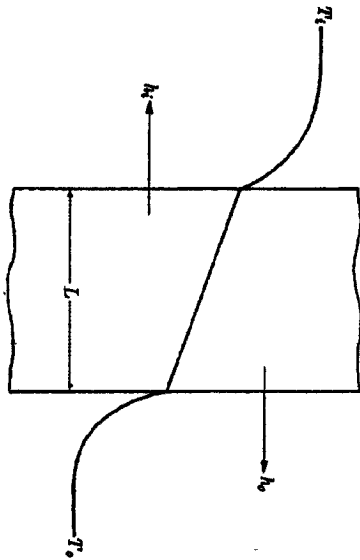
$$q = \frac{T-T_0}{(1/k_n) \int_{s_n}^{s_{n+1}} ds + \sum_{m=n+1}^N (1/k_m) \int_{s_m}^{s_{m+1}} ds + A(s)/h_o} \quad (۳-۲۹)$$

که در این فرمول T نشان دهنده دمای مکان s در (شکل ۳-۳) می‌باشد. سپس با حذف q بین معادلات (۳-۱۱) و (۳-۲۹) توزیع دمای مطلوب بر حسب U\_0 به صورت زیر حاصل می‌شود:

$$\frac{T-T_0}{T_i-T_0} = U_0 \left[ \frac{A(S_{N+1})}{k_n} \int_{s_n}^{s_{n+1}} \frac{ds}{A(s)} + A(S_{N+1}) \sum_{m=n+1}^N \frac{1}{k_m} \int_{s_m}^{s_{m+1}} \frac{ds}{A(s)} + \frac{1}{h_o} \right] \quad (۳-۳۰)$$

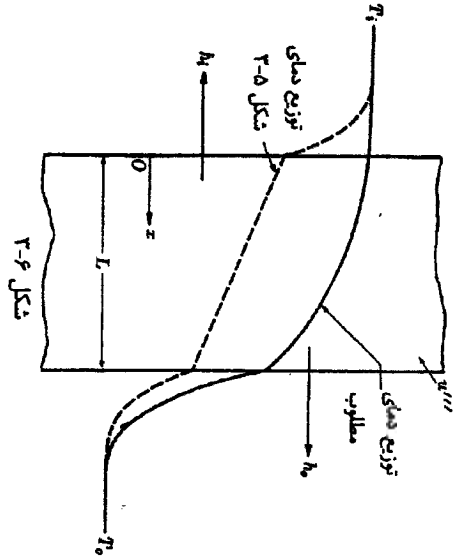
معادله (۳-۳۰) با قرار دادن  $N = 1$  به معادله (۳-۱۶) تبدیل می‌شود.

مثال ۳-۱ یک صفحه با ضخامت  $L$  دو محیط با دمای  $T_1$  و  $T_2$  را از هم جدا می کنند ضرایب انتقال حرارت  $h_1$  و  $h_2$  می یابند (شکل ۳-۵). می خواهیم اتلاف حرارتی از دیواره را در سستی که برای دمای بیشتری است، حذف نماییم.

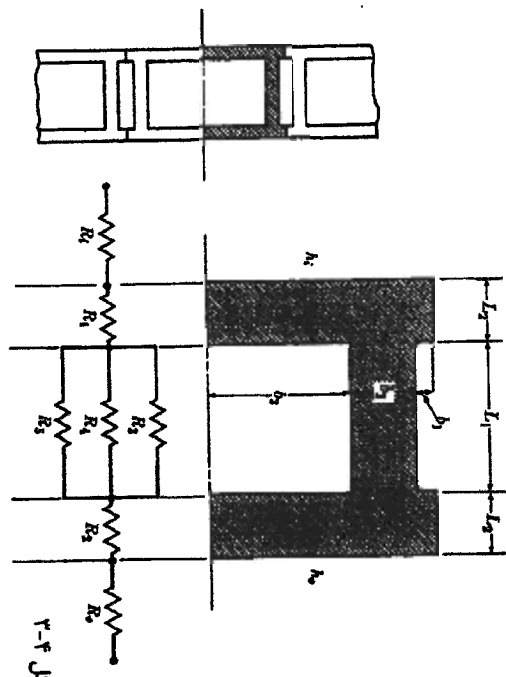


شکل ۳-۵

در بخش ۳-۲ آموختیم که مقاومت کلی بین دو محیط با افزایش عایق به یک یا هر دو سمت دیواره افزایش می یابد. بدون توجه به ضخامت و جنس عایق، اتلاف حرارتی از دیواره در سستی که برای دمای بیشتری است را نمی توان با استفاده از چنین عایقی، به طور کامل حذف نمود.



شکل ۳-۶



شکل ۳-۴

دیواره با استفاده از تمثیل الکتریکی خواهیم داشت:

$$\frac{1}{UA} = R_1 + R_2 + \frac{1}{\frac{1}{R_3 + \frac{1}{R_4 + \frac{1}{R_5 + \frac{1}{R_6}}}}} + R_7 + R_8 + R_9 + R_{10}$$

بنابراین به ازای واحد عرض دیواره عمود بر سطح مقطع نشان داده شده در شکل ۳-۴ خواهیم داشت:

$$\frac{1}{h_1(b_1+b_2+b_3)} + \frac{L_2}{k_2(b_1+b_2+b_3)} + \frac{1}{k_1 b_1/L_1 + k_2 b_2/L_2 + k_3 b_3/L_3} + \frac{1}{k_2(b_1+b_2+b_3)} + \frac{1}{h_0(b_1+b_2+b_3)}$$

$$\frac{1}{U} = \frac{1}{h_1} + \frac{L_2}{k_2} + \frac{L_1}{e_1 k_1 + e_2 k_2} + \frac{L_2}{k_2} + \frac{1}{h_0}$$

و از این رو به ازای واحد سطح دیواره داریم:

$$e_1 = (b_1 + b_3)/(b_1 + b_2 + b_3) \quad , \quad e_2 = (b_2)/(b_1 + b_2 + b_3)$$

مثال ۳-۳

در این بخش تعدادی از واقعیت های فیزیکی و ریاضی در قالب مثال های انتظالی در مضافات کارترین استوانه ای و کروی بررسی خواهند شد.

به عبارت دیگر، مقدار مناسبی از انرژی داخلی یکنواخت  $u'''$  به صورت الکتریکی درون صفحه تولید می‌شود تا اتلاف حرارتی را به صفر برساند (شکل ۳-۶). بنابراین هدف مساله پیدا کردن مقدار  $u'''$  است.

فرمولاسیون مساله در جهت  $x$  نتیجه زیر را حاصل می‌کند:

$$\frac{\partial^2 T}{\partial x^2} + \frac{u'''}{k} = 0, \quad (3-37)$$

$$T(0) = T_i, \quad (3-38)$$

$$\frac{dT(0)}{dx} = 0, \quad (3-39)$$

$$-k \frac{dT(L)}{dx} = h_o [T(L) - T_o] \quad (3-40)$$

چرا به جای ۲ شرط مرزی از ۳ شرط مرزی استفاده نمودیم؟ چه پارامترهای غیر مشخصی باید تعیین شوند؟ فیزیک مساله را با معادلات (۳-۳۷)، (۳-۳۸)، (۳-۴۰) و به وسیله معادلات (۳-۳۷)، (۳-۳۹)، (۳-۴۰) توصیف می‌کنیم.

جواب معادله (۳-۳۷) به صورت زیر است،

$$T = -\frac{u'''x^2}{2k} + Ax + B, \quad (3-41)$$

با قرار دادن جواب معادله (۳-۳۷) درون معادلات (۳-۳۹) و (۳-۴۰) داریم:

$$0 = A, \quad u'''L = h_o(-u'''L^2/2k + B - T_o).$$

بنابراین، با قرار دادن مقادیر  $A$  و  $B$  درون معادله (۳-۴۱)، توزیع دمای متناظر با مقدار اختیاری  $u'''$  به صورت زیر است:

$$\frac{T-T_o}{u'''L^2/2k} = 1 - \left(\frac{x}{L}\right)^2 + 2\left(\frac{k}{h_oL}\right). \quad (3-42)$$

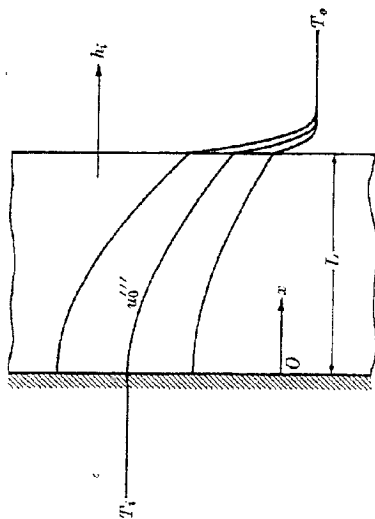
نموداری از معادله (۳-۴۲) در شکل ۳-۷ برای مقادیر مختلف  $u'''$  داده شده است. اگر چه از این پروفایل‌های دمایی، تنها یک شرایط مرزی معادله (۳-۳۸) صدق می‌کند، و مقدار آن  $u'''$  می‌باشد. بنابراین با ترکیب معادلات (۳-۳۸) و (۳-۴۲) خواهیم داشت:

۱- اگر صفحه یک هدایت کننده الکتریکی نباشد یا اگر جریان الکتریکی از درون صفحه مطلوب نباشد، صفحه دیگری که توسط جریان الکتریکی گرم شده است (گرمکن پستیان) را می‌توان به صفحه اصلی تماس داد. مساله مربوط به شکل ۳-۱۶ را نیز ببینید.

فصل ۳- مسائل یک بعدی پایا، توابع بسل

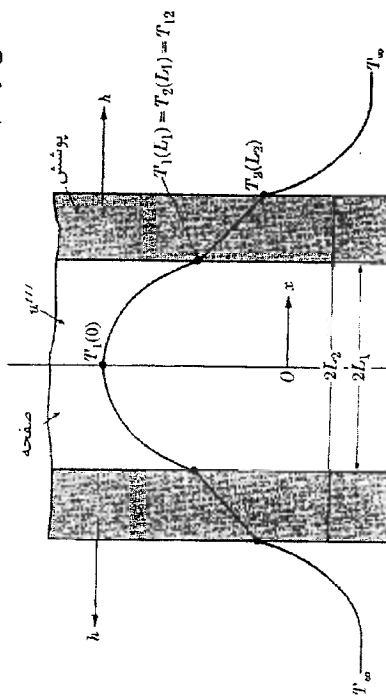
$$\frac{u_0''L^2}{2k} = \frac{T_i - T_o}{1 + 2(k/h_oL)}$$

این مساله را در نظر گرفتن معادله (۳-۳۹) یا (۳-۴۰) به عنوان آخرین شرط مرزی، دوباره حل نمایید.



شکل ۳-۷

مثال ۳-۲. المنت سوختی یک راکتور حوضچه‌ای از صفحات صاف با ضخامت  $2L_1$  و پوشی با ضخامت  $(L_2 - L_1)$  تشکیل شده است (شکل ۳-۸). فرض می‌شود که انرژی داخلی یکنواخت  $u'''$  (هسته‌ای) تنها درون صفحات تولید شود. ضرب انتقال حرارت  $h_1$  است، دمای محیط اطراف  $T_{\infty}$  است. می‌خواهیم بدانیم که توزیع دمای المنت سوختی چگونه است.



شکل ۳-۸

فصل ۳- مسائل یک بعدی پدید تولیع بسط ۱۴۱

می که می خواهیم دما را فقط در بنی از مکان های به خصوص المنت سوختی تعیین کنیم، می کنیم  $T_1(0), T_1(L_1) = T_2(L_1) = T_2(L_2)$  و  $T_2(L_2)$  به جای روند ذکر شده می توانیم از قیاس الکتریکی استفاده کنیم، بنابراین خواهیم داشت:

$$T_2(L_2) - T_{\infty} = \frac{1}{h} (u'' L_2),$$

$$T_{12} - T_{\infty} = \left( \frac{1}{h} + \frac{L_2 - L_1}{k} \right) (u'' L_1),$$

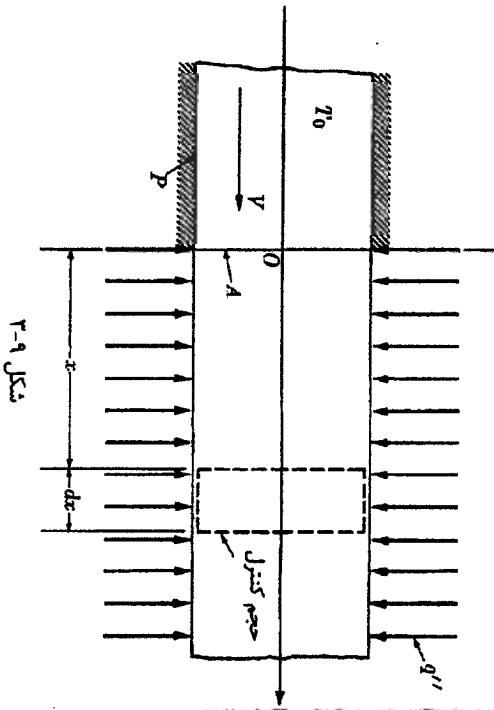
که همان  $(u'' L_1)$  شار حرارتی از درون هر سطح از المنت سوختی است. علاوه بر آن با استفاده از مسئله (۳-۲۷) داریم:

$$T_1(0) - T_{12} = - \left( \frac{u'' L_1^2}{2k_1} \right),$$

خواهیم داشت:

$$T_1(0) - T_{\infty} = \left( \frac{L_1}{2k_1} + \frac{1}{h} + \frac{L_2 - L_1}{k} \right) (u'' L_1).$$

مثال ۳-۳. یک مایع غیرلزو با ویژگی های ثابت که دارای دمای جریان بالادستی  $T_0$  و سرخه  $V$  بوده و به صورت پایا از درون یک لوله با طول نامحدود و با مقطع عرضی  $A$  و محیط  $P$  عبور می کند. ضخامت دیواره لوله قابل صرف نظر است. نیمه جریان پایین دستی لوله در معرض شار حرارتی ثابت  $q''$  قرار می گیرد و نیمه جریان بالادستی عایق است (شکل ۳-۹). می خواهیم توزیع دمای محوری مایع را بر اساس تحلیل متغیر شعاعی به دست آوریم.



شکل ۳-۹

انتقال حرارت هادی ۱۴۰

این مثالی از یک مساله چند منطقی است. فرمولاسیون چنین مسالهای بیش از یک معادله حاکم را در بر می گیرد. به دلیل تئارن هندسی و حرارتی،  $x$  از وسط صفحه المنت سوخت انداره گیری می شود. شاید ذکر است که ویژگی های صفحه و پوشش به ترتیب با زیر نویس های ۱ و ۲ نشان داده می شود و داریم:

$$\frac{d^2 T_1}{dx^2} + \frac{u''}{k_1} = 0, \quad 0 \leq x \leq L_1, \quad (3-43)$$

$$\frac{d^2 T_2}{dx^2} = 0, \quad L_1 \leq x \leq L_2, \quad (3-44)$$

$$\frac{dT_1(0)}{dx} = 0, \quad T_1(L_1) = T_2(L_2) = T_{12}, \quad k_1 \frac{dT_1(L_1)}{dx} = k_2 \frac{dT_2(L_1)}{dx}, \quad (3-45)$$

$$-k_2 \frac{dT_2(L_2)}{dx} = h [T_2(L_2) - T_{\infty}].$$

جواب معادله (۳-۴۳) به صورت زیر است:

$$T_1 = - \frac{u'' x^2}{2k_1} + Ax + B, \quad (3-46)$$

و جواب معادله (۳-۴۴) به صورت زیر می باشد:

$$T_2 = Cx + D, \quad (3-47)$$

با قرار دادن معادلات (۳-۴۶) و (۳-۴۷) درون شرایط مرزی، یعنی معادله (۳-۴۳) چهار معادله جبری همزمان زیر حاصل می شوند.

$$A = 0, \quad -u'' L_1^2 / 2k_1 + B = C L_1 + D,$$

$$-u'' L_1 = k_2 C, \quad -k_2 C = h(C L_2 + D - T_{\infty}).$$

با حل این معادلات بر حسب عبارات  $A, B, C, D$  و سپس قرار دادن نتیجه درون معادله (۳-۴۶) و (۳-۴۷)، توزیع دمای المنت سوختی برای  $0 \leq x \leq L_1$  به صورت زیر به دست می آید:

$$\frac{T_1 - T_{\infty}}{u'' L_1^2 / 2k_1} = 1 - \left( \frac{x}{L_1} \right)^2 - 2 \left( \frac{k_1}{k_2} \right) - 2 \left( \frac{L_2}{L_1} \right) \left( \frac{k_1}{k_2} \right) \left( 1 + \frac{k_1}{h L_2} \right) \quad (3-48)$$

و برای  $L_1 \leq x \leq L_2$  داریم:

$$\frac{T_2 - T_{\infty}}{u'' L_1^2 / k_2} = - \left( \frac{x}{L_1} \right) + \left( \frac{L_2}{L_1} \right) \left( 1 + \frac{k_1}{h L_2} \right) \quad (3-49)$$

این مساله با جزئیات بررسی خواهد شد زیرا دارای کاربرد قابل ملاحظه‌ای در تکنولوژی راکتور و محاسبه ضریب انتقال حرارت در لوله‌هاست. اما ابتدا یک واقعیت مهم را که در عبارات مساله واضح نیست، مشخص می‌نماییم. از آنجایی که شار حرارتی  $q''$  از طریق هدایت و به‌صورت محوری (در راستای  $x$ ) انتقال می‌یابد لذا باعث افزایش دما در بخش عایق خواهد شد. از آنجایی که جریان انتقالی محوری در جهت مخالف هدایت قرار دارد اثر معکوس بر افزایش دما خواهد داشت. بنابراین توزیع دما درون لوله به اهمیت نسبی هدایت محوری و جریان انتقالی محوری بستگی دارد. اگر چه در این مساله سیال دارای یک منطقه است اما تغییر شرط مرزی از عایق به شار حرارتی ثابت قرار ما را مجاب می‌کند که از نظر ریاضی مساله را دو منطقه‌ای قلمداد کنیم. فرمولاسیون بخش عایق را می‌توان به راحتی با قرار دادن  $q'' = 0$  در فرمولاسیون بخش دیگر به‌دست آورد. بنابراین، جزئیات فرمولاسیون فقط برای بخش دریافت‌کننده شار حرارتی  $q''$  انجام می‌شود.

حجم کنترل نشان داده شده در شکل ۳-۹ که به صورت شعاعی متمرکز و به‌صورت محوری دینامیکی است را در نظر می‌گیریم و قوانین کلی را برای این حجم کنترل مورد استفاده قرار می‌دهیم.

قانون بقای جرم:

$$\rho AV = \text{const} \quad (3-50)$$

مومنتم (انرژی مکانیکی یا معادله برنولی):

$$\frac{d}{dx} \left( \frac{\rho}{\rho} + gz \right) = 0. \quad (3-51)$$

قانون اول ترمودینامیک (انرژی کل): بحسب شکل ۳-۱۰:

$$-A \frac{d^2 u_x}{dx^2} - \rho AV \frac{dh_0}{dx} + q'' P = 0. \quad (3-52)$$

با استفاده از تعریف  $h_0$  و معادلات (۳-۵۱) و (۳-۵۲) داریم:

$$dh_0/dx = du/dx. \quad (3-53)$$

حریصانه با استفاده از تعریف  $h_0$  داریم:

$$du = c dT \quad (3-54)$$

$$\frac{dT}{dx} - a \frac{dT}{dx} - b = 0$$

مربوطه اول،  
سرتیروم  
گرمی

$$m = \int_a^b \dots$$

$$T = A + B e^{ax} + Cx$$

با قرار دادن معادله (۳-۵۴) درون معادله (۳-۵۲) قرار دادن نتیجه آن در معادله (۳-۵۲) برای انرژی حرارتی خواهیم داشت:

$$-A \frac{d^2 u_x}{dx^2} - \rho c AV \frac{dT}{dx} + q'' P = 0. \quad (3-55)$$

سرانجام، معادله (۳-۵۵) به‌وسیله قانون فوریه در جهت  $x$  به‌صورت زیر بازنویسی می‌شود:

$$q_x = -k \frac{dT}{dx}$$

و معادله حاکم بخش غیرعایق به‌صورت زیر خواهد بود:

$$\frac{d^2 T}{dx^2} - \frac{\rho c V}{k} \frac{dT}{dx} + \frac{q'' P}{kA} = 0. \quad (3-56)$$

همه‌چیزها را تقسیم بر  $kA$  کرده

معادله (۳-۵۶) را با فرض این که لوله در شکل ۳-۹ عمودی باشد برای یک گاز ایده‌آل دوباره فرموله کنید. یا قرار دادن  $q'' = 0$  در معادله (۳-۵۶)، معادله حاکم بخش عایق حاصل می‌شود. با انتخاب  $T_1$  و  $T_2$  به‌ترتیب برای دمای بخش عایق و بخش غیرعایق، فرمولاسیون مساله را به‌صورت زیر خواهیم داشت:

$$\frac{d^2 T_1}{dx^2} - \frac{\rho c V}{k} \frac{dT_1}{dx} = 0, \quad -\infty < x \leq 0, \quad (3-57a)$$

$$\frac{d^2 T_2}{dx^2} - \frac{\rho c V}{k} \frac{dT_2}{dx} + \frac{q'' P}{kA} = 0, \quad 0 < x \leq +\infty, \quad (3-57b)$$

شرایط مرزی به‌صورت زیر خواهد بود:

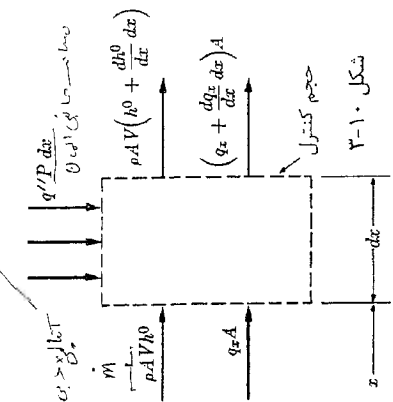
$$T_1(-\infty) = T_0, \quad T_1(0) = T_2(0), \quad \frac{dT_1(0)}{dx} = \frac{dT_2(0)}{dx}. \quad (3-58)$$

که شرط مرزی آخر نشان‌دهنده توزیع دمای خطی درون مایع برای مقادیر زیاد  $x$  است. (اگر این نکته برای خواننده واضح نیست، باید خواننده ابتدا راه حل کلی بخش غیرعایق را در نظر گرفته و سپس از خود بپرسد که آیا افزایش دما به‌صورت نمایی برای مقدار ثابت  $q''$  امکان‌پذیر می‌باشد.)

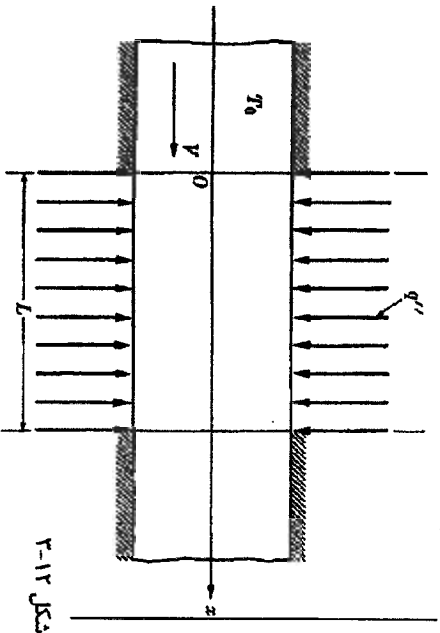
با حل معادله (۳-۵۷) و استفاده از شرایط مرزی (۳-۵۸) توزیع دمای مایع حاصل خواهد شد:

از حل معادله (۳-۵۷) به‌دست می‌آید:

$$T_1(x) - T_0 = \left( \frac{a}{\sqrt{\lambda}} \right) e^{(\sqrt{\lambda}/a)(x/\lambda)}, \quad -\infty < x \leq 0, \quad (3-59a)$$

$$T_2(x) - T_0 = \left( \frac{a}{\sqrt{\lambda}} \right) \left[ 1 + \left( \frac{\sqrt{\lambda}}{a} \right) x \right], \quad 0 \leq x < +\infty, \quad (3-59b)$$


زمانی که جریان را در لوله باقیم برقرار است



شکل ۲-۱۳

رابطه مرزی به صورت زیر خواهد بود:

$$\begin{aligned}
 T_1(-\infty) &= T_0, \\
 T_1(0) &= T_2(0), \\
 \frac{dT_1(0)}{dx} &= \frac{dT_2(0)}{dx}, \\
 T_2(L) &= T_3(L), \\
 \frac{dT_2(L)}{dx} &= \frac{dT_3(L)}{dx}, \\
 T_3(+\infty) &= \text{محدود}
 \end{aligned}$$

(۳-۶۱)

آخرین شرط مرزی را می توان به وضوح با در نظر گرفتن حل کلی منطقه سوم مسئله درک کرد.

پس

با حل معادله (۳-۶۰) و قرار دادن شرایط مرزی (۳-۶۱) درون آن توزیع دمای مایع به صورت

پس خواهد بود:

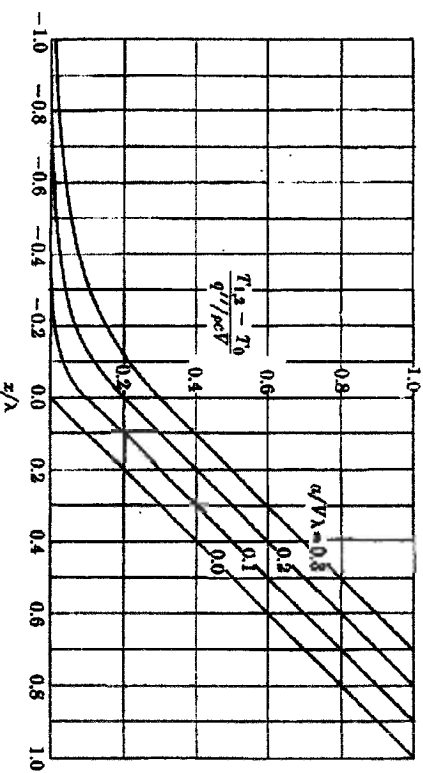
$$\begin{aligned}
 \frac{T_3(x) - T_0}{(q''/pcv)(L/\lambda)} &= \left(\frac{a}{\sqrt{\lambda}}\right) (1 - e^{-\sqrt{\lambda}x/a}) e^{(\sqrt{\lambda}x/a)(x/L)}, \quad -\infty < x \leq 0, \\
 \frac{T_3(x) - T_0}{(q''/pcv)(L/\lambda)} &= \frac{x}{L} + \left(\frac{a}{\sqrt{\lambda}}\right) [1 - e^{-(\sqrt{\lambda}x/a)(1-x/L)}], \quad 0 \leq x < L, \\
 \frac{T_3(x) - T_0}{(q''/pcv)(L/\lambda)} &= 1, \quad L < x < +\infty,
 \end{aligned}$$

(۳-۶۲)

در آن  $a = A/P$  مثل مسئله ۲-۳ است. وقتی که  $k \rightarrow 0$  یا  $L \rightarrow \infty$  شکل خاص معادله (۳-۶۲) چگونه خواهد بود؟ در شکل ۲-۱۳ دمای مایع یعنی معادله (۳-۶۲) برحسب  $x/L$  برای

مقادیر مختلف  $a/\sqrt{\lambda}$  رسم شده است.

که در آن  $a = k/Pe$  و  $\lambda = A/P$  عدد بدون بعد  $a/\sqrt{\lambda} = k/Pe\sqrt{\lambda}$  بیان کننده نسبت بین هدایت محوری و جریان آنتالی محوری است. مگوس این عدد ضریب یکت نامیده می شود. [شکل خاصی معادله (۳-۵۹) وقتی که  $k \rightarrow 0$  در شکل ۲-۱۱ اثر هدایت محوری برای مقادیر مختلف  $a/\sqrt{\lambda}$  نشان داده شده است. از آنجایی که در  $x = 0$  دما به صورت مگوس با ضریب یکت متناسب است، وقتی  $Pe \geq 100$  توزیع دما در بخش عایق و اثر هدایت محوری درون لوله قابل صرف نظر خواهد بود.]



شکل ۲-۱۱

مثال ۲-۳: فرض می کنیم به جای نصف لوله مثال ۲-۳، بخشی از آن به طول  $L$  در معرض شار حرارتی  $q''$  ثابت قرار گیرد (شکل ۲-۱۲). دوباره می خواهیم توزیع دمای محوری و متمرکز را برای مایع بیابیم.

مسئله یک مسئله سه منطقه ای است. با قرار دادن زیر نویس ۳ برای دمای منطقه جریان

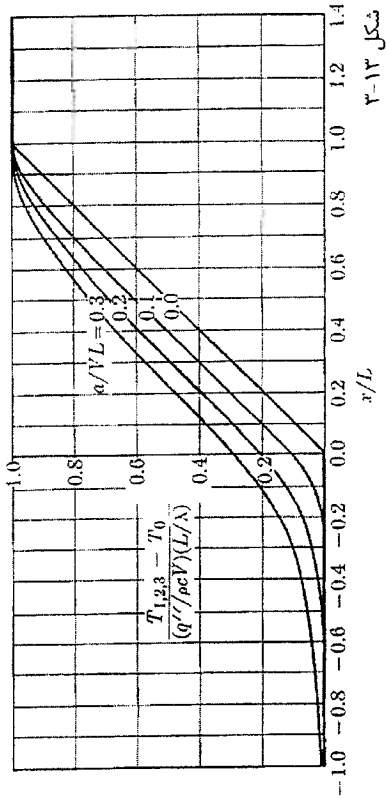
پایین دست عایق، همانند مثال ۲-۳ معادلات حاکم به صورت زیر خواهند بود:

$$\begin{aligned}
 \frac{d^2 T_1}{dx^2} - \frac{pcv}{k} \frac{dT_1}{dx} &= 0, \quad -\infty < x \leq 0, \\
 \frac{d^2 T_2}{dx^2} - \frac{pcv}{k} \frac{dT_2}{dx} + \frac{q''}{kA} &= 0, \quad 0 < x \leq L, \\
 \frac{d^2 T_3}{dx^2} - \frac{pcv}{k} \frac{dT_3}{dx} &= 0, \quad L < x < +\infty,
 \end{aligned}$$

(۳-۶۰)

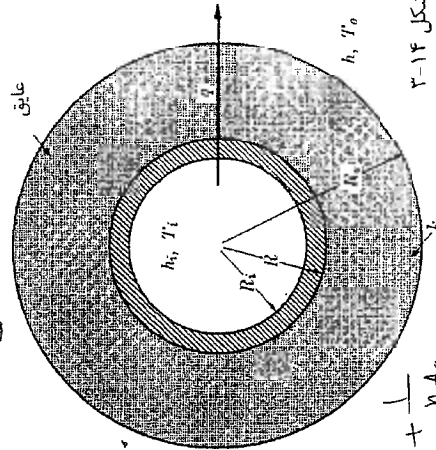
1- Peclet Modulus

۲- اثر هدایت محوری با جزئیات بیشتر برای مسائل دو بعدی پساً توضیح داده خواهد شد. مثال (۳-۷) را ببینید.



شکل ۳-۱۳

مثال ۳-۵. یک سیال با دمای  $T_i$  از درون لوله‌ای با شعاع داخلی  $R_i$  و شعاع خارجی  $R_o$  در جریان است. ضرایب انتقال حرارت داخلی و خارجی به ترتیب  $h_i$  و  $h_o$  می‌باشند. دمای سیال خارجی  $T_o$  است. فرض می‌کنیم که  $T_o < T_i$  باشد. می‌خواهیم با عایق کاری لوله اتلاف حرارتی از سیال داخل لوله را کاهش دهیم (شکل ۳-۱۴). ضریب هدایت حرارتی دیواره لوله در مقایسه با ضریب هدایت حرارتی عایق و ضریب انتقال حرارت داخلی در مقایسه با ضریب خارجی انتقال حرارت ممکن است زیاد باشد. (بخار میعان‌شده درون لوله مثال بارزی از این نوع است). اتلاف حرارتی از سیال داخلی را به صورت تابعی از ضخامت عایق به دست آورید.



شکل ۳-۱۴

$$\frac{1}{h_i A_i} + \frac{\Delta x}{k A} + \frac{1}{h_o A_o}$$

فصل ۳- مسائل یک بعدی پایا، توابع بسل

به دلیل مقدار نسبی مقاومت موجود می‌توان از مقاومت جابه‌جایی داخلی و مقاومت هدایتی لوله، صرف‌نظر کرد. از این‌رو فرض می‌شود که سطح داخلی عایق به‌طور تقریبی دارای دمای  $T_i$  باشد. با بازآرایی مناسب معادله (۳-۳۲)، ضریب انتقال حرارت کلی براساس سطح خارجی عایق به صورت زیر حاصل می‌شود:

$$\frac{1}{U_o} = \frac{R_o \ln\left(\frac{R_o}{R_i}\right)}{k} + \frac{1}{h_o A_o}$$

علاوه بر آن، از آنجایی که  $A_o = 2\pi R_o L$  است، اتلاف حرارتی سیال داخلی به‌ازای طول  $L$  از لوله،

$$\frac{q}{2\pi k L (T_i - T_o)} = \frac{1}{\ln(R_o/R_i) + (k/hR_o)(R_o/R_i)} \quad (3-62)$$

با بررسی معادله (۳-۶۲) این نتیجه مهم حاصل می‌شود که وقتی ضخامت عایق تغییر کند، عبارت اول و دوم در مخرج سمت راست معادله (۳-۶۲) به‌طور معکوس تغییر خواهد کرد. این نتیجه امکان وجود اکسترمم برای اتلاف حرارتی از سیال داخلی را نشان می‌دهد. ممکن است وجود چنین اکسترممی با برابر صفر قرار دادن مشتق اول معادله (۳-۶۲) و با توجه به  $R_o/R_i$  به سادگی نشان داده شود. نتیجه به صورت زیر است:

$$\frac{dq}{d(R_o/R_i)} = -2\pi k L (T_i - T_o) \frac{1/(R_o/R_i) + (k/hR_o)(R_o/R_i)^2}{[\ln(R_o/R_i) + (k/hR_o)(R_o/R_i)]^2} = 0 \quad (3-64)$$

ریشه معادله (۳-۶۴) به صورت زیر خواهد بود:

$$(R_o/R_i)_c = k/hR_i \quad \text{یا} \quad (R_o)_c = k/h \quad (3-65)$$

که در این رابطه  $(R_o)_c$  شعاع بحرانی عایق نامیده می‌شود. با قرار دادن معادله (۳-۶۵) در معادله (۳-۶۲)، مقدار اکسترمم اتلاف حرارت از لوله به صورت زیر خواهد بود:

$$\frac{q}{2\pi k L (T_i - T_o)} = \frac{1}{1 + \ln(k/hR_i)} \quad (3-66)$$

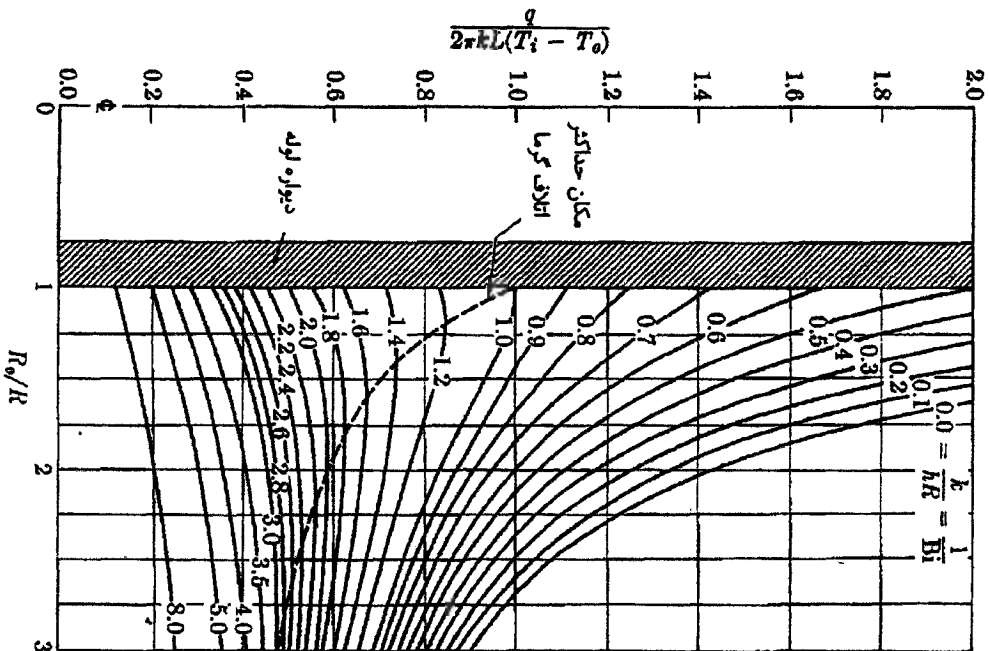
علاوه بر آن، مشتق دوم معادله (۳-۶۲) در  $(R_o/R_i)_c = k/hR_i$  به صورت زیر است:

$$\frac{d^2 q}{d(R_o/R_i)^2} \Big|_{R_o/R_i = k/hR_i} = -\frac{2\pi k L^2 (T_i - T_o)}{[1 + \ln(k/hR_i)]^2} < 0, \quad \text{مشتق دوم منفی}$$

این رابطه نشان می‌دهد که مقدار اکسترمم اتلاف حرارت حاصل از معادله (۳-۶۲)، در واقع ماکزیمم است! این نتیجه حیرت‌انگیز که نشان می‌دهد به وسیله عایق کردن اتلاف حرارتی از لوله افزایش می‌یابد با در نظر گرفتن مخرج سمت راست معادله (۳-۶۲) توجیه خواهد شد.

در شعاع بحرانی  $R_o = k/h$  مقدار حداکثر اتلاف حرارتی به دست می‌آید.





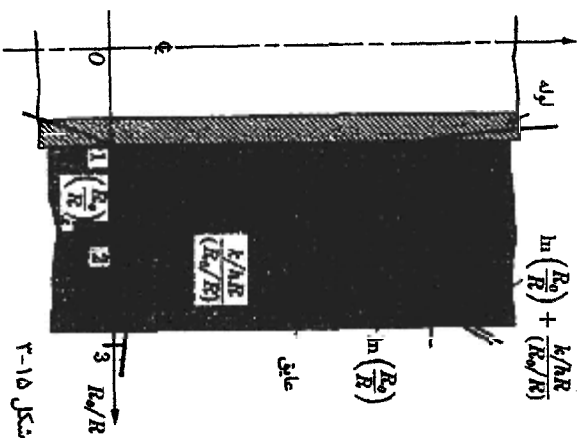
شکل ۳-۱۶

مثال ۳-۶. یک سیم الکتریکی با شعاع  $R$  به‌طور یکپارچه با پلاستیک عایق شده و دارای ضرایب هدایت حرارتی و ضریب هدایت الکتریکی و ضریب هدایت حرارتی این سیم به ترتیب  $m$  (هم  $\times$  طول) و  $k$  است. ضریب هدایت حرارتی عایق  $h$  ضریب انتقال حرارت  $h$  و هدایت محیط اطراف  $T_{\infty}$  می‌باشد. می‌خواهیم حداکثر جریانی را که می‌توان از این سیم عبور داد بدون آن‌که پلاستیک آن گرم شود به‌دست آوریم. هدایت عملیاتی مجاز  $T_{max}$  است.

انتقال حرارت هدایتی

$$\ln\left(\frac{R_0}{R}\right) + \frac{k/hR}{R_0/R}$$

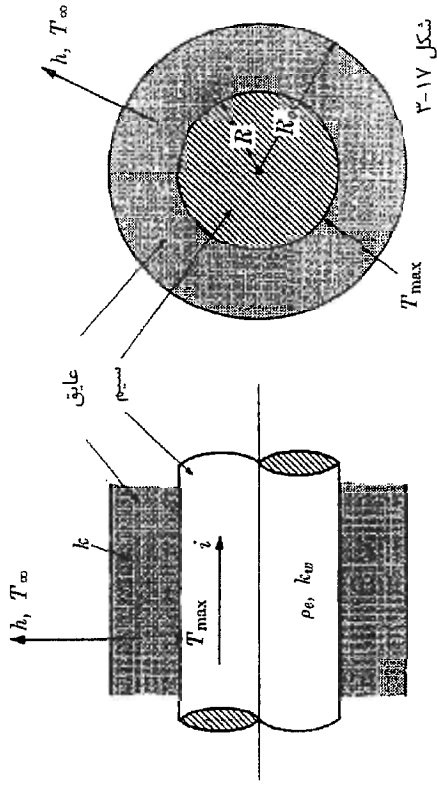
۱۴۸  
(۳-۶۸)



شکل ۳-۱۵

همان‌طور که در شکل ۳-۱۵ نشان داده شده است. تغییر در اولین جمله معادله (۳-۶۸) که مربوط به مقاومت هدایتی عایق است، به‌صورت لگاریتمی می‌باشد. در حالی که تغییر در جمله دوم، که متناسب است با مقاومت جهتی خارجی، منطقی است. بنابراین همان‌طور که در شکل ۳-۱۵ مشاهده می‌شود فرض می‌شود که مجموع دو جمله در شعاع بحرانی مطلق را داشته باشد و این نتیجه به نوبه خود حداکثر مقدار انتقال حرارتی را حاصل می‌کند. در شکل ۳-۱۶ افتلاف حرارت از اولیها در مقابل  $R_0/R$  برای مقادیر مختلف  $k/hR = 1/BI$  رسم شده است.

هر چه عایق در برابر گرما بهتر باشد یعنی رسانایی حرارتی آن کمتر باشد و هر چه عایق در برابر گرما بدتر باشد یعنی رسانایی حرارتی آن بیشتر باشد و در نتیجه در مقابل گرما بدتر باشد یعنی رسانایی حرارتی آن کمتر باشد.



شکل ۳-۱۷

از آنجایی که هدایت محوری قابل صرف نظر است، انرژی داخلی به صورت زیر خواهد بود:

$$i^2(\rho_e/\pi R^2) \quad \varphi = RI^2 \quad (3-69)$$

این انرژی تولیدی الکتریکی به ازای واحد طول سیم بوده و به صورت شعاعی توسط مقاومت هدایتی عایق و مقاومت جابه جایی محیط اطراف، از بین می رود. باید متذکر شد که مقاومت کلی مؤثر مثال ۳-۵ در این مثال نیز صادق است. بنابراین با بازآرایی معادله (۳-۶۳) و بر طبق علامت گذاری شکل ۳-۱۷ و برابر قرار دادن نتیجه با معادله (۳-۶۹) داریم:

$$i_{max}^2 \rho_e = \frac{2\pi k(T_{max}-T_{\infty})}{\pi R^2 \ln(R_0/R) + (k/hR)/(R_0/R)} \quad L=1 \quad (3-70)$$

یا مقاومت جابه جایی

$$i_{max} = \left[ \frac{2\pi^2 R^2 (k/\rho_e)(T_{max}-T_{\infty})}{\ln(R_0/R) + (k/hR)/(R_0/R)} \right]^{1/2} \quad \text{شعاع عایق}$$

در انرژی ۵۰ آمپر

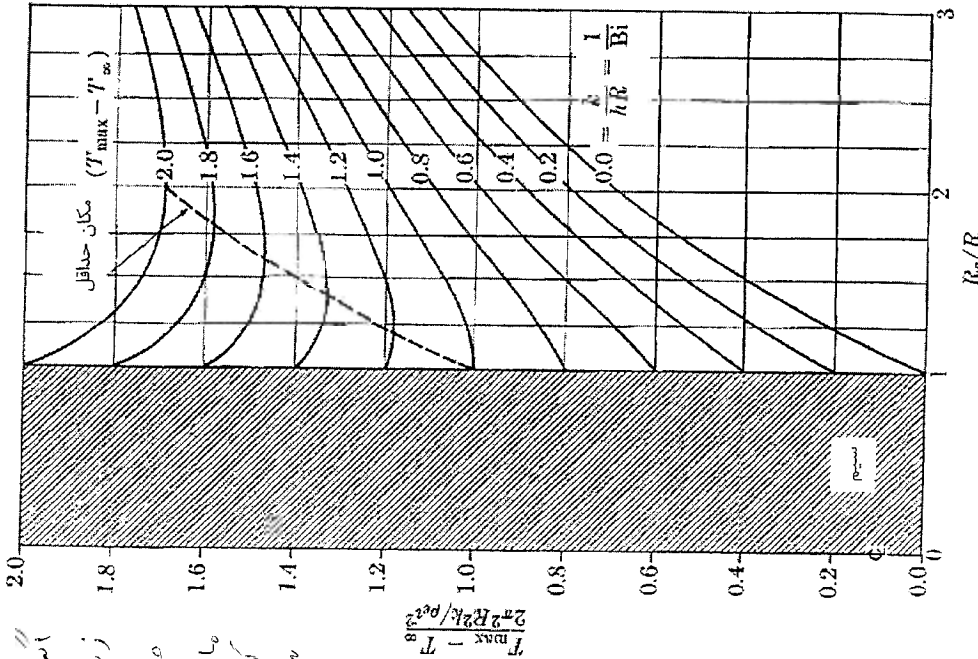
$$i_{max} = \left[ \frac{2\pi^2 R^2 (k/\rho_e)(T_{max}-T_{\infty})}{1 + \ln(k/hR)} \right]^{1/2} \quad (3-71)$$

اگر بتوانیم ضخامت عایق و در نتیجه شعاع بحرانی را تغییر دهیم خواهیم داشت:

$$i_{max} = \left[ \frac{2\pi^2 R^2 (k/\rho_e)(T_{max}-T_{\infty})}{1 + \ln(k/hR)} \right]^{1/2} \quad (3-72)$$

یعنی اختلاف باید افزایش یابد تا  $T_{max}$  باشد

$$\frac{R_0}{R} = \frac{k}{hR}$$



شکل ۳-۱۸

یک مساله با اندکی تفاوت با این مساله می تواند با تغییر در دمای سطح مشترک به عنوان تابعی از ضخامت عایق پلاستیکی برای یک جریان الکتریکی ویژه، به وجود آید این دما را می توان به سادگی با استفاده از معادله (۳-۷۰) و به صورت زیر بدست آورد:

$$\frac{T_{max}-T_{\infty}}{2\pi^2 R^2 k/\rho_e i^2} = \ln\left(\frac{R_0}{R}\right) + \frac{k/hR}{R_0/R} \quad (3-73)$$

صدا: نه میخ را طر محرم و صمد، کز

میزان  $R_0/R$  عایق  $R_0/R$  را در  $hR/k$  مساوی می کند  
 اگر عایق سرد را بپوشانیم  
 زیاد شود تا  $hR/k$   
 سطح عایق بپوشانیم  
 ما خودمان را در  $hR/k$  یاد  
 که در آن خود را با  $hR/k$   
 مشخص کردیم

$$4\pi r^2 \delta r$$

$$\int_{r_1}^{r_2} 4\pi r^2 \delta r = 4\pi u_0^m \int_{r_1}^{r_2} [1 - (r/R)^2]^2 r^2 dr = \frac{8}{15} \pi R^3 u_0^m$$

پس انرژی تحت شرایط پایا و به شکل حرارت  $q$  با گذر از توسط مقاومت هدایتی روکش و مقاومت هدایتی خارجی به محیط سرد منتقل می‌شود. بین ویژگی‌های کره و روکش به ترتیب با انتخاب پرتوی‌های ۱ و ۲ تمایز قائل می‌شویم و دمای سطح مشترک را با  $T_{12}$  نشان داده و خواهیم داشت:

$$\frac{8}{15} \pi R^3 u_0^m = q = U_0 A_0 (T_{12} - T_{\infty}), \quad (3-73)$$

که در آن  $A_0 = 4\pi R^2$  بوده و داریم:

$$\frac{1}{U_0} = \frac{1}{h_0} + \frac{1}{h_1} + \frac{1}{k_2} \frac{R_0}{R} \left( \frac{R_0}{R} - 1 \right) + \frac{1}{h_2}$$

که این رابطه از معادله (۳-۷۲) بدست می‌آید. با استفاده از مقادیر  $A_0$  و  $U_0$  می‌توانیم معادله (۳-۷۳) را به صورت زیر بازنویسی کنیم:

$$\frac{8}{15} \pi R^3 u_0^m = \frac{4\pi R^2 (T_{12} - T_{\infty})}{(R_0/k_2)(R_0/R - 1) + 1/h_1} \quad (3-74)$$

استفاده از معادله (۳-۷۵) به سادگی دمای سطح مشترک  $T_{12}$  حاصل می‌شود:

$$T_{12} - T_{\infty} = \frac{2}{15} \frac{u_0^m R^2}{k_2} \left[ 1 - \frac{1}{R_0/R} + \frac{k_2/R_0}{(R_0/R)^2} \right] \quad (3-75)$$

در نظر گرفتن یک آرایش مناسب از معادله (۳-۷۶) می‌توان دمای روکش را بر حسب  $T_{12} - T_{\infty}$  به صورت زیر بدست آورد:  $T_{12} - T_{\infty} = 3.74$  بر حسب  $T_{12} - T_{\infty}$

$$\frac{T_1(0) - T_{\infty}}{T_{12} - T_{\infty}} = U_0 \left[ \frac{R_0}{k_2} \left( \frac{R_0}{r} - 1 \right) + \frac{1}{h_1} \right], \quad R \leq r \leq R_0 \quad (3-76)$$

در اینجا، مساله دمای کره را می‌توانیم به صورت زیر فرموله کنیم:

$$\frac{d}{dr} \left( r^2 \frac{dT_1}{dr} \right) + \frac{u_0^m}{k_1} \left[ 1 - \left( \frac{r}{R} \right)^2 \right] r^2 = 0, \quad T_1(0) = T_{12}, \quad T_1(R) = T_{12} \quad (3-77)$$

حل معادله (۳-۷۸) دمای کره را با توجه به دمای سطح مشترک به صورت زیر خواهد داد:

$$\frac{T_1(0) - T_{12}}{u_0^m R^2/k_1} = \frac{7}{60} - \left( \frac{r}{R} \right)^2 \left[ \frac{1}{6} - \frac{1}{20} \left( \frac{r}{R} \right)^2 \right], \quad 0 \leq r \leq R. \quad (3-78)$$

تذکری در مورد روند دنبال شده در تعیین دمای مثال‌های ۳-۷ و ۳-۷: اگرچه هر دو مساله جزو مسائل دو منطقه‌ای هستند، ممکن است دما بدون در نظر گرفتن فرمولاسیون دو منطقه‌ای

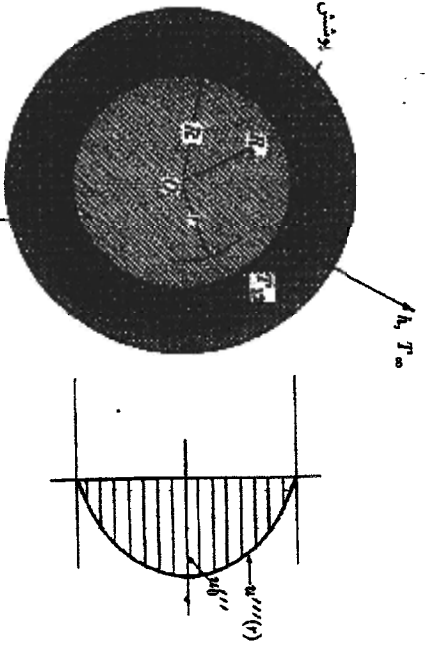
رفتار عبارت  $(R_0/R) + (k/hR)/(R_0/R)$  در شکل ۳-۱۵ رسم شده است. اکنون معادله (۳-۷۳) در مقابل  $R_0/R$  برای مقادیر مختلف از  $k/hR$  رسم می‌شود (شکل ۳-۱۸). تغییرات اینجا برعکس موارد نشان داده شده در شکل ۳-۱۶ است. ابعادلات (۳-۷۲) و (۳-۷۳) را با هم مقایسه کنیم!

نکته در مورد تفاوت بین موارد مورد نظرمان در مثال‌های ۳-۵ و ۳-۶ در مثال ۳-۵ می‌خواهیم  $q$  را در حالت ثابت بودن دماهای سیال داخلی و محیط، کاهش دهیم، اما می‌خواهیم در مثال ۳-۶ برای یک مقدار ثابت  $q$  (یا  $q$ ) و دمای ثابت محیط، توزیع دمای سیم را به دست آوریم.

مثال ۳-۷. همان سوخت یک راکتور شامل یک ماده شکافت‌پذیر کروی با شعاع  $R$  است که با یک پوسته کروی به شعاع  $R_0$  پوشیده شده است (شکل ۳-۱۹). دمای محیط سرد  $T_{\infty}$  است، و ضریب انتقال حرارت  $h$  می‌باشد. انرژی هسته‌ای داخلی تولید شده در کره را می‌توان تقریباً با یک معادله سهموی به صورت زیر نشان داد:

$$u_0^m(r) = u_0^m \left[ 1 - (r/R)^2 \right]$$

که در آن  $u_0^m$  انرژی هسته‌ای تولیدی در مرکز کره است. می‌خواهیم توزیع دما را در همان سوختی را بدست آوریم.



شکل ۳-۱۹

طی یک فرمولاسیون ساده، به مسائلی دو منطقه‌ای می‌رسیم. اگرچه فرمولاسیون و حل آن‌ها رها کرده و به خواننده واگذار می‌کنیم، اما مساله را به صورت زیر بررسی می‌کنیم. کل انرژی داخلی تولید شده در کره به صورت زیر است:

به دست آید، زیرا در هر دو مورد شار حرارتی شعاعی برای انرژی داخلی تولید شده برقرار می‌باشد. بنابراین، با ضرب این شار در مجموع مقاومت‌های جابه‌جایی و هدایتی مناسب، می‌توانیم دمای نسبی پلاستیک یا روکش را با اطلاع از دمای محیط اطراف یا محیط سرد به دست آوریم. سپس دمای سیم یا آلما ن حرارتی را بر حسب دمای سطح مشترک پلاستیک یا روکش با دنبال کردن مراحل متداول کار، به دست می‌آوریم. این روش را می‌توان به عنوان روش دیگری برای حل مساله ۳-۲ نیز به کار برد.

دیگر جنبه مساله ۳-۷، بی‌خطر بودن عملیات راکتور است، که این امر به طول‌کلی با تعیین حداکثر دمای مجاز سوخت تعیین می‌شود. ممکن است برای مقادیر ویژه  $u^m$  و  $R$ ، اثر ضخامت روکش روی این دما در حالت کروی مهم‌تر از حالت استوانه‌ای باشد. با بازاریابی معادله (۳-۲۵) برای این هدف خواهیم داشت:

$$\theta = \frac{T_{12} - T_o}{2u_o^m R^2 / 15k_2} = 1 - \frac{1}{R_o/R} + \frac{k_2/hR}{(R_o/R)^2} \quad (3-80)$$

تنها اکستریم مهم فیزیکی  $A$  به صورت زیر به دست می‌آید.

$$\frac{d\theta}{d(R_o/R)} = \frac{1}{(R_o/R)^2} + \frac{2k_2/hR}{(R_o/R)^3}$$

که شعاع بحرانی روکش به صورت زیر به دست می‌آید.

$$(R_o/R)_c = 2(k_2/hR) \quad \text{یا} \quad (R_o)_c = 2k_2/h \quad (3-81)$$

می‌توان نشان داد که برای  $R_o = (R_o)_c$  عبارت  $d^2\theta/d(R_o/R)^2 > 0$  حاصل می‌شود. بنابراین فرض می‌شود که  $T_{12}$  حداقل مقدار ممکن خود برای یک مقدار ویژه  $R$  داراست. وقتی که شعاع خارجی روکش متناسب با شعاع بحرانی باشد. کاملاً واضح است که اگر این حداقل، قابل دستیابی باشد، توزیع دمای حداقل در آلما ن سوختی را نتیجه می‌دهد.

مثبت

### ۳-۴. اصل جمع پذیری<sup>۲</sup>

مسائل خطی، نظیر مسائل هدایت با ویژگی‌های ثابت، اغلب ممکن است با استفاده از اصل جمع‌پذیری به تعدادی از مسائل ساده‌تر تبدیل شود. البته مسائل یک بعدی نیازی به استفاده از

۱- در حقیقت ضخامت روکش با توجه به ملاحظات امنی اندازه‌گیری می‌شود نه دمای سوخت. بخشی از مساله که مورد مطالعه است گر چه برای هدف ما غیرواقعیانه است ولی اندازه‌گیری شعاع بحرانی را برای هندسه کروی تشریح می‌کند.

اصل جمع‌پذیری ندارند و نمی‌توان اهمیت استفاده از این اصل را در مورد آن‌ها نشان داد. به هر حال در اینجا، هدف، آشنا ساختن خواننده با این روش است و استفاده از آن فقط بعضی اوقات برای مسائل یک بعدی پایا مناسب است، اما برای مسائل چندبعدی یا مسائل ناپایا لازم و ضروری است (این امر در بخش ۳-۷ بررسی خواهد شد).

ابتدا می‌خواهیم یک سری از مفاهیم ریاضی لازم را معرفی نماییم. یک معادله دیفرانسیل خطی یا یک شرط مرزی خطی همگن است اگر یک تابع  $y(x)$  یا  $Cy(x)$  در آن صدق کند، که  $C$  یک ثابت اختیاری است. به عبارت دیگر، یک معادله دیفرانسیل خطی وقتی همگن است که همه عبارتهایش یا شامل یک تابع نامعلوم و یا شامل یکی از مشتقات آن تابع نامعلوم باشد. به طور مشابه یک شرط مرزی وقتی همگن است که یک تابع نامعلوم یا مشتقات آن، یا هر ترکیب خطی از این تابع و مشتقاتش، در شرط صدق کنند. بنابراین به عنوان مثال داریم:

$$\frac{d^2y}{dx^2} + f_1(x) \frac{dy}{dx} + f_2(x)y = f_3(x) \quad (3-82)$$

که معادله فوق یک معادله دیفرانسیل خطی غیرهمگن مرتبه دوم است و معادله زیر یک معادله دیفرانسیل خطی همگن مرتبه دوم است:

$$\frac{d^2y}{dx^2} + f_1(x) \frac{dy}{dx} + f_2(x)y = 0 \quad (3-83)$$

در شرط مرزی  $a = a$  داریم:

$$y(a) = \alpha, \quad y'(a) = \beta, \quad \text{یا} \quad y'(a) = \gamma y(a) = \delta$$

که این روابط نشان‌دهنده شرط مرزی خطی غیرهمگن است در حالی که برای شرط مرزی خطی همگن داریم:

$$y(a) = 0, \quad y'(a) = 0, \quad \text{یا} \quad y'(a) + \gamma y(a) = 0$$

حل کلی معادله (۳-۸۲) از جمع سه پاسخ خصوصی به صورت زیر نوشته می‌شود:

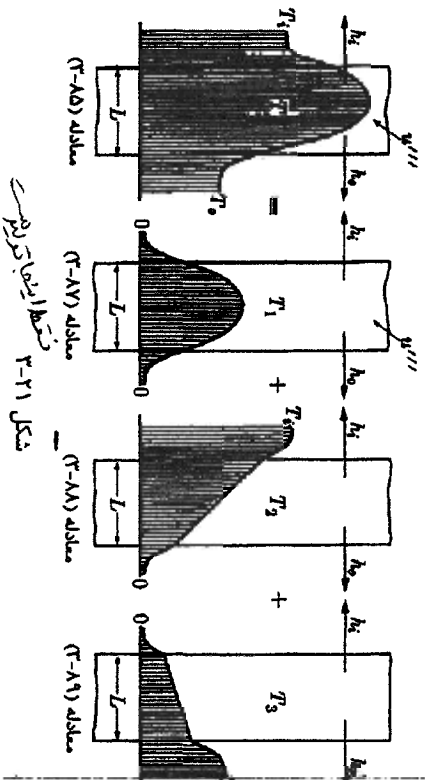
$$y = y_0 + C_1 y_1 + C_2 y_2, \quad (3-84)$$

که اولین عبارت سمت راست متناظر با جواب خصوصی معادله غیرهمگن است و دیگر عبارات جواب‌های خصوصی معادله همگن (که معمولاً به جواب‌های خصوصی معادله همگن، جواب عمومی گفته می‌شود. م. (۳-۸۳) می‌باشند. ثابت  $C_1$  و  $C_2$  را با استفاده از شرایط مرزی مساله می‌توان به دست آورد. دلیل این که معادله (۳-۸۴) جواب معادله (۳-۸۲) است را می‌توان به سادگی با یک جایگزینی مستقیم نشان داد.

$$\frac{d^2 T_1}{dx^2} + \frac{u'''}{k} = 0, \quad + k \frac{dT_1(0)}{dx} = h_i T_1(0), \quad -k \frac{dT_1(L)}{dx} = h_o T_1(L); \quad (3-87)$$

$$\frac{d^2 T_2}{dx^2} = 0, \quad + k \frac{dT_2(0)}{dx} = h_i [T_2(0) - T_1], \quad -k \frac{dT_2(L)}{dx} = h_o T_2(L); \quad (3-88)$$

$$\frac{d^2 T_3}{dx^2} = 0, \quad + k \frac{dT_3(0)}{dx} = h_i T_3(0), \quad -k \frac{dT_3(L)}{dx} = h_o [T_3(L) - T_0] \quad (3-89)$$



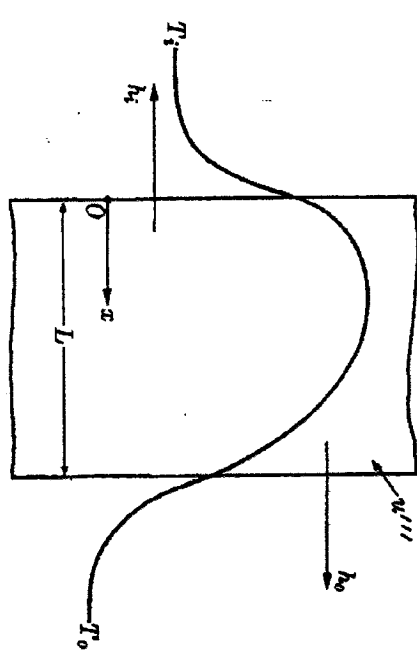
شکل ۳-۲۱ - مشخصه‌های دما

حت اصل جمع‌پذیری به سادگی با جمع کردن معادلات (۳-۸۷)، (۳-۸۸) و (۳-۸۹) در کنار یکدیگر نظیر آنچه در معادله (۳-۸۶) بیان شده است، نشان داده می‌شود. نتیجه این جمع کردن معادله (۳-۸۵) می‌باشد.

بازبینی معادلات (۳-۸۵)، (۳-۸۷)، (۳-۸۸) و (۳-۸۹) دو حقیقت مهم را آشکار می‌کند: (i) همه جمع‌پذیری روی همگن بودن تاثیر می‌گذارد اما روی نوع معادله دینامیک یا شرایط مرزی تاثیر است؛ (ii) معادلاتی که از ترکیب یک معادله دینامیک با استناده با اصل جمع‌پذیری اصل می‌شوند دارای مختصات یکسانی هستند.

گذاشته از این، اصل جمع‌پذیری در انتخاب یک دمای مرجع نیز مورد استفاده قرار می‌گیرد این جانب یک انتخاب کاملاً اختیاری است. به عنوان مثال، در مساله قبلی دمای مرجع را صفر در نظر گرفتیم. البته مطلوب‌تر است که دما بالاتر از دمای هر کدام از محیطها اندازه‌گیری شوند. بنابراین:

اصل جمع‌پذیری را که ما از آن استفاده می‌کنیم به جای حل مساله با فرمولاسیون مساله سروکار داد. بنابراین با استفاده از این اصل، فرمولاسیون اصلی مساله به صورت مجموعی از فرمولاسیون مسائل ساده‌تر نوشته می‌شود. تعداد این مسائل ساده‌تر برابر تعداد نامعکس‌های موجود در فرمولاسیون مساله اصلی است. دوباره مثال ۳-۱ را مدنظر قرار دهیم، یک صفحه صاف به ضخامت  $L$  دو ناحیه با دمای  $T_0$  و  $T_1$  و ضرایب انتقال حرارت  $h_o$  و  $h_i$  را از هم جدا می‌کند (شکل ۳-۲۰). به‌جای پیدا کردن مقدار  $T_0$  مناسب، که تولید انرژی داخلی به منظور حذف اتلاف حرارتی از محیطی با دمای بیشتر می‌باشد، می‌خواهیم دمای صفحه مربوط به یک  $T$  اختیاری را به‌دست آوریم.



شکل ۳-۲۰

پس فرمولاسیون مساله به‌صورت زیر می‌باشد:

$$\frac{d^2 T}{dx^2} + \frac{u'''}{k} = 0, \quad + k \frac{dT(0)}{dx} = h_i [T(0) - T_1], \quad -k \frac{dT(L)}{dx} = h_o [T(L) - T_0]. \quad (3-85)$$

معادله (۳-۸۵) دارای سه پتانسیل است،  $T_0$ ،  $T_1$  و  $T_0$  که باعث تغییر توزیع دمای در صفحه می‌شوند. بنابراین مساله به سه صورت زیر جداسازی می‌شود:

$$T = T_1 + T_2 + T_3, \quad (3-86)$$

که  $T_1$ ،  $T_2$  و  $T_3$  در معادلات زیر صدق می‌کنند:

۱- در مسائلی که به اصطلاح فیزیکی اهمیت دارند، به جای ویژه نامعکس از ویژه پتانسیل استفاده می‌شود. به عنوان مثال، پتانسیل حرارتی، پتانسیل الکتریکی و غیره.

$$T(x) = T_0 + \theta(x) \quad \text{یا} \quad T(x) = T_i + \psi(x)$$

به عنوان مثال با استفاده از معادله اول  $(T(x) = T_0 + \theta(x))$  خواهیم داشت:

$$\frac{d^2\theta}{dx^2} + \frac{u''}{k} = 0, \quad + k \frac{d\theta(0)}{dx} = h_i[\theta(0) - \theta_i], \quad - k \frac{d\theta(L)}{dx} = h_o\theta(L), \quad (3-90)$$

که در آن  $\theta_i = T_i - T_0$  می‌باشد. فرمولاسیون جدید، یعنی معادله (3-90)، تنها دو ناهمگی دارد. بنابراین، می‌تواند تبدیل به دو مساله جداگانه شود نه سه مساله.

3-5. جامدات ناهمگن (ضریب هدایت حرارتی متغیر) *نیز*  
 استفاده از جامدات ناهمگن به علت کاربرد آن در محدوده وسیعی از دما، در تکنولوژی امروزه اهمیت روزافزون پیدا کرده است به عنوان مثال استفاده در المنت‌های سوختی درون راکتور، اجزاء وسایل نقلیه فضایی، انجماد در ریخته‌گری و غیره. در این بخش یک روش کلی حل برای مسائل ناپایای سه‌بعدی در جامدات ناهمگن به‌دست می‌آید.

اکنون دوباره به معادله حرارت هدایتی در جامدات غیرهمگن توجه می‌کنیم:

$$\rho C \frac{dT}{dt} = \nabla \cdot (k \nabla T) + u'''. \quad (3-88)$$

اگر  $k, c$  و  $\rho$  تنها تابعی از مکان باشند، معادله (3-88) یک معادله دیفرانسیلی خطی با ضرایب متغیر خواهد شد. حل چنین معادلاتی نیاز به ریاضی پیچیده‌ای ندارد (مساله 3-37 ملاحظه شود). اگر  $k$  و  $c$  وابسته به دما، اما مستقل از مکان باشند در این صورت معادله (3-88) غیرخطی خواهد شد و به راحتی حل نمی‌شود. (آیا وابستگی دمایی  $u'''$  پیچیدگی برای مساله ایجاد خواهد کرد؟) معمولاً، روش‌های عددی برای حل این مسائل استفاده می‌شود. تعدادی از روش‌های تحلیلی اکنون برای حل این مسائل موجود است. یکی از آن‌ها روش کرشلف است که تا حدود زیادی یک روش کلی است در زیر تشریح شده است.

با تعریف یک دمای جدید  $\theta$  که توسط تبدیل کرشلف به دمای مساله،  $T$  مرتبط می‌شود، معادله (3-88) به یک معادله دیفرانسیل خطی تبدیل خواهد شد،

$$\theta = \frac{1}{k_R} \int_{T_R}^T k(T) dT, \quad (3-91)$$

تبدیل کرشلف،

که در آن  $T_R$  یک دمای مرجع مناسب است و  $k(T_R) = k_R$  و  $T_R$  تنها برای تامين بعد دمایی  $\theta$  و معلوم کردن مقدار آن تعریف می‌شوند. از معادله (3-91) خواهیم داشت:

$$\frac{d\theta}{dt} = \frac{k}{k_R} \frac{dT}{dt} \quad (3-92)$$

و

$$\nabla \theta = \frac{k}{k_R} \nabla T. \quad (3-93)$$

با قرار دادن معادله (3-92) یا (3-93) در معادله (3-88) خواهیم داشت:

$$\frac{d\theta}{dt} = a \nabla^2 \theta + \left(\frac{a}{k_R}\right) u''', \quad (3-94)$$

که در آن  $a$  و  $u'''$  به عنوان تابعی از متغیر جدید  $\theta$  تعریف می‌شوند. برای بسیاری از جامدات وابستگی دمایی  $a$  در مقایسه با وابستگی دمایی  $k$  قابل صرف‌نظر است. در چنین مواردی، اگر  $u'''$  مستقل از  $T$  باشد معادله (3-94) با معادله (3-91) یکسان خواهد شد به‌جز برای ضرایب مختلف اما ثابت  $u'''$ . بنابراین جواب به‌دست آمده برای جامدات همگن می‌تواند برای جامدات غیرهمگن مورد استفاده قرار گیرد، اگر  $T$  با  $\rho C$  و  $a$  یا  $k_R/a$  جایگزین شوند و البته به شرطی که ضرایب مرزی برحسب  $T$  یا  $h(T_\sigma - T_\infty)$  باشند، هنگامی که ضرایب مرزی شامل عبارت جابه‌جایی یعنی  $\partial T / \partial n$  باشند، روش کرشلف قابل استفاده نیست. مثال یک بعدی زیر طرز استفاده از این روش را نشان می‌دهد.

مثال 3-8. یک مایع به‌وسیله یک گرمکن الکتریکی مسطح با ضخامت  $2L$  جوشانده می‌شود. انرژی داخلی  $u'''$  به‌صورت یکنواخت توسط الکتریسیته تولید می‌شود. دمای جوش مایع  $T_\infty$  است (شکل 3-22) می‌خواهیم دمای پایای

$$k = k(T); \quad (i)$$

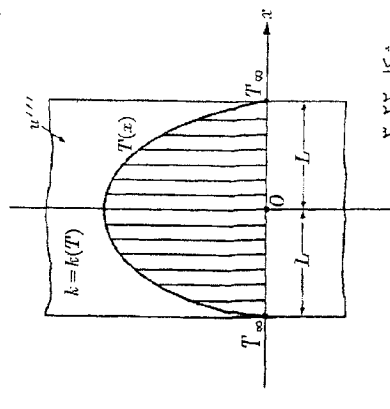
$$k = k_R(1 + \beta T); \quad (ii)$$

فرمولاسیون مساله به صورت زیر است.

$$\frac{d}{dx} \left( k \frac{dT}{dx} \right) + u''' = 0, \quad (3-95)$$

$$\frac{dT(0)}{dx} = 0,$$

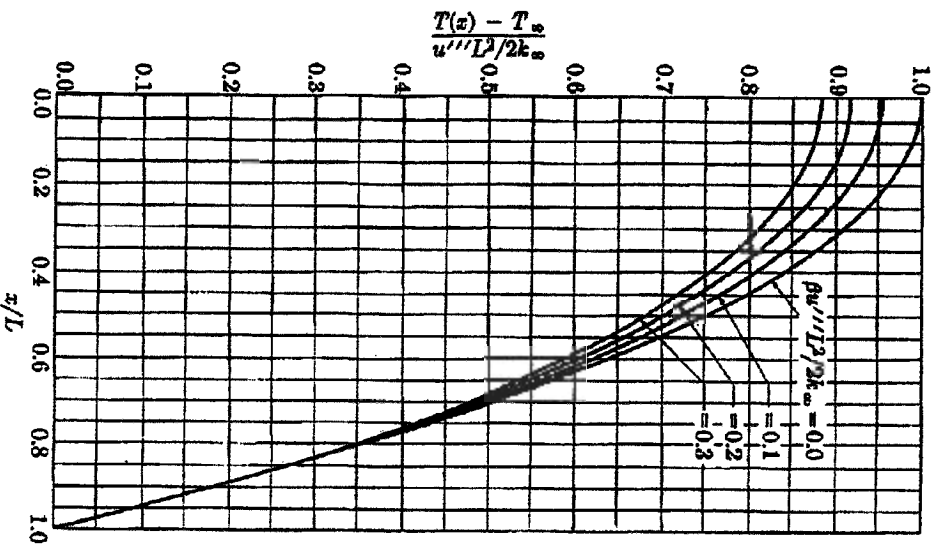
$$T(L) = T_\infty$$



شکل 3-22

با استفاده از شکل یک بعدی معادله (3-93) خواهیم داشت.

نمودارها از معادله (۳-۱۰۲) برای مقادیر مختلف  $\beta u^3 l^2 / 2kR$  محاسبه شده و به صورت تالیبی از انتهای نشان داده شده است.



شکل ۳-۲۳

۳-۶ حل سری‌های توانی، توابع بسل  
در بخش ۳-۷ به شرح یک سری از مسائل یک‌بعدی به‌هم سطح گسترش‌یافته (بردها، گیره‌ها، مهره‌ها) خواهیم پرداخت. هنگامی که مقطع عرضی یک سطح گسترش‌یافته متغیر باشد،

$$\frac{d\theta}{dx} = \frac{k}{k_R} \frac{dT}{dx}$$

می‌توانیم معادله (۳-۹۵) را به صورت زیر بنویسیم:

$$\frac{d^2\theta}{dx^2} + \frac{u^3}{k_R} \theta = 0, \quad \theta(L) = \theta_{\infty}, \quad (3-96)$$

که طبق معادله (۳-۹۱):

$$\theta_{\infty} = \frac{1}{k_R} \int_R^{\infty} k(T) dT. \quad (3-97)$$

حل معادله (۳-۹۶) به این صورت خواهد بود:

$$\frac{\theta(L) - \theta_{\infty}}{u^3 l^2 / 2k_R} = 1 - \left(\frac{x}{L}\right)^2. \quad (3-98)$$

با قرار دادن معادله (۳-۹۷) و (۳-۹۸) در معادله (۳-۹۸) در معادله (۳-۹۸) به دست می‌آید:

$$\frac{(1/k_R) \int_R^{\infty} k(T) dT}{u^3 l^2 / 2k_R} = 1 - \left(\frac{x}{L}\right)^2. \quad (3-99)$$

برای حالت‌های خاص  $k = k_R(1 + \beta T)$  به صورت زیر خواهد بود:

$$\frac{[T(x) - T_{\infty}] + (\beta/2)[T^2(x) - T_{\infty}^2]}{u^3 l^2 / 2k_R} = 1 - \left(\frac{x}{L}\right)^2. \quad (3-100)$$

با حل معادله (۳-۱۰۰) برای  $T$  و نادیده گرفتن ریشه‌های که به لحاظ فیزیکی بی‌معنی است، دمای صفحه را به دست می‌آوریم:

$$\frac{T(x) - T_{\infty}}{u^3 l^2 / 2k_R} = \left(\frac{1 + \beta T_{\infty}}{\beta u^3 l^2 / 2k_R}\right) \left[1 - \left(\frac{x}{L}\right)^2\right] \times \left[-1 + \sqrt{1 + \left(\frac{2}{1 + \beta T_{\infty}}\right) \left(\frac{\beta u^3 l^2 / 2k_R}{1 + \beta T_{\infty}}\right) \left[1 - \left(\frac{x}{L}\right)^2\right]}\right]. \quad (3-101)$$

هنگامی که  $\beta \rightarrow 0$ ، معادله (۳-۱۰۱) به دمای ثابت  $k$  میل می‌کند.

اگر دمای مرجع  $T_R$  در تبدیل کرشیف، دمای محیط  $T_{\infty}$  در نظر گرفته شود، معادله (۳-۱۰۱) به معادله زیر تبدیل می‌شود:

$$\frac{T(x) - T_{\infty}}{u^3 l^2 / 2k_{\infty}} = \left(\frac{1}{\beta u^3 l^2 / 2k_{\infty}}\right) \left[-1 + \sqrt{1 + 2 \left(\frac{\beta u^3 l^2}{2k_{\infty}}\right) \left[1 - \left(\frac{x}{L}\right)^2\right]}\right]. \quad (3-102)$$

معادله فوق از قرار دادن  $\beta T_{\infty} = 0$  در معادله (۳-۱۰۱) و استفاده از  $k_R = k_{\infty}$  به دست آمده است. در شکل ۳-۲۳ اثرات ضریب هدایت خطی روی دمای صفحه نشان داده شده که این

$$\begin{aligned} a_3 &= -\frac{1}{6}a_1, \\ a_4 &= -\frac{1}{12}a_2 = \frac{1}{24}a_0, \\ a_5 &= -\frac{1}{20}a_3 = \frac{1}{120}a_1, \\ &\vdots \end{aligned}$$

با قرار دادن این مقادیر در معادله (۳-۱۰۵)، حل معادله (۳-۱۰۲) را به صورت زیر به دست می آوریم.

$$y(x) = a_0(1 - x^2/2 + x^4/24 - \dots) + a_1(x - x^3/6 + x^5/120 - \dots),$$

که به صورت زیر نیز قابل بیان است.

$$y(x) = a_0 \sum_{k=0}^{\infty} (-1)^k \frac{x^{2k}}{(2k)!} + a_1 \sum_{k=0}^{\infty} (-1)^k \frac{x^{2k+1}}{(2k+1)!} \quad (3-106)$$

دو سری مشاهده شده در معادله فوق به ترتیب بسط مکاورن  $\cos x$  و  $\sin x$  می باشد از این رو معادله (۳-۱۰۶) به صورت زیر خواهد بود.

$$y(x) = a_0 \cos x + a_1 \sin x. \quad (3-107)$$

واضح است که رابطه (۳-۱۰۷) به وسیله روش کلاسیک و با در نظر گرفتن  $y = e^{tx}$  به دست می آید، که با قرار دادن  $y = e^{tx}$  در معادله دیفرانسیل (۳-۱۰۳)، معادله مشخصه به دست می آید و از معادله مشخصه محاسبه می شود.

سپس ما به بررسی معادله دیفرانسیل درجه دوم خطی با ضرایب متغیر، یعنی معادله بسل می پردازیم.

$$x \frac{d}{dx} \left( x \frac{dy}{dx} \right) + (m^2 x^2 - v^2) y = 0, \quad \text{مما رلسیل اهلل} \quad (3-108)$$

که در آن  $m$  یک پارامتر است و  $v$  می تواند صفر، عدد کسری یا عدد صحیح باشد.

حل معادله (۳-۱۰۸) می تواند همانند معادله (۳-۱۰۳) با استفاده از سری های توانی به دست آید. نتیجه به این صورت است:

$$y(x) = a_0 I_v(m x) + a_1 Y_v(m x). \quad \text{عجیب، مما رلسیل اهلل} \quad (3-109)$$

در معادله (۳-۱۰۹)،

$$I_v(m x) = \sum_{k=0}^{\infty} (-1)^k \frac{(m x/2)^{2k+v}}{k! \Gamma(k+v+1)} \quad (3-110)$$

فرمولاسیون مساله به یک معادله دیفرانسیل خطی درجه دوم با ضرایب متغیر تبدیل می شود. این معادله دیفرانسیل یک شکل از معادله بسل است، ولی در موارد استثنایی یک معادله خاص به نام معادله همبند حاصل می شود. روش های حل مناسب برای معادلات دیفرانسیل درجه دوم خطی با ضرایب ثابت، برای معادلات با ضرایب متغیر مناسب نمی باشد. همچنین می توانیم معادلات با ضرایب متغیر را که دارای جواب قابل تعریف در یک بازه مناسب هستند، برحسب سری های توانی داشته باشیم. بنابراین، این بخش به مرور مختصر حل سری های توانی از معادلات بسل و تشریح خصوصیات معادلات بسل اختصاص دارد. پیش از مرور می خواهیم ابتدا به بررسی جزئیات سری های توانی بپردازیم.

یک سری نامحدود به صورت زیر:

$$y(x) = a_0 + a_1(x - x_0) + a_2(x - x_0)^2 + \dots = \sum_{k=0}^{\infty} a_k(x - x_0)^k$$

این عبارت بسط سری توانی  $y(x)$  در نزدیکی  $x = x_0$  نامیده می شود و به صورت زیر تعریف می شود.

$$y(x) = \lim_{k \rightarrow \infty} \sum_{k=0}^k a_k(x - x_0)^k.$$

برای بازه ای از  $x$  که حد بالا موجود است سری همگرا خوانده می شود. خواننده می تواند برای مطالعه بیشتر همگرایی سری های توانی، به کتاب های معادلات دیفرانسیل مراجعه کند.

حال می خواهیم به بررسی روش حل سری های توانی بپردازیم. از آنجایی که این روش برای معادلات دیفرانسیل خطی با ضرایب ثابت و متغیر قابل کاربرد است، می توان آن را به صورت معادله دیفرانسیل ساده با ضرایب ثابت زیر نشان داد:

$$\frac{d^2 y}{dx^2} + y = 0. \quad (3-103)$$

سری توانی را به شکل زیر در نظر می گیریم:

$$y(x) = a_0 + a_1 x + a_2 x^2 + \dots = \sum_{k=0}^{\infty} a_k x^k, \quad (3-104)$$

که این معادله در بازه ای شامل  $x = 0$  همگرا است. با قرار دادن معادله (۳-۱۰۴) در معادله (۳-۱۰۳) خواهیم داشت.

$$(a_0 + 2a_2) + (a_1 + 6a_3)x + (a_2 + 12a_4)x^2 + \dots = 0. \quad (3-105)$$

معادله (۳-۱۰۵) در بازه ای از  $x$  که ضرایب تمام توان های  $x$  به طور مستقل حذف می شوند، معتبر است. نتایج به صورت زیر می باشد:

$$\begin{aligned} a_2 &= -\frac{1}{2}a_0, & y' &= a_1 + 2a_3x + 3a_5x^2 + \dots \\ & & y'' &= 2a_2 + 6a_4x + \dots \end{aligned}$$



۱۶۵

فصل ۳- مسائل یک بعدی پایه توابع بسل

$$(3-115) \quad x \frac{d}{dx} \left( x \frac{dy}{dx} \right) - (m^2 x^2 + v^2) y = 0. \quad \text{مطابق رابطه اصل ۳-۱۰۷}$$

پیرسسی همان نشان می‌دهد که با جایگزینی  $x$  با  $ix$  معادله  $(3-115)$  تبدیل به معادله  $(3-108)$  می‌شود. از این‌رو حل معادله  $(3-115)$  به سرعت با قرار دادن  $ix$  به جلی  $x$  در رابطه  $(3-109)$  به‌دست می‌آید. سپس خواهیم داشت:

$$(3-116) \quad y(x) = a_0 Y_0(imx) + a_1 Y_0(imx).$$

و در نتیجه طبق معادله  $(3-110)$  خواهیم داشت:

$$(3-117) \quad J_0(imx) = \sum_{k=0}^{\infty} (-1)^k \frac{(mx/2)^{2k+v}}{\Gamma(k+v+1)} = i^v \sum_{k=0}^{\infty} \frac{(mx/2)^{2k+v}}{\Gamma(k+v+1)}.$$

ولی به جلی استفاده از معادله  $(3-117)$  به عنوان حل کلی معادله  $(3-115)$  متناظر است که تابع  $J_0(imx)$  را با عبارت  $J_0(imx)$  به عنوان جواب ویژه اول جایگزین کنیم که به‌صورت زیر تعریف می‌شود:

$$(3-118) \quad I_0(imx) = \sum_{k=0}^{\infty} \frac{(mx/2)^{2k+v}}{\Gamma(k+v+1)}.$$

مقایسه روابط  $3-117$  و  $3-118$  رابطه زیر را نتیجه می‌دهد:

$$(3-119) \quad I_0(imx) = i^v J_0(imx).$$

اگر  $v$  عدد صحیح نباشد،  $I_0(imx)$  مستقل  $J_0(imx)$  می‌باشد و بنابراین جواره ویژه دیگر معادله  $(3-115)$  خواهد بود. جواب کامل را می‌توان به‌صورت ترکیب خطی از  $I_0(imx)$  و  $J_0(imx)$  نوشت. اما برای به‌دست آوردن جواب ویژه دوم مناسب برای تمام مقادیر  $v$  خواهیم داشت:

$$(3-120) \quad K_0(imx) = \frac{\pi [I_0(imx) - J_0(imx)]}{\sin v\pi},$$

بنابراین:

$$\lim_{m \rightarrow \infty} K_0(imx) \rightarrow K_n(mx),$$

که در آن  $n$  یک عدد صحیح است. با این تعریف:

$$K_0(mx) = (-1)^{n+1} \left( \ln \frac{mx}{2} + \gamma \right) I_n(mx)$$

$$(3-121) \quad \begin{aligned} & + \frac{1}{2} \sum_{k=0}^{n-1} (-1)^k \frac{(n-k-1)!}{k!} \left( \frac{mx}{2} \right)^{2k-n} \\ & + \frac{1}{2} (-1)^n \sum_{k=0}^{\infty} [\varphi(k) + \varphi(k+n)] \frac{(mx/2)^{2k+n}}{\Gamma(n+k)}. \end{aligned}$$

انتقال حرارت هدایتی

۱۶۴

$$(3-111) \quad Y_0(mx) = \frac{(\cos v\pi) J_0(mx) - J_0(imx)}{\sin v\pi},$$

که

$$(3-112) \quad J_0(imx) = \sum_{k=0}^{\infty} (-1)^k \frac{(mx/2)^{2k-v}}{\Gamma(k-v+1)}.$$

تابع ظاهر شده در مخرج معادله  $(3-110)$  و  $(3-112)$  معروف به تابع گاما است که برای اعداد صحیح به‌صورت زیر تعریف می‌شود:

$$\Gamma(n+1) = n! \quad \Gamma(1) = 0! = 1$$

و برای اعداد اعشاری بدین صورت می‌باشد:

$$\Gamma(v) \Gamma(n+1) = \pi / \sin v\pi, \quad \Gamma\left(\frac{1}{2}\right) = \pi^{1/2}$$

اگر  $v$  عدد صحیح نباشد،  $J_0(imx)$  و  $J_0(mx)$  جواب‌های مستقل معادلات  $(3-108)$  خواهند بود. اما اگر  $v$  یک عدد صحیح باشد، که به آن  $n$  می‌گویند، خواهیم داشت:

$$(3-113) \quad I_n(imx) = (-1)^n J_{-n}(mx). \quad \checkmark$$

برای به‌دست آوردن پاسخ دوم معادله  $(3-108)$  که برای تمام مقادیر  $v$  تعریف شده است، معادله  $(3-111)$  به‌صورت زیر تشریح می‌شود:

$$\lim_{m \rightarrow \infty} Y_0(mx) \rightarrow Y_n(mx),$$

که

$$(3-114) \quad \begin{aligned} n Y_0(mx) &= 2 \left( \ln \frac{mx}{2} + \gamma \right) J_n(mx) - \sum_{k=0}^{n-1} \frac{(n-k-1)!}{k!} \left( \frac{mx}{2} \right)^{2k-n} \\ & + \sum_{k=0}^{\infty} (-1)^{k+1} [\varphi(k) + \varphi(k+n)] \frac{(mx/2)^{2k+v}}{\Gamma(n+k)}. \end{aligned}$$

و

$$\varphi(k) = \sum_{m=1}^k \frac{1}{m}, \quad \varphi(0) = 0, \quad \gamma = 0.5772 \dots$$

تابع  $J_0(mx)$  به تابع بسل نوع اول از درجه  $v$  و تابع  $J_0(imx)$  به تابع بسل نوع دوم از درجه  $v$  معروف است.

معادله زیر که مرتبط با معادله  $(3-108)$  است معادله بسل اصلاح‌شده نام دارد.

انتقال حرارت هدایتی

که در آن مقادیر  $\varphi(k)$  و  $\gamma$  همان مقادیری است که در معادله (۳-۱۱۴) داده شده است.

حال می‌خواهیم حل کلی معادله (۳-۱۱۵) را به صورت دیگری بنویسیم:

$$y(x) = a_0 I_0(mx) + a_1 K_0(mx). \quad (3-112)$$

تابع  $I_0(mx)$  تابع بسل اصلاح‌شده نوع اول از درجه  $\nu$  و تابع  $K_0(mx)$  تابع بسل اصلاح‌شده نوع دوم در درجه  $\nu$  نامیده می‌شود.

جداول زیادی از توابع بسل و توابع بسل اصلاح‌شده تنظیم شده است. خواننده می‌تواند برای یافتن حل عددی به این جدول مراجعه نماید (به علت تعدد مقالات در این مورد مرجع خاصی در اینجا پیشنهاد نشده است).

حال می‌خواهیم حل معادله دیفرانسیل به شکل کلی زیر را بیان نماییم:

$$x^2 \frac{d^2 y}{dx^2} + ax \frac{dy}{dx} + b^2 x^2 y = 0 \quad (3-123)$$

که می‌توان آن را به صورت توابع بسل نیز بیان نمود. ابتدا متغیر وابسته را به صورت  $z = x^\nu y$  جایگزین کرده و معادله (۳-۱۲۳) را بازاری می‌کنیم:

$$x^\nu \frac{d^2 z}{dx^2} + (a + 2\nu)x^{\nu-1} \frac{dz}{dx} + \{b^2 x^\nu + [(a-1)\nu + \nu^2]x^{\nu-2}\}z = 0.$$

حال با در نظر گرفتن  $\nu$  به طوری که  $1 + 2\nu = a + 2\nu$  باشد، و تقسیم هر کدام از عبارات بر  $x^{\nu-2}$  به رابطه زیر می‌رسیم:

$$x \frac{d}{dx} \left( x \frac{dz}{dx} \right) + (b^2 x^2 - \nu^2)z = 0, \quad (3-124)$$

که مشابه معادله (۳-۱۰۸) می‌باشد. بنابراین، اگر جواب معادله (۳-۱۲۴)  $Z_0(bx)$  باشد، حل معادله (۳-۱۲۳) به این صورت خواهد بود:

$$y(x) = x^\nu Z_0(bx), \quad (3-125)$$

که در آن  $Z_0$  برای نمایش کلی توابع بسل از درجه  $\nu$  استفاده شده است که  $(1-a)/2 = \nu$  می‌باشد.

در انتها، به بررسی معادله دیفرانسیل در شکل کلی زیر می‌پردازیم:

$$x^2 \frac{d^2 y}{dx^2} + \gamma x^\alpha \frac{dy}{dx} + \gamma^2 x^\beta y = 0, \quad (3-126)$$

فصل ۳- مسائل یک بعدی پاید، توابع بسل

که در آن  $\alpha$  و  $\beta$  مثبت بوده و  $\gamma$  ممکن است حقیقی یا موهومی باشد. فرمولاسیون مساله مربوط به سطوح گسترش‌یافته با مقاطع عرضی متغیر به شکل کلی داده شده توسط معادله (۳-۱۲۶) منتهی می‌شود. حال ما با تغییر متغیر نشان می‌دهیم که معادله (۳-۱۲۶) شکل دیگری از معادله بسل می‌باشد. با تغییر متغیر  $x$  به صورت  $x = t^\mu$  و بازاری معادله (۳-۱۲۶) خواهیم داشت:

$$t^2 \frac{d^2 y}{dt^2} + t[\mu(\alpha-1) + 1] \frac{dy}{dt} + \gamma^2 t^{\mu(\beta-\alpha+2)} y = 0.$$

اگر  $\mu$  در رابطه  $2 = \mu(\beta - \alpha + 2)$  صدق کند، خواهیم داشت:

$$t^2 \frac{d^2 y}{dt^2} + t[\mu(\alpha-1) + 1] \frac{dy}{dt} + \gamma^2 t^2 y = 0, \quad (3-127)$$

که این معادله به شکل معادله (۳-۱۲۳) درآید. بنابراین، جواب معادله (۳-۱۲۶) از روی معادله (۳-۱۲۷) به وسیله ارتباط دادن پارامترهای موجود در (۳-۱۲۷) با آنهایی که در معادله (۳-۱۲۳) وجود دارد، نوشته می‌شود، پس خواهیم داشت:

$$y(t) = t^\nu Z_\nu(\gamma t), \quad (3-128)$$

که در آن  $0 \neq \nu = \mu(\beta - \alpha + 2)/2 = (1 - \alpha)/2 = \mu(1 - \alpha)/2$  می‌باشد. اگر به متغیرهای مستقل قبلی بازگردیم و به جای  $t$  از  $x^{1/\mu}$  استفاده کنیم، معادله (۳-۱۲۸) به صورت زیر خواهد شد:

$$y(x) = x^{\nu/\mu} Z_\nu(\gamma \mu x^{1/\mu}), \quad (3-129)$$

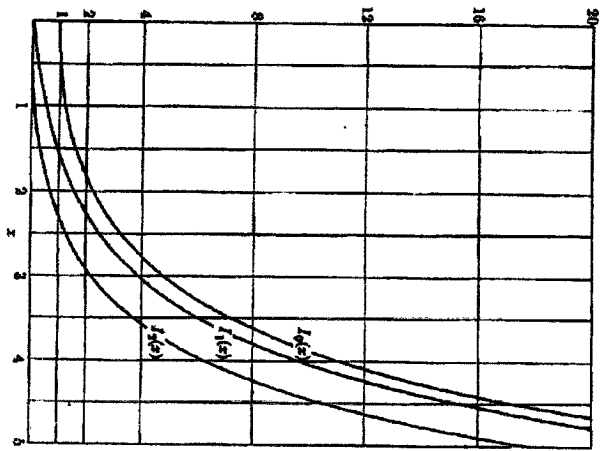
که در آن  $0 \neq \nu = \mu(\beta - \alpha + 2)/2$  خواهند بود. پارامترهای موجود در (۳-۱۲۹) با پارامترهای (۳-۱۲۶) به وسیله روابط  $\nu/\mu = (1 - \alpha)/2$  و  $1/\mu = (\beta - \alpha + 2)/2$  مرتبط می‌شوند.

اگر علامت جمله دوم در معادله (۳-۱۲۶) منفی باشد، با جایگزینی  $t$  به جای  $\gamma$  در معادله (۳-۱۲۹) می‌توانیم جواب را به صورت توابع بسل نوع اول و دوم با جملات دارای عبارات موهومی یا به جای آن به صورت توابع بسل اصلاح‌شده نوع اول و دوم با جملات دارای عبارات حقیقی بیان کنیم.

حالت خاص معادله (۳-۱۲۶) برای  $0 = \beta - \alpha + 2$  با بسط جمله اول معادله و تقسیم نتایج بر  $x^{\alpha-2}$  به دست خواهد آمد.

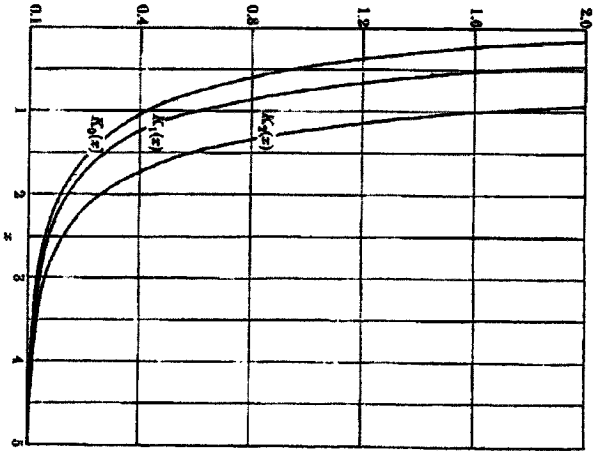
بنابراین خواهیم داشت:

$$x^2 \frac{d^2 y}{dx^2} + ax \frac{dy}{dx} + \gamma^2 y = 0, \quad (3-130)$$



شکل ۳-۲۴ ب

اصل ۳-۲۳ مسائل یک بندی باید تابع بسل

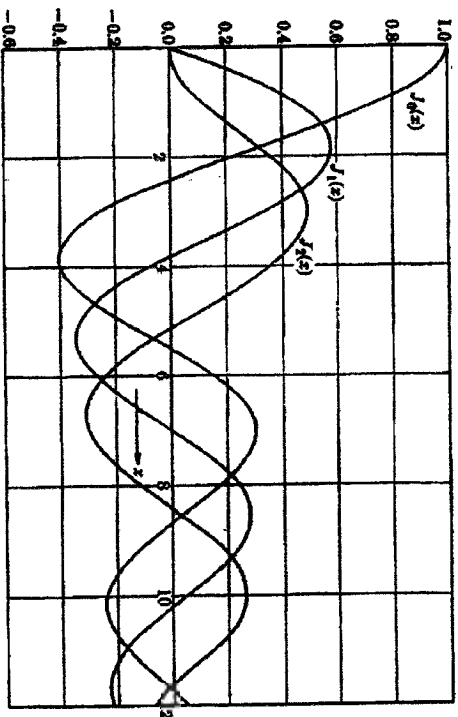


شکل ۳-۲۴ ت

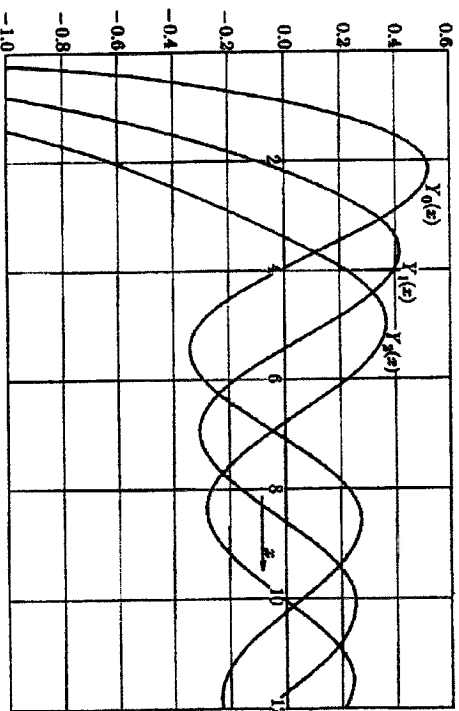
انتقال حرارت هدایتی

$$I_0(x) \sim \frac{e^{-x}}{(2\pi x)^{1/2}} \left\{ 1 - \frac{4x^2-1^2}{18x} + \frac{(4x^2-1^2)(4x^2-3^2)}{2!(8x)^2} - \dots \right\} \quad (۳-۱۵۶)$$

$$K_0(x) \sim \left(\frac{\pi}{2x}\right)^{1/2} e^{-x} \left\{ 1 + \frac{4x^2-1^2}{18x} + \frac{(4x^2-1^2)(4x^2-3^2)}{2!(8x)^2} + \dots \right\} \quad (۳-۱۵۷)$$

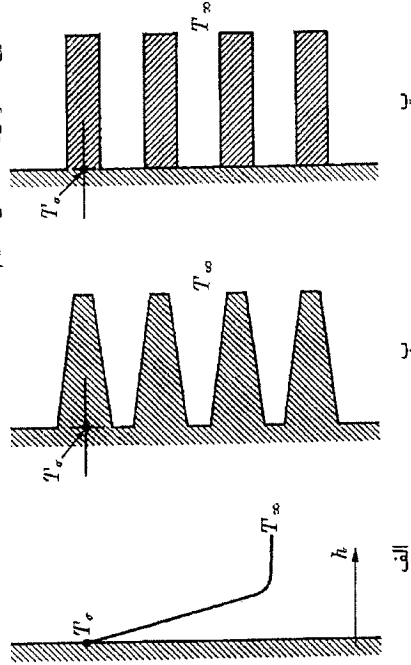


شکل ۳-۲۴ الف



شکل ۳-۲۴ ب

۷. نمایش گرافیکی رفتار کلی توابع بسل: گرافهای رفتار کلی توابع بسل در شکل (۳-۲۴) نشان داده شده است.  
در اینجا مرور توابع بسل به پایان رسید، حال می‌توانیم استفاده از این توابع را برای حل مسائل مربوط به سطوح گسترش‌یافته نشان دهیم.



شکل ۳-۲۵

۳-۸. سطوح گسترش‌یافته (پره‌ها، گیره‌ها، میله‌ها)  
پیش از فرمولاسیون مسائل انتقال حرارت مربوط به سطوح گسترش‌یافته می‌خواهیم به‌طور خلاصه راجع به مفهوم سطوح گسترش‌یافته و علت توجه ویژه به آن بحث کنیم. به همین منظور دیوارهای در دمای  $T_\infty$  را در نظر می‌گیریم که در حال تبادل حرارتی با محیطی دمای  $T_\infty$  می‌باشد. (شکل ۳-۲۵ الف). نرخ انتقال حرارت از این دیواره به شکل زیر محاسبه می‌شود.

$$q = hA(T_s - T_\infty) \quad (۳-۱۵۸)$$

اولین هدف مطالعه انتقال حرارت، پیدا کردن راهی برای کنترل کردن  $q$  است. به‌عنوان مثال، طراحی مبدل‌های حرارتی اغلب بر پایه رسیدن به حداقل مساحت انتقال حرارت ممکن (برای سبکی و جمع و جور بودن)، یا رسیدن به حداکثر مقدار انتقال حرارت برای هر اندازه از مبدل حرارتی می‌باشد. واضح است که  $q$  در معادله (۳-۱۵۸) با افزایش موارد زیر افزایش می‌یابد:

- (i) اختلاف دمای بین دیواره و محیط.
- (ii) ضریب انتقال حرارت.

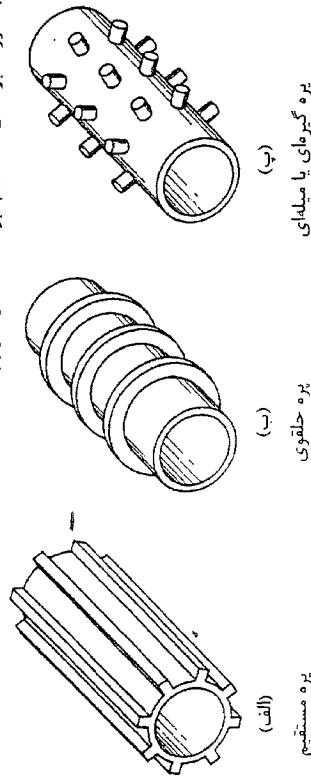
فصل ۳- مسائل یک بعدی پایا، توابع بسل

(iii) سطح انتقال حرارت (سطح مورد مطالعه یعنی سطح الف در شکل ۳-۲۵ بدون تغییر تکه داشته شود).

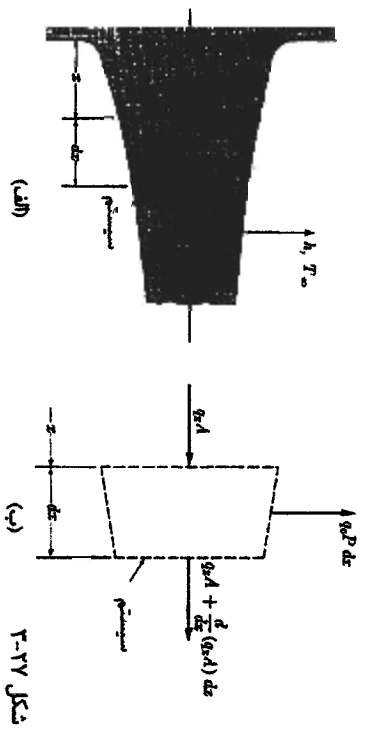
مورد اول نیاز به توضیح بیشتری ندارد؛ مورد دوم، موضوع کتاب‌های نوشته شده در مورد انتقال حرارت چاه‌جایی است؛ و مورد سوم موضوع این بخش است.

سطح دیواره، همان‌طور که در شکل ۳-۲۵ ب و پ نشان داده شده است، در کل به دو روش قابل افزایش است. در شکل ۳-۲۵ ب، سطح گسترش‌یافته جزئی از سطح اصلی است، که با ریخته‌گری یا قالب‌گیری ساخته شده است. در شکل ۳-۲۵ پ، سطوح گسترش‌یافته، که می‌توانند از ماده سطح اصلی ساخته شده یا نشده باشد، به سطح دیواره توسط لچیم یا جوشکاری یا پرس متصل شده باشند. هندسه مشابهی، هرچند کم کاربرد، به‌وسیله براده‌برداری و کنده‌کاری ماده اصلی نیز حاصل می‌شود. در عمل، تکنولوژی ساخت و قیمت، انتخاب شکل مناسب پره را تعیین می‌کند.

کاربرد سطوح گسترش‌یافته بی‌شمار است خصوصاً در انتقال حرارت در محیط گازی. در این حالت چون ضریب انتقال حرارت کوچک است تنها با استفاده از سطوح گسترش‌یافته، ممکن است یک سطح تبادل کوچک و فشرده به‌دست آید. مثال معروف استفاده از سطوح گسترش‌یافته پره‌های موجود در رادیاتور ماشین و دستگه‌های گرماساز و مبدل‌های گاز به مایع و گاز به گاز، جوش‌آورها، موتورهای خنک‌کننده توسط هوا می‌باشند. دست‌بندی معمول سطوح گسترش‌یافته به‌صورت پره‌های مستقیم، پره‌های حلقوی و پره‌های گیرهای و میله‌ای شکل می‌باشد (شکل ۳-۲۶).



شکل ۳-۲۶  
حال می‌خواهیم به هدف خود بازگردیم. مطالعه انتقال حرارت در سطوح گسترش‌یافته، از آنجایی که دمای یک سطح گسترش‌یافته در تمام طول آن به علت انتقال حرارت چاه‌جایی به محیط ثابت نیست، انتقال حرارت از سطوح گسترش‌یافته با استفاده از معادله (۳-۱۵۸) قابل محاسبه نمی‌باشد. بنابراین ابتدا توزیع دما در سطوح گسترش‌یافته به‌دست می‌آید و سپس انتقال حرارت انجام شده در این توزیع دما محاسبه می‌شود.



شکل ۳-۲۷

حال یک سطح گسترش‌یافته با سطح مقطع متغیر مورد بررسی قرار می‌گیرد (شکل ۳-۲۷). فرضیات زیر را در نظر می‌گیریم: (i) عرض مشخصه یا ضخامت پره در مقایسه با طول محوری آن ناچیز در نظر گرفته می‌شود بنابراین توزیع دما در عرض در مقایسه با توزیع دمای محوری ناچیز می‌باشد. (ii) ضریب هدایت حرارتی ثابت است. (از ثابت‌دهایی آن صرف‌نظر می‌کنیم). (iii) ضریب انتقال حرارت شمعی و محوری مورد استفاده، متوسط مقدار واقعی آن است. تحت شرایط پایا و با استفاده از فرض (i) و با استفاده از چهار مرحله اول فرمولاسیون، معادله زیر به‌دست می‌آید:

$$\frac{d}{dx} \left( kA \frac{dT}{dx} \right) - q_c P = 0, \quad (3-159)$$

که در این معادله  $T$  دمای محلی،  $x$  طول محوری،  $k$  ضریب هدایت حرارتی،  $A$  سطح مقطع عرضی متغیر،  $q_c$  شار حرارتی عرضی، و  $P$  محیط می‌باشد. معادله (۳-۱۵۹) شرط مرزی زیر تصدیق می‌کند:

$$q_c = h(T - T_{\infty}), \quad (3-160)$$

دو شرط مرزی در  $x$  داریم، یکی وابسته به پایه و دیگری مربوط به نوک سطح گسترش‌یافته است. تمام این پیش‌فرض‌ها مربوط به پنجمین و آخرین مرحله فرمولاسیون است.

از روی این دیدگاه و با قرار دادن معادله (۳-۱۶۰) در معادله (۳-۱۵۹) نتیجه زیر حاصل می‌شود:

$$\frac{d}{dx} \left( kA \frac{dT}{dx} \right) - hP(T - T_{\infty}) = 0, \quad (3-161)$$

برای تکمیل شدن فرمول‌ها تنها شرایط مرزی در جهت  $x$  مورد نیاز است. با توجه به ثابت بودن  $k$  تابع فرض (ii) و اندازه‌گیری دماهای بالاتر از دمای محیط، می‌توان با بازآرایی معادله (۳-۱۶۱) به رابطه زیر رسید:

$$\frac{d}{dx} \left( kA \frac{d\theta}{dx} \right) - \frac{hP}{k} \theta = 0, \quad (3-162)$$

که در آن  $\theta = T - T_{\infty}$  می‌باشد. توجه شود که برای فرمولاسیون مسئله تنها از دو فرض اول استفاده شد. فرض (iii)،  $h$  ثابت، در آخر کار برای ساده‌سازی انتگرال مورد استفاده قرار می‌گیرد. از آنجایی که تاکنون اکثر شرایط مرزی معمول در مسائل انتقال حرارت با جزئیات مورد بررسی قرار گرفته است (بخش ۲-۸ را بررسی کنید)، شرایط مرزی اعمال شده در معادله (۳-۱۶۲) نیاز به توجه ویژه دارد. بنابراین، چند مثال مشخص مورد بررسی قرار می‌گیرد ابتدا بررسی سطح گسترش‌یافته با سطح مقطع ثابت انجام شده سپس به بررسی سطح متغیر نیز خواهیم پرداخت. سطح گسترش‌یافته با سطح مقطع ثابت. معادله (۳-۱۶۲) را به صورت زیر می‌نویسند:

$$\frac{d^2\theta}{dx^2} - m^2\theta = 0, \quad (3-163)$$

که در آن  $m^2 = hP/kA$

پس یک معادله (۳-۱۶۳) را به صورت زیر می‌توان نوشت:

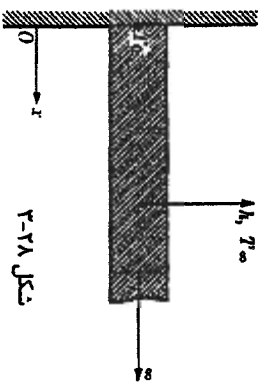
$$\theta(x) = C_1 e^{mx} + C_2 e^{-mx} \quad (3-164)$$

$$\theta(x) = C_3 \cosh mx + C_4 \sinh mx. \quad (3-165)$$

مان گونه که در استفاده از شرایط مرزی دیده شده، معادلات (۳-۱۶۴) و (۳-۱۶۵) بهترین برای مثال سطح گسترش‌یافته نیمه بینهایت و طول محدود مناسب می‌باشند.

مثال ۳-۹. با توجه به پره نیمه بینهایت شکل ۳-۲۸ که دمای پایه آن  $T_0$  می‌باشد. توزیع دما درون پره و انتقال حرارت منتقل شده از آن.

با انتخاب پایه پره به عنوان مبدا جهت  $x$  و با توجه به این که دمای پره هنگامی که  $x \rightarrow \infty$  به سمت دمای محیط میل می‌کند. شرایط مرزی به شکل ۳-۲۸



انتقال حرارت هدایتی

۱۷۸

صورت زیر خواهد بود.

$$\theta(0) = \theta_0, \quad (3-166)$$

$$\lim_{x \rightarrow \infty} \theta(x) \rightarrow 0, \quad (3-167)$$

که در آن  $\theta = T_0 - T_\infty$  می‌باشد.

معادله (۳-۱۶۷) نشان می‌دهد که  $C_1$  در معادله (۳-۱۶۴) باید صفر باشد و بر طبق معادله (۳-۱۶۶) به سادگی  $\theta_0 = C_2$  به دست خواهد آمد. پس توزیع دمای مطلوب به صورت زیر خواهد شد.

$$\frac{\theta(x)}{\theta_0} = e^{-mx}, \quad (3-168)$$

اکنون می‌توان حرارت منتقل شده از پره را بر حسب این توزیع دما و با ساده‌سازی معادله انتگرال جابه‌جایی در طول پره، به دست آورد. بنابراین، معادله زیر به دست می‌آید:

$$q = \int_0^{\infty} hP\theta \, dx = hP\theta_0 \int_0^{\infty} e^{-mx} \, dx = \theta_0(hPkA)^{1/2}. \quad (3-169)$$

با توجه به این که انتقال حرارت کلی از پره به وسیله جابه‌جایی باید به وسیله هدایت از پایه پره تأمین شود، می‌توان نتیجه مشابهی از معادلات هدایت برای انتقال حرارت گرفت.

$$q = -kA \left( \frac{d\theta}{dx} \right)_{x=0} = -kA\theta_0 \frac{d}{dx} (e^{-mx})_{x=0} = \theta_0(hPkA)^{1/2}.$$

روش دوم محاسبه انتقال حرارت استفاده از شکل دیفرانسیلی به جای انتگرالی است که به خصوص برای معادلات پیچیده‌تر رایج‌تر است.

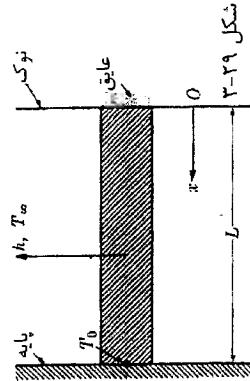
مثال ۳-۱۰. میله‌ای با طول محدود  $L$  و دمای پایه  $T_0$  را در نظر بگیرید. انتهای پره عایق است (شکل ۳-۲۹). توزیع دمای در پره و انتقال حرارت از آن را به دست آورید.

برای این مساله انتهای پره برای مبداء مناسب‌تر است. پس شرایط مرزی بدین صورت خواهد شد:

$$\frac{d\theta(0)}{dx} = 0, \quad (3-170)$$

$$\theta(L) = \theta_0, \quad (3-171)$$

که، طبق قبل،  $\theta = T_0 - T_\infty$  می‌باشد. از آنجایی که پره در جهت طول محدود است، ما باید انتهای پره را به صورت  $x=L$  در نظر بگیریم. انتهای پره عایق است (شکل ۳-۲۹).



فصل ۳- مسائل یک بعدی پایه توزیع طول

۱۷۹

خواهیم داشت. استفاده از معادله (۳-۱۷۰) با در نظر داشتن این حقیقت که توزیع دما نسبت به  $x$  متقارن است، و بنابراین جواب تنها باید از توزیع زوج تشکیل شده باشد، منجر به  $C_4 = 0$  می‌شود. به علاوه با توجه به معادله (۳-۱۷۱) رابطه  $\theta_0 / \cosh ml = C_3$  به دست می‌آید پس:

$$\frac{\theta(x)}{\theta_0} = \frac{\cosh mx}{\cosh ml}. \quad (3-172)$$

مساله فوق را با فرض این که مبداء مختصات در پایه پره باشد و با استفاده از جواب کلی معادله (۳-۱۶۴) دوباره حل کنید پیچیدگی ریاضی این دو حل را مقایسه کنید.

حرارت کلی منتقل شده از پره، که به وسیله هدایت صورت گرفته از پایه پره ارزیابی می‌شود و به صورت زیر خواهد بود.

$$\begin{aligned} q &= - \left[ -kA \left( \frac{d\theta}{dx} \right)_{x=L} \right] \quad (3-173) \\ &= \frac{kA\theta_0}{\cosh ml} \frac{d}{dx} (\cosh mx) \Big|_{x=L} \\ &= \theta_0(hPkA)^{1/2} \tanh mL. \end{aligned}$$

از آنجایی که  $1 < \tanh x < \lim_{x \rightarrow \infty} \tanh x = 1$  معادله (۳-۱۷۳) وقتی  $ml \rightarrow \infty$  به معادله (۳-۱۶۹) میل خواهد کرد. زمانی که طول یک پره محدود به سمت نامحدود شدن افزایش یابد، انتقال حرارت از آن نیز به سمت انتقال حرارت از یک پره نامحدود میل خواهد کرد. این عبارت مستقل از نوع شرط مرزی‌ای است که در انتهای پره استفاده می‌شود زیرا هنگامی که  $ml \rightarrow \infty$  اثرات انتهایی پره حذف می‌شود. شرط  $ml \rightarrow \infty$  می‌تواند به صورت  $m \rightarrow \infty$  نیز، برای یک  $L$  مفروض تعریف شود. این حالت به سادگی از روی تعریف  $m = (hP/kA)^{1/2}$ ، و متنظر با  $h \rightarrow 0$  یا  $k \rightarrow \infty$  به دست خواهد آمد.

قبل از آغاز بررسی سطوح گسترش‌یافته با سطح مقطع متغیر بهتر است مقدماتی را برای تخمین و مقایسه سطوح گسترش‌یافته ارائه دهیم. این مقدمات معمولاً به صورت کاربردی سطوح گسترش‌یافته تشریح می‌شود.

دو تعریف مرسوم برای این کارایی به صورت نسبت انتقال حرارت واقعی به انتقال حرارت تئوری وجود دارد:

$$\eta_b = \frac{\text{انتقال حرارت واقعی از سطح گسترش یافته}}{\text{انتقال حرارت از دیوار بدون پره}} \quad (3-174)$$

$$\eta = \frac{\text{انتقال حرارت واقعی از سطح گسترش یافته}}{\text{انتقال حرارت واقعی از سطح گسترش یافته در دمای پایه}} \quad (3-175)$$

مفرج رابطه (۳-۱۷۴) بیان کننده انتقال حرارت از سطحی از دیواره برابر سطح پایه بره می باشد، در معادلات فوق انتقال حرارت باید با بررسی همزمان صورت و مفرج و براساس اختلاف دمای یکسان، دمای پایه منهای محیط، محاسبه شود تا زبطی که دمای دیواره و ضریب انتقال حرارت بین دیواره و محیط با افعال سطح گسترش یافته به دیواره تغییر پیدا کند، محاسبه کارایی از روی رابطه (۳-۱۷۴) تقریبی خواهد بود. خطای این تقریب به طول سطح گسترش یافته و فضای بین آن ها وابسته خواهد بود از آنجایی که تغییرات دمای دیواره و ضریب انتقال حرارت، به طور مسدوی صورت و مفرج کسر معادله (۳-۱۷۵) را تحت تاثیر قرار می دهند، کارایی تعریف شده طبق این معادله به واقعیت نزدیکتر است و عملاً به رابطه دیگر ترجیح داده می شود. به هر حال علاوه بر نشان دادن افزایش انتقال حرارت به وسیله سطح گسترش یافته، این کارایی برای مقایسه سطح گسترش یافته مختلف مناسبتر می باشد. معادله این کارایی ها برای مثال ۳-۹ به صورت زیر خواهد بود:

$$\eta_b = \frac{q_0(HPKA)^{1/2}}{q_0hA} = \left(\frac{KP}{hA}\right)^{1/2}$$

$$\eta = \lim_{L \rightarrow \infty} \frac{q_0(HPKA)^{1/2}}{q_0hPL} = \lim_{L \rightarrow \infty} \left(\frac{KA}{hP}\right)^{1/2} \frac{1}{L} \rightarrow 0,$$

و برای مثال ۳-۱۰ بدین صورت خواهد شد:

$$\eta_b = \frac{q_0(HPKA)^{1/2} \tanh mL}{q_0hA} = \left(\frac{KP}{hA}\right)^{1/2} \tanh mL,$$

$$\eta = \frac{q_0(HPKA)^{1/2} \tanh mL}{q_0hPL} = \frac{\tanh mL}{mL}$$

در مورد کارایی سطح گسترش یافته در معادلات، تحقیقات زیادی انجام شده است. اگرچه در عمل ترجیح داده می شود که به جای افزایش کارایی به اندازه ۰.۵ تا ۱ درصد، که هزینه زیادی را نیز در بر دارد به فناوری توجه شود. به همین منظور، کارایی سطح گسترش یافته در این کتاب مورد توجه قرار نگرفته است. جزئیات بیشتر در مراجع ۸، ۹ و ۱۱ موجود است.

سطح گسترش یافته با سطح مقطع متغیر، فرمولاسیون کلی مسائل سطح گسترش یافته با سطح مقطع متغیر در معادله (۳-۱۶۲) داده شده است. از آنجایی که  $A$  و  $P$  دیگر ثابت نیستند، این معادله تبدیل به معادله دینفرانسیل، ضرایب متغیر می شود که جواب کلی آن هنگامی که  $P(x)$  و  $A(x)$  متغیری بلند قابل محاسبه خواهد بود در اغلب حالات همان طور که در بخش ۳-۴ مورد توجه قرار گرفت معادله (۳-۱۶۲) به شکل معادلات بسل تبدیل می شود. یک حالت خاص این معادلات تبدیل شدن به معادله هم بعد است. حالت هایی که به این معادلات منتهی نمی شوند به صورت منحصر به فرد با استفاده از جواب سری های توانی قابل حل می باشند. در مثال بعدی نشان دهنده سطح گسترش یافته با سطح مقطع متغیر خواهد بود.

مثال ۳-۱۱. مشخصات بره صاف، با سطح مقطع مثلثی در شکل (۳-۳۰) نشان داده شده است. دمای پایه بره  $T_0$  می باشد. مملوست محاسبه توزیع دمای بره و انتقال حرارت صورت گرفته از آن فرض معمول  $1 \ll b/L \ll 1$  را برای سطح گسترش یافته در نظر می گیریم. همچنین برای یک بعدی کردن توزیع دما از یکی از فرضیات  $L/1 \ll 1$  یا عایق بودن انتهای بره در جهت  $x$  می توان استفاده کرد.

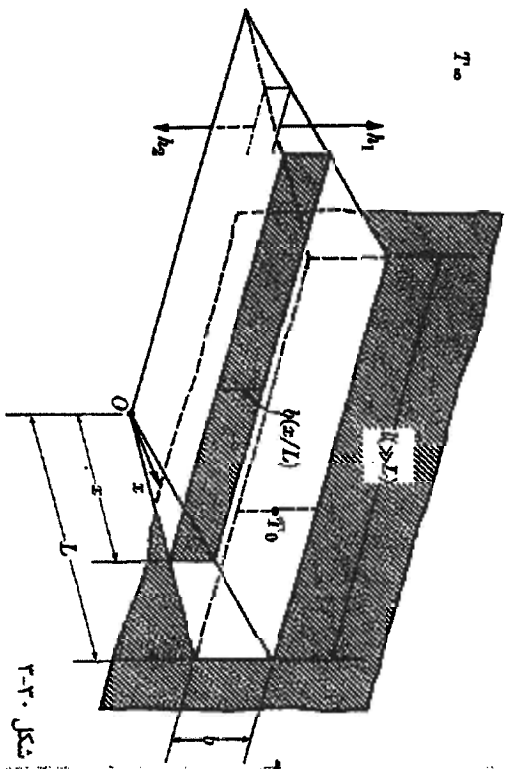
با توجه به شکل (۳-۳۰)  $A = b(x/L)l$  و  $hP = (h_1 + h_2)l$  به دست می آید و با جایگزینی این روابط در معادله (۳-۱۶۲) و پارامتری نتایج خواهیم داشت:

$$\frac{d}{dx} \left( x \frac{d\theta}{dx} \right) - m^2 \theta = 0, \quad (3-176)$$

که در آن  $mb = (h_1 + h_2)l/kb$  و  $m^2 = (h_1 + h_2)l/kb$  با مقایسه معادله (۳-۱۷۶) و جدول ۳-۱ نتایج زیر به دست می آید:

$$\alpha = 1, \quad \beta = 0, \quad \gamma = \pm im,$$

$$v = 0, \quad \mu = 2, \quad \nu/\mu = 0.$$

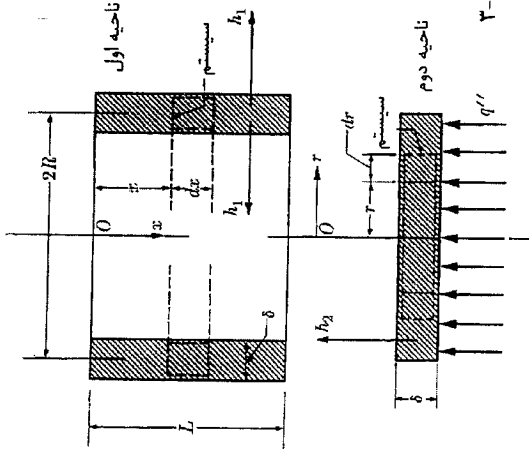


شکل ۳-۳۰

در نتیجه جواب کلی معادله (۳-۱۷۶) به صورت زیر خواهد بود:

$$\theta(x) = C_1 I_0(2mx^{1/2}) + C_2 K_0(2mx^{1/2}). \quad (3-177)$$

طبق شکل (۳-۲۴) خواهیم داشت:



شکل ۳-۳۲

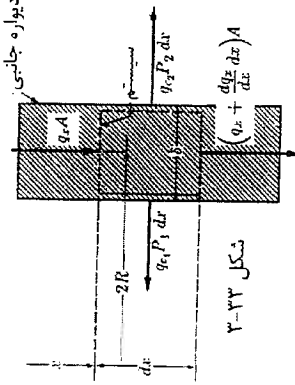
پیشنهاد می‌شود که برای راحتی محاسبات مساله را به دو بخش تقسیم کنیم (شکل ۳-۳۲).  
 دو مرحله اول فرمولاسیون، به‌کارگیری سیستم یک‌بعدی برای دیواره‌های کناری است (شکل ۳-۳۳) و قانون کلی زیر را نتیجه می‌دهد:

$$0 = +q_x A - \left(q_x + \frac{dq_x}{dx} dx\right) A - q_{e1} P_1 dx - q_{e2} P_2 dx \quad (3-180)$$

قانون خاص مرحله سوم در معادله (۳-۱۸۰) وارد شده و معادله حاکم حاصل از مرحله چهارم با قسمتی از مرحله پنجم که مربوط به تعریف ضریب انتقال حرارت است، بازنویسی می‌شود و برای دیواره‌های کناری معادله زیر حاصل می‌شود: دیواره جانبی:

$$\frac{d^2 \theta_1}{dx^2} - m_1^2 \theta_1 = 0, \quad (3-181)$$

فرض می‌شود که  $\delta \ll R$  بوده و بنابراین  $m_1^2 \approx P_1 \approx 2h_1/k\delta$  و  $\theta_1 = T_1 - T_\infty$  همان‌طور که انتظار می‌رود معادله (۳-۱۸۱) با فرمولاسیون مسائل سطوح گسترش‌یافته با سطح مقطع ثابت که با معادله



شکل ۳-۳۳

انتقال حرارت هدایتی

$$\lim_{x \rightarrow 0} K_0(x) \rightarrow \infty,$$

برای انطباق دمای انتهایی سطح باید  $C_2 = 0$  شود. به‌علاوه با استفاده از دمای پایه خواهیم داشت  $C_1 = \theta_0 / I_0(2mL^{1/2})$  که مطابق گذشته  $T_0 - T_\infty$  است. با جاگذاری مقادیر  $C_1$  و  $C_2$  در معادله (۳-۱۷۷)، توزیع دما در پره به‌دست می‌آید.

$$\frac{\theta(x)}{\theta_0} = \frac{I_0(2mx^{1/2})}{I_0(2mL^{1/2})} \quad (3-178)$$

دیواره، انتقال حرارت از پره با توجه به هدایت صورت گرفته از پایه پره به‌دست می‌آید. بنابراین

$$q = -[kA(d\theta/dx)]_{x=L},$$

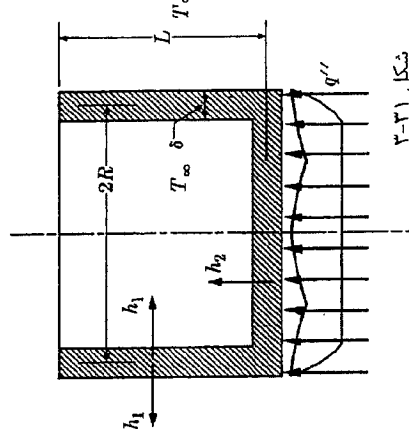
که از معادله (۳-۱۷۸) و به‌وسیله معادله (۳-۱۷۷) به‌دست آمده است. در زیر با در نظر گرفتن  $\xi = 2mx^{1/2}$  به معادله زیر خواهیم رسید:

$$\frac{d}{dx} [I_0(\xi)] = \frac{d}{d\xi} [I_0(\xi)] \frac{d\xi}{dx} = \frac{m}{x^{1/2}} I_1(2mx^{1/2}),$$

که انتقال حرارت از پره، به صورت زیر خواهد بود:

$$q = \frac{(mL^{1/2}) I_1(2mL^{1/2})}{kA\theta_0/L} \quad (3-179)$$

مثال ۳-۱۲. یک قابلمه خالی بر روی یک صفحه داغ قرار گرفته است (شکل ۳-۳۱). فرض می‌شود که به کف ظرف یک شار حرارتی یکنواخت  $q''$  اعمال می‌شود. دمای محیط  $T_\infty$  است و ضرایب انتقال حرارت  $h_1$  و  $h_2$  هستند. ضریب هدایت حرارتی، ضخامت، شعاع و ارتفاع ظرف به ترتیب  $\delta$ ،  $k$ ،  $R$  و  $L$  هستند. می‌خواهیم توزیع دما در ظرف را پیدا کنیم.

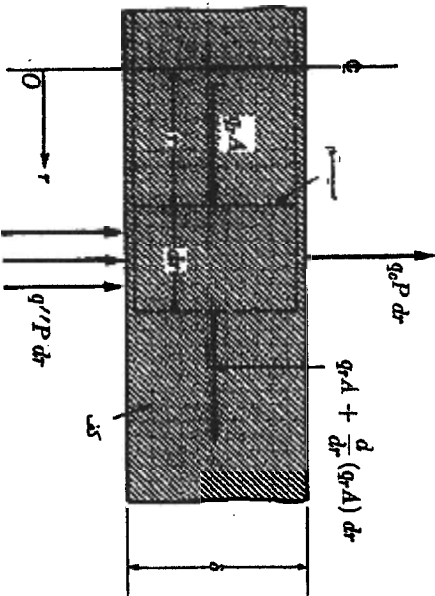


شکل ۳-۳۱

تغییر دما در عرض ضخامت ناچیز است و فرض می‌کنیم که توزیع دما در ظرف یک‌بعدی و به صورت شعاعی در کف و محوری در دیواره‌های کناری است.



$\theta_2(R) = 0$  محدود (یا  $\frac{d\theta_2(0)}{dr} = 0$ ) (۳-۱۸۹)



معادلات (۳-۱۸۷) و (۳-۱۸۵) به ترتیب با معادلات (۳-۱۸۶) و (۳-۱۸۹) در نظر گرفته شده و  $D_2 = 0$  و  $C_4 = 0$  را می‌دهند. سپس نتایج را در معادلات (۳-۱۸۷) و (۳-۱۸۸) قرار داده و نتیجه می‌دهند:

$$C_3 \cosh m_1 L = \pi / m_2^2 + D_1 I_0(m_2 R),$$

$$C_3 m_1 \sinh m_1 L + D_1 m_2 I_1(m_2 R) = 0.$$

با حل این معادلات جبری برای ثوابت  $C_3$  و  $D_1$  و قرار دادن نتایج آن به همراه  $C_4$  و  $D_2$  در معادلات (۳-۱۸۷) و (۳-۱۸۵) توزیع صاف در طرف به صورت زیر حاصل خواهد شد:

$$\theta_1(x) = \frac{\cosh m_1 x / \cosh m_1 L}{1 + (m_1 / m_2) I_0(m_2 R) / I_1(m_2 R) \tanh m_1 L}, \quad (3-190)$$

$$\theta_2(x) = 1 - \frac{I_0(m_2 r) / I_0(m_2 R)}{1 + (m_1 / m_2) I_1(m_2 R) / I_0(m_2 R) \tanh m_1 L}, \quad (3-191)$$

حالت‌های خاص معادلات (۳-۱۹۰) و (۳-۱۹۱) وقتی که  $m_2 \rightarrow 0$  و  $m_2 \rightarrow \infty$  چه خواهد بود؟ شرایط فیزیکی، مطابق با این حالات را شرح دهید.

(۳-۱۶۲) ارائه شده است. یکسان می‌باشد و تنها تفاوت‌شان در تعریف  $m_2^2$  می‌باشد. شکل هندسی محدود دیوارهای کناری، یک پخش عمومی را برای معادله (۳-۱۸۱) نظیر معادله (۳-۱۶۵) پیش‌بینی می‌کند. پس خواهیم داشت:

$$\theta_1(x) = C_3 \cosh m_1 x + C_4 \sinh m_1 x. \quad (3-187)$$

حال فرمولاسیون مربوط به کف طرف را در نظر می‌گیریم. دو مرحله اول فرمولاسیون، به صورت عبارات سیستم یک‌بعدی نشان داده شده در شکل ۳-۲۴ بیان شده‌اند و نتیجه می‌دهند:

$$0 = +q_r A - \left( q_r A + \frac{d}{dr} (q_r A) dr \right) - q_c P dr + q'' P dr. \quad (3-187)$$

معمولاً با قرار دادن قانون خاص موجود در مرحله سوم فرمولاسیون، در معادله (۳-۱۸۳) و بازاری می‌توانیم حاکم به دست آمده از مرحله چهارم توسط قسمتی از مرحله پنجم که در ارتباط با تعریف انتقال حرارت بوده است، به فرمولاسیون زیر خواهیم رسید:

$$\frac{d}{dr} \left( r \frac{d\theta_2}{dr} \right) - m_2^2 r \left( \theta_2 - \frac{\pi}{m_2^2} \right) = 0, \quad (3-184)$$

که در آن  $h_2/k\delta = h_1/k\delta = \pi$  و  $T_\infty - T_0 = \pi$  و  $\theta_2 = T_2 - T_\infty$  و  $T_2$  دمای محلی کف طرف است. توجه کنید که معادله (۳-۱۸۴) برحسب  $\theta_2 - \pi/m_2^2$  ممکن است از مقایسه معادله (۳-۱۸۳) با نتایج جدول ۳-۱ داریم:

$$\alpha = 1, \quad \beta = 1, \quad \gamma = \pm im,$$

$$v = 0, \quad \mu = 1, \quad v/\mu = 0.$$

از این‌رو پخش برای کف طرف به این صورت به دست می‌آید:

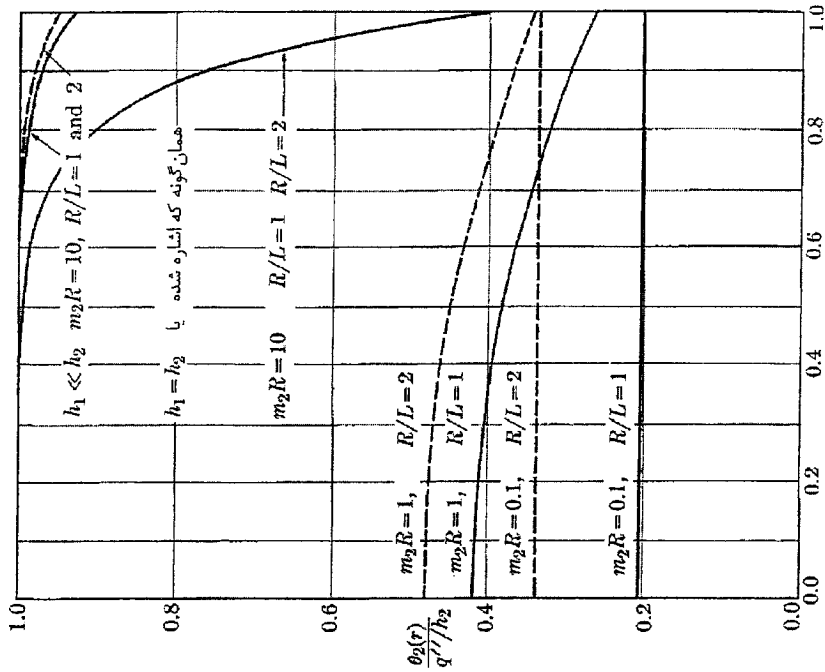
$$\theta_2(x) = \pi / m_2^2 + D_1 I_0(m_2 r) + D_2 K_0(m_2 r). \quad (3-185)$$

با صرف‌نظر کردن از انتقال حرارت از بالای دیوارهای کناری و با توجه به انتخاب مناسب مرکز مختصات برای کف طرف و دیوارهای کناری (شکل ۳-۲۴)، می‌توانیم شرایط مرزی مسئله را به شکل زیر بنویسیم:

$$\frac{d\theta_1(0)}{dx} = 0, \quad (3-186)$$

$$\theta_1(L) = \theta_2(R), \quad (3-187)$$

$$\left[ -k \frac{d\theta_1(0)}{dx} \right] + \left[ -k \frac{d\theta_2(R)}{dr} \right] = 0, \quad (3-188)$$



شکل ۳-۳۵

در ارتباط با موارد مذکور کف طرف را که با معادله (۳-۱۹۱) ارائه شده است، رسم خواهیم نمود. به خاطر پارامترهای متعدد موجود در مساله، بررسی کامل پارامتریک خیلی طولانی خواهد بود و برای هدف ما غیرضروری است. ما در اینجا فقط حالت خاصی که  $h_1/h_2 \sim 1$  بوده و  $R/L$  بین ۱ و ۲ متغیر است را در نظر می‌گیریم. در شکل ۳-۳۵ مقادیر  $\theta_2(x)/(q''/h_2)$  در برابر  $x/R$  برای مقادیر ۰.۱ و ۱ و ۱۰ از  $m_2 R$  و مقادیر ۱ و ۲ برای  $R/L$  متناظر با  $h_1/h_2 = 1$  رسم شده‌اند. با بررسی شکل مشخص می‌شود که مقادیر عملی را می‌توان به‌طور مناسب به‌جای موارد خاص ریاضی  $m_2 \rightarrow 0$  و  $m_2 \rightarrow \infty$  به‌کار برد. پس زمانی که  $h_1/h_2 = 1$  باشد برای حد

فصل ۳- مسائل یک بعدی پایا، توابع بسل

پایین  $m_2 R \leq 0.1$  حاصل خواهد شد. در این حالت  $h > k$  است و دمای داخل ظرف را می‌توان متمرکز در نظر گرفت. از فرمولاسیون متمرکز برای مساله خواهیم داشت:

$$\frac{\theta}{q''/h} = \frac{1}{1 + (L/R)}, \quad \text{وقتی } h_1/h_2 = 1 \quad \text{و} \quad m_2 R \leq 0.1$$

برای حد بالایی  $m_2 R \geq 10$  حاصل شده است. به هر حال این حالت منجر به هیچ‌گونه ساده‌سازی در فرمولاسیون نخواهد شد.

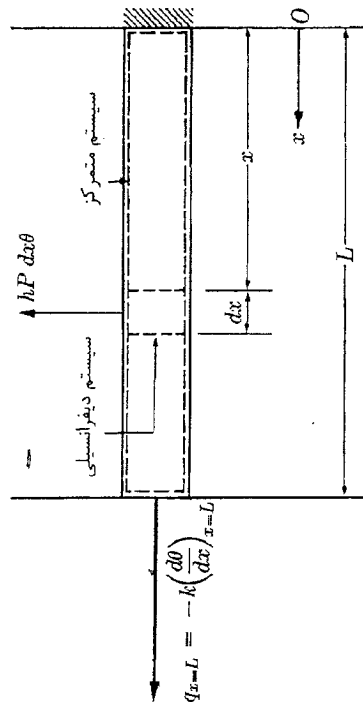
حال اگر فرض شود که یک لایه نازک از آب در ته ظرف وجود دارد و یا وقتی  $1/200 \sim h_1/h_2$  و  $10 \geq m_2 R$  دمای کف ظرف با فرض متمرکز بودن، پنج درصد و یا کمتر خطا خواهد داشت که این امر در گوشه بالایی سمت راست شکل ۳-۳۵ نشان داده شده است. دمای متمرکز کف به‌سهولت به‌صورت زیر به‌دست خواهد آمد:

$$\theta_2 = q''/h_2, \quad \text{وقتی } h_1 \ll h_2 \quad \text{و} \quad m_2 R \geq 10.$$

با استفاده از این دما به‌عنوان دمای مرجع یا پایه امکان حصول فرمولاسیون دیواره‌های کناری به‌صورت مثال ۳-۱۰ فراهم می‌شود. پس توزیع دما در دیواره‌های کناری به‌صورت زیر خواهد شد:

$$\frac{\theta_1(x)}{q''/h_2} = \frac{\cosh m_1 x}{\cosh m_1 L}, \quad \text{وقتی } h_1 \ll h_2 \quad \text{و} \quad m_2 R \geq 10.$$

در اینجا باز هم باید تاکید نمود که توجیحات فیزیکی دارای اهمیت زیادی در ساده‌سازی مسائل پیچیده هستند.



شکل ۳-۳۶

۳-۹ حل تقریبی برای سطوح گسترش‌یافته

در این بخش حل تقریبی بعضی مثال‌ها که به‌عنوان سطوح گسترش‌یافته تلقی می‌شوند، انجام خواهد شد. این راه‌حل‌ها براساس انتخاب پروفایل دمایی صادق در شرایط مرزی مساله و به‌صورت

که در آن  $\theta_0$  پارامتر مجهولی است که باید محاسبه شود. با قرار دادن معادله  $(3-195)$  در معادله  $(3-194)$  و انتگرال گیری خواهیم داشت:

$$\theta_0 = \frac{\mu^2/2}{1+\mu^2/3}$$

بنابراین با تقریب درجه اول ریتز دمای پره به شکل زیر خواهد بود:

$$\frac{\theta(\xi)}{\theta_0} = 1 - \frac{\mu^2/2}{1+\mu^2/3} (1 - \xi^2) \quad (3-196)$$

حال پاسخهای دقیق و تقریبی مسئله را که با معادلات  $(3-196)$  و  $(3-197)$  ارائه شدهاند، مقایسه خواهیم کرد. وقتی که محل خاصی از پره را در نظر بگیریم می توان اثر  $\xi$  را از این قیاس حذف نمود. از آنجایی که در اینجا به جلی خود دما با گرادیان دما سرو کار داریم که در نوک پره به وسیله پروفایل تقریبی ارضا می شود، بیشترین اختلاف میان مهای دقیق و تقریبی در نوک پره پیش بینی می شود. با قرار دادن  $\xi = 0$  درون شکل بی بعد معادله  $(3-197)$  و در معادله  $(3-196)$  مهای دقیق و تقریبی نوک پره را به صورت زیر خواهیم داشت:

$$\frac{\theta(0)}{\theta_0} = \frac{1 - \mu^2/6}{1 + \mu^2/3}$$

مها در جدول ۲-۲ برای بعضی از مقادیر  $\mu$  مقایسه شدهاند. بررسی جدول ۲-۲ تطابق خوب و نزدیکی میان پاسخهای دقیق و تقریبی را برای مقادیر کوچک  $\mu$  آشکار می سازد. برای درک تطابق ضعیف در مقادیر بزرگ  $\mu$  توجه شود که توزیع دمایی دقیق مسئله موجود وقتی که  $\mu \rightarrow 1$  مانند  $\theta/\theta_0 = e^{-\mu\xi}$  رفتار می کند که برای مثال می توان آن را به صورت  $\theta \rightarrow L$  تفسیر کرد. حال اگر تابعی مثل  $e^{-\mu\xi}$  را در نظر بگیریم، این تابع نمی تواند توسط تابعی دیگر مثل معادله  $(3-196)$  یک در بازه بزرگ به خوبی تقریب زده شود. بنابراین افزایش عدم تطابق بین دو جواب وقتی  $\mu \rightarrow 1$  آشکار خواهد شد.

جدول ۲-۲

$\mu$	۱	۲	۴
$\mu$	۰.۱۵	۰.۲۶۴۸۱	۰.۰۲۶۶
دقیق	۰.۱۸۸۰۸	۰.۲۶۵۸	۰.۰۲۶۶
تقریبی	۰.۱۸۸۶۴	۰.۱۴۲۹	-۰.۲۶۶۳
% خطا	۰.۲۴۸	۲.۵۶	۸۱۹

۱- پاسخ دقیق مسئله برحسب  $\xi$  اندازه گیری شده از پایه پره  $\mu = \text{cosh } \mu(1 - \xi) / \text{cosh } \mu$  است. وقتی که  $\mu \rightarrow 1$  همان طور که انتظار می رود این پاسخ به  $e^{-\mu\xi} = e^{-\xi}$  نزدیک می شود که شکل بدون بعد معادله  $(3-198)$  است.

تولیع ساده بیان شده است. پارامترهای پروفایل انتخاب شده از فرمولاسیون انتگرالی مسئله به دست آمدهاند.

مثال ۱۲-۳ می خواهیم پاسخ تقریبی درجه اولی برای مسئله مثال ۳-۱۰ را به دست آوریم. فرمولاسیون انتگرالی مسئله به سهولت برحسب سیستم های دینفراسیسی و مترکز نشان داده شده در شکل ۳-۲۶ به دست خواهد آمد. پس خواهیم داشت:

$$0 = -\left[ -kA \left( \frac{d\theta}{dx} \right)_{x=L} \right] - hP \int_0^L \theta dx \quad (3-197)$$

معادله  $(3-197)$  را می توان به صورت زیر بازنویسی کرد:

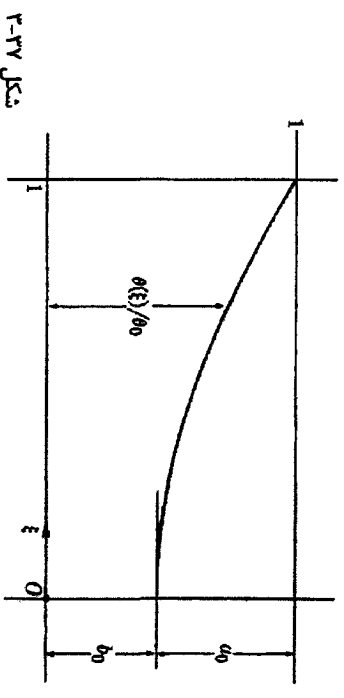
$$0 = \left( \frac{d\theta}{dx} \right)_{x=L} - m^2 \int_0^L \theta dx \quad (3-198)$$

که با انتگرال معادله  $(3-198)$  در بازه  $(0, L)$  که قبلاً حاصل شده است، یکسان خواهد بود. معادله  $(3-198)$  ممکن است برحسب جمله ای از عبارت  $x/L = \xi$  و  $\mu L = \mu$  بازنویسی شود که برای ارزیابی پروفایل های دما مناسب است. بنابراین:

$$0 = \left( \frac{d\theta}{d\xi} \right)_{\xi=1} - \mu^2 \int_0^1 \theta d\xi \quad (3-199)$$

می توان یک پروفایل درجه اول ریتز که شرایط مرزی مسئله را ارضا می کند را به صورت سهمی زیر نوشت (شکل ۳-۲۷):

$$\theta(\xi)/\theta_0 = 1 - (1 - \xi^2) a_0 \quad (3-195)$$



۱- همچنین می توان سهمی را به صورت جمله ای از دمای نوک،  $\theta_0 = e^{-\mu}$  برحسب  $\theta_0 = e^{-\xi} + \xi^2$  تریف نمود ولی چندان مناسب نیست.

در مورد حرارت منتقله از سطوح گسترش یافته، برای تعیین محدودیت پاسخ تقریبی که در بالا ارائه شده است، مناسبتر است به جای مقایسه دماهای دقیق و تقریبی، حرارت از دست رفته دقیق و تقریبی را مقایسه نماییم. این اتلافها بدین گونه‌اند:

$$\frac{q}{kA\theta_0/L} = \mu \tanh \mu, \quad \frac{q}{kA\theta_0/L} = \frac{\mu^2}{1+\mu^2/3}$$

که عبارت دوم با استفاده از  $q = hP \int_0^L \theta dx$  و به جای  $q = -[kA(d\theta/dx)]_{x=L}$  به دست آمده است.

(چرا؟) آیا نباید دو روش منجر به پاسخ یکسانی شوند؟ حرارت از دست رفته دقیق و تقریبی در جدول ۳-۳ برای بعضی از مقادیر  $\mu$  مورد مقایسه قرار گرفته است. (چرا میزان خطای میان حرارت‌های از دست رفته دقیق و تقریبی کوچکتر از میزان آن میان دماهای دقیق و تقریبی برای یک  $\mu$  داده شده است؟) بنابراین، وقتی  $\mu < 2$  است خطای حرارت از دست رفته کمتر از ۱/۱۱٪ است. با به کارگیری مقدار حدی  $\mu = 2$  می‌توان به عمق نفوذ برای یک میله با شعاع  $R$  به صورت  $L = (2kr/h)^{1/2}$  رسید که پاسخ تقریبی موجود را در بر دارد.

جدول ۳-۳

$\mu$	۱	۲	۴
دقیق	۰.۲۳۱۱	۱/۹۲۶۸	۳/۹۹۷۳
تقریبی	۰.۲۳۰۸	۱/۷۱۴۳	۲/۵۲۶۳
خطا %	۰.۱۳۰	۱/۵۲	۳۶/۸

به عنوان یک مثال یک میله فولادی با  $(k \approx 10 \text{ Btu/ft. hr. }^\circ\text{F})$  و  $R = \frac{1}{2} \text{ in}$  در نظر گرفته می‌شود. انتقال حرارت به وسیله جابه‌جایی آزاد به محیط گازی با  $h = 1 \text{ Btu/ft}^2 \cdot \text{hr. }^\circ\text{F}$  در صورت گرفته است. طول مجاز برای این حالت  $L \approx 0.91 \text{ ft}$  خواهد بود. اگر میله از مس ساخته شود  $(k \approx 200 \text{ Btu/ft. hr. }^\circ\text{F})$  طول  $L \approx 4.1 \text{ ft}$  خواهد شد. وقتی که انتقال حرارت به وسیله جابه‌جایی آزاد به مایعات یا جابه‌جایی اجباری انجام شود، در اکثر مواقع  $h$  افزایش می‌یابد و پاسخ تقریبی حاضر اغلب طول قابل توجهی را حاصل نمی‌کند.

ممکن است بر اساس راه‌حل‌های جبری موجود در روش‌های دقیق و تقریبی حل مسائلی که در بالا مدنظر قرار داده شد، عملی بودن راه حل‌های تقریبی مورد سوال قرار گیرد. به هر حال راه‌حل تقریبی پیش رو اساساً برای کسب تجربه بیشتر در استفاده از روش انتگرالی مورد بررسی قرار گرفته است. باید به یادداشت که جبر روش‌های حل تقریبی به‌طور عملی برای مسائل پیچیده بدون

فصل ۳- مسائل یک بعدی باید توابع بسل

تغییر باقی می‌ماند، درحالی که پیچیدگی روش‌های حل دقیق به سرعت افزایش پیدا خواهد کرد. این امر روش انتگرالی را مناسب و اغلب برای مسائل پیچیده ضروری می‌گرداند. اگر چه می‌بایست تا فصول ۵ و ۷ حل مسائل ناپایای یک‌بعدی با روش دیرانسلی به تأخیر انداخته شود، ولی در اینجا می‌توان به‌سادگی، انتخاب پروفایل‌های تقریبی را برای چنین مسائلی به روش انتگرالی تشریح کرد.

مثال ۳-۱۴. در مثال ۳-۱۰ و ۳-۱۳، دمای اولیه پره را یکنواخت و برابر دمای محیط  $T_\infty$  در نظر بگیرید. همچنین فرض کنید که دمای پایه ناگهان به  $T_0$  تغییر می‌کند و بعد از آن ثابت نگه داشته می‌شود. می‌خواهیم یک پاسخ درجه اول که تغییرات دمای تقریبی در پره را بدهد، بیابیم. از آنجایی که مساله شامل عمق نفوذ است، فرمولاسیون آن می‌تواند در دو بازه زمانی متوالی داده شود. در بازه زمانی اول عمق نفوذ کمتر با مسای (در حالت حدی) طول پره است؛ در بازه زمانی دوم دمای نوک پره از صفر تا مقدار پایای آن بالا خواهد رفت.

با در نظر گرفتن حجم کنترل متمرکز و سیستم دیرانسلی مناسب که در شکل ۳-۳۸ نشان داده شده است، فرمولاسیون انتگرالی مساله برای بازه زمانی اول بدین گونه خواهد بود:

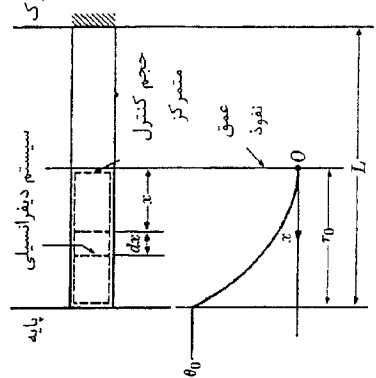
$$\frac{1}{\alpha} \frac{d}{dt} \int_0^{x_0} \theta dx = \left( \frac{\partial \theta}{\partial x} \right)_{x=x_0} - m_2 \int_0^{x_0} \theta dx \quad (3-197)$$

که در آن  $T - T_\infty = \theta$  و  $x$  مبدا محور در عمق نفوذ است. با توجه به این که طول پره هیچ اثری در فرمولاسیون دامنه زمانی اول نخواهد داشت، معادله (۳-۱۹۷) را به همین شکل و بدون بی‌عدسازي استفاده می‌کنیم.

از پروفایل درجه اول کانتروویج به صورت یک سهمی وابسته به مکان و زمان، که شرایط مرزی را تصدیق نموده و برحسب عمق نفوذ  $T_0$  بیان می‌شود، استفاده می‌کنیم. بنابراین داریم:

$$\frac{\theta(x,t)}{\theta_0} = \left( \frac{x}{L_0} \right)^2 \quad (3-198)$$

با قراردادن معادله (۳-۱۹۸) در معادله (۳-۱۹۷) و انتگرال‌گیری از عبارت حاصل یک معادله دیرانسلی غیرخطی به دست خواهد آمد:



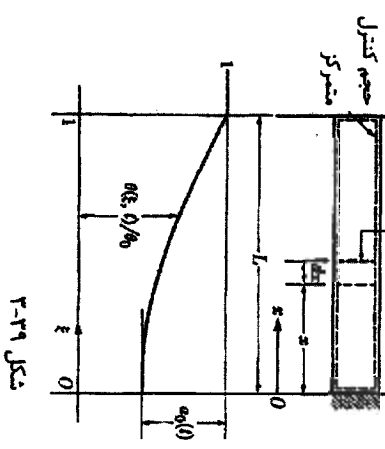
شکل ۳-۳۸

۱- به فرمولاسیون انتگرالی مثال ۳-۲ مراجعه شود.

مسئله ۳-۲-۱: یک بدنه پاید طولی بسط

پروفایل رتیز درجه اول. معادله (۳-۱۹۵) که برای مسئله پاید پایلی مثال ۳-۱۲ مورد استفاده قرار گرفته بود، اکنون می‌تواند دوباره در نظر گرفته شود که پارامتر ثابت  $\theta_0$  موجود در اینجا یک تابع پارامتری وابسته به زمان به صورت

$\theta_0(t)$  است که می‌بایست تعیین شود.



پارامتری وابسته به زمان به صورت  $\theta_0(t) = 1 - (1 - \xi^2) \theta_0(t)$  در معادله (۳-۲۰۶) یک پروفایل کنتروروج درجه اول است. با قرار دادن معادله (۳-۲۰۶) در معادله (۳-۲۰۵) و انتگرال‌گیری از آن خواهیم داشت:

$$\frac{d\theta_0}{dt} + \frac{3a}{L^2} \left(1 + \frac{\mu^2}{3}\right) \theta_0 = \frac{3a}{L^2} \left(\frac{\mu^2}{2}\right) \quad (3-207)$$

شرط اولیه‌ای که برای معادله (۳-۲۰۷) مفروض است:

$$\theta_0(t_0) = 1. \quad (3-208)$$

پاسخ معادله (۳-۲۰۷) که معادله (۳-۲۰۸) را راضا خواهد کرد به این صورت به دست خواهیم آمد:

$$\theta_0(t) = \frac{\mu^2/2}{1+\mu^2/3} + \frac{1-\mu^2/6}{1+\mu^2/3} \exp\left[-3\left(1+\frac{\mu^2}{3}\right)\frac{a(t-t_0)}{L^2}\right]. \quad (3-209)$$

نتیجتاً با اعمال معادله (۳-۲۰۹) در معادله (۳-۲۰۶) به دمای پره در دامنه زمانی دوم خواهیم رسید:

$$\frac{\theta(\xi,t)}{\theta_0} = 1 - \left(1 - \xi^2\right) \left\{ \frac{\mu^2/2}{1+\mu^2/3} + \frac{1-\mu^2/6}{1+\mu^2/3} \exp\left[-3\left(1+\frac{\mu^2}{3}\right)\frac{a(t-t_0)}{L^2}\right] \right\}. \quad (3-210)$$

وقتی که  $t \rightarrow t_0$  در معادله (۳-۲۱۰) به حد بالای پاسخ پازه زمانی اول یعنی معادله (۳-۱۹۸) برای  $L = L_0$  و وقتی که  $t \rightarrow \infty$  به پاسخ پایلی ارائه شده توسط معادله (۳-۱۹۶) نزدیک می‌شود. انتظار می‌رود که خطای معادله (۳-۲۱۰) از درجه خطای موجود در معادله (۳-۱۹۶) باشد. پس از توسعه دادن میزان استفاده و سپس تفهیم اهمیت پروفایل‌های پایدی درجه اول برای مسئله ناپایدی اکنون به راهی بهبود دادن پروفایل‌ها می‌پردازیم.

$$\frac{d\tau_0}{dt} + am^2\tau_0 = \frac{6a}{\tau_0}$$

که می‌توان آن را به صورت خطی برحسب  $\tau_0^2/2$  نوشت:

$$\frac{d(\tau_0^2/2)}{dt} + 2am^2(\tau_0^2/2) = 6a. \quad (3-199)$$

در معادله (۳-۱۹۹) باید شرط زیر صادق باشد:

$$\tau_0(0) = 0. \quad (3-200)$$

پاسخ معادله (۳-۱۹۹) با توجه به معادله (۳-۲۰۰) خواهد بود:

$$\tau_0^2 = \frac{6}{m^2} (1 - e^{-2am^2 t}). \quad (3-201)$$

اکنون می‌توان معادله (۳-۲۰۱) را برای به دست آوردن زمان نفوذ  $t_0$  مورد استفاده قرار داد که در آن  $L = L_0$  می‌باشد و عبارت زیر حاصل می‌شود:

$$t_0 = \frac{1}{2am^2} \ln\left(\frac{1}{1-\mu^2/6}\right), \quad (3-202)$$

که در آن مثل قبل  $mL = \mu$  است.

نهایتاً با قرار دادن معادله (۳-۲۰۲) درون معادله (۳-۱۹۸) و بازارایی آن، دمای پره در پازه زمانی اول بدین صورت به دست می‌آید:

$$\frac{\theta(x,t)}{\theta_0} = \frac{m^2 x^2}{6[1 - \exp(-2am^2 t)]}. \quad (3-203)$$

سیستم‌های دینامیکی و متمرکز مناسب برای پازه زمانی دوم در شکل ۳-۳۹ مشخص شده‌اند به هر حال با رجوع کردن به شکل ۳-۳۹ دیده می‌شود که نوک پره عایق‌بندی شده است و فرمولاسیون انتگرالی مسئله برای دامنه زمانی دوم به وسیله جاگذاری ساده  $t_0$  یا  $L$  در معادله (۳-۱۹۹) به آسانی به دست آمده است.

$$\frac{1}{a} \frac{d}{dt} \int_0^L \theta dx = \left(\frac{\partial \theta}{\partial x}\right)_{x=L} - m^2 \int_0^L \theta dx. \quad (3-204)$$

برای این پازه مناسب است که از متغیر بدون بعد  $\xi = x/L$  و پارامتر  $\mu = mL$  استفاده شود. معادله (۳-۲۰۴) به صورت زیر بازنویسی می‌شود:

$$\frac{L^2}{a} \frac{d}{dt} \int_0^1 \theta d\xi = \left(\frac{\partial \theta}{\partial \xi}\right)_{\xi=1} - \mu^2 \int_0^1 \theta d\xi. \quad (3-205)$$

۳-۱۰. تقریب‌های با درجه بالاتر  
بعضی مواقع به دلیل نیاز به دقت بالاتر در پاسخ مسائل، بهبود دادن نتایج پروفایل‌های درجه اول مورد توجه قرار می‌گیرد. از آنجایی که فصل حاضر فقط از نظر دینفرانسیلی با مسائل پایایی یک‌بعدی سروکار دارد، در اینجا پروفایل‌های با درجه بالاتر مسائل نابایایی چند بعدی مورد بحث قرار می‌گیرد.

تقریب  $(n+1)$  ام پروفایل کانتروویچ سه‌بعدی به صورت زیر می‌باشد:

$$\theta(v, t) = \theta[v, \tau_0(t), \tau_1(t), \dots, \tau_n(t)], \quad (3-211)$$

که در آن  $\tau_0(t), \tau_1(t), \dots$  و  $\tau_n(t)$  توابع پارامتری مجهول هستند که باید تعیین گردند و  $v$  نشان‌دهنده حجم است. فقط به‌خاطر روشن شدن مطلب فرض شده است که مساله کلی تحت بررسی برای یک جامد ساکن ایزوتروپیک و همگن به‌کار گرفته شود. فرمولاسیون دینفرانسیلی حاکم خواهد بود:

$$\frac{\partial \theta}{\partial t} = a \nabla^2 \theta.$$

با به‌کارگیری فرمولاسیون انتگرالی مساله نوشته شده، مثلاً به شکل زیر:

$$\int_{V_0} (\nabla^2 \theta - \frac{1}{a} \frac{\partial \theta}{\partial t}) \partial v = 0 \quad (3-212)$$

یک رابطه میان  $(n+1)$  تابع پارامتری مجهول حاصل می‌شود. دو روش عمومی برای به‌دست آوردن  $n$  رابطه باقی‌مانده میان این توابع پارامتری مجهول وجود دارد. روش اول در نظر گرفتن رابطه‌ای است که باید به‌وسیله ضرب توابع تحت انتگرال فرمولاسیون انتگرالی در توابع پیوسته ولی بسیار اختیاری  $F_i(v)$  به‌دست آید.

$$\int_{V_0} (\nabla^2 \theta - \frac{1}{a} \frac{\partial \theta}{\partial t}) F_i(v) dv = 0, \quad i = 1, 2, 3, \dots, n, \quad (3-213)$$

که در آن  $F_i(v)$  می‌تواند با فرض بسیار مناسبی از پروفایل‌های تقریبی متوالی که به شکل معادله (۳-۲۱۱) می‌باشند، انتخاب شده باشد. ایده موجود در تعریف معادله (۳-۲۱۳) استفاده از ریشه‌های آن برای محاسبه تغییرات است. بنابراین، بحث بر روی این نکته نیاز است که تا فصل ۸ به توفیق می‌افتد. حال باید متذکر شد که پروفایل‌های انتخاب شده هنوز فرمولاسیون دینفرانسیلی را ارضا نمی‌کنند. روش دوم بر اساس ارضا شدن فرمولاسیون و همچنین در صورت نیاز، صدق

۱- این کتاب در برگزیده ۷ فصل اول کتاب انتقال حرارت هدایتی آراچی است.

کردن مشتقات مکانی آن در  $n$  نقطه مناسب.  $P_j(j = 1, 2, 3, \dots, n)$  می‌باشد و بنابراین خواهیم داشت:

$$\frac{\partial^m}{\partial x_j^m} (\nabla^2 \theta - \frac{1}{a} \frac{\partial \theta}{\partial t}) = 0; \quad j = 1, 2, 3, \dots, n; \quad m = 0, 1, 2, \dots \quad (3-214)$$

که در آن  $x_j$  نشان‌دهنده یک جهت مناسب در فضا می‌باشد. به‌خاطر ماهیت مشخص فرآیند انتگرال‌گیری، به‌طور کلی انتظار می‌رود استفاده از معادله (۳-۲۱۳) به‌جای معادله (۳-۲۱۴) پروفایل‌های صحیح‌تری را نتیجه دهد. به هر حال وقتی یک تقریب درجه دوم یا سوم مورد نظر باشد، اگر معادله (۳-۲۱۴) در یک یا دو نقطه که بیشترین اختلاف میان پروفایل‌های انتخابی و واقعی در آن‌ها انتظار می‌رود صدق کند، تقریباً نتیجه‌ای به دقت و صحت نتیجه حاصل از به‌کارگیری معادله (۳-۲۱۳) به‌دست خواهد آمد.

حال استفاده از این دو روش در ارزیابی پروفایل‌های درجه دوم مسائل پایایی ساده ارائه می‌شود.

مثال ۳-۱۵. می‌خواهیم یک پاسخ تقریبی برای مساله مثال ۳-۱۰ و به‌صورت پروفایل رینر

درجه دوم به‌دست آوریم:

پروفایل پیشنهادی که شرایط مرزی مساله در آن صدق کنند به‌سهولت و با اضافه کردن یک

جمله به تقریب درجه اول معادله (۳-۱۹۵) نوشته شده است. پس خواهیم داشت:

$$\theta(\xi)/\theta_0 = 1 - (1 - \xi^2)(a_0 + a_1 \xi^2). \quad (3-215)$$

با قرار دادن معادله (۳-۲۱۵) در فرمولاسیون انتگرالی مساله، معادله (۳-۱۹۴) یا انتگرال معادله بی‌بعد شده (۳-۱۶۳) و انتگرال‌گیری، اولین رابطه میان پارامترهای ثابت به‌صورت زیر حاصل می‌شود:

$$(1 + \mu^2/3)a_0 + (1 + \mu^2/15)a_1 = \mu^2/2. \quad (3-216)$$

برای رابطه دوم، ابتدا شکل مناسب معادله (۳-۲۱۳) برای  $i = 1$  در نظر گرفته می‌شود. با فرض این که امکان داشته باشد که  $F_1(\xi), F_2(\xi), \dots$  را از معادله (۳-۲۱۵) به‌دست آوریم،  $F_1(\xi) = (1 - \xi^2)^2, F_2(\xi) = (1 - \xi^2)^2$  و  $\dots$  را خواهیم داشت و سپس رابطه دوم مورد نیاز به‌صورت زیر خواهد شد:

$$\int_0^1 (\frac{a^2 \theta}{a \xi} - \mu^2 \theta) (1 - \xi^2) d\xi = 0. \quad (3-217)$$

با قرار دادن معادله (۳-۲۱۵) در معادله (۳-۲۱۷) و انتگرال‌گیری از عبارت حاصل، رابطه دوم

به‌دست خواهد آمد:

۴- این اتلاف‌های حرارتی به‌همراه تقریب درجه اول مربوطه، با اتلاف‌های حرارتی واقعی در جدول ۴-۱ مورد مقایسه قرار گرفته‌اند که اعداد I و II مشخص‌کننده تقریب‌های درجه دوم به ترتیب بر اساس معادلات (۳-۲۱۲) و (۳-۲۱۴) هستند. بررسی جدول ۴-۱ نشان می‌دهد که خطاهای موجود در تقریب درجه دوم محاسبه شده توسط معادله (۳-۲۱۲) کوچک‌تر است. اگرچه این دقت بالاتر در نتیجه به‌کارگیری معادلات جبری منطقی حاصل شد. برای یک مساله خاص اغلب یکی از این تقریب‌ها مناسب‌تر از بقیه می‌باشد. بنابراین انتخاب به میزان دقت مورد نیاز در پاسخ، و همچنین دقتی ذاتی مساله بستگی دارد. برای مثال، معادله (۳-۲۱۲) که از آن به سهولت روابط زیاد و منطقی برای پارامترهای مجهول حاصل می‌شود، برای تقریب‌های با درجه بالاتر مناسب‌تر از معادله (۳-۲۱۴) است زیرا با استفاده از معادله (۳-۱۴) پیدا کردن محلهای کافی که در آن‌ها اختلاف زیادی میان پروقیال‌های دقیق و تقریبی انتظار می‌رود، مشکل می‌باشد.

جدول ۴-۳

$\mu$	۱	۲	۴
دقیق	۰.۷۶۱۶	۱/۹۲۸۱	۰.۹۹۷۳
تقریب اول	۰.۷۵۰۰	۱/۷۲۴۳	۰.۵۲۶۳
% خطا	۱.۷۲	۱۷.۱	۲۶.۸
تقریب دوم I	۰.۷۶۱۶	۱/۹۲۶۹	۲۱۹/۲۲۳
% خطا	۰.۰۰۰	-۰.۰۶۲	۱/۸۸
تقریب دوم II	۰.۷۶۱۴	۱/۹۱۳۰	۲۱۶/۲۱۱
% خطا	۰.۰۰۰	-۰.۰۲۶	۷/۹۶

به همان دلیل ارائه شده در مثال ۳-۱۳، اختلاف میان بلخ‌های تقریبی درجه دوم و دقیق وقتی  $50 \rightarrow \mu$  افزایش می‌یابد، به هر حال پروقیال‌های درجه دوم در محدوده بزرگتری از پارامتر  $\mu$  نسبت به پروقیال درجه اول قابل استفاده‌اند. محدوده موردنظر  $4 \leq \mu$  همراه با خطای کمتر از ۲٪ و ۱/۸٪ به ترتیب برای تقریب‌های درجه دوم I و II می‌باشد.

مساله نابینای مطابق با مثال حاضر (یعنی شامل یک تغییر ناگهانی در دمای پایه پوره) به عنوان

تمرین به خواننده واگذار می‌شود.  
با یادگیری این که پروقیال‌های تقریبی چگونه انتخاب و محاسبه می‌شوند می‌توان این فصل را با یک مثال در مورد انتخاب پروقیال با درجه مناسب برای مساله داده شده، جمع‌بندی کرد.  
مثال ۳-۱۶: می‌خواهیم پروقیال‌هایی برای راه حل تقریبی مساله مثال ۳-۱۲ انتخاب نماییم.

$$(3-218) \quad 1 + 2\mu^2/5)a_0 + (1/5 + 3\mu^2/35)a_1 = \mu^2/2.$$

قبل از بدست آوردن  $a_0$  و  $a_1$  یک رابطه جایگزین دیگر باید از معادله (۳-۲۱۴) بدست آید از آنجایی که پروقیال تقریبی چنان بدست آمده است که باید با توجه به شرایط مرزی گاردیان دما را به‌جای خود دما در نوک پره ارضا کند. بیشترین انحراف میان پروقیال‌های دقیق و تقریبی در این مکان (نوک پره) وجود خواهد داشت. پس می‌خواهیم شرط دومی را بنامیم که پروقیال تقریبی را مخصوصاً در نزدیکی نوک پره بهبود بخشد. این امر می‌تواند با صدق کردن معادله (۳-۲۱۵) در  $\xi = 0$  درون فرمولاسیون دینفراسلی، به‌بعد مساله،  $0 = \mu^2\theta/d\xi^2 - \mu^2\theta$ ، بدست آید. نتیجه آن این‌گونه خواهد بود:

$$(3-219) \quad 1 + \mu^2/2)a_0 - a_1 = \mu^2/2.$$

با بررسی همزمان معادلات (۳-۲۱۶) و (۳-۲۱۸) نتیجه می‌گیریم:

$$a_0 = \frac{(\mu^2/2)(1+\mu^2/84)}{1+9\mu^2/21+\mu^4/105}, \quad a_1 = \frac{\mu^2/24}{1+9\mu^2/21+\mu^4/105},$$

و همچنین از معادلات (۳-۲۱۶) و (۳-۲۱۹) خواهیم داشت:

$$a_0 = \frac{(\mu^2/2)(1+\mu^2/30)}{1+9\mu^2/20+\mu^4/60}, \quad a_1 = \frac{\mu^2/24}{1+9\mu^2/20+\mu^4/60}.$$

با قرار دادن این مقادیر در معادله (۳-۲۱۵) و بازبسی نتیجه به دو پروقیال رتبه درجه دوم برای مساله دست خواهیم یافت:

$$(3-220) \quad \frac{\theta(\xi)}{\theta_0} = 1 - \left( \frac{\mu^2/2}{1+9\mu^2/21+\mu^4/105} \right) (1 - \xi^2) \left( 1 + \frac{\mu^2}{84} + \frac{\mu^2\xi^2}{12} \right).$$

$$(3-221) \quad \frac{\theta(\xi)}{\theta_0} = 1 - \left( \frac{\mu^2/2}{1+9\mu^2/20+\mu^4/60} \right) (1 - \xi^2) \left( 1 + \frac{\mu^2}{30} + \frac{\mu^2\xi^2}{12} \right).$$

به دلایل شرح داده شده در مثال ۳-۱۳ حال باید اتلاف حرارتی را به‌جای دما مورد مقایسه قرار دهیم. همچنین همین‌طور که در همان مثال نشان داده شد، این اتلاف با استفاده از رابطه  $\theta dx = hP_0^t \theta dx$   $q = hP_0^t \theta dx$  به‌دست خواهد آمد. پس خواهیم داشت:

$$\frac{q}{kA\theta_0/L} = \frac{\mu^2(1+2\mu^2/21)}{1+9\mu^2/21+\mu^4/105}, \quad \frac{q}{kA\theta_0/L} = \frac{\mu^2(1+7\mu^2/60)}{1+9\mu^2/20+\mu^4/60}$$

- 3 F. B. HILDEBRAND, *Advanced Calculus for Engineers*. New York: Prentice-Hall, 1948.
- 4 W. T. MARTIN and E. REISSNER, *Elementary Differential Equations*. Reading, Mass.: Addison-Wesley, 1956.
- 5 W. KAPLAN, *Ordinary Differential Equations*. Reading, Mass.: Addison-Wesley, 1958.
- 6 W. M. ROHESENOW, Class Notes on "Advanced Heat Transfer." MIT, 1956.
- 7 H.S. CARSLAW and J. C. JAEGGER, *Conduction of heat in Solids*. Oxford: Clarendon Press, 1959.
- 8 E. SCHMIDT, "Die Wärmeübertragung durch Rippen." *Zeitschr. VDI*, 70, 885, 957 (1926).
- 9 W. B. HARPER and D. R. BROWN, "Mathematical Equations for Heat Conduction in the Fins of Air-Cooled Engines." *NACA Report 158*, 679 (1922).
- 10 K. A. GARDNER, "Efficiency of Extended Surfaces." *Trans. ASME*, 67, 621 (1945).
- 11 M. AVRAMI and J. B. LITTLE, "Diffusion of Heat Through a Rectangular Bar and Cooling and Insulation Effect of Fins." *Journ. Appl. Phys.*, 13, 255 (1942).
- 12 M. JAKOB, *Heat Transfer I*. New York: Wiley, 1949.

**مسائل**

۳-۱. مساله کلی بخش ۳-۱ و انتقال حرارت زیر را دوباره در نظر بگیرید:

$$q = \frac{T_1 - T_2}{(1/k) \int_{S_1}^{S_2} ds/A(s)} \quad (3-4)$$

(الف) نشان دهید که وقتی معادله (۳-۴) به شکل زیر نوشته می‌شود:

$$q = k \bar{A} \frac{T_1 - T_2}{S_2 - S_1},$$

مربوط به سطح انتقال حرارت واقعی در مختصات کارتزین است

$$\bar{A} = A;$$

و به صورت متوسط لگاریتمی مقادیر سطوح انتقال حرارت داخلی و خارجی در مختصات استوانه‌ای به صورت زیر است:

$$\bar{A} = \frac{A_2 - A_1}{\ln(A_2/A_1)}$$

و در مختصات کره‌ای، به صورت متوسط هندسی مقادیر سطوح انتقال حرارت داخلی خارجی، می‌باشد:

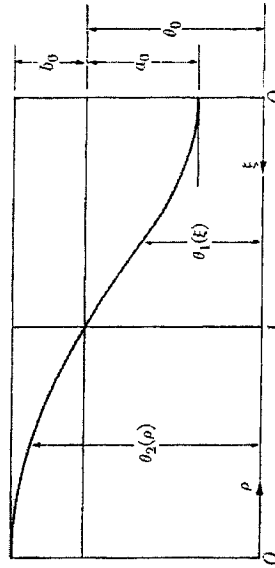
$$\bar{A} = (A_2 A_1)^{1/2}.$$

به وسیله چند جمله‌ای‌ها، توزیع دما در کف و دیواره‌های جانبی ظرف می‌توانند به صورت سهمی تقریب زده شوند (شکل ۳-۴۰). بنابراین پروفایل‌های ریتز درجه اول به صورت زیر وجود خواهند داشت:

$$\theta_1(\xi) = \theta_0 - (1 - \xi^2) a_0, \quad (3-222)$$

$$\theta_2(\rho) = \theta_0 + (1 - \rho^2) b_0, \quad (3-222)$$

که در آن  $\theta_0$ ،  $a_0$  و  $b_0$  به ترتیب دماهای مجهول گوشه، مرکز کف و نوک دیواره جانبی هستند و معادلات (۳-۱۸۴) الی (۳-۱۸۹) را به جز معادله (۳-۱۸۸) ارضا کنند. اکنون با به کارگیری صورت نی‌بند معادله (۳-۱۸۸)،  $a_0 = b_0$  حاصل می‌شود که حاکی از برابری افت دما در کف ظرف و دیواره‌های جانبی آن است. به وضوح این مورد یک محدودیت جدی است که با توجه به فیزیک مساله نمی‌تواند مجاز باشد. بنابراین تقریب‌های درجه اول داده شده توسط معادلات (۳-۲۲۲) و (۳-۲۲۳) نمی‌توانند برای مساله مناسب باشند. در این حالت ساده‌ترین جفت از پروفایل‌های معنی‌دار فیزیکی که الزاماً باید بر اساس تقریب‌های درجه دوم باشند، برای یکی از پروفایل‌ها و یا هر دو آن‌ها مدنظر قرار می‌گیرند.



شکل ۳-۴۰

**مراجع**

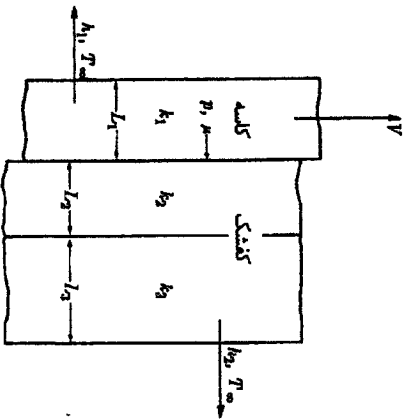
- 1 TH. von KARMAN and M. A. BIOT, *Mathematical Methods in Engineering*. New York: McGraw-Hill, 1940.
- 2 N. W. MCLACHLAN, *Bessel Function for Engineers*. Oxford: Clarendon Press, 1955.

۱- به بحث مربوط به شکل ۳-۲۵ رجوع شود.

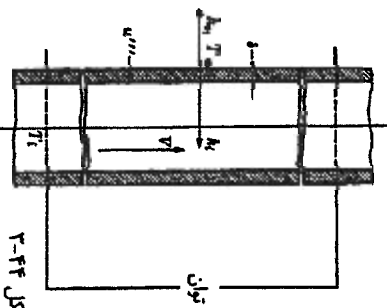


۳-۴. به علت ناچیز بودن اثر انحنای فرض می‌شود که بتوان ترمز یک وسیله نقلیه را به وسیله یک صفحه تخت (کاسه ترمز) که در یک صفحه کالیبریت (کفک ترمز) با سرعت ثابت  $V$  حرکت می‌کند، شیب‌سازی نمود (شکل ۳-۴۳). فشار سطح تماس ثابت و یکنواخت  $P$  و ضریب اصطکاک می‌دهای محیط  $T_0$  و ضرایب انتقال حرارت  $k_1$  و  $k_2$  هستند. ضریب هدایت حرارتی و ضخامت صفحات به ترتیب  $k_1, k_2$  و  $k_3, k_4$  و  $k_5, k_6$  و  $k_7, k_8$  و  $k_9, k_{10}$  و  $k_{11}, k_{12}$  و  $k_{13}, k_{14}$  هستند.

(الف) حرارت منتقل شده به کاسه و به کفک ترمز را محاسبه کنید.  
(ب) حداکثر دمای ترمز را بیابید.  
(ج) مدار الکتریکی مربوط به قسمت (الف) را رسم کنید.



شکل ۳-۴۵



شکل ۳-۴۴

۳-۵. آب تحت فشار با سرعت  $V$  در میان یک لوله توخالی در جریان است (شکل ۳-۴۴). دمای آب ورودی  $T_1$  و دمای محیط اطراف  $T_0$  است. ضرایب انتقال حرارت داخلی و خارجی به

(ب) نشان دهید که وقتی  $A_1 \rightarrow A_2$ ، مقادیر متوسط هندسی و لگاریتمی به سمت مقدار متوسط حسابی زیر نزدیک می‌شوند:

$$\bar{A} = (A_1 + A_2) / 2$$

۳-۲. یک صفحه تخت که در آن انرژی داخلی به وسیله یک مدار الکتریکی خارجی تولید می‌شود را در نظر بگیرید. (شکل ۳-۴۱)

(الف) نشان دهید که شکل یک بادی کارترین معادله هدایت به‌کار برده شده در این صفحه می‌تواند به‌صورت زیر نوشته شود:

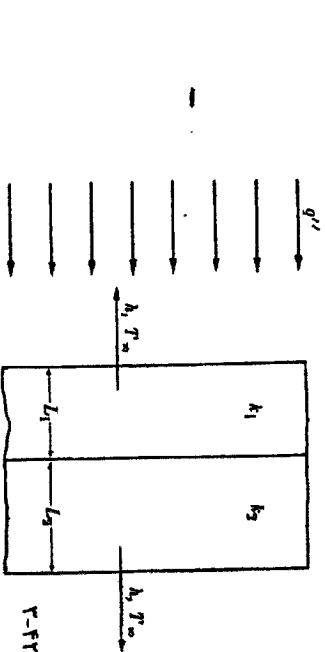
$$\frac{d}{dx} \left( k \frac{dT}{dx} \right) + k_e \left( \frac{dT}{dx} \right)^2 = 0,$$

که در آن  $k_e$  رسانش الکتریکی بر واحد طول و  $k$  رسانش حرارتی است.  $E$  و  $V$  به ترتیب بر واحد سطح در جهت  $x$  و  $y$  پتانسیل الکتریکی است.

(ب) نشان دهید که شکل سه بادی معادله مذکور به صورت زیر است:

$$V \cdot (k \nabla^2 T) + k_e (V E)^2 = 0.$$

شکل ۳-۴۱



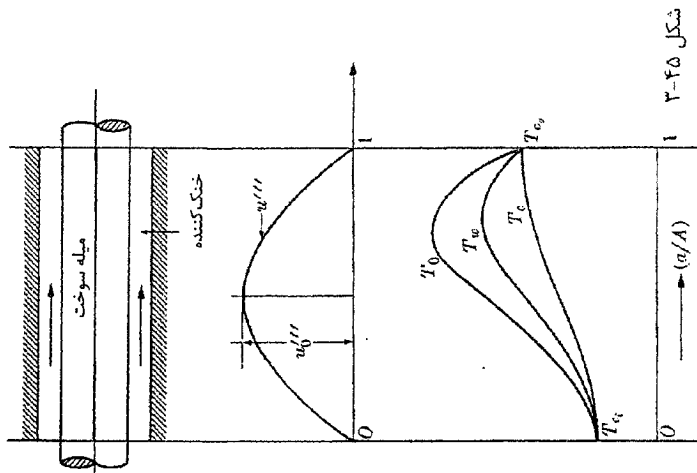
شکل ۳-۴۲

۳-۳. دیواره خارجی یک خنک‌کننده از دو صفحه موازی تشکیل شده است (شکل ۳-۴۲). ضریب هدایت حرارتی و ضخامت صفحات به ترتیب  $k_1, k_2$  و  $k_3, k_4$  و  $k_5, k_6$  است. دمای محیط‌های داخلی و خارج و ضرایب انتقال حرارت مشابه و برابر  $T_0$  و  $T_1$  است. تابش خالص میان خورشید و دیواره خارجی  $q''_s$  است.

(الف) انتقال حرارت به خنک‌کننده را محاسبه کنید.  
(ب) مدار الکتریکی مربوط به قسمت الف را رسم کنید.

انتقال حرارت هدایتی

ترتیب  $h_i$  و  $h_o$  هستند. انرژی داخلی ثابت  $u'''$  به‌طور یکدخت در دیواره های لوله تولید می‌شود. هدایت محوری ناچیز است. توزیع دمای محوری و متفرکز شعاعی سیستم را (الف) مطابق با فرض اشتباه  $h_i \sim h_o$  و (ب) با توجه به  $h_i \gg h_o$  بیابید.



۳-۶. یک ساول واحد از هسته راکتور با خنک‌کننده مایع به‌وسیله یک خنک‌کننده که به‌طور هم‌محور با میله سوختی بر روی آن جریان دارد، شیشه‌سازی شده است. (شکل ۳-۴۵). انرژی داخلی تولیدی در میله  $u''' \sin(\alpha/A)$  است که در آن  $a$  و  $A$  به‌ترتیب سطوح انتقال حرارت محلی و کل هستند. هدایت محوری ناچیز است و ضریب انتقال حرارت  $h$  میان میله سوختی و خنک‌کننده ثابت فرض شده است. نشان دهید که

$$\frac{T_c - T_{ci}}{T_{co} - T_{ci}} = \frac{1}{2} \left( 1 - \cos \frac{\pi}{A} \right)$$

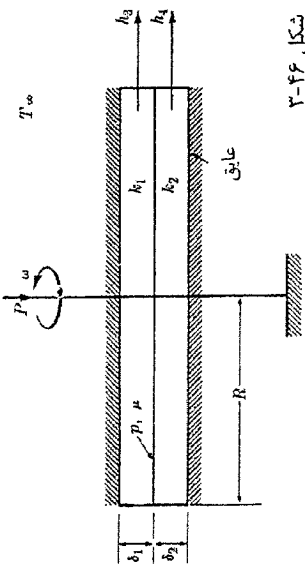
$$\frac{T_{wo} - T_{ci}}{T_{co} - T_{ci}} = \frac{1}{2} \left( 1 - \cos \frac{\pi}{A} \right) + \frac{\pi}{2} \left( \frac{u''' a}{A h} \right) \sin \frac{\pi}{A}$$

۲۰۳ فصل ۳- مسائل یک بعدی پاید، توزیع سبل

$$\frac{T_o - T_{ci}}{T_{co} - T_{ci}} = \frac{1}{2} \left( 1 - \cos \frac{\pi}{A} \right) + \frac{\pi}{2} \left( \frac{u''' a}{A h} \right) \sin \frac{\pi}{A}$$

که در آن  $\omega$  سرعت جریان خنک‌کننده،  $T_c$  دمای محلی خنک‌کننده،  $T_{ci}$  و  $T_{co}$  دماهای ورودی و خروجی خنک‌کننده،  $C$  گرمای ویژه خنک‌کننده،  $k$  ضریب هدایت حرارتی میله،  $R$  شعاع خارجی میله،  $T_{wo}$  دمای سطح تماس میله و خنک‌کننده و  $T_o$  دمای خط مرکزی میله است.

۳-۷. یک دیسک دیواره نازک با سرعت دورانی  $\omega$  بر روی یک دیسک دیواره نازک ثابت دیگر می‌چرخد (شکل ۳-۴۶). سطوح بالایی و پایینی سیستم عایق‌بندی شده‌اند. فشار سطح تماس  $p$ ، ضریب اصطکاک  $\mu$ ، ضرایب انتقال حرارت محیطی  $h_3$  و  $h_4$  و دمای محیط  $T_\infty$  است. شعاع، ضخامت و ضریب هدایت حرارتی دیسک‌ها به ترتیب  $R$ ،  $\delta_1$ ،  $\delta_2$  و  $k_1$ ،  $k_2$  هستند. توزیع دما در دیسک‌ها را بیابید.



۳-۸. ضریب انتقال حرارت محلی در یک لوله به‌صورت تجربی به‌دست آمده است. برای این

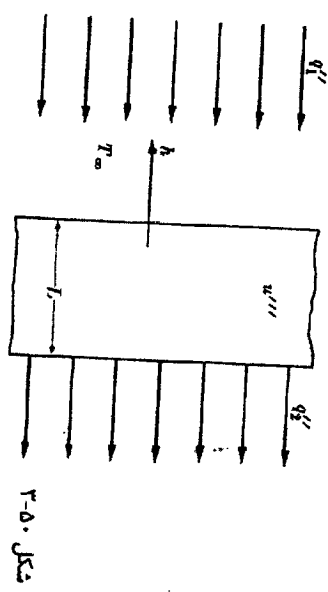
منظور مساله ۳-۵ را با مقروضات عایق بودن لوله و توزیع دمای شعاعی و محوری در آن در نظر می‌گیریم. مطابق تعریف ضرایب انتقال حرارت در لوله‌ها، رابطه محلی زیر موجود است:

$$h = \left( \frac{h_o^2 - R_i^2}{2R_i} \right) \frac{u''' m}{T_{wi} - T_b}$$

که در آن  $R_o$  و  $R_i$  به‌ترتیب شعاع‌های داخلی و خارجی لوله،  $T_{wi}$  دمای داخلی دیواره و  $T_b$  دمای توده سیال است (شکل ۳-۴۷). محاسبه دمای محلی توده  $T_b$  برحسب مقدار  $T_i$  ورودی اندازه‌گیری شده، قسمت (ب) مساله ۳-۴ را تشکیل می‌دهد. از آنجایی که دمای داخلی دیواره  $T_{wi}$  به سختی اندازه‌گیری می‌شود (چرا؟)، به‌جای آن دمای خارجی دیواره اندازه‌گیری شده است. یک عبارت که مقدار محلی  $T_{wi}$  را به  $T_{wo}$  اندازه‌گیری شده مرتبط سازد، بیابید.

فصل ۳- مسائل یک بعدی پایه توابع بسل

یکویت  $q_2^*$  از سطح سمت راست صفحه اعمال می‌شود. (شکل ۳-۵۰). ضریب انتقال حرارت و دمای محیط در سمت چپ صفحه به ترتیب  $h$  و  $T_{\infty}$  است. با استفاده از اصل جمع‌پذیری مساله را به تادی مسائل متناسب ساده‌تر تقسیم کنید (این مسائل را حل نکنید).



شکل ۳-۵۰. مسئله از عبارت قانون هدایت فوریه شروع کرده و نشان دهید که در غیاب هرگونه تولید گرمایی داخلی، وقتی که ضریب هدایت حرارتی به‌طور کلی  $k = k_0(1 + \beta T)$  به دما وابسته است، هدایت یک‌بعدی در یک صفحه صاف را می‌توان به شکل زیر نوشت:

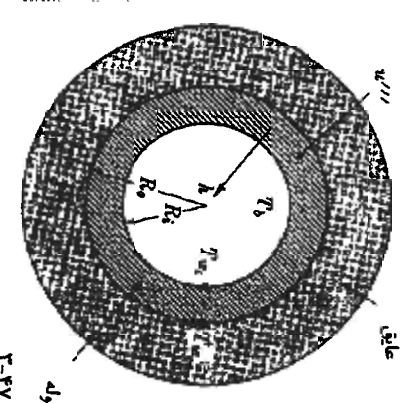
$$q = k_m A \frac{T_1 - T_2}{x_2 - x_1}$$

در آن  $k_m = (k_1 + k_2)/2$  و  $k_m$  میانگین دمای صفحه  $T_1$  و  $T_2$  دمای مربوط به دما است. توزیع دمای صفحه را توسط (ب) انتگرال مستقیم و (ب) با روش کرشهف به‌دست می‌آورند. در مسائلی که ضریب هدایت حرارتی وابسته به دما است، به غیر از روش کرشهف روش دیگری برای استفاده در مسائل یک بعدی پایا با مرز عایق شده، یا مسائلی که دارای صفحه محور تقارن می‌باشند، وجود دارد. این روش بر پایه بسط دمای نامعلوم در یک سری تیلور حول مرکز عایق شده یا حول صفحه یا محور تقارن استوار است. سپس جملات سری توسط معادله حاکم مساله و مشتقات متوالی آن محاسبه می‌شوند. برای تشریح روش به مثال ۳-۸ توجه کنید. دمای صفحه را حول  $x = 0$  بسط می‌دهیم که به این ترتیب سری تیلور به سری مکلورن تبدیل می‌شود. جملات سری را از معادله حاکم بر مساله به‌دست آورید.

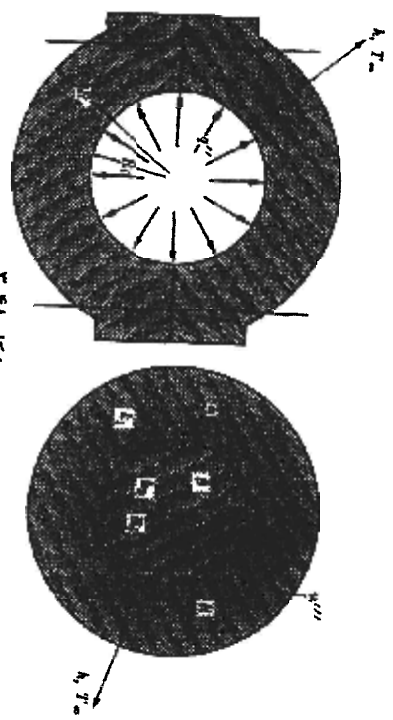
$$\frac{dk}{dT} \left( \frac{dT}{dx} \right)^2 + k(T) \frac{d^2T}{dx^2} + u''' = 0,$$

و مشتقات متوالی آن را با در نظر گرفتن  $\left. \frac{dT}{dx} \right|_{x=0} = 0$  محاسبه کنید. نشان دهید که نتیجه به‌صورت زیر خواهد بود:

انتقال حرارت هدایتی



شکل ۳-۴۷

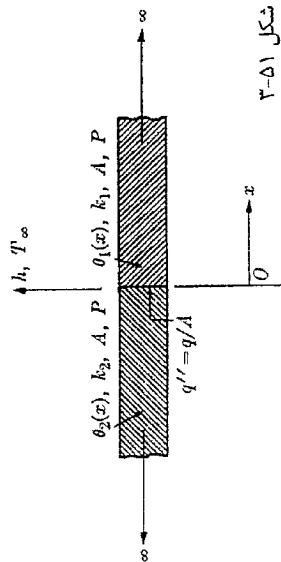


شکل ۳-۴۸

شکل ۳-۴۹. سطح داخلی یک بسب گرماسنج تحت شار حرارتی  $q''$  حاصل از فرآیند واکنش شیمیایی گرمایا قرار گرفته است. (شکل ۳-۴۸). شمای داخلی و خارجی گرماسنج به‌ترتیب  $R_i$  و  $R_o$  هستند. ضریب انتقال حرارت خارجی  $h$  و دمای محیط  $T_{\infty}$  است. (الف) دمای سطح داخلی گرماسنج را به‌دست آورید. (ب) آیا ممکن است که بتوان بدون تغییر  $R_i$  و  $R_o$  و  $q''$  و  $T_{\infty}$  این دما را کاهش داد؟

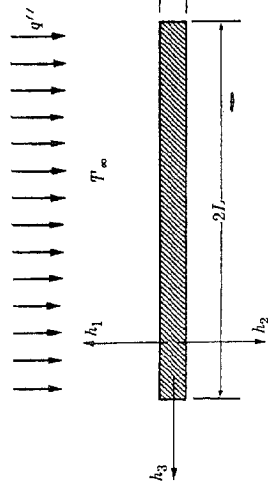
شکل ۳-۴۹. انرژی داخلی  $u'''$  به‌طور یکدخت در یک صفحه تولید می‌شود. سطح سمت چپ صفحه به‌طور یکدخت تحت شار حرارتی  $q_1''$  قرار دارد که با فاصله‌ای از آن سطح می‌شود. شار حرارتی

۱- Calorimeter



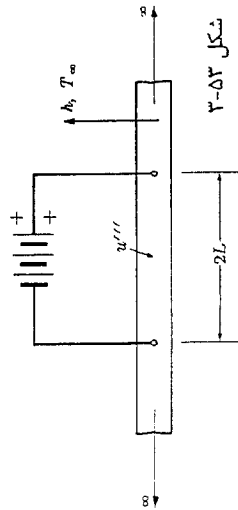
شکل ۳-۵۱

۳-۱۸. صفحه مسطحی در دمای محیط  $T_{\infty}$  از منبعی شار حرارتی تشعشعی خالص  $q''$  را دریافت می‌دارد (شکل ۳-۵۲). ضخامت صفحه  $\sigma$  بسیار کمتر از طول آن  $2L$  است. بعد سوم صفحه به بی‌نهایت میل می‌کند. ضرایب انتقال حرارت بالا و پایینی به ترتیب  $h_1$  و  $h_2$  هستند. ضریب انتقال حرارت از انتهای صفحه در صورت نیاز به صورت  $h_3 \neq h_1 \neq h_2$  داده شده است. توزیع دمای سیستم را بیابید.



شکل ۳-۵۲

۳-۱۹. یک پره بی‌نهایت را در نظر بگیرید. انرژی داخلی  $T''$  به‌طور یکنواخت در قسمت نشان داده شده از پره در شکل ۳-۵۳ تولید می‌شود. ضریب هدایت حرارتی، مساحت سطح مقطع و محیط جانبی پره به ترتیب  $k$ ،  $A$  و  $P$  هستند. ضریب انتقال حرارت  $h$  و دمای محیط  $T_{\infty}$  است. دمای پایانی پره را بیابید.



شکل ۳-۵۳

$$T(x) = T_0 - \frac{u''' x^2}{k(T_0) 2!} - \frac{3u''^2 (dk/dT)}{k^2(T_0)} \frac{x^4}{4!} + \dots,$$

که در آن  $T_0$  دمای صفحه در  $x=0$  است. حداکثر خطای ناشی از برش  $\epsilon_{\max}$  سری مذکور چنین است:

$$\epsilon_{\max} < \left( \frac{d^6 T}{dx^6} \right)_{\max} \frac{l^6}{6!}.$$

باید متذکر شد که  $(d^6 T/dx^6)_{\max}$  به‌سختی تقریب زده می‌شود. اگرچه به‌دلیل تغییرات دما می‌تواند به‌وسیله  $(d^6 T/dx^6)_{x=0}$  تقریب زده شود. در حالت کلی دمای سطحی صفحه  $T_{\infty}$  صفحه (یا شرط مرزی دیگر) به جای  $T_0$  داده می‌شود. بنابراین یک فرآیند حدس و خطا برای مرتبط کردن دمای نامشخص  $T_{\infty}$  به  $T_0$  داده شده، نیاز است. به عنوان اولین تقریب می‌توان حالت ضریب هدایت حرارتی ثابت را مورد استفاده قرار داد. وقتی که مقدار  $T_0$  حاصل را در سری مکابورن قرار دهیم دمای سطح به‌دست آمده با  $T_{\infty}$  متفاوت است. این فرآیند با تغییر  $T_0$  تا زمانی که اختلاف میان دماهای داده شده و به‌دست آمده کوچک‌تر از مقدار مشخصی شود، تکرار می‌شود.

۳-۱۴. با استفاده از روش حل مساله ۳-۱۳، مساله ۳-۸ را با فرض این که ضرایب هدایت حرارتی و الکتریکی لوله به‌طور خطی به دما وابسته‌اند مجدداً حل کنید.

۳-۱۵. پیل سوختی کروی مثال ۳-۷ را در نظر بگیرید. فرض کنید که تولید انرژی هسته‌ای داخلی در ماده قابل شکافت یکنواخت باشد. ضریب هدایت حرارتی این مواد به‌صورت خطی به دما وابسته است. در حالی که برای پوشش فلزی ثابت است. با استفاده از روش مساله ۳-۱۳ توزیع دما در پیل سوختی را بیابید.

۳-۱۶. با شروع از صورت کلی معادله هدایت برای محیط‌های ایزوتروپیک همگن:

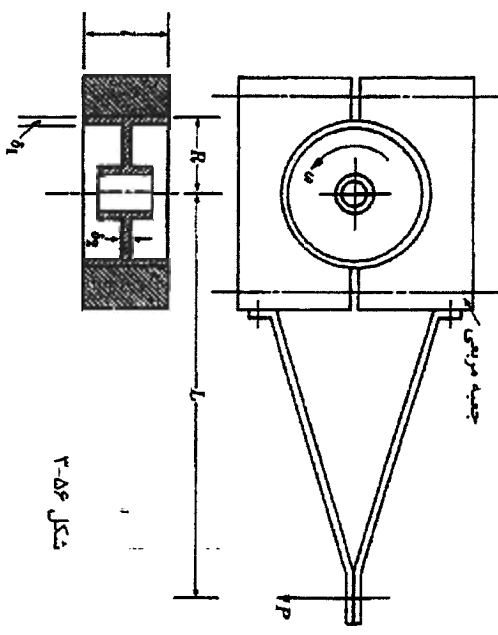
$$\frac{dT}{dt} = a \nabla^2 T + \frac{u'''}{\rho c},$$

معادله حاکم بر صفحات گسترش‌یافته با سطح مقطع ثابت را به‌دست آورید.

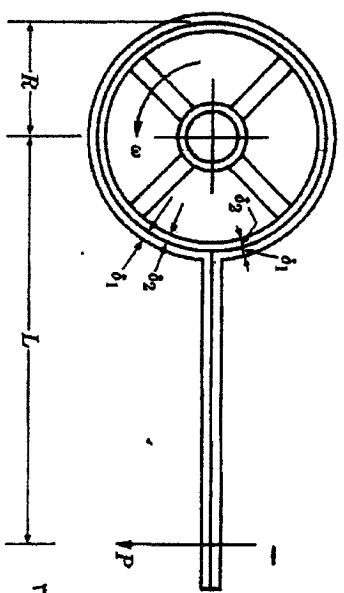
$$\frac{d^2 T}{dx^2} - \left( \frac{hP}{kA} \right) (T - T_{\infty}) = 0.$$

۳-۱۷. یک پره بی‌نهایت مشکل از دو پره نیمه بی‌نهایت را در نظر بگیرید (شکل ۳-۵۱). شار حرارتی یکنواخت  $q''$  در محل اتصال تولید می‌شود. هندسه پره‌ها مشخص است. ضرایب هدایت حرارتی  $k_1$  و  $k_2$  هستند. توزیع دمای سیستم را بیابید.

جرئی چمبه مریمی در مقایسه با چرخ گردان کوچک است. پس می‌توان فرض کرد کل حرارت تجرئی در چرخ گردان جریان می‌یابد. توزیع دمای چرخ گردان را به‌دست آورید.

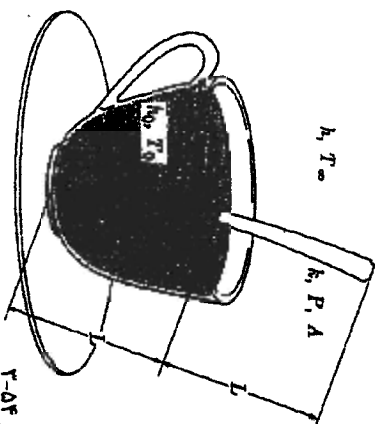


۳-۲۲ مسئله ۳-۲۲ را در حالتی که ترمز برزنی نشان داده شده در شکل ۳-۵۷ جایگزین شده باشد مجدداً حل نمایید. فرض کنید که همه ضرایب هدایت دارای یک اندازه باشند.

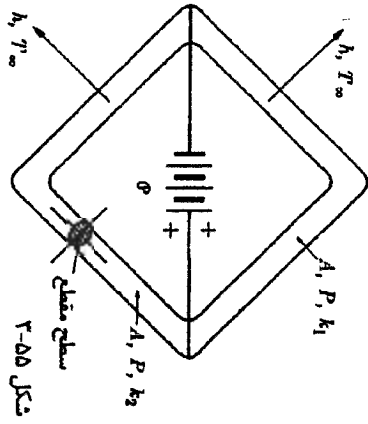


۳-۲۳ یک مایع غیر گرانیو با خواص ثابت دارای سرعت  $V$  و دمای بالادست جریان  $T_0$  بصورت مستقیم از سمت چپ به سمت راست در یک لوله با سطح مقطع  $A$  و سطح جانبی  $P$  در جریان است (شکل ۳-۵۸). ضخامت دیواره لوله ناچیز است. نیمه پایین دست جریان از لوله در انتقال حرارت با محیط دمای  $T_1$  بوده و نیمه بالا دست جریان از لوله عایق‌بندی شده است. ضریب انتقال حرارت  $h$  است. توزیع دمای دمای در مایع را بیابید.

۳-۲۰ یک قاشق در یک فنجان چای را می‌توان به عنوان یک میله با سطح مقطع ثابت تقریباً زد (شکل ۳-۵۴). ضریب هدایت حرارتی، طول، محیط جانبی و مساحت سطح مقطع قاشق به ترتیب  $k$ ,  $P$ ,  $2\pi R$  و  $A$  می‌باشند. ضرایب انتقال حرارت  $h_1$  و  $h_2$  هستند. نصف قاشق در چای است. فرض کنید که دمای چای ثابت بماند و انتهای قاشق عایق‌بندی شده است. دمای حالت پایایی قاشق را بیابید.



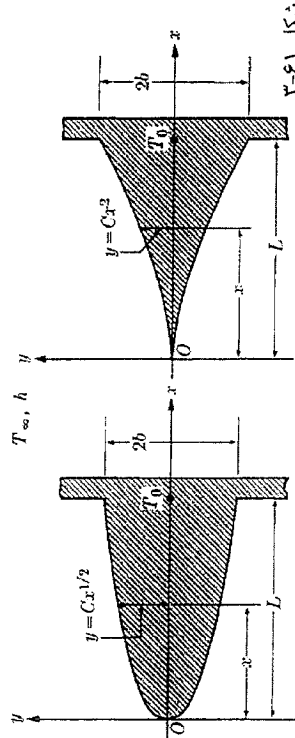
۳-۲۱ توزیع دما در میله مریمی نشان داده شده در شکل ۳-۵۵ را بیابید. ضریب هدایت حرارتی قسمت بالایی و پایینی میله  $k_1$  و  $k_2$  می‌باشند. مقاومت الکتریکی کل قسمت‌های بالایی و پایینی به ترتیب  $R_1$  و  $R_2$  هستند. تون تولیدی در باتری  $\mathcal{E}$  است.



۳-۲۲ تحت شرایط پایا و با استفاده از یک ترمز برزنی، گشتاور موتور با سرعت زاویه‌ای  $\omega$  به‌وسیله نیروی  $P$  متعادل می‌شود (شکل ۳-۵۶). ضریب اصطکاک خشک  $\mu$  است. ضریب هدایت

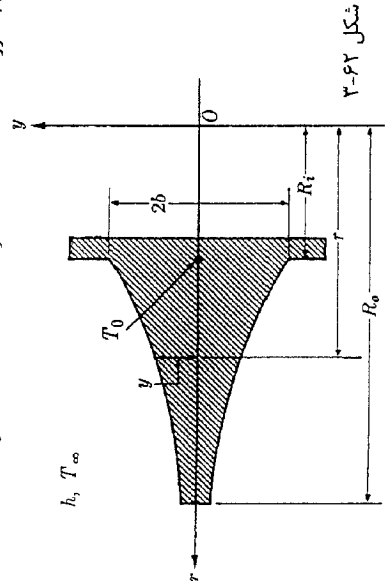
۳-۲۶. یک ماشین برنس حرارتی در شکل ۳-۶۰ نشان داده شده است. انتقال حرارت از سیم پرن شده به محیط در دمای  $T_{\infty}$  و با ضریب هدایت حرارتی  $h$  انجام می‌شود. در محل  $L$  برای انجام یک عملیات شیمیایی نیاز به دانستن  $T_0$  داریم. دمای ورودی سیم در  $T_0$  تنظیم شده است. سرعت زاویه‌ای دیسک‌های چرخان را محاسبه کنید. مساله را با استفاده از یک سیستم حجم کنترل تحلیل کنید.

۳-۲۷. یک پره مستقیم با پروفایل سهموی (شکل ۳-۶۱) را در نظر بگیرید. ضریب هدایت حرارتی، ضخامت پایه، و طول پره به ترتیب  $k$ ،  $2b$ ، و  $L$  هستند. ضریب انتقال حرارت  $h$  و دمای محیط  $T_{\infty}$  می‌باشد. دمای پایا و کل حرارت منتقله از پره را با فرض این‌که معادله سهمی (الف)  $y = Cx^{1/2}$  باشد را بیابید. که  $C$  یک ثابت است.



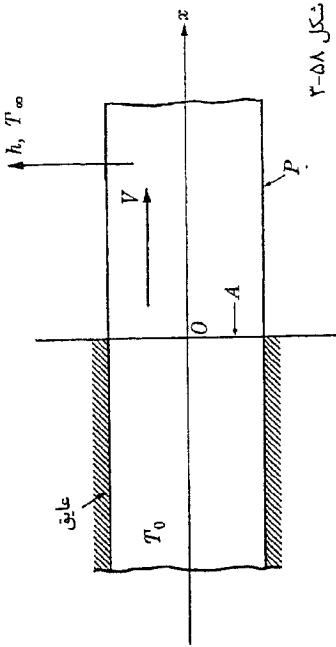
شکل ۳-۶۱

۳-۲۸. یک پره حلقوی با پروفایل هندولی (شکل ۳-۶۲) را در نظر بگیرید. ضریب هدایت حرارتی، ضخامت پایه و شعاع‌های داخلی و خارجی پره به ترتیب  $k$ ،  $2b$ ،  $R_0$  و  $R_i$  هستند. ضریب انتقال  $h$  و دمای محیط  $T_{\infty}$  است. دمای پایا و کل حرارت منتقله از پره را با فرض این‌که معادله هندولی به صورت (الف)  $r^2 = C$  و (ب)  $y^2 = C$  باشد را بیابید که در آن  $C$  یک ثابت است.

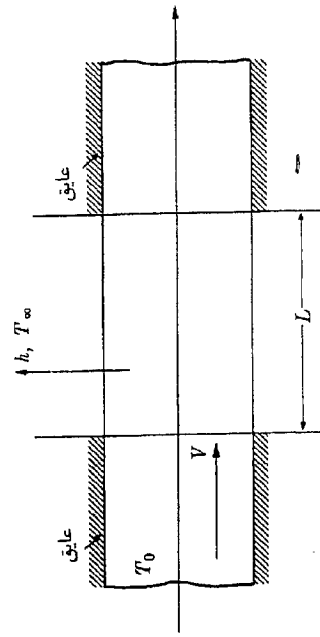


شکل ۳-۶۲

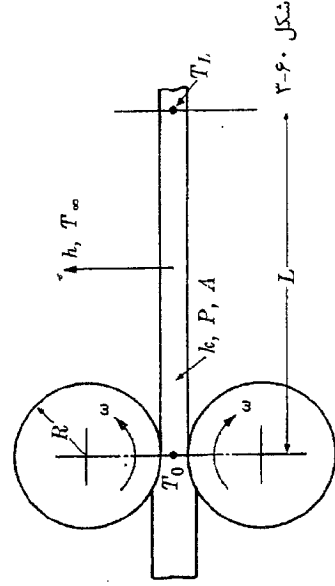
۳-۲۵. مساله ۳-۲۴ را با در نظر گرفتن این‌که این بار بخشی از لوله به طول  $L$  با محیطی به دمای  $T_{\infty}$  تبادل حرارتی دارد (شکل ۳-۵۹). مجدداً حل نمایید.



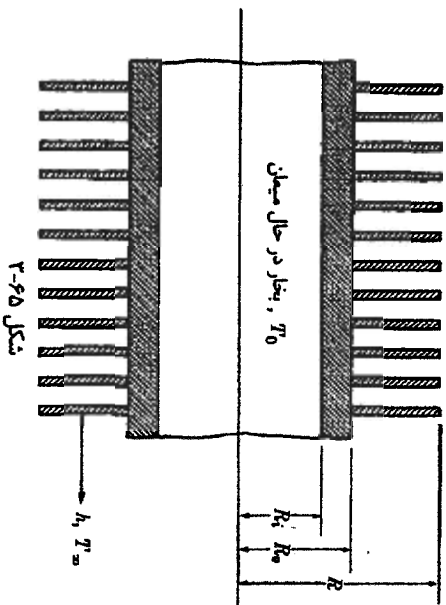
شکل ۳-۵۸



شکل ۳-۵۹



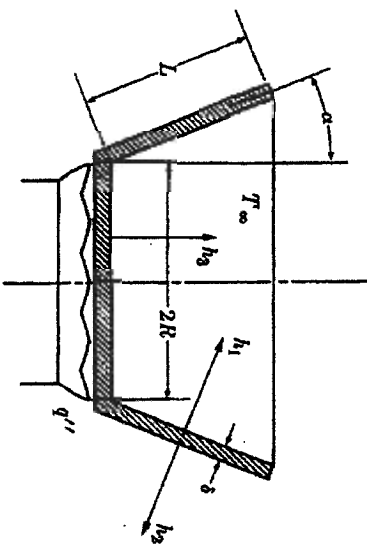
شکل ۳-۶۰



شکل ۳-۶۵

۳-۳۲. یک کتری خالی از قسمت زیرین تحت شار حرارتی یکنواخت  $q''$  قرار گرفته است

(شکل ۳-۶۶) دمای محیط  $T_o$  است و ضرایب انتقال ترتیب  $h_1$  و  $h_2$  و  $h_3$  هستند. ضریب هدایت حرارتی، طول، شعاع کف و ضخامت کتری به ترتیب  $k$ ،  $L$ ،  $R$  و  $\delta$  هستند. با استفاده از ساده‌ترین فرمولاسیون ممکن برای مساله، دمای پایی کتری را بیابید.

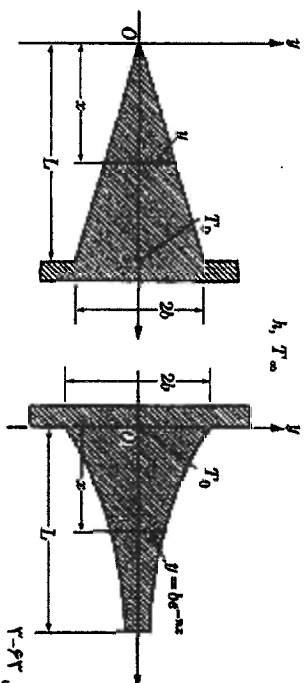


شکل ۳-۶۶

۳-۳۳. یک سیال تراکم‌ناپذیر به‌طور پایا و ششامی بین دو دیسک موازی هم‌مرکز با ضخامت

$2\delta$  (شکل ۳-۶۷) فاصله  $\delta$  میان دیسک‌ها کم است. دمای ورودی سیال در  $T_o$  تنظیم شده است. دبی جرمی  $\dot{m}$  ضریب هدایت حرارتی سیال  $k$ ، دمای محیط  $T_e$ ، شعاع داخلی دیسک  $R_i$  و ضرایب انتقال بالایی و پایینی ترتیب  $h_1$  و  $h_2$  هستند. توزیع دمایی ششامی در سیال را بیابید.

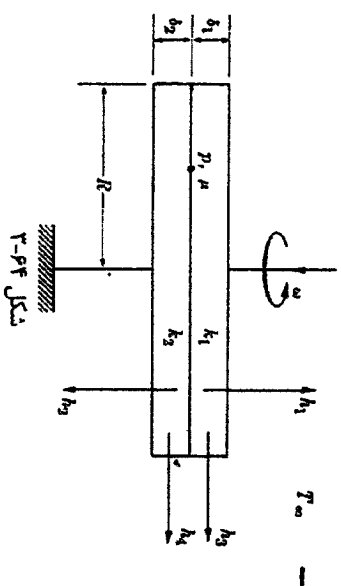
۳-۳۴. یک پره سوزنی با شعاع مقطع متغیر (شکل ۳-۶۸) را در نظر بگیرید. ضریب هدایت حرارتی، ضخامت پایه و طول پره به ترتیب  $k$ ،  $2b$  و  $L$  هستند. ضریب انتقال حرارت  $h$  و دمای محیط  $T_o$  است. دمای پایه و کل حرارت تلف شده از پره را با فرض اینکه سطح مقطع آن به‌طور افقی (خطی ب) دمایی تغییر کند، بیابید.



شکل ۳-۶۸

۳-۳۵. یک دیسک دایره‌ای با سرعت زاویه‌ای  $\omega$  بر روی یک دیسک ساکن می‌چرخد

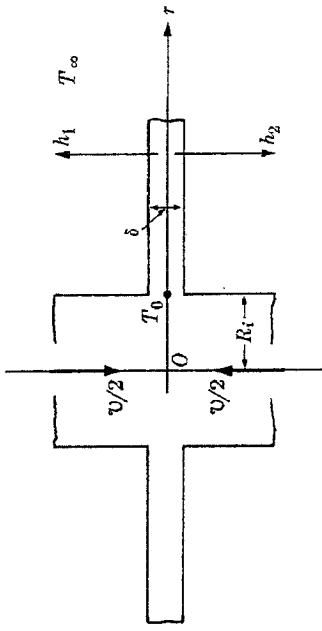
(شکل ۳-۶۹) فشار سطح تماس  $p$ ، ضریب اصطکاک خشک  $\mu$  و دمای محیط  $T_o$  است. ضرایب انتقال حرارت بالایی، پایینی و چپایی به ترتیب  $h_1$ ،  $h_2$  و  $h_3$  هستند. شعاع، ضخامت و ضریب هدایت حرارتی صفحات  $R$ ،  $\delta$ ،  $k$  و  $h_4$  و  $h_5$  هستند. دمای پایی سیستم را بیابید.



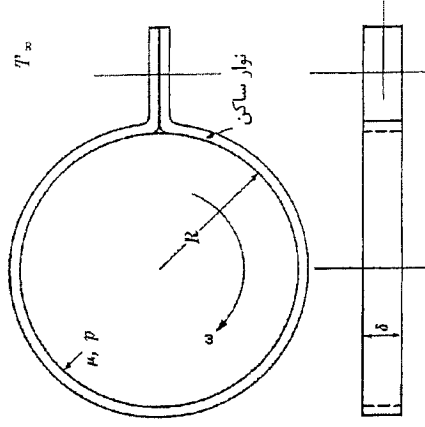
شکل ۳-۶۹

۳-۳۶. به‌طور در حال میعان در دمای  $T_o$  در یک لوله پره دار شده جریان می‌یابد (شکل ۳-۷۰).

شعاع خارجی لوله و شعاع خارجی پره‌ها به ترتیب  $R_o$  و  $R$  هستند. ضخامت پره  $\delta$  است و ضریب انتقال حرارت میان پره و محیط  $h$  و محیط  $h_1$  و دمای محیط  $T_o$  است. توزیع دما در پره‌ها را بیابید.



شکل ۳-۶۷



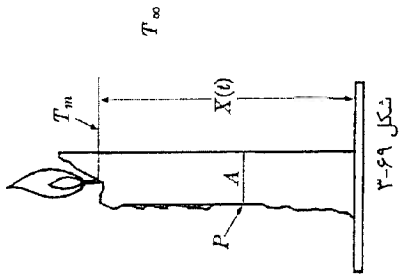
شکل ۳-۶۸

۳-۳۴. پره‌های صنعتی (مستقیم، شعاعی یا نوک تیز) اغلب از صفحات فلزی نازک با ضخامت یکدخت که به لوله‌ها جوش داده می‌شوند، ساخته شده‌اند. انتقال حرارت به محیط در طول پره ثابت باقی نمی‌ماند، زیرا اختلاف دما میان پره و محیط در طول پره کاهش می‌یابد و در نتیجه استفاده ضعیفی از مواد صورت می‌گیرد. می‌خواهیم برای تصحیح این وضعیت مساحت سطح مقطع پره را طوری تغییر دهیم که شار حرارتی  $q/A$  در طول پره ثابت باقی بماند. پروفایل پره‌های مستقیم، شعاعی و نوک تیز با ضخامت نوک صفر را که شرایط مذکور را دارا باشد، بیابید.

فصل ۳- مسائل یک بعدی پایا، توابع بسل

۲۱۵

۳-۳۵. می‌خواهیم یک ترمز پرفروری را به وسیله یک دیسک جامد با شعاع  $R$  و ضخامت  $\delta$  که به صورت محیطی با یک لایه با ضخامت نازک احاطه شده است، شیب‌سازی کنیم (شکل ۳-۶۸). فشار سطحی  $P$  و ضریب اصطکاک خشک  $\mu$  است. ابتدا ترمز در دمای محیط  $T_{\infty}$  قرار دارد سپس فرض می‌شود که به‌طور ناگهانی تحت سرعت زاویه‌ای  $\omega$  قرار گیرد. دمای ناپایای ترمز را بیابید.  
 ۳-۳۶. یک شمع روشن را در نظر بگیرید. طول اولیه و طول لحظه‌ای شمع به ترتیب  $L$  و  $x(t)$  و محیط آن  $P$  است. سطح مقطع شمع نیز  $A$  می‌باشد (شکل ۳-۶۹). دمای ذوب شدن موم شمع  $T_m$  و دمای محیط  $T_{\infty}$  است. سرعت ذوب شدن شمع را بیابید.



شکل ۳-۶۹

۳-۳۷. مثال ۳-۱۰ را دوباره در نظر بگیرید. توزیع دمای سطح گسترش‌یافته را با فرض وابستگی ضریب هدایت حرارتی آن به حالات زیر به‌دست آورید:

$$k = k(t)$$

$$(الف) \text{ وابستگی به دما به صورت } k = k_0 x^n \text{ و به طوری که } n \text{ می‌تواند سه حالت داشته باشد:}$$

$$(ب) \text{ وابستگی به مکان به صورت } n = 2, 0, n \neq 2 \text{ و } n \text{ ولی عددی صحیح.}$$



## فصل چهارم

### مسائل پایای دو و سه بعدی، جداسازی متغیرها،

#### توابع متعامد

مباحث قبلی‌مان به مسائل یک بعدی پایا محدود می‌شد. به‌طور کلی از آنجایی که این‌گونه مسائل معادلات دیفرانسیل معمولی مرتبه دوم را حاصل می‌کنند، معمولاً قابل حل می‌باشند. به عبارت دیگر، مسائل پایای دو و سه بعدی و مسائل ناپایا، معادلات دیفرانسیل پارهای را حاصل می‌کنند، که هیچ راه حل کلی برای آن‌ها وجود ندارد. در این فصل و در فصول ۵، ۶ و ۷ چندین روش برای حل دقیق این مسائل ارائه شده است.

وقتی که مرزهای یک مساله هدایت چند بعدی متناظر با سطوح مشخصات در یک سیستم مشخصات متعامد<sup>۱</sup> مثل مشخصات‌های کارتزین، استوانه‌ای، و کروی باشد، راه دقیق توسط روش‌های تحلیلی امکان‌پذیر خواهد بود. یک روش متداول بر اساس جداسازی متغیرها و دیگری بر اساس تبدیل لاپلاس می‌باشد. دلایل قانع‌کننده‌ای وجود دارد که نشان می‌دهند این دو روش بسیار متداول، برای حل مسائل ویژه مناسب‌تر از سایر روش‌ها می‌باشند؛ البته، روش تبدیل لاپلاس برای حل مسائل پیچیده مناسب است، و نیازمند آگاهی از ریاضیات پیشرفته‌تری می‌باشد. بنابراین، بحث پیرامون تبدیل لاپلاس را به فصل ۷ موکول می‌کنیم و این فصل را به روش جداسازی متغیرها اختصاص می‌دهیم. در چهار بخش بعدی مروری بر روابط ریاضی ضروری برای این روش، خواهیم داشت.

1- Orthogonal

فصل ۴- مسائل پایای دو و سه بعدی، جنداسازی متشابه، توابع معامد

در نظر گرفتن اولین معادله (۴-۴)  $-C_1 y_1(a) = -C_2 y_2(a)$  به دست می آید. با تعریف ثابت جدید  $C$  به صورت  $C_1 = C y_1(a)$  و  $C_2 = -C y_2(a)$  معادله (۴-۲) به صورت زیر خواهد بود:

$$y = C[y_2(a)y_1(x) - y_1(a)y_2(x)]. \quad (4-6)$$

به سادگی می توان دید که معادله (۴-۶) در شرایط مرزی صدق می کند. یک شرط،  $y(a) = 0$  است که به طور مستقیم از معادله (۴-۶) حاصل می شود و شرط دیگر یعنی  $y(b) = 0$  معادله (۴-۵) را به  $0 = y_2(b) - y_1(a)y_2(b) - y_1(b)y_2(a)$  تبدیل می کند، که این عبارت، منفی معادله (۴-۵) است. شایان ذکر است که معادله (۴-۶) جواب غیربدهی است اگر فقط  $y_1(a)$  و  $y_2(a)$  هر دو صفر نباشند. اگر  $y_2(a) = 0$  باشد معادله اول (۴-۴) پاسخ بدهی خواهد بود، که در این مورد تنها معادله دوم ممکن است برای آوردن رابطه بین ثابت  $C_1$  و  $C_2$  مورد استفاده قرار گیرد. پاسخ غیربدهی به صورت زیر خواهد بود:

با این شرط که  $y_1(b)$  و  $y_2(b)$  هر دو صفر نیستند. اگر  $y_1(x)$  و  $y_2(x)$  هر دو در نقاط  $x = a$  و  $x = b$  صفر شوند، آن گاه برای مقادیر اختیاری ثابت  $C_1$  و  $C_2$  معادله (۴-۳) در معادله (۴-۲) صدق می کند. اگر معادله (۴-۵) صادق نباشد، تنها پاسخ مساله، پاسخ بدهی یا  $y \equiv 0$  خواهد بود. پاسخ مسائل هدایت پایای دو و سه بعدی، و همچنین پاسخ مسائل پایای یک و چند بعدی ممکن است به پاسخ معادله (۴-۱) تبدیل شوند، که در معادله (۴-۱) ضرایب  $y_1(x)$  یا  $f_2(x)$  به پارامتر  $\lambda$  وابسته هستند. در چنین مسائلی ممکن است دترمینان معادله (۴-۵) تنها برای مقادیر حقیقی  $\lambda$  ( $\lambda_1, \lambda_2, \lambda_3, \dots$ ) به صفر میل کند؛ این مقادیر، مقادیر مشخصه نامیده می شوند. به ازای هر مقدار از  $\lambda$  یک پاسخ، مشابه معادله (۴-۶) حاصل می شود؛ این پاسخ های ویژه توابع مشخصه مساله هستند و مسائلی این چنینی مسائل مقدار مشخصه نامیده می شوند. که در این مورد واژه های مقادیر ویژه<sup>۱</sup> و توابع ویژه<sup>۲</sup> و مسائل مقدار ویژه نیز استفاده می شوند.

روند کلی مذکور را می توان با استفاده از یک مثال به طور واضح تری شرح داد. معادله دیفرانسیل زیر را در نظر می گیریم:

$$\frac{d^2 y}{dx^2} + y = 0$$

1- Eigenvalues

2- Eigenfunctions

3- Eigenvalue problems

۴-۱. مسائل مقدار مرزی<sup>۱</sup>، مسائل مقدار مشخصه<sup>۲</sup>

در ابتدا یک معادله دیفرانسیل معمولی مرتبه دوم که از فرمولاسیون دیفرانسیلی مساله هدایت یک بعدی پایا حاصل می شود را در نظر بگیرید. جواب این مساله شامل دو ثابت اختیاری است که توسط دو شرط تعیین می شوند، که هر کدام از این شرایط در یکی از مرزهای مساله قرار دارند. به این گونه مسائل، مسائل مقدار مرزی گفته می شود و با مسائل مقدار اولیه که در آن ها همه شرایط در یک مکان تعیین شده است، متفاوت می باشد. یک مثال از مساله مقدار اولیه سقوط آزاد یک جسم است که در فصل ۱ به آن اشاره شد<sup>۳</sup>.

حال یک معادله خطی همگن مرتبه دوم را در نظر بگیرید.

$$\frac{d^2 y}{dx^2} + f_1(x) \frac{dy}{dx} + f_2(x)y = 0, \quad (4-1)$$

که در مرزهای  $x = a$  و  $x = b$  مقدار تابع  $y$  به صفر می رسد.

$$y(a) = 0, \quad y(b) = 0. \quad (4-2)$$

جواب کلی این معادله را می توان به صورت زیر نوشت:

$$y = C_1 y_1(x) + C_2 y_2(x), \quad (4-3)$$

که در آن  $y_1(x)$  و  $y_2(x)$  جواب های مستقل خطی و  $C_1$ ،  $C_2$  ثابت اختیاری می باشند. از ترکیب این جواب با شرایط مرزی داریم:

$$C_1 y_1(a) + C_2 y_2(a) = 0, \quad (4-4)$$

$$C_1 y_1(b) + C_2 y_2(b) = 0.$$

یک جواب این معادله همگن به ازای  $C_1 = C_2 = 0$  به دست می آید که به آن جواب بدهی  $y \equiv 0$  می گویند. اگر دترمینان ضرایب  $C_1$  و  $C_2$  غیرصفر باشد، جواب بدهی، تنها جواب است. اگر دترمینان ضرایب صفر باشد، داریم:

$$\begin{vmatrix} y_1(a) & y_2(a) \\ y_1(b) & y_2(b) \end{vmatrix} = 0. \quad (4-5)$$

حال دو معادله (۴-۴) یکسان بوده و یک ثابت را می توان به صورت حاصل ضرب دیگری با استفاده از یکی از معادلات بیان نمود، و ثابت دوم اختیاری است. بنابراین اگر معادله (۴-۵) صادق بوده و با

1- Boundary Value Problems

2- Characteristic Value Problems

۳- وقتی که یک مساله نابایا منجر به یک مساله مقدار اولیه تبدیل می شود، و به یک مساله مقدار اولیه و مقدار

مرزی تبدیل می شود اگر به صورت توزیع شده فرموله شود.

۴- بخش ۴-۳ را برای تعریف معادلات دیفرانسیل همگن و ناهمگن و شرایط مرزی ببینید.

فصل ۴- مسائل پای دو سه بندی، جساماری متبصرها، توابع متعامد ۲۲۱

به ازای  $\lambda = 0$   $\lambda$  تنها دارای پاسخ بدیهی  $0 \equiv y$  است. از این رو برای این مساله مقادیر مشخصه و توابع مشخصه وجود نخواهد داشت. این امر این واقعیت را نشان می‌دهد که یک مساله مقدار مرزی ممکن است مساله مقدار مشخصه باشد یا این که نباشد. وقتی که یک مساله مقدار اولیه دارای پاسخ‌های ویژه‌ای با ماهیت متناوب باشد، تبدیل به مساله مقدار مشخصه خواهد شد. دوره تناوب و میزان نوسان این پاسخ‌ها ممکن است ثابت و یا متغیر باشد. مثال‌هایی از پاسخ‌های ویژه با ماهیت متناوب شامل توابع دایره‌ای<sup>۱</sup> و توابع بسل نوع اول و دوم با هر درجایی است. از آنجایی که نقطه آغازین مساله مقدار مشخصه یک مساله مقدار مرزی است، معمولاً به مساله مقدار مشخصه، مساله مقدار مرزی گفته می‌شود.

۴-۴ تعامد توابع مشخصه

طبق تعریف، دو تابع  $\phi_n(x)$  و  $\phi_m(x)$  در بازه محدود  $(a, b)$  و با استفاده از تابع وزنی  $w(x)$  متعامد نامیده می‌شوند اگر انتگرال حاصل ضرب  $w\phi_n\phi_m$  در آن بازه صفر باشد و داریم:

$$\int_a^b w(x)\phi_n(x)\phi_m(x)dx = 0, \quad m \neq n. \quad (4-13)$$

علاوه بر آن، دسته‌ای از توابع در بازه  $(a, b)$  متعامد نامیده می‌شوند اگر هر دو جفت متمایز از این توابع در بازه  $(a, b)$  متعامد باشند. ویژه نامده از تحلیل برداری گرفته شده است. می‌خواهیم یک بردار در فضای سه بندی را با  $\phi_n(x_1)$  نشان دهیم که تصاویر این بردار روی محورهای مختصات  $\phi_n(x_1)$ ،  $\phi_m(x_2)$  و  $\phi_m(x_3)$  است. دو بردار  $\phi_n(x_1)$  و  $\phi_m(x_1)$  متعامدند و یا بر هم عمودند اگر داشته باشیم:

$$\phi_n(x_1) \cdot \phi_m(x_1) = \sum_{i=1}^3 \phi_n(x_i)\phi_m(x_i) = 0.$$

وقتی که واحد طول در محورهای مختصات از یک محور به محور دیگر تغییر کند، حاصل ضرب بردارهای مذکور را به صورت زیر در نظر می‌گیریم:

$$\phi_n(x_1) \cdot \phi_m(x_1) = \sum_{i=1}^3 w(x_i)\phi_n(x_i)\phi_m(x_i).$$

که در آن تعداد توابع وزنی  $w(x_1)$ ،  $w(x_2)$  و  $w(x_3)$  به واحد طولی مورد استفاده در طول سه محور، بستگی دارد. به طور مشابه بردارهای فضای  $N$  بندی و دارای سازنده‌های  $\phi_n(x_1)$  و  $\phi_n(x_2)$  و  $\phi_n(x_3)$  و  $\dots$ ،  $N$  و  $i = 1, 2, 3, \dots, N$  با استفاده از توابع وزنی  $w(x_i)$  و  $w(x_j)$  متعامدند که داشته باشیم:

انتقال حرارت معادلی ۲۲۰

این مساله در بخش ۴-۶ برای نشان دادن روش سری‌های توانی برای حل معادلات دیفرانسیل مورد استفاده قرار گرفت. علاوه بر آن فرض می‌کنیم که این مساله همگن شامل یک پارامتر  $\lambda$  به صورت زیر است:

$$\frac{d^2y}{dx^2} + \lambda^2 y = 0, \quad (4-7)$$

و شرایط مرزی را به صورت زیر در نظر می‌گیریم:

$$y(0) = 0, \quad (4-8)$$

$$y(L) = 0. \quad (4-9)$$

پس یک کلی مساله (۴-۷) به صورت زیر است:

$$y = C_1 \sin \lambda x + C_2 \cos \lambda x. \quad (4-10)$$

با استفاده از معادله (۴-۸)،  $C_2 = 0$  می‌شود و خواهیم داشت:

$$y = C_1 \sin \lambda x, \quad (4-11)$$

و از ترکیب معادله (۴-۹) با معادله (۴-۱۱) معادله  $C_1 \sin \lambda L = 0$  حاصل می‌شود. تنها اگر  $\lambda$  در معادله  $\sin \lambda L = 0$  صدق کند، معادله دارای پاسخ غیربدیهی است. بنابراین،

$$\lambda_n = n\pi/L, \quad n = 1, 2, 3, \dots, \quad (4-12)$$

و پاسخ متناظر با معادله (۴-۱۱) به صورت زیر است:

$$y = C_1 \phi_n(x), \quad \phi_n(x) = \sin(n\pi x/L). \quad (4-13)$$

وقتی که  $\pi$  دارای مقدار صحیح منفی باشد هیچ پاسخ جدیدی حاصل نمی‌شود.

بنابراین مساله مقدار مرزی مذکور، یعنی معادلات (۴-۷)، (۴-۸) و (۴-۹) تنها دارای پاسخ بدیهی  $0 \equiv y$  می‌باشند، مگر این که  $\lambda$  دارای مقدار مشخصی حاصل از معادله (۴-۱۲) باشد. متناظر با هر مقدار  $\lambda_n$  یک تابع مشخصه  $\phi_n(x)$  وجود دارد که توسط معادله (۴-۱۲) حاصل می‌شود. حاصل ضرب هر ثابت داخلی در این تابع پاسخی از مساله است. نکته مهم این است که مساله مقدار مرزی زیر

$$\frac{d^2y}{dx^2} - \lambda^2 y = 0; \quad y(0) = 0, \quad y(L) = 0$$

فصل ۴- مسائل پایای دو و سه بعدی، جداسازی متغیرها، توابع متعامد

از آنجایی که هر دو عبارت  $y = \varphi_n(x)$  و  $y = \varphi_m(x)$  پاسخ‌های ویژه معادله (۴-۱۶) هستند، وقتی که یکی از شرایط مرزی زیر در در انتهای بازه  $(a, b)$  تعیین شود، سمت راست معادله (۴-۱۷) صفر می‌شود:

$$y = 0, \quad (4-18)$$

$$dy/dx = 0, \quad (4-19)$$

$$dy/dx + By = 0, \quad (4-20)$$

که در آن  $B$  یک پارامتر اختیاری است. در واقع وقتی که معادله (۴-۲۰) صادق باشد معادله (۴-۱۷) صفر خواهد شد که در این صورت شروط داده شده در معادلات (۴-۱۸) و (۴-۱۹) یا (۴-۲۰) که در زیر نشان داد:

$$\varphi_n \varphi'_m - \varphi_m \varphi'_n = \varphi_n (\varphi'_m + B \varphi_m) - \varphi_m (\varphi'_n + B \varphi_n).$$

به ویژه وقتی که در  $x = a$  یا  $x = b$  باشد، سمت راست معادله (۴-۱۷) صفر خواهد شد، که در این صورت شروط داده شده در معادلات (۴-۱۸) و (۴-۱۹) یا (۴-۲۰) که در  $x = a$  یا  $x = b$  صادق باشد را می‌توان از معادله حذف نمود به شرطی که در نقاط  $x = a$  یا  $x = b$   $dy/dx$  محدود باشد. اگر  $p(a) = p(b)$  باشد، تعلم به شرطی وجود خواهد داشت که شرایط مرزی با شرایط  $y'(a) = y'(b)$  و  $y(a) = y(b)$  جایگزین شود، که به این شرایط اخیر شرایط مرزی متناوب گفته می‌شود.

به عنوان یک مثال، مساله مقدار مشخصه ذکر شده در معادلات (۴-۷) و (۴-۸) را دوباره در نظر بگیرید. مقایسه‌ای بین معادلات (۴-۷) و (۴-۱۶)  $\omega(x) = 1$  را حاصل می‌کند و شرط تعلم برای این مسائل به صورت زیر است:

$$\int_a^b \varphi_m(x) \varphi_n(x) dx = \int_a^b \sin(n\pi x/L) \sin(m\pi x/L) dx = 0, \quad m \neq n,$$

که این امر را می‌توان به وسیله انتگرال گیری مستقیم و به طور مستقل به دست آورد.

۴-۳. بسط توابع دلخواه به صورت سری توابع متعامد  
 فرض کنید  $\varphi_n(x)$  دسته‌ای از توابع متعامد در بازه محدود  $(a, b)$  و به همراه تابع وزنی  $\omega(x)$  است. می‌خواهیم تابع دلخواه  $f(x)$  را به شکل یک سری به شکل زیر بسط دهیم و داریم:

$$f(x) = b_0 \varphi_0(x) + b_1 \varphi_1(x) + b_2 \varphi_2(x) + \dots = \sum_{n=0}^{\infty} b_n \varphi_n(x). \quad (4-21)$$

انتقال حرارت هدایتی

$$\varphi_m(x_i) \cdot \varphi_n(x_i) = \sum_{i=1}^N \omega(x_i) \varphi_m(x_i) \varphi_n(x_i) = 0. \quad (4-15)$$

اگر بردار فضایی دارای تعداد نامحدودی بعد باشد، عبارات  $\varphi_m(x_i)$  و  $\varphi_n(x_i)$  به طور پیوسته متمایز بوده و  $x_i$  گسسته نبوده بلکه دارای مقادیر پیوسته است و به آن  $x$  می‌گویند؛ در این مورد معادله (۴-۱۵) با معادله (۴-۱۴) یکسان خواهد شد.

اکنون می‌توان نشان داد که توابع مشخصه یک مساله مقدار مشخصه، در یک بازه محدود، با استفاده از تابع وزنی، متعامدند. برای نشان دادن این واقعیت، مساله مقدار مشخصه شامل معادله دیفرانسیل خطی همگن مرتبه دوم با شکل کلی زیر را در نظر می‌گیریم:

$$\frac{d^2 y}{dx^2} + f_1(x) \frac{dy}{dx} + [f_2(x) + \lambda^2 f_3(x)] y = 0$$

و دو شرط مرزی همگن در دو انتهای بازه محدود  $(a, b)$  تعیین می‌شوند. اگر این معادله را در عبارت  $q(x) = \exp[\int f_1(x) dx]$  و در تابع  $p(x) = \omega(x)$  و  $f_2(x) p(x) = \omega(x)$  ضرب نموده و بازاریابی کنیم خواهیم داشت:

$$\frac{d}{dx} \left[ p(x) \frac{dy}{dx} \right] + [q(x) + \lambda^2 \omega(x)] y = 0, \quad (4-16)$$

که این معادله برای بحث حاضر مناسب‌تر است.  $\lambda_m$  و  $\lambda_n$  مقادیر مشخصه متمایز هستند، که در آن‌ها  $m \neq n$  بوده و  $\varphi_m(x)$  و  $\varphi_n(x)$  متناظر با توابع مشخصه است. از آنجایی که  $y = \varphi_m(x)$  و  $y = \varphi_n(x)$  پاسخ‌های معادله (۴-۱۶) هستند، داریم:

$$\frac{d}{dx} \left[ p \frac{d\varphi_m}{dx} \right] + [q + \lambda_m^2 \omega] \varphi_m = 0, \\ \frac{d}{dx} \left[ p \frac{d\varphi_n}{dx} \right] + [q + \lambda_n^2 \omega] \varphi_n = 0.$$

با ضرب معادله اول در  $\varphi_n$  و ضرب معادله دوم در  $\varphi_m$  سپس تفریق معادله دوم از اول خواهیم داشت:

$$\varphi_n \frac{d}{dx} \left[ p \frac{d\varphi_m}{dx} \right] - \varphi_m \frac{d}{dx} \left[ p \frac{d\varphi_n}{dx} \right] + (\lambda_m^2 - \lambda_n^2) \omega \varphi_m \varphi_n = 0.$$

با انتگرال گیری از این معادله در بازه محدود  $(a, b)$  خواهیم داشت:

$$(\lambda_m^2 - \lambda_n^2) \int_a^b \omega \varphi_m \varphi_n dx = \int_a^b \left[ \varphi_n \frac{d}{dx} \left[ p \frac{d\varphi_m}{dx} \right] - \varphi_m \frac{d}{dx} \left[ p \frac{d\varphi_n}{dx} \right] \right] dx,$$

با انجام انتگرال سمت راست معادله بالا خواهیم داشت:

$$(\lambda_m^2 - \lambda_n^2) \int_a^b \omega \varphi_m \varphi_n dx = \left\{ p(x) \left[ \varphi_n(x) \frac{d\varphi_m(x)}{dx} - \varphi_m(x) \frac{d\varphi_n(x)}{dx} \right] \right\} \Big|_a^b. \quad (4-17)$$